

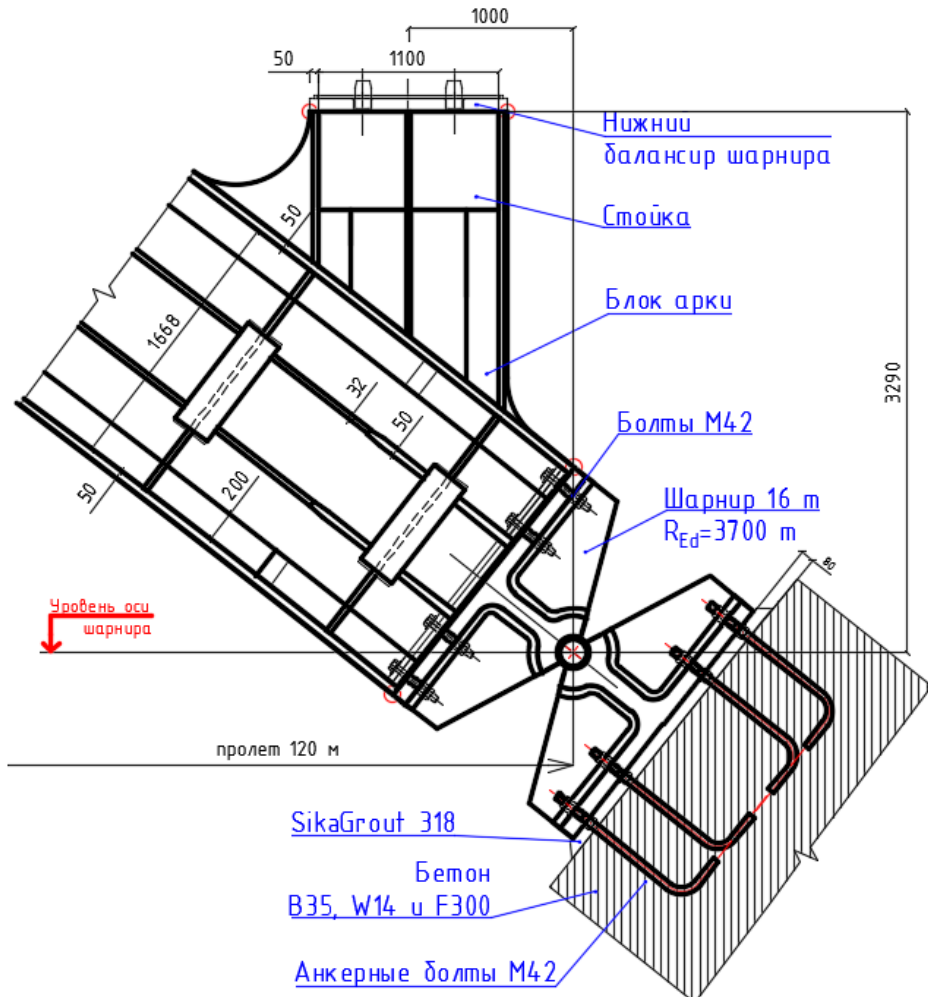
ნახ. 2.10 თაღის განივი კვეთი

თაღს აქვს მართულობის კვეთი სარტყელის მუდმივი სისქიო 32 მმ კედლების ცვლადი სისქიო 20 და 32 მმ (ნახ. 2.10).

სახსარზე დაყრდნობის ადგილებში თაღის ფურცლების სისქეები იზრდება 50 მმ-მდე, ამავე დროს შექმნილია წახნაგების და დიფრაგმების სისტემა (ნახ. 2.11).

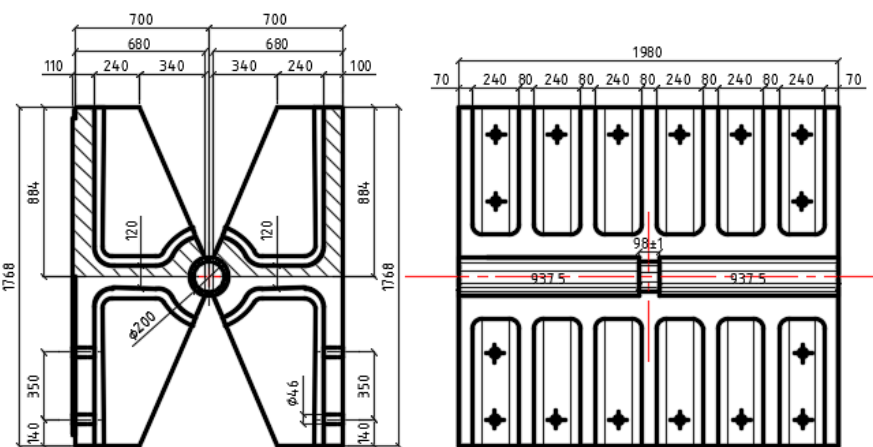
მექანიკურად დამუშავებული თაღის ტორსი დაყრდნობილია სახსარის ფრეზირებული ნაწილის ტორსზე. თაღის წახნაგები და კონტური ხვდება სახსარის ღარებში. აუცილებელია თაღის სახსარზე მჭიდროდ დასმა 0.3 მმ სიზუსტით. სახსარი მჭიდროდაა მიდგმული თაღზე 16 ცალი M42 ჭანჭიკით.

თაღის სახსარი დამზადებულია სხმული ფოლადისაგან, მოცემული მექანიკური მახასიათებლებით, რომლებიც უზრუნველყოფს სახსარის სიმტკიცეს და მუშაობის სანგრძლივობას. სახსარი მიმაგრებულია დგარზე საანკერო ჭანჭიკებით. საანკერო ჭანჭიკების კუთხვილი შეერთების მეშვეობით შესაძლებელია სახსარის ფუნდამენტზე დასმის სიზუსტის რეგულირება.



ნახ. 2.11 თაღის სახსარზე დაყრდნობის კვანძი

თაღი დაყრდნობილია ინდივიდუალური პროექტირების სემულ სახსარზე. სახსარის სააგარიშო დატვირთვა 3600 ტ. ერთი სახსარის მთლიანი წონა 15 ტ. სახსარი ბეტონის საფუძველზე და ფოლადის თაღზე მიმაგრებულია საანკერო ჭანჭიკებით.



ნახ. 2.12 სახსარი

სახსარის ფოლადის მექანიკური მახასიათებლები:

დენადობის ზღვარი $R_{yn} \geq 280$ მპა;

დროებითი წინაღობა $R_{un} \geq 490$ mpa;

ფარდობითი დაგრძელება $\delta_5 \geq 16\%$,

დარტყმითი სიბლანტი $KCV^{-20} \geq 27$ ჯოული/სმ²

გაანგარიშების სახეობა	საიმედობის კოეფიციენტი
სხმული კონსტრუქციის მედეგობა დაშლისადმი	$\gamma_M = 1.25$

2.2.2 ხიდის ფილის და ხიდის გაკისის კონსტრუქცია

2.2.2.1 ზოგადი აღწერა

ხიდის გაკისი შედგება სამოძრაო ფილის და ტროტუარის ჰიდროზოლიაციისაგან, სამოძრაო ზონის საფარისაგან, ტროტუარების საფარისაგან, მოაჯირებისაგან, ბარიერული შემოფარგვლისაგან, წყალსარინისა და განათების ბოძებისაგან. ხიდის გაკისი მოწყობილია მონოლითურ რკინაბეტონის ფილაზე.

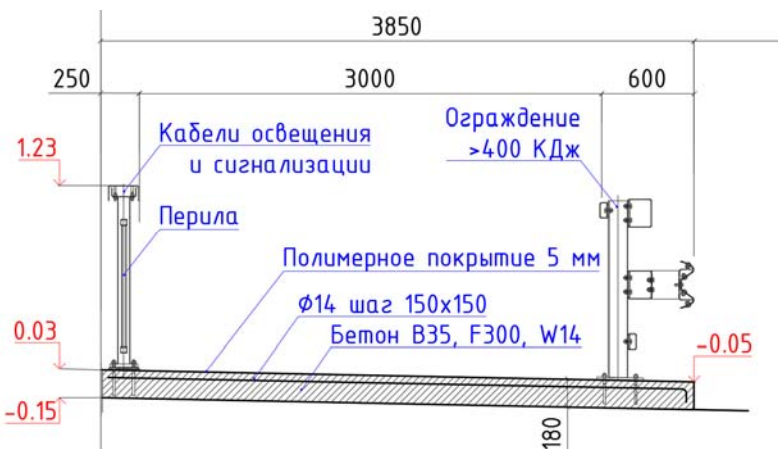
ბარიერული და მოაჯირებით შემოფარგვლა ტროტუარის ფილაზე ჭანჭიკებით ადგილზე ჩაბურდულ ნახვრეტებში. წყალსარინის მიღები ჩაწებებულია ფილაზი. განათების ბოძები განლაგებულია მოაჯირების წყვეტებში. მოაჯირების, ბარიერული შემოფარგვლის და წყალსარინის წონა მიღებულია 100 კგ/მ².

2.2.2.2 რკინაბეტონის ფილა

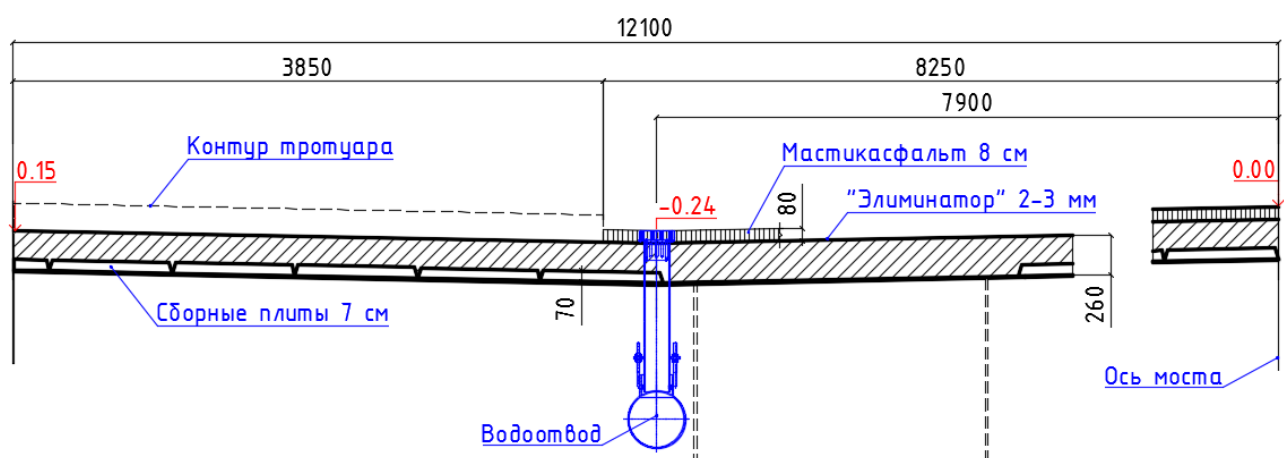
რკინაბეტონის ფილა მოწყობილია 2%-იანი განივი ქანობით. მონოლითური ტროტუარები აწევლია სავალი ნაწილის დონიდან 10 სმ-ით. ბეტონის კლასი სიმტკიცის მიხედვით B35, სიმკვრივე W14, ყინვაგამძლეობა F300.

ფილის მოწყობის სამუშაოების თანმიმდევრობა უნდა განისაზღვროს «ფილის ბეტონირების რეგლამენტში». ამასთანავე ფილის ზედაპირის სისწორე ვიბროლარტყით გასწორების შემდეგ უნდა აკმაყოფილებდეს U3 კლასის

მოთხოვნებს ISO 22966 მიხედვით, რაც გულისხმობს მოულოდნელ უსწორმასწორობას 3 მმ-მდე და ზედაპირის თანმიმდევრულ ცვალებადობას 10 მმ-მდე 2 მ-იან ბაზაზე. ახლადდაგებულ ბეტონზე გავლის შესაძლებობისთანავე სრულდება ზედაპირის მოსწორება მოსახეები მანქანებით ერთჯერ. ტროტუარის ზედაპირის ბეტონირება და მოხეხვა სრულდება ფილის ბეტონირების შემდეგ.



ნახ. 2.13 ტროტუარის განივი კვეთი

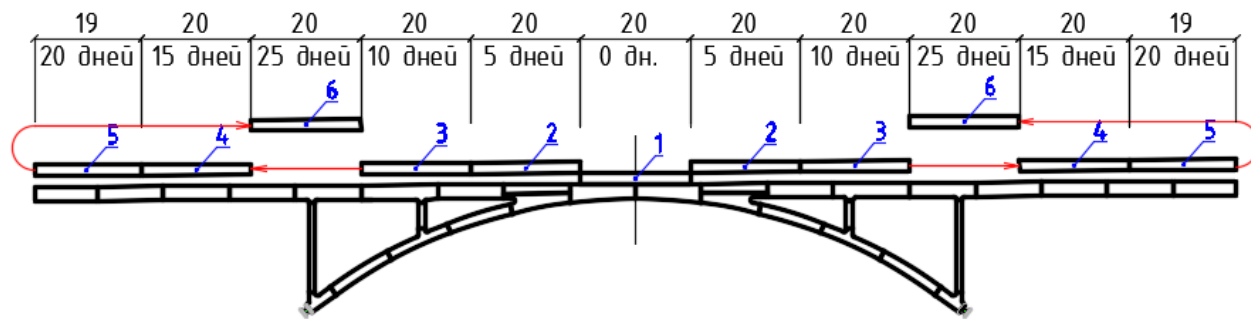


ნახ. 2.14 რკინაბეტონის ფილის განივი კვეთი

მონოლითური რკინაბეტონის ფილა სისქით 26 სმ დადებულია განივი კოჭებისა და კოლოფების სარტყელებზე, ხოლო სისქით 19 სმ დადებულია 7 სმ სისქის ყალიბის ანაკრებ ფილებზე, რომლებიც თავის მხრივ დაყრდნობილია განივი კოჭების სარტყელის ნაწილურებზე. ფილის კვეთის გაანგარიშებისას ანაკრები ფილები არ გაითვალისწინება დაჭიმული ზონის ბეტონის ფილების

შემადგენლობაში, ხოლო შექუმშვის ზონებში გაითვალისწინება ფილის კვეთის სისქის ნახევარი.

ფილა ბეტონირდება ხიდის გასწვრივ 20 მ-იანი სიგრძის პირმოდებით. პირმოდების ბეტონის მოცულობა არ აღემატება 80 მ³. ბეტონის კლასი სიმტკიცის მიხედვით B35, სიმკვრივე W14, ყინვაგამძლეობა F300. შეკლების შემდგომი ანგარიშისთვის ბეტონის საშუალო „ასაკად“ მიღებულია 15 დღე.

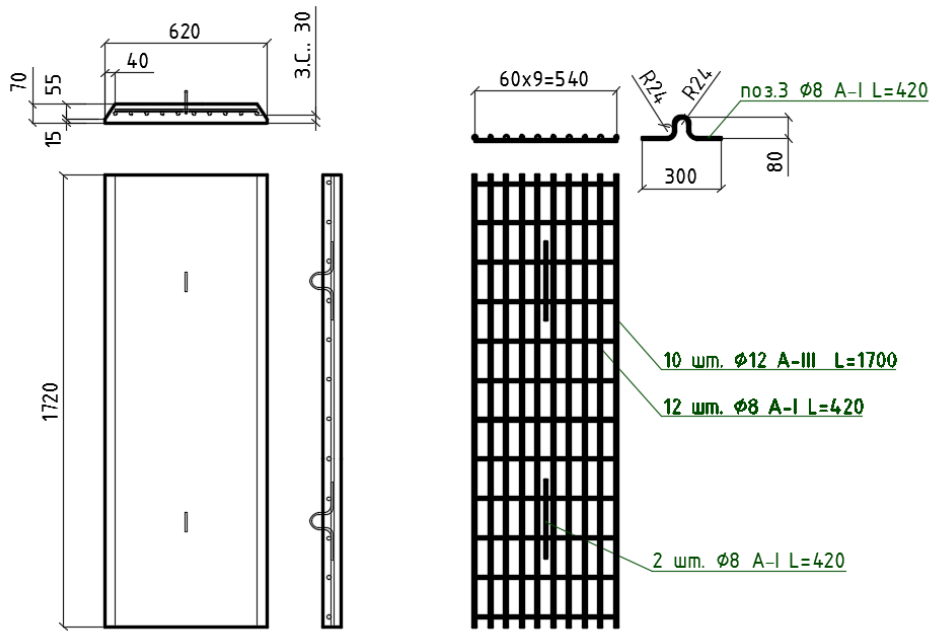


ნახ. 2.15 ბეტონირების ეტაპები

წყალი ფილის და ტროტუარის ზედაპირიდან იკრიბება ტროტუარის ნაწილებიდან 35 სმ-ში. სყალსარინი შესრულებულია მოთუთიებული ფოლადის ელემენტებისაგან. წყალსარინი მიღაკები რეზინოვანი ცხაურებით განლაგებულია 12 მ-იანი ბიჯით ხიდის გასწვრივ. წყალსარინი მიღაკები ჩაწებებულია ეპოქსიდურ კომპაუნდით ფილის ნახევეტებში. კონსტრუქცია იძლევა მიმღები მიღაკის დონის რეგულირების შესაძლებლობას.

2.2.2.3 ყალიბის ანაკრები ფილები

ანაკრები ფილების დანიშნულებაა მონოლითური ბეტონის შეკავება დასხმისას. ნაგარაუდებია ფილების დალაგება ხიდის მთელ სიგრძეზე, რომლის შემდეგაც ეწყობა არმირება ფილის მთელ სიგრძეზე. ასეთი გადაწყვეტა იძლევა საშუალებას უარი ვთქვათ მოსახსნელ ყალიბებზე, გააიაფებს და დააჩქარებს ფილის მოწყობის სამუშაოებს.



ნახ. 2.16 ანაკრების ფილების განივი კვეთი

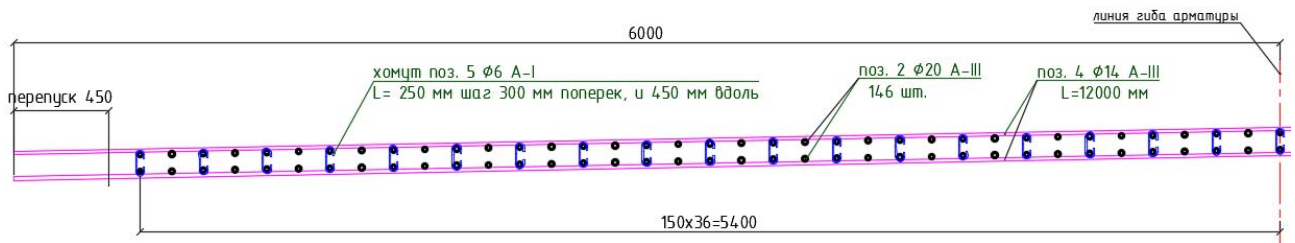
ფილის საშუალო სისქე ძალვისთვის საანგარი შო სქემაში, დაყვანილი ფილის მთლიან სიგანეზე შეადგენს 5 სმ.

2.2.2.4 ფილის არმირება

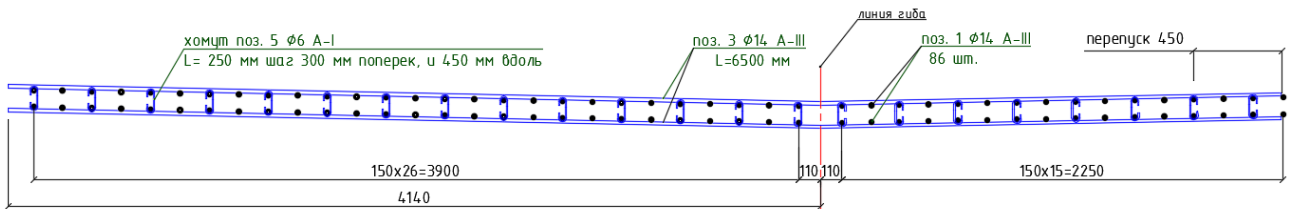
ფილა ხიდის მთელ სიგრძეზე და სიგანეზე ორმაგი ბადით 150 მმ-იანი ბიჯით. განივი არმატურა მიღებულია Ø14 მმ, 25Г2С მარკის ГОСТ 19281 მიხედვით, კლასი A-III. გრძივი არმატურა ხიდის უმეტეს ნაწილზე მიღებულია Ø14 მმ, 25Г2С მარკის ГОСТ 19281 მიხედვით, კლასი A-III, და მხოლოდ თაღის გრძელი დგარების ზონებში მიღებულია Ø25 მმ, 25Г2С მარკის ГОСТ 19281 მიხედვით, კლასი A-III. არმატურების შეპირაპირება შესრულებულია 45 სმ სიგრძეზე პირგადადებით. შეპირაპირებების მდებარეობა ეწყობა ისე, რომ ერთ კვეთში მოხვდეს პირგადადების მხოლოდ 25%.

ფილის საშუალო სისქე ანაკრები ფილების მოცულობის გამოკლებით 21 სმ-ია.

არმირების სქემები ხიდის გასწვრივ და განივად ნაჩვენებია ნახაზებზე.



ნახ. 2.17 მუშა არმატურის განლაგების სქემა. ცენტრალური ბადე

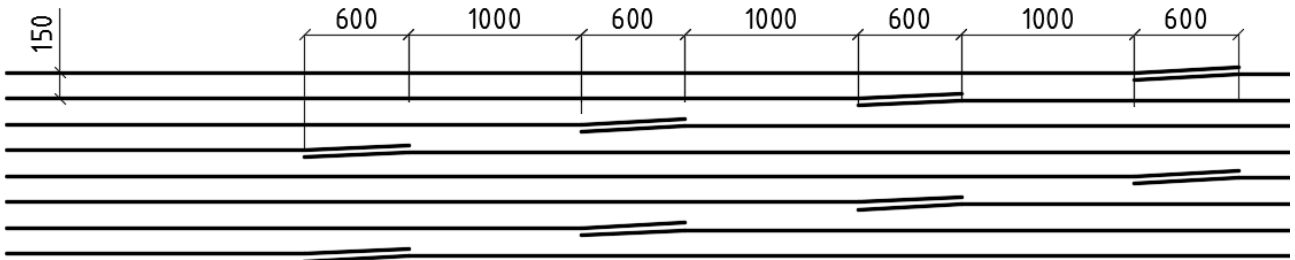


ნახ. 2.18 მუშა არმატურის განლაგების სქემა. გვერდითი ბადეები

არმატურის ყველა შეპირაპირება მთლიანად ხიდის ფილის ფარგლებში შესრულებულია შედუღების გარეშე, მხოლოდ არმატურის ღეროების პირგადადების ხარჯზე.

განივი არმატურის შეპირაპირება შესრულებულია პირგადადების ხარჯზე. ხიდის მთელ სიგრძეზე განივი არმატურის ღეროების დიამეტრი ტოლია 14 სმ-ის, პირგადადების სიგრძე 45 სმ-ია.

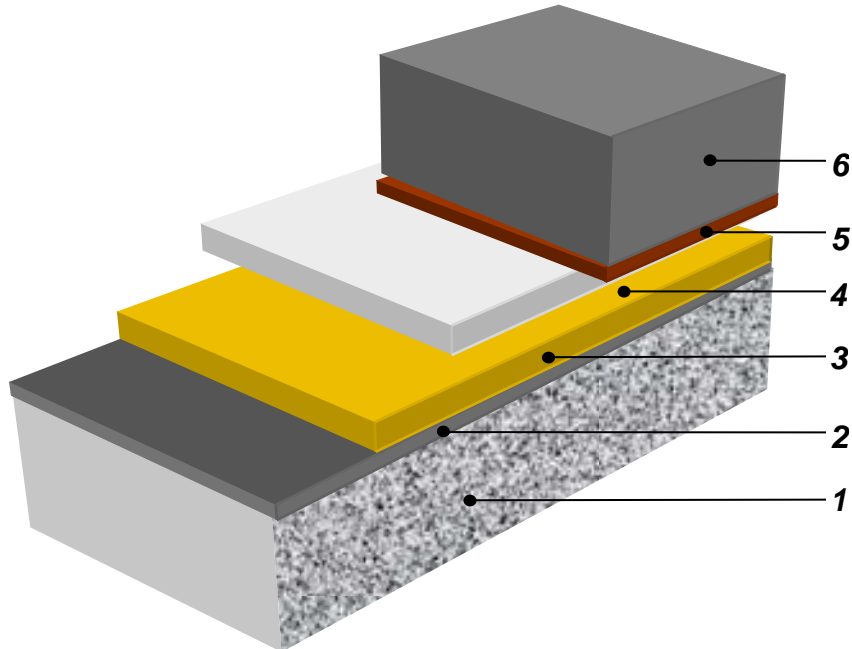
გრძივი არმატურის Ø14 მმ და Ø20 მმ შეპირაპირება შესრულებულია პირგადადების ხარჯზე. შეპირაპირებები განლაგებულია თანაბრადგაბნეულად და ერთ კვეთში განლაგებულია მხოლოდ შეპირაპირების მეოთხედი.



ნახ. 2.19 გრძივი არმატურის შეპირაპირების განლაგების სქემა

2.2.2.5 სამოძრაო ზოლისა და ტროტუარის საფარი

ტროტუარი და ფილა დაფარულია დაფრქვედი მეთილმეტაკრილატური პიდროიზოლიაციის ორი ფენით, მაგალითად «ელიმინატორი», წარმოებული ინგლისური კომპანიის Stirling Lloyd მიერ. იზოლიაციის დაგების სამუშაოები სრულდება ბეტონირებიდან არანაკლებ 7 დღის შემდეგ. ფილაზე მეთილმეტაკრილატური პიდროიზოლიაციის კონსტრუქცია ნაჩვენებია ნახაზზე.



ნახ. 2.20 საფარის სქემა Eliminator-ის მემბრანით სამოძრაო ზოლის რკ/ბ ფილაზე:
1-ხიდის ფილა; 2-გრუნტი; 3-მემბრანა Eliminator (ფენა 1);
4-მემბრანა Eliminator (ფენა 2); 5-შემაკავშირებელი ფენა ასფალტისთვის;
6-ასფალტი

საავტომობილო საფალი ნაწილის საფარად გათვალისწინებულია მასტიკასფალტი თრ ფენად, თითო ფენის სისქით 4 სმ.

ტროტუარის საფარი თხელია 3-5 სმ სისქით, პოლიმერული, დაფარული აბრაზიული ფენით. მაგალითად, შეიძლება გამოყენებულ იქნას საფარი „Bridgemaster“*. ტროტუარის საფარის კონსტრუქცია შემდეგია:

- 1-ი ფენა: PAR1 Primer – ორკომპონენტიანი გრუნტი ფისის საფუძველზე (MMA);
 მე-2 ფენა: Bridgemaster® - ორკომპონენტიანი გრუნტი ფისის საფუძველზე (MMA)
 სისქით 4 მმ;
 მე-3 ფენა: ბაზალტის ფხვნილის ფენა, მსხვილი ფრაქცია 0.9-1.4 მმ;
 მე-4 ფენა: Sealer Matt - ორკომპონენტიანი გრუნტი ფისის საფუძველზე (MMA),
 დაიტანება ლილვაკით 1.1 კგ/მ² სარჯით

2.3 კოროზიისგან დაცვა

კოროზიისგან დაცვის სისტემაში უნდა უზრუნველყოს დაცვა Ri3 კლასის ISO 4628-3 მიხედვით (დაზიანება არაუმეტეს 1%) 25 წლიანი ექსპლოატაციის შემდეგ.

დაცვის რეკომენდირებული სისტემა ერთკომპონენტიანი პოლიურეტანებისგან, რომელიც პასუხობს წარმოდგენილ მოთხოვნებს, მოცემულია ცხრილში

ფენის მასალის დასახელება	ფენის სისქე ზედაპირისთვის, მკმ		
	გარეგანი	შინაგანი	ბეტონისპენ მიმართული
WG-FERROGALVANIC	100	100	40
WG-WELEFLEX	80	120	-
WG-Sulacover 2K	80	-	-
ფენების ჯამი	260	220	40

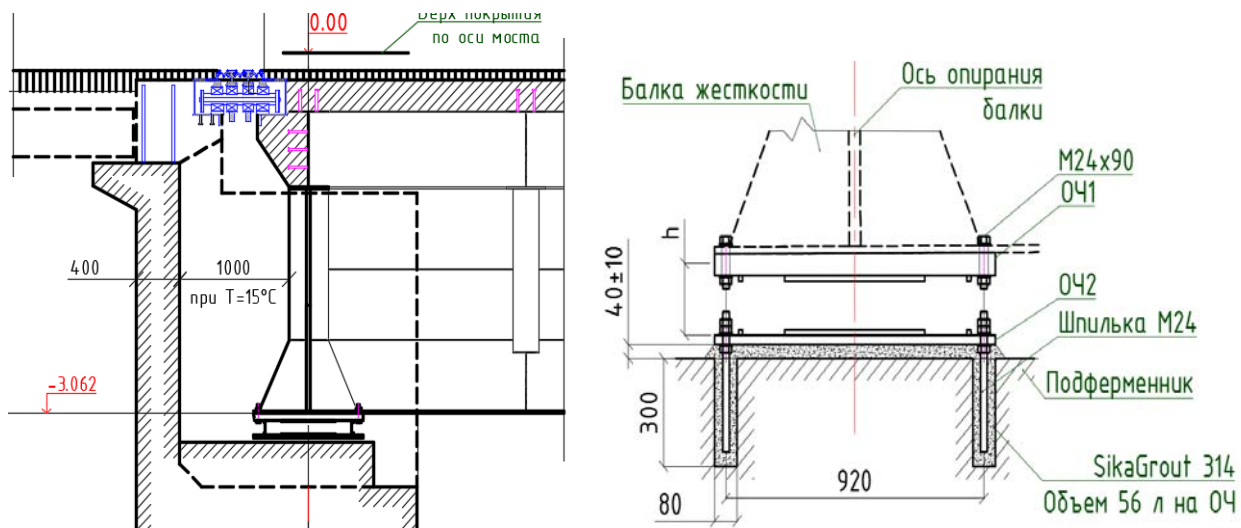
2.4 საყრდენი ნაწილები. კონსტრუქცია და გადაადგილება

ხიდისთვის გამოყენებულია სამი დანიშნულების საყრდენი ნაწილები:

- საყრდენი ნაწილები კოჭის ქვეშ;
- საყრდენი ნაწილები თაღის დგარების ქვეშ;
- საყრდენი ნაწილები განივი შემაკავებლებისთვის.

გარდა ამისა გამოყენებულია ინდივიდუალური პროექტირების, თაღის საძირკვლის სხმული ფოლადის სახსრები.

2.4.1 საყრდენი ნაწილები კოჭის ქვეშ



ნახ. 2.21 კოჭების დაყრდნობა ბურჯებზე
კოჭები დაყრდნობილია რეზინოვან საყრდენ ნაწილებზე საანგარიშო
მზიდუნარიანობით 800 ტ.

რეზინოვანი საყრდენი ნაწილები სისქით 160 მმ, გეგმაში 800x800 მმ
ზომებით, ჩადგმულია ფოლადის გარსაკრში. დანაღგარი უზრუნველყოფს
თავისუფლად ბრუნვას დების ირგვლივ ხიდის გრძივად და განივად.

საჭირო რაოდენობა 4 ცალი ხიდზე.

სავარაუდო დამამზადებელი «Mayperer» გერმანია.

საანგარიშო პორიზონტალური გადაადგილება ± 80 მმ.

საანგარიშო მობრუნების კუთხე 0.003.

2.4.2 საყრდენი ნაწილები თაღის დგარების ქვეშ

თაღის დგარები ეყრდნობა თაღს, ხოლო კოჭი ეყრდნობა
დგარებს რეზინოვანი საყრდენი ნაწილების მეშვეობით, საანგარიშო
მზიდუნარიანობით 1100 ტ. რეზინოვანი საყრდენი ნაწილები სისქით 40 მმ, გეგმაში
635x1120 მმ ზომებით, ჩადგმულია წყვილად (ორ ორად ხიდის განივად). დანაღგარი
უზრუნველყოფს თავისუფლად ბრუნვას დების ირგვლივ ხიდის განივად, და
ეწინააღმდეგება ბრუნვას დების ირგვლივ ხიდის გასწვრივ.

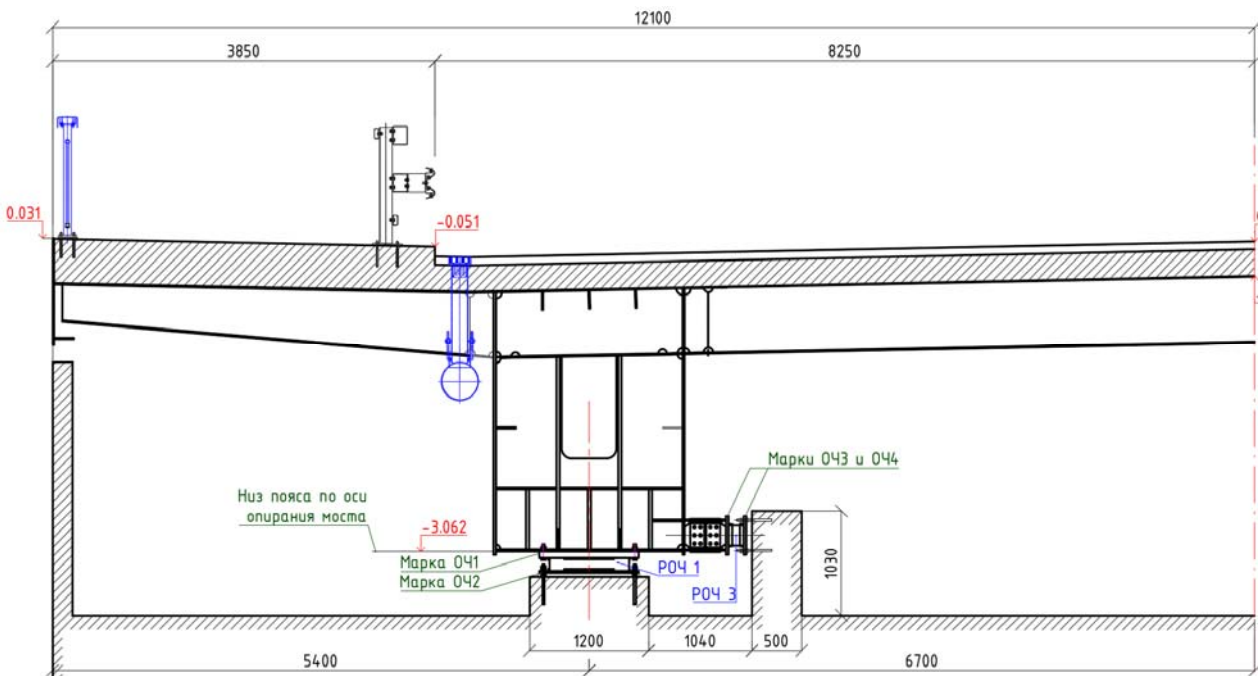
საანგარიშო პორიზონტალური გადაადგილება ± 80 მმ.

საანგარიშო მობრუნების კუთხე 0.003.

საჭირო რაოდენობა 32 ცალი ხიდზე.

საგარაუდო დამამზადებელი «Mayper» გერმანია.

2.4.3 საყრდენი ნაწილები განივი შემაკავებლებისთვის



ნახ. 2.22 რეზინოვანი საყრდენი ნაწილების და გვერდითი შემაკავებლების
განლაგება კოჭის ქვეშ

ხიდის გვერდითი შემაკავებლები დამზადებულია სუსტად არმირებული
რეზინისაგან, საანგარიშო მხიდუნარიანობით 100 ტ.

ზომები 200x200x160 მმ.

საჭირო რაოდენობა 32 ცალი ხიდზე.

საგარაუდო დამამზადებელი «Mayper» გერმანია.

საანგარიშო ჰორიზონტალური გადაადგილება ± 80 მმ.

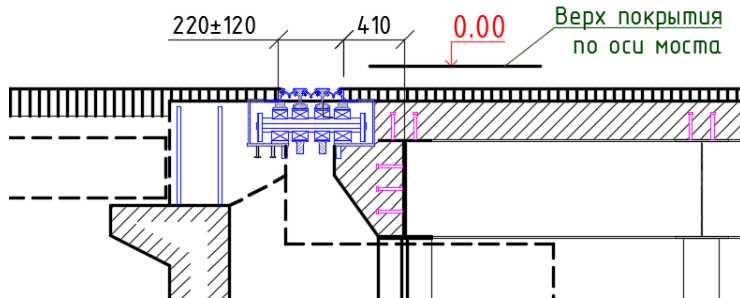
საანგარიშო მობრუნების კუთხი 0.00.

2.5 დეფორმაციული ნაკერები. კონსტრუქცია და გადაადგილება

ტემპერატურული გადაადგილებები დეფორმაციული ნაკერის დონეში
შეადგენს ± 74 მმ.

დროებითი დატვირთვით გამოწვეული გადაადგილება პოჭის ტორხის კუთხიდან შეადგენს $+10$ მმ-ს; -2 მმ.

სრული გადაადგილება ± 84 მმ.



ნახ. 2.23 დეფორმაციული ნაკერის სქემა

გადაადგილებების საკომპენსაციოდ საჭიროა ნაკერის სამი მოდულის დაყენება, გარანტირებული გადაადგილებით ± 120 მმ. გადაადგილების რეზერვი იძლევა შესაძლებლობას უზრუნველყოს ნაკერის მუშაობა საშუალო დრეჩოებით (არა ზღვრულით).

2.6 ბურჯები

ხიდის შუალედური ბურჯები წარმოადგენენ მონოლიტური რკინაბეტონის როსტვერკებს 1.5 მ დიამეტრის და 26 მ სიგრძის ნაბურლ-ნატენ ხიმინჯებზე. თაღის თითოეული სახსარის ქვეშ ფუნდამენტში განთავსებულია 12 ხიმინჯი. სახსარის მიერთება რკინაბეტონის როსტვერკზე ნაჩვენებია ნახ. 2.11.

ბურჯები მონოლიტური რკინაბეტონის 1.5 მ დიამეტრის და 26 მ სიგრძის ნაბურლ-ნატენ ხიმინჯებზე ინდივიდუალური პროექტირებისაა. ყოველ ბურჯზე გათვალისწინებულია 14 ხიმინჯის მოწყობა. ხიდის მალის ნაშენის განივი გადაადგილების შეზღუდვისთვის გათვალისწინებულია ბურჯებზე რკინაბეტონის საყრდენების მოწყობა.

2.7 შეუღლებები და კონუსები

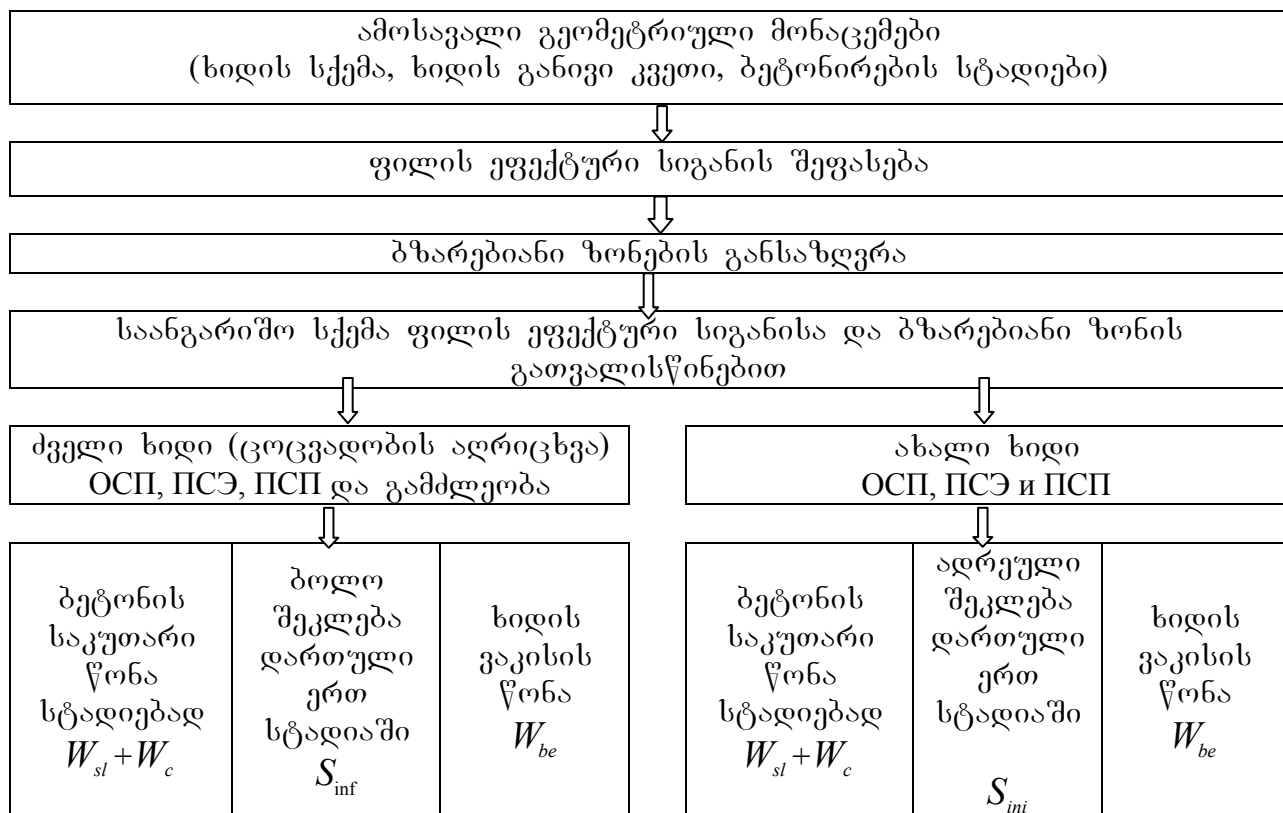
შეუღლების კონსტრუქცია გასასვლელებით სავალი ნაწილის ფარგლებში წარმოადგენს ნახევრადდამირული ტიპის გარდამავალ ფილებს სიგრძით 6.0 მ, სისქით 30 სმ (ბაგების მხრიდან) და სიგრძით 8.0 მ, სისქით 40 სმ (უნივერსიტეტის ქუჩის მხრიდან ანაკრებ-მონოლიტური რკინაბეტონისაგან). ერთი ბოლოთი ფილები

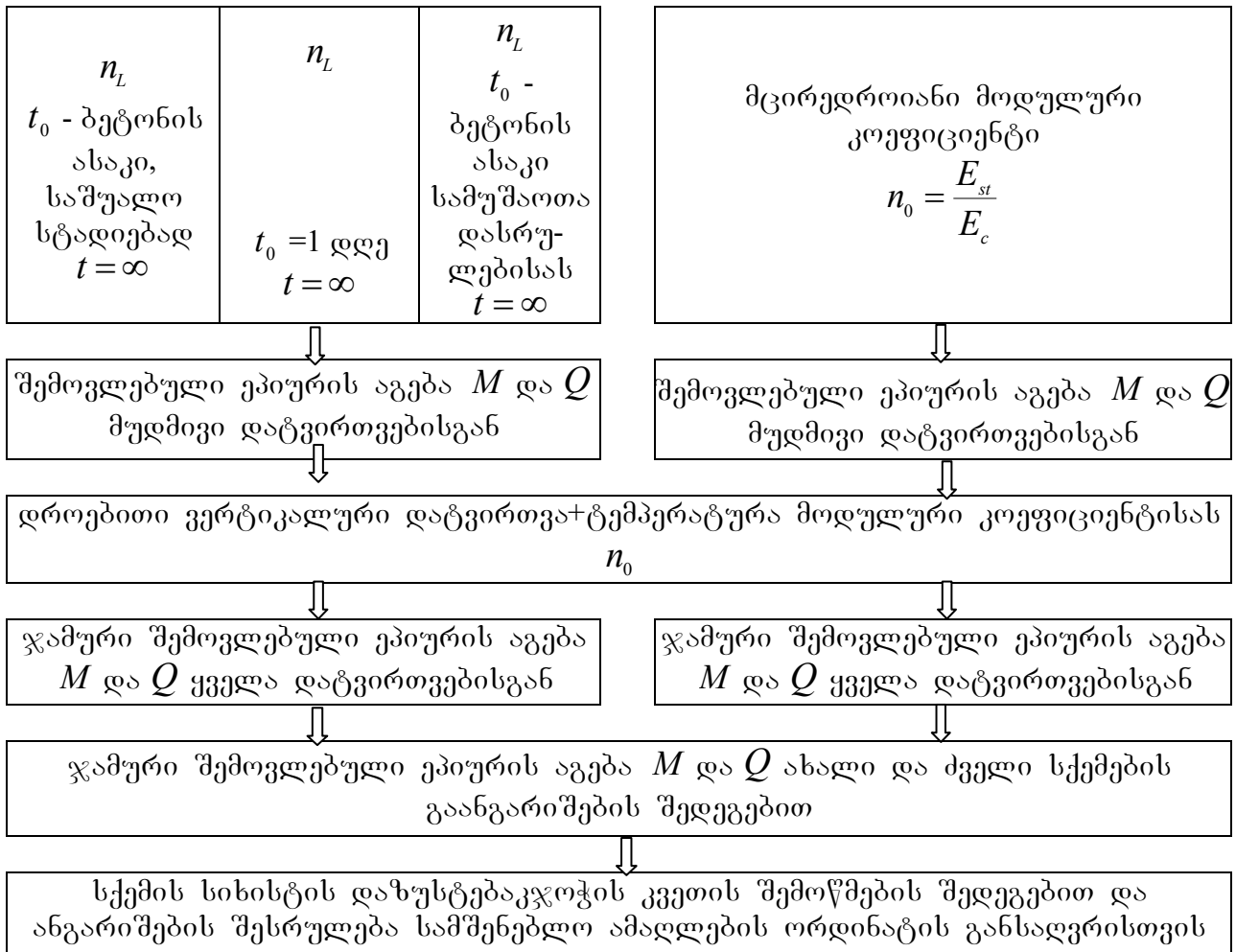
ეყრდნობა საკარადე პედელს, მეორე ბოლოთი გაერთიანებულია ერთიან მონოლიტურ კონსტრუქციაში, დაყრდნობილს ჩასოლვის მეთოდით მოწყობილ ფრაქციული დორდის ბალიშზე. ტროტუარების ფარგლებში ეწყობა 3.0 მ სიგრძის გარდამავალი ფილები. ფილების კონსტრუქცია მიღებულია ტკ სერია 3.503.1-96 შესაბამისად «ავტოსაგზაო გზაგამტარების შეუდლება ყრილთან».

ყრილის მოსაწყობად საჭიროა ხრეშოვანი ქვიშის გამოყენება, მსხვილი ან საშუალო ფრაქციისარანაკლებ 2 მ/დღ.დამ ფილტრაციის კოეფიციენტით. გრუნტი არ უნდა იყოს აგრესიული კონუსის ტანში განთავსებული კონსტრუქციების მიმართ. გრუნტი იტკეპნება 0.98 და მეტ კოეფიციენტამდე. დატკეპნისას ყრილის ტენიანობა არ უნდა განსხვავდებოდეს ოპტიმალურისაგან არაუმეტეს $\pm 2\%$ -ისა.

3. დატვირთვები და ძირითადი საანგარიშო დებულებები

ფოლადრკინაბეტონის ხიდის გაანგარიშების საერთო სქემა ნაჩვენებია ნახ. 3.1. სქემა შეესაბამება EN 1994-2 დებულებებს.





ნახ. 3.1 ხიდის გაანგარიშების საერთო თანმიმდევრობა

ფილის ეფექტური სიგანის გაანგარიშება შესრულებულია პ. 5.4.1.2 EN1994-2 მიხედვით.

საანგარიშო სქემაში სიხისტის აღრიცხვისას გაითვალისწინება ბზარებიანი ზონები ფილის დაჭიმვის ადგილებში. კრიტერიუმი არის ბეტონის დაჭიმვის დონე, მითითების EN1994-2 თანახმად დაჭიმულ ზონას მიეკუთვნება ფალა დაჭიმულობით მეტი $2f_{ctm}$ -ისა, ე. ი. ბეტონის ორმაგი მედეგობა დაჭიმვაზე. B35 კლასის ბეტონისთვის $f_{ctm} = 0.3 f_{ck}^{2/3} = 0.3 \cdot (0.8 \cdot 35)^{2/3} = 2.8$ მპა, როცა საშუალო სიმტკიცის გაორმაგებული მნიშვნელობა = 5.6 მპა.

3.1 ზემოქმედების და თავსებადობის კოეფიციენტები

3.1.1 ზოგადი დებულებები

(პირველწელი EN 1990:2002+A1:2005/ AC:2008, დანართის დამატებით A2 «ხიდებისთვის»).

ცხრილი A2.4(B) კონსტრუქციაზე ზემოქმედების საანგარიშო მნიშვნელობები

ფორმულა	მუდმივი დატვირთვები		ძირითადი დროებითი მოქმედება	თანმხლები დროებითი დატვირთვები	
	არახელ-საყრელი	ხელსაყრელი		ძირითადი	სხვა
(6.10)	$\gamma_{GJ,sup} G_{kj,sup}$	$\gamma_{GJ,inf} G_{kj,inf}$	$\gamma_{Q,1} Q_{k,1}$		$\gamma_{Q,i} \psi_{0,i} Q_{k,i}$
(6.10a)	$\gamma_{GJ,sup} G_{kj,sup}$	$\gamma_{GJ,inf} G_{kj,inf}$	-	$\gamma_{Q,1} \psi_{0,1} Q_k$	$\gamma_{Q,i} \psi_{0,i} Q_{k,i}$
(6.10b)	$\xi_j \gamma_{GJ,sup} G_{kj,sup}$	$\gamma_{GJ,inf} G_{kj,inf}$	$\gamma_{Q,1} Q_{k,1}$		$\gamma_{Q,i} \psi_{0,i} Q_{k,i}$

მიღებულია ცხრილიდან A2.4(B) დატვირთვებისთვის LM1

ფორმულა	მუდმივი დატვირთვები		ძირითადი დროებითი მოქმედება	თანმხლები დროებითი დატვირთვები	
	არახელ-საყრელი	ხელსაყრელი		ძირითადი	სხვა
(6.10)	$1.35 G_{kj,sup}$	$1 \cdot G_{kj,inf}$	$1.35 Q_{k,1}$		$1.5 \psi_{0,i} Q_{k,i}$
(6.10a)	$1.35 G_{kj,sup}$	$1 \cdot G_{kj,inf}$	-	$1.5 \psi_{0,1} Q_k$	$1.5 \psi_{0,i} Q_{k,i}$
(6.10b)	$0.85 \cdot 1.35 G_{kj,su}$	$1 \cdot G_{kj,inf}$	$1.35 Q_{k,1}$		$1.5 \psi_{0,i} Q_{k,i}$

$\gamma_{GJ,sup} (G_{kj,inf})$ – საიმედოობის კოეფიციენტი მუდმივი დატვირთვისთვის არახელსაყრელი (ხელსაყრელი) $\gamma_{GJ,sup} = 1.35$ ($\gamma_{GJ,inf} = 1.0$);

$G_{kj,sup} (G_{kj,inf})$ – მუდმივი დატვირთვის მახასიათებელი მნიშვნელობები არახელსაყრელი (ხელსაყრელი);

$\gamma_{Q,1}$ - ცვლადი (კვაზიმუდმივი) დატვირთვის საიმედოობის კოეფიციენტი;

$Q_{k,1}$ - არახელსაყრელი დროებითი დატვირთვის მახასიათებელი მნიშვნელობა (ხელსაყრელი მნიშვნელობა = 0);

$\gamma_{Q,1} = 1.35$ - სავტომობილო ხიდებისთვის;

$\gamma_{Q,i} = 1.5$ - უგელა სხვა ცვლადი ზემოქმედებისთვის;

$\psi_{0,i}$ - სხვა ცვლადი დატვირთვების კომბინაციის კოეფიციენტი ცხრ. A 2.3;

ξ_j - რედუქციულობის კოეფიციენტი = 0.85.

ცხრ. A2.3 EN 1990 კომბინაციის კოეფიციენტის რეკომენდირებული
მნიშვნელობები ψ

	ზემოქმედება	ψ_0	ψ_1	ψ_2
მოძრაობის ზემოქმედების ინდიკატორი კომპონენტები	LM1	0.8	1)	0
	დაძრა და დამუხრუჭება		როგორც ვერტ. დატვირთვ.	
	ცენტრიდანული ძალა			
	გვერდითი დარტყმები	1.0	0.8	0
	ფეხით მოსიარულეთაგან დატვირთვები	0.8	0.5	0
	ჩამოშლის პრიზმაზე დატვირთვები	0.8	1)	0
ქარი	F_{Wk} (ქარი როგორც დამატებითი)	0.6	0.5	0
	F_{Wk}^{**} (ქარი როგორც ძირითადი)	1	0	0
ტემპერატურა	T_k	0.6	0.6	0.5
თოვლი	Sn	0.8	-	0

3.1.2 დატვირთვების კომბინაცია ხიდისთვის ქ. თბილისში

უნდა განხილულ იქნას საანგარიშო დატვირთვების სამი ძირითადი კომბინაცია ფორმულებით 6.10, 6.10a ა 6.10b EN 1990: მუდმივი დატვირთვები (მზიდი და დამხმარე კონსტრუქციები) გაზრდილი 1.35-ჯერ + ძირითადი დროებითი (LM1) გაზრდილი 1.35-ჯერ + სხვა (ქარი, ტემპერატურა და მსგავსი) გაზრდილი 1.5-ჯერ და გამრავლებული რედუქციულ კოეფიციენტები $\psi_{0,i}$ ცხრ. A2.3 EN 1990.

$$\sum \gamma_{GJ} G_{kj} + \gamma_p P + \gamma_{Q,1} Q_{k,1} + \sum \gamma_{Q,i} \psi_{0,i} Q_{k,i} \quad (6.10)$$

$$\sum \gamma_{GJ} G_{kj} + \gamma_p P + \gamma_{Q,1} \psi_{0,1} Q_{k,1} + \sum \gamma_{Q,i} \psi_{0,i} Q_{k,i} \quad (6.10a)$$

$$\sum \xi_j \gamma_{GJ} G_{kj} + \gamma_p P + \gamma_{Q,1} Q_{k,1} + \sum \gamma_{Q,i} \psi_{0,i} Q_{k,i} \quad (6.10b)$$

ძირითადი საპროექტო სიტუაცია (გაანგარიშებები პირველი ჯგუფის ზღვრული მდგრადი მდგრადი მდგრადი მდგრადი გასაანგარიშებლად:

$$E_d = 1.35 \cdot SW + (1.35 \text{ или } 0) \cdot Sh + 1.35 \cdot LM1_{UDL} \cdot \psi_0 + 1.35 \cdot LM1_{TS} \cdot \psi_0 + 0.5 \cdot 1.35 \cdot LM4 + 1.5 \cdot 0.6 \cdot T_0 + 1.5 \cdot 0.6 \cdot F_{WK}$$

დატვირთვები **LM1** ხიდისთვის ქ. თბილისში მიღებულია $\psi_0 = 1$, ქ. ი. შემამცირებელი კოეფიციენტის გარეშე¹

ძირითადი საპროექტო სიტუაცია გამდლეობის გასაანგარიშებლად:

$$E_{d,fat} = 1.0 \cdot LM1_{UDL} \cdot \psi_{UDL} + 1.0 \cdot LM1_{TS} \cdot \psi_{TS} = 0,3LM1_{UDL} + 0,7LM1_{TS}$$

$\psi_{UDL} = 0.3$ - რედუქციული კოეფიციენტი განაწილებული დატვირთვისთვის

$\psi_{TS} = 0.7$ - რედუქციული კოეფიციენტი ტანდემებისთვის

დეფორმაციული ნაკერების ზონებისთვის (6 მის ფარგლებში) საჭიროა შევიტანოთ დამატებითი დინამიკურობის კოეფიციენტი $\Delta p_{fat} = 1.3$.

ძირითადი საპროექტო სიტუაცია (გაანგარიშებები პირველი ჯგუფის ზღვრული მდგომარეობისას – ბზარმედეგობის გაანგარიშება) შეიძლება ჩაიწეროს შემდეგი სახით:

$$E_k=1.0 \cdot SW + (1.0 \text{ ან } 0) \cdot Sh + 1.0 \cdot LM1 \cdot \psi_0 + 0.5 \cdot LM4 + 1.0 \cdot 0.6 \cdot T_0$$

ძირითადი საპროექტო სიტუაცია (სამშენებლო ამაღლების გაანგარიშება) შეიძლება ჩაიწეროს შემდეგი სახით:

$$1.0 \cdot SW + 1.0 \cdot Sh$$

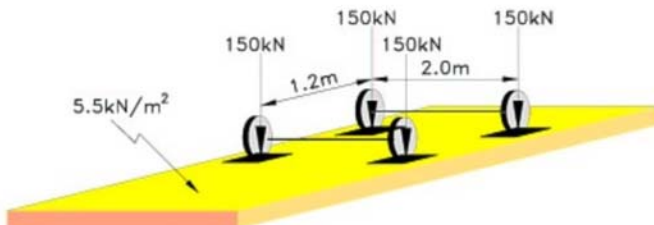
სადაც,

SW - საკუთარი წონა;

Sh - შეჯდენა.

¹ ამასთან დამატებით, ქალაქის პირობებში (არა მაგისტრალური ხიდისთვის) შესაძლებელია შემოვიტანოთ შემამცირებელი კოეფიციენტი $\psi_0 \leq 1.0$ - რედუქციული კოეფიციენტი დატვირთვისთვის **LM1**.

დატვირტვა **LM1** გათვალისწინებულია ხიდებისთვის ავტომაგისტრალებზე, სადაც უმეტესობა მმიმე სატვირთო ავტოტრანსპორტია. ყველა ქვეყანაში არ გამოიყენება დატვირთვა **LM1** რედუქციულობის გარეშე. შემოთავაზებული კოეფიციენტი ტოლი $\psi_0 = 0.8$ -ისა შეამცირებს საავტომობილო დატვირთვის დონეს, მაგრამ ამასთანავე, რედუქციული საანგარიშო დატვირთვა იქნება მეტი ამერიკული დატვირთვის ნორმებისა AASHTO მიხედვით, და მეტი ვიდრე ინგლისში დოკუმენტში «Load Models & Groups to UK National Annex - BS EN 1991-2:2003 + UK NA». Load Model 1 (LM1) - Clause 4.3.2 + NA.2.12. A double-axle load (called the Tandem System) applied in each traffic lane in conjunction with a uniformly distributed load (called the UDL System).



The UK use a 300kN axle load with a uniformly distributed load of 5.5kN/m². If there is more than one lane of traffic then the axle load is reduced in adjacent lanes (200kN in lane 2, 100kN in lane 3 and 0kN in other lanes). This loading covers most of the effects of the traffic of Lorries and Cars.

LM1 საავტომობილო დატვირთვა (მოდელი 1)

LM4 - ფეხით მოსიარულეთაგან დატვირთვა (მოდელი 4)

UDL - uniform distributed load – თანაბრად განაწილებული დატვირთვა

TS - tandem system – ტანდემი

T₀ - ტემპერატურა (ტემპერატურათა სხვაობა ფოლადის კოჭსა და რეინაბეტონის ფილას შორის ფოლად-რკინაბეტონისკვეთების გაანგარიშებისას).

F_{rk} - ქარის ზემოქმედება.

დატვირთვების კომბინაცია სეისმური საანგარიშო სიტუაციებისას (п.6.4.3.4 EN 1998)

ზემოქმედების ეფექტი შეიძლება (პ. 6.4.3.4 EN 1990) ჩაიწეროს ამ სახით:

$$E_d = G_{k,j} + P + A_{Ed} + \psi_2 Q_{k,i} \quad (6.12b)$$

ზემოქმედების ეფექტი შეიძლება (პ. 5.5 EN 1998-2) ჩაიწეროს ამ სახით:

$$E_d = G_{k,j} + P + A_{Ed} + \psi_2 Q_{k,i} + Q_2 \quad (5.4)$$

სადაც

G_{k,j} დამახასიათებელი მუდმივი დატვირთვები (მალის ნაშენისა და ბურჯების საკუთარი წონა);

$$P = 0 \quad \text{წინასწარდაბაძა;}$$

A_{Ed} - სეისმური ზემოქმედების საანგარიშო მნიშვნელობა EN 1998-1, EN 1998-2.

მიხედვით, მიღებული სპეციული მეთოდის საფუძველზე. მეთოდის საფუძველია ფორმულა, რომელშიც ინერციული ძალები განსაზღვრულია ცხრილის მნიშვნელობაზე მასის წარმოების შედეგად და რიგ კოეფიციენტებზე.

ამასთანავე:

ψ_{2,i} = 0 – კომბინაციის კოეფიციენტი არაძირითადი დროებითი ზემოქმედებისთვის (მოცემულ შემთხვევაში დროებითი დატვირთვა LM1); ითვლება, რომ მანქანის მასის ბიძის მომენტში არ შეიძლება ჩაირთოს მალის ნაშენის ინერციული მასები მათ შორის არახისტი კავშირების გამო.

Q_{k,i} არაძირითადი დროებითი ზემოქმედება (მოცემულ შემთხვევაში დროებითი დატვირთვებისთვის LM1).

როცა გამოსახულებას (6.12b) ექნება შემდეგი სახე:

$$E_d = G_{k,j} + A_{Ed}.$$

საანგარიშო ინერციული ძალები განისაზღვრება ხიდის პასუხისმგებლობის კოეფიციენტის გათვალისწინებით **γ_r**.

$$A_{Ed} = \gamma_r A_{sd}$$

სადაც:

γ_r = 0.85 ხიდები I კლასის (ხიდები ექსპლოატაციის დროით 50 წელზე ნაკლები)

γ_r = 1.0 ხიდები II კლასის (არამაგისტრალური ხიდები)

$\gamma_r = 1.3$ ხიდები III კლასის (სტრატეგიული მნიშვნელობის ხიდები და უაღმისატივო ხიდები)
ხიდი მდ. კერეზე ქ. ობილისში მიკუთვნებულია II კლასს. $\gamma_r = 1.0$

3.2 მუდმივი დატვირთვები

3.2.1 კონსტრუქციის საკუთარი წონა

კონსტრუქციის ელემენტების საკუთარი წონის განსაზღვრისთვის მიღებულია შემდეგი სიმკვრუვეები

ფოლადის ნაგლინი	7.85 ტ/მ ³
რკინაბეტონი	2.5 ტ/მ ³
ასფალტი და ბეტონი	2.4 ტ/მ ³

ხიდზე მუდმივი დატვირთვების სიდიდეები წარმოდგენილია ცხრილში 3.1

ცხრილი 3.1

სამოძრაო სიგანე, მ	16.5
ტროტუარების სიგანე, მ	3.87
ფილის სიგანე, მ	24.2

№№	მუდმივი დატვირთვები	საიმედო-ობის კოეფ.	დატვირთვის რაოდენობა ფართზე		დატვირთვის რაოდენობა ხიდის სიგრძეზე	
		γ_f	დამახა-სიათე-ბელი	საანგა-რიშო	დამახა-სიათე-ბელი	საანგა-რიშო
მთხოვთ კონსტრუქციები						
1	მთავარი კოჭები	135	0.320ტ/მ ²	0.432ტ/მ ²	7.74ტ/მ	10.45ტ/მ
2	განივი კოჭები	135	0.050ტ/მ ²	0.068ტ/მ ²	1.21ტ/მ	1.63ტ/მ
3	მომსახურეთა გასასვლელები (0.4 ტ/მ)	135	0.017ტ/მ ²	0.022ტ/მ ²	0.40ტ/მ	0.54ტ/მ
4	საყალიბე ანაკრები ფილები (საშ. 5 სმ)	135	0.120ტ/მ ²	0.162ტ/მ ²	2.90ტ/მ	3.92ტ/მ
5	ფილის არმატურა	135	0.080ტ/მ ²	0.108ტ/მ ²	1.94ტ/მ	2.61ტ/მ
6	ფილის მონოლითური ბეტონი 21 სმ	135	0.504ტ/მ ²	0.680ტ/მ ²	12.20ტ/მ	16.47ტ/მ
სულ მთხოვთ კონსტრუქციები			1.091ტ/მ ²	1.472ტ/მ ²	26.39ტ/მ	35.63ტ/მ

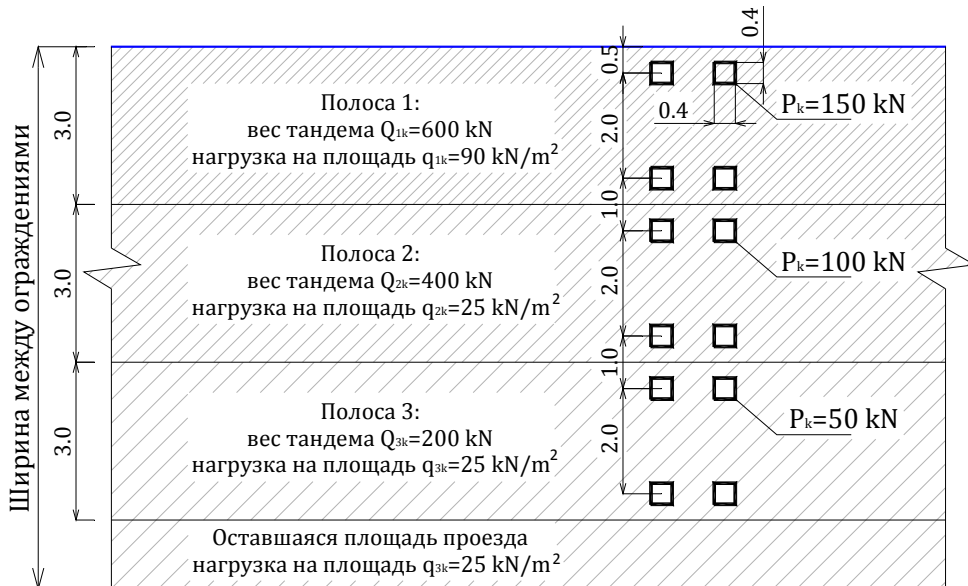
ხიდის ვაკისი						
7	ტროტუარის რკინაბეტონი 20 სმ	135	0.500 δ/δ^2	0.675 δ/δ^2	3.87 δ/δ	5.22 δ/δ
8	სავალის ზოლის საფარი 8 სმ	135	0.192 δ/δ^2	0.259 δ/δ^2	3.17 δ/δ	4.28 δ/δ
9	შემოფარგვლა, ბოძები და წყალსარინი ტროტუარებზე (0.3 ტ/მ ტროტუარის 1 მ-ზე)	135	0.078 δ/δ^2	0.105 δ/δ^2	0.60 δ/δ	0.81 δ/δ
სულ ხიდის ვაკისი ფილის მთელ სიგანეზე			0.316 δ/δ^2	0.426 δ/δ^2	7.64 δ/δ	10.31 δ/δ
სულ ფილის მთელ სიგანეზე ტ და მ			1.41 δ/δ^2	1.90 δ/δ^2	34.0 δ/δ^2	45.9 δ/δ^2

3.3 ტრანსპორტის დატვირთვები

გერტიკალური მოძრავი სააგტომობილო დატვირთვები ხიდზე EN 1991-2-ში წარმოდგენილია რამდენიმე დატვირთვების მოდელებით (Load Model - LM).

3.3.1 გერტიკალური დატვირთვები

ხიდის ყველა გაანგარიშებებისთვის გამოიყენება შემდეგი 4 მოდელი:



ნახ. 3.2 დატვირთვა ფართზე და ტანდემი LM1

(1) LM1 – გამოიყენება ხიდების გლობალური გამოთვლებისთვის. დატვირთვის ყოველ ზოლზე i მდებარეობს ერთი ტანდემი, დატვირთვით დერძზე და ფართზე განაწილებული დატვირთვა Q_i და ფართზე განაწილებული დატვირთვა q_i . დატვირთვის ზოლების რაოდენობა ტოლია მთლიანი სამოძრაო ზოლის სიგანის განაყოფისა ზოლის სიგანეზე და $=3.0$ მ. მახასიათებელი დატვირთვების

მნიშვნელობა მოცემულია ცხრ. 3.1. დატვირთვების საანგარიშო მნიშვნელობა ტოლია მახასიათებელი დატვირთვების წარმოებულისა საიმედოობის კოეფიციენტი $\gamma_f = 1.35$.

თუ არ არის სხვა წინაპირობა, მაშინ დატვირთვის მნიშვნელობის გაზრდა დინამიკური ეფექტის ხარჯზე ჩართულია მახასიათებელი დატვირთვების მნიშვნელობაში დერძზე Q_{ik} და წნევაზე ფართზე q_{ik} .

დატვირთვის ზოლის ნომერი	ტანდემის დერძზე დატვირთვა Q_{ik} , кН	დატვირთვა ზოლზე q_{ik} , кН/м ²
1-ი ზოლი	300	9
მე-2-ე ზოლი	200	2.5
მე-3-ე ზოლი	100	2.5
სხვა ზოლები და ფართები	0	2.5

(2) LM2 – ეს არის ერთეული დერძი ხიდების საგალი ზოლის ფილის გასაანგარიშებლად და სხვა აღგილობრივი გაანგარიშებებისთვის, გზის ზედაპირის უსწორმასწორობებით გამოწვეული დარტყმითი ეფექტების გათვალისწინებით. ერთეული დერძის დაწოლის მახასიათებელი მნიშვნელობა $Q_{ak} = 400$ კნიუტ. ბორბლის კვალის ზომა 0.35×0.6 მ.



ნახ. 3.3 დატვირთვა LM2

(3) LM3 – სპეციალური ერთეული სატრანსპორტო საშუალებები, ჯაჭვურად განლაგებული განლაგებული დერძებით 1.5 მ-იანი დაშორებით, ან დერძების ორი ჯგუფი, განთავსებით 12 მ მანძილზე. უდიდესი მახასიათებელი დატვირთვა შეიძლება მიაღწიოს 3600 კნიუტ წონას (მიიღება დანართის A [15] ცხრილებით A1 და A2).

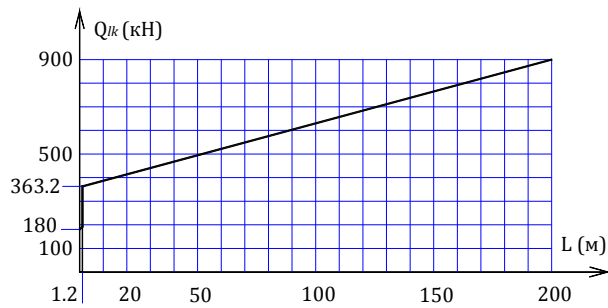
ხიდებისთვის სამი სამოძრაო ზოლით დატვირთვა LM1, როგორც წესი, ფარავს მოდელი LM3 მოქმედებას.

(4) LM4 – ფეხით მოსიარულებისგან დატვირთვა, ფართზე განაწილებული მახასიათებელი დატვირთვის სახით დინამიურობის კოეფიციენტის $5 \text{ კნიუტ}/\text{მ}^2$ ჩართვით.

გამდლეობის გასაანგარიშებლად გამოყენებულია მოდელი LM1 შემამცირებელი კოეფიციენტებით განაწილებულისთვის და ტანდემებისთვის.

3.3.2 პორიზონტალური დატვირთვები

პორიზონტალური დატვირთვები ევროკოდებში განხილულია დამუხრუჭება (აჩქარება) ძალების Q_{lk} სახით და შესაძლებელია განისაზღვროს გრაფიკიდან ნახ. 3.4. Q_{lk} ძალის მახასიათებელი მნიშვნელობა შეზღუდულია 900 კნიუტ სიდიდით.



ნახ. 3.4 დამუხრუჭება (აჩქარება) ძალის მახასიათებელი მნიშვნელობა Q_{lk} , კნიუტ

3.3.3 საავტომობილო დატვირთვები სიმტკიცის

და საიმუდოობის გასაანგარიშებლად

ხიდზე საავტომობილო დატვირთვების საბოლოო ცხრილი EN 1991-2 მიხედვით წარმოდგენილია ცხრილში 3.2.

ცხრილი 3.2

სამოძრაო ზოლის სიგანე, მ			16.5					
ზოლის სიგანე, მ			3					
სამოძრაო ზოლების რაოდენობა, ცალი			5.5					
დატვირ- ოვა LM1	ზოლი	მახასი- ათებელი სიდიდე δ/θ^2	რედუქ- ციის კოეფიც.	მახასიათებელი რედუცირებული სიდიდე ზოლების მიხედვით	საიმუ- დოობის კოეფიც.	γ_f	საანგარიშო რედუცირებული სიდიდე ზოლების მიხედვით	
განაწი- ლებული UDL Sistem LM1	1	0.90 δ/θ^2	1	0.90 δ/θ^2 270 δ/θ	1.35	1.22 δ/θ^2	3.65 δ/θ	
	2	0.25 δ/θ^2	1	0.25 δ/θ^2 0.75 δ/θ	1.35	0.34 δ/θ^2	1.01 δ	
	3	0.25 δ/θ^2	1	0.25 δ/θ^2 0.75 δ/θ	1.35	0.34 δ/θ^2	1.01 δ	
	4	0.25 δ/θ^2	1	0.25 δ/θ^2 0.75 δ/θ	1.35	0.34 δ/θ^2	1.01 δ	
	5	0.25 δ/θ^2	1	0.25 δ/θ^2 0.75 δ/θ	1.35	0.34 δ/θ^2	1.01 δ	
	სულ ხიდზე (საკონტროლო)			6.1 δ/θ	სულ ხიდზე	8.20 δ		
ტანდემ (2ღები) Tandem Sistem LM1	1	60.0 δ	1	60.0 δ	1.35	81.0 δ	81.0 δ	
	2	40.0 δ	1	40.0 δ	1.35	54.0 δ	54.0 δ	
	3	20.0 δ	1	20.0 δ	1.35	27.0 δ	27.0 δ	
	4	0.0 δ	1	0.0 δ	1.35	0.0 δ	0.0 δ	
	5	0.0 δ	1	0.0 δ	1.35	0.0 δ	0.0 δ	
	სულ ხიდზე (საკონტროლო)			120.0 δ	სულ ხიდზე	162.0 δ		
ღერძის ბორბლის დაწოლა ანაბეჭდით 0.6×0.35 , ბორბლებს შორის მანძილი (ღერძებს შორის) 2.0 მ								
LM2	ერთი ბორბლის დაწოლა	20.0 δ		1.35	27.0 δ			
ფენით მოსიარეულები ტროტუარზე								
LM4	დაწოლა ფართზე	0.50 δ/θ^2		1.35	0.68 δ/θ^2			
აჩქარება-დამუხრუჭება ხიდზე (ჰორიზონტალური ძალა)								
Q_{IR}		90.0 δ	1	90.0 δ	1.35	121.5 δ		

3.3.4 დატვირთვები გამძლეობის საანგარიშოდ

გამძლეობის გასაანგარიშებლად ევროკოდებული შემოთავაზებულია 5

მოდელი. მიღებულია LM1 რედუქციული კოეფიციენტებით 0.7 ტანდემებისთვის და 0.3 განაწილებული დატვირთვისთვის, რაც მოსახერხებელია გაანგარიშებების შესრულებისას.

სამოძრაო ზოლის სიგანე, მ			16.5					
ზოლის სიგანე, მ			3					
სამოძრაო ზოლების რაოდენობა, ცალი			5.5					
დატვირ- თვა LM1	ზოლი	მახასი- ათებელი სიდიდე δ/δ^2	რედუქ- ციის კოეფიც.	მახასიათებელი რედუცირებული სიდიდე ზოლების მიხედვით	γ_f	საიმე- დოობის კოეფიც.	საანგარიშო რედუცირებული სიდიდე ზოლების მიხედვით	
			ψ					
განაწი- ლებული UDL Sistem LM1	1	0.90 δ/δ^2	0.3	0.27 δ/δ^2	0.81 δ/δ	1	0.27 δ/δ^2	0.81 δ/δ
	2	0.25 δ/δ^2	0.3	0.08 δ/δ^2	0.23 δ/δ	1	0.08 δ/δ^2	0.23 δ/δ
	3	0.25 δ/δ^2	0.3	0.08 δ/δ^2	0.23 δ/δ	1	0.08 δ/δ^2	0.23 δ/δ
	4	0.25 δ/δ^2	0.3	0.08 δ/δ^2	0.23 δ/δ	1	0.08 δ/δ^2	0.23 δ/δ
	5	0.25 δ/δ^2	0.3	0.08 δ/δ^2	0.23 δ/δ	1	0.08 δ/δ^2	0.23 δ/δ
	სულ ხიდზე (საკონტროლო)			1.8 δ/δ	სულ ხიდზე	1.82 δ/δ		
ტანდემი (2ღები) Tandem Sistem LM1	1	60.0 ტ	0.7	42.0 ტ	42.0 ტ	1	42.0 ტ	42.0 ტ
	2	40.0 ტ	0.7	28.0 ტ	28.0 ტ	1	28.0 ტ	28.0 ტ
	3	20.0 ტ	0.7	14.0 ტ	14.0 ტ	1	14.0 ტ	14.0 ტ
	4	0.0 ტ	0.7	0.0 ტ	0.0 ტ	1	0.0 ტ	0.0 ტ
	5	0.0 ტ	0.7	0.0 ტ	0.0 ტ	1	0.0 ტ	0.0 ტ
	სულ ხიდზე (საკონტროლო)			84.0 ტ	სულ ხიდზე	84.0 ტ		

[11] EN 1990 Eurocode – Basis of structural design / კონსტრუქციის პროექტირების საფუძვლები

[14] EN 1991-1-7:2006 Eurocode 1 - Actions on structures - Part 1-7: General actions – Accidental actions / ზემოქმედება კონსტრუქციების საფუძვლები

სტრუქტურული ზოგადი ზემოქმედება –

შემთხვევითი მოქმედება.

[15] EN 1991-2:2003 Eurocode 1: Actions on structures - Part 2: Traffic loads on bridges / ზემოქმედება კონსტრუქციებზე – ნაწილი 2; სატრანსპორტო დატვირთვები ხიდებზე.

3.4 სხვა დატვირთვები

3.4.1 შეკლება

განასხვავებენ ბეტონის მოცულობის შემცირების რამოდენიმე პროცესს.

ესენია შეკლება, დაკავშირებული ცემენტის გელის გარდაქმნა ცემენტის ქვად E_{ca} , ბეტონის გამოშრობისგან E_{cd} და ტემპერატურების სხვაობა ფოლადის კოჭსა და ეპთოტერმინისას გაცხელებულ ბეტონის ფილას შორის E_{th} .

3.4.1.1 სწრაფი (აუტოგენური) შეკლება ε_{ca}

ეს ხანმოკლე პროცესია, რომელიც წარმოიშვება ჰიდრატაციისას ცემენტის ქვის წარმოქმნისას და დაკავშირებულია ბეტონის მოცულობის შემცირებასთან. ერთი კვირის განმავლობაში მიმდინარეობს პროცესის 40%, ხოლო 3 თვის მანძილზე შეკლების 85%. შეკლების ფარდობითი დეფორმაცია ბეტონის ასაკისას t გამოითვლება ფორმულით:

$$\varepsilon_{ca}(t) = \beta_{as}(t)\varepsilon_{ca}(\infty)$$

$\varepsilon_{ca}(\infty) = 2.5(f_{ck} - 10)10^6$ - შეკლების საბოლოო ფარდობითი დეფორმაცია;

f_{ck} - ცილინდრული სიმტკიცის მახასიათებელი მნიშვნელობა, მპა; ჩვენს შემთხვევაში ცილინდრული სიმტკიცე შეიძლება მივიღოთ პირობითად 0.85 გუბიკური სიმტკიცისა – ბეტონის კლასის; B35 კლასის ბეტონისთვის

$$f_{ck}=0.85\cdot 35=30 \text{ მპა};$$

$\beta_{as}(t)$ - დროის კოეფიციენტი $\beta_{as}(t) = 1 - \exp(-0.2t^{0.5})$,

t - ბეტონის შეკლების განხილვის მომენტის დრო, დღეები.

3.4.1.2 შეკლება გამოშრობისას ε_{cd}

ეს ხანგრძლივი პროცესია, რომელიც იწყება ბეტონის დაგების მომენტიდან და რომელიც შეიძლება გაგრძელდეს ხიდის არსებობის მანძილზე. გამოშრობით განპირობებული ბეტონის შეკლების ფარდობითი დეფორმაციის ზღვრული მნიშვნელობა განისაზღვრება გამოსახულებით:

$$\varepsilon_{cd} = k_h \varepsilon_{cd,0}$$

გამოშრობისგან ბეტონის შეკლების ფარდობითი დეფორმაციის ძირითადი მნიშვნელობა $\varepsilon_{cd,0}$ განისაზღვრება შემდეგი სახით:

$$\varepsilon_{cd,0} = 0.85 \left[(220 + 110\alpha_{ds,1}) \exp \left(-\alpha_{ds,2} \frac{f_{cm}}{f_{cm0}} \right) \right] 10^{-6} \beta_{RH};$$

$$\beta_{RH} = 1.55 \left[1 - \left(\frac{RH}{RH_0} \right)^2 \right].$$

f_{cm} — ბეტონის საშუალო სიმტკიცე შეკუმშვისას, მპა; შეიძლება შეიცვალოს გარანტირებული სიმტკიცით ან ბეტონის კლასით ჩვენი ნორმების მიხედვით;

$$f_{cm0} = 10 \text{ მპა};$$

$\alpha_{ds,1}$ და $\alpha_{ds,2}$ - ცემენტის სახეობის გამათვალისწინებელი კოეფიციენტები;

$$\alpha_{ds,1} = 4; \alpha_{ds,2} = 0.12 - N \text{ კლასის ნორმალური ცემენტისათვის};$$

RH - ფარდობითი ტენიანობა ექსპლოატაციის პერიოდში, %
(თბილისისთვის 80%);

$$RH_0 = 100\%$$

k_h — კოეფიციენტი, დამოკიდებული კვეთის დაყვანილ ზომებზე $k_h = 2A_c/u$,
მიღებული ცხრ. 38.

A_c — ბეტონის განივი კვეთის ფართი;

u — განივი კვეთის ფართის ნაწილის პერიმეტრი, რომელზეც ზემოქმედებს
გარემო პირობები (სრულ პერიმეტრს მინუს ზონა იზოლიაციით).

მნიშვნელობა k_h

h_0, mm	100	200	300	>500
k_h	1.0	0.85	0.75	0.7

გამოშრობისგან შეკლება t მომენტის დროს გამოითვლება ფორმულით:

$$\varepsilon_{ad}(t) = \beta_{ds(t,t_s)} k_h \varepsilon_{ad,0},$$

სადაც $\beta_{ds(t,t_s)} = \frac{t-t_s}{(t-t_s)+0.04h_0^{3/2}}$

t - ბეტონის ასაკი განსახილველ პერიოდში, დღეები;

t_s - ბეტონის ასაკი გამოშრობისგან შეკლების დაწყებისას, 1 დღე.

3.4.1.3 თერმული შეკლება ε_{th}

ეს ხანმოკლე დატვირთვაა, რომელიც წარმოიშვება ტემპერატურების სხვაობის გამო გამაგრებისას გაცხელებული ბეტონის ფილასა და ფოლადის კოჭს შორის. ანგარიშებში ბეტონის შეკლება წარმოდგენილია მიყენებული დეფორმაციებით ε ბეტონის ფილის კვეთის შეკუმშულ ზონაში. თანახმად EN1994-2 შეკლება გაითვალისწინება როგორც ტემპერატურათა სხვაობა ΔT ბეტონსა და ფოლადის კოჭს შორის. ევროკოდებით რეკომენდირებული მნიშვნელობა $\Delta T = 20^\circ\text{C}$ (შეიძლება დაზუსტდეს ნაციონალური ნორმებით) და შესაბამისი მიყენებული დეფორმაციები შეადგენს $\varepsilon_{th} = \alpha_{th}^e \Delta T = 0.0002$. ეს სიდიდე ფრანგების აზრით “SETRA Recommendations on controlling cracking in slabs” უნდა გაიყოს შუაზე. ამ რეკომენდაციის გამოყენებით ვდებულობთ $\varepsilon_{th} = 0.0001$.

3.4.1.4 სრული შეკლება

თანახმად EN1992-1-1, EN1994-2, შეკლება გამოშრობისგან ε_{ca} ,

აუტოგენური შეკლება ε_{cd} და ტერმული შეკლება ε_{th} მოქმედებენ ერთდროულად, მაგრამ იკრიბებიან ახალი და ძველი ხიდებისთვის განსხვავებულად.

მოძრაობის გახსნის მომენტი (ახალი ხიდი) ბეტონის ასაკისას t_{int} დღეები, მთლიანი შეკლება ტოლია გამოშრობისა და აუტოგენური შეკლების ჯამის და ამასთანავე თერმული შეკლების:

$$\varepsilon_{cs(t)} = \varepsilon_{cd(t)} + \varepsilon_{ca(t)} + \varepsilon_{th(t)}.$$

ხიდის ექსპლოატაციის ბოლოს (ძველი ხიდი) როცა t განტოლებებში მიისწრაფის უსასრულობისკენ, $\beta_{ds(\infty)}$ და $\beta_{ds(\infty, t_s)}$ ტოლია ერთის. ჯამური შეკლება გამოითვლება თერმული შეკლების გარეშე:

$$\varepsilon_{cs(\infty)} = \varepsilon_{cd(\infty)} + \varepsilon_{ca(\infty)}.$$

ხიდისთვის ქ თბილისში გამოთვლილი შეკლებები მოცემულია ცხრილში 3.4.

ცხრილში 3.4.

Параметр	Обозначения или формула	Значение
Ширина плиты, м	b	24.2
Толщина плиты (средняя), м	h	0.19
Площадь монолитного бетона, м ²	A_c	4.63
Открытый периметр, м	u	1
Класс бетона, МПа	f_{cm}	35
Цилиндрическая прочность, МПа	$f_{ck} = 0.85 \cdot f_{cm}$	29.8
Автогенная конечная усадка	$\varepsilon_{ca(\infty)} = 2.5 \cdot (f_{ck} - 10) \cdot 10^{-6}$	0.0000494
Возраст бетона на момент открытия моста, дни	t	10000
Коэффициент учета времени	$\beta_{as}(t) = 1 - \exp(-0.2 \cdot t^{0.5})$	1.000
Автогенная усадка в возрасте t , дней	$\varepsilon_{ca}(t) = \beta_{as}(t) \cdot \varepsilon_{ca}(\infty)$	0.0000494
Усадка при высыхании	$\varepsilon_{cd,0} = 0.85 \left[(220 + 110 \alpha_{ds1}) \cdot \exp\left(-\alpha_{ds2} \frac{f_{cm}}{f_{cm0}}\right) \right] \cdot 10^{-6} \cdot \beta_{RH}$	0.000279
Гарантированная прочность бетона, МПа	f_{cm0}	10
Коэффициент для нормального цемента	α_{ds1}	4
Коэффициент для нормального цемента	α_{ds2}	0.12
Относительная влажность воздуха, %	RH	80
Пределная влажность воздуха, %	RH_0	100
Коэффициент влажности воздуха	$\beta_{RH} = 1.55 \cdot \left[1 - \left(\frac{RH}{RH_0} \right)^3 \right]$	0.76
Относительный размер плиты	$h_0 = 2A_c/u$	9255
Функция от относительного размера	k_h (табл. 38 Книга)	0.7
Усадка при высыхании	$\varepsilon_{cd} = k_h \cdot \varepsilon_{cd,0}$	0.000195
Возраст бетона на момент открытия моста, дни	t	100
Возраст бетона на начало усадки, дни	t_0	1
Коэффициент	$\beta_{ds(t,t_0)} = \frac{(t - t_s)}{(t - t_s) + 0.04\sqrt{h_0^3}}$	0.003
Усадка при высыхании на момент времени	$\varepsilon_{cd(t)} = \beta_{ds(t,t_0)} \cdot k_h \cdot \varepsilon_{cd,0}$	0.000001
Термальная усадка	ε_{th}	0.0001
Суммарная ранняя усадка	$\varepsilon_{ca(t)} + \varepsilon_{cd(t)} + \varepsilon_{th}$	0.000150
Суммарная конечная усадка	$\varepsilon_{ca} + \varepsilon_{cd}$	0.000245

3.4.2 Моделирование гидроизоляции

Моделирование гидроизоляции бетона согласно EN 1992 и EN 1994 – Практические рекомендации по применению гидроизоляционных материалов.

Моделирование гидроизоляции бетона основывается на моделировании бетонных конструкций с помощью методов конечных элементов. Моделирование гидроизоляции бетона $n_0 = E_a / E_{cm}$. Важно учесть, что для расчета гидроизоляции B35 используется коэффициент проницаемости n_0 в соответствии с нормами EN 1992-1-1, а не коэффициент проницаемости $n_L = n_0 [1 + \psi_L \cdot \varphi(t, t_0)]$. Для расчета коэффициента проницаемости n_L необходимо учесть зависимость от времени $\varphi(t, t_0)$.

კოეფიციენტები n_L გამოითვლება ცალკე შეკლების ზემოქმედებაზე და ბეტონის საკუთარი წონისა და ხიდის ვაკისის ელემენტების საკუთარი წონისგან.

3.4.2.1 მოდულური კოეფიციენტების გამოთვლის თანმიმდევრობა

ამოსავალი მონაცემები

f_{cm} ბეტონის საშუალო სიმტკიცე კუბიკის $150 \times 150 \times 150$ მმ შეკუმშვაზე 28-ე დღეს (შეიძლება მივიღოთ გარანტირებული სიმტკიცე ბეტონის კლასის ტოლო);

RH - ჰაერის ფარდობითი ტენიანობა ექსპლოატაციისას;

b - ფილის სიგანე, მმ;

h - ფილის სისქე, მმ;

t_0 - betonis asaki:

-შეკლების დასაწყისში, აიღება 1 დღე;

-ბეტონის საკუთარი წონის დაწოლის მომენტი (აიღება ბეტონის საშუალო ასაკისას ბეტონირების მომენტი);

- ხიდის ვაკისის ელემენტების საკუთარი წონის დაწოლის მომენტი (აიღება ბეტონის საშუალო ასაკს +ხიდის ვაკისის მოწყობის დრო);

t - ბეტონის ასაკი განხილვის დროს, დღეები;

-ექსპლოატაციის დასაწყისი (ახალი ხიდი);

- ექსპლოატაციის 100 წლის შემდეგ (ძველი ხიდი);

ψ_L - შეკლების კოეფიციენტი $=0.55$;

ψ_L - საკუთარი წონის კოეფიციენტი $=1.10$;

E_a - დრეკადობის მოდული $=210000$ მპა;

E_{cm} - დრეკადობის მოდული შეიძლება გამოვთვალოთ ეგროკოდის ფორმულით

$$=22000 \cdot (f_{cm}/10)^{0.3}, \text{ - მპა (ან ცხრილის მნიშვნელობა);}$$

გამოსათვლელი პარამეტრები

n_0 - მოდულური კოეფიციენტი ხანმოკლე დატვირთვისას $n_0 = E_a / E_{cm}$;

n_L - მოდულური კოეფიციენტი განსახილველ მომენტის დროს t ;

$$n_L = n_0 [1 + \psi_L \cdot \varphi(t, t_0)]$$

სადაც

$\varphi(t, t_0)$ - კოეფიციენტი განსახილველ მომენტის დროს t

$$\varphi(t, t_0) = \varphi_0 \cdot \beta(t, t_0) = \varphi_0 \cdot \left(\frac{t - t_0}{\beta_H + t - t_0} \right)^{0.3}$$

φ_0 - კოეფიციენტი, უსასრულობის მომენტის დროს

$$\varphi_0 = \varphi_{RH} \cdot \beta(f_{cm}) \cdot \beta(t_0) = \left[1 + \frac{1 + RH/100}{0.1 \cdot \sqrt[3]{h_0}} \cdot \alpha_1 \right] \cdot \alpha_2 \cdot \left[\frac{16.8}{\sqrt{f_{cm}}} \right] \cdot \left[\frac{1}{0.1 + t_0^{0.2}} \right]$$

h_0 პირობითი სიმაღლე, მმ $= 2A_b / u$

A_b - ფილის ფართი, მმ²;

u - პერიმეტრი იზოლიაციით დაფარული ფილის ნაწილის გამოკლებით, მმ;

$$\alpha_1 = (35 / f_{cm})^{0.7}; \alpha_2 = (35 / f_{cm})^{0.2}; \alpha_3 = (35 / f_{cm})^{0.5} - \text{კოეფიციენტები}, \text{ რომლებიც}$$

ითვალისწინებენ ბეტონის სიმტკიცეს;

β_H - კოეფიციენტი, დამოკიდებული ფილის პირობით სიმაღლეზე და ფარდობით ტენიანობაზე;

$$f_{cm} \leq 35 \text{ დროს}$$

$$\beta_H = 1.5 [1 + (0.012 \cdot RH)^{18}] \cdot h_0 + 250 \leq 1500$$

$$f_{cm} > 35 \text{ დროს}$$

$$\beta_H = 1.5 [1 + (0.012 \cdot RH)^{18}] \cdot h_0 + 250 \cdot \alpha_3 \leq 1500 \cdot \alpha_3$$

3.4.2.2 მოდულური კოეფიციენტები ხიდისთვის ქ. თბილისში

გამოთვლილი მოდულური კოეფიციენტები მოცემულია ცხრილში 3.5. გაანგარიშებების წარმოებისას მიღებული იქნება ერთიანი ხანგრძლივი მოდულური კოეფიციენტი შეკლების დატვირთვებისთვის, ბეტონის წონისა და ხიდის ვაკისის წონისა, ტოლი 17.

ცხრილში 3.5.

პარამეტრები	აღნიშვნა	დატვირთვა		
		შეკლება	ბეტონი	ხიდის ვაკისი
ბეტონის კლასი (საშუალო სიმტკიცე) მპა	f_{cm}	35	35	35
ტენიანობა	RH	80	80	80
ფილის სიგანე, მ	b	24.2	24.2	24.2
ფილის სისქე, მ	h	0.2	0.2	0.2
ფილის ფართი, მ ²	A	4.84	4.84	4.84
ლია პერიმეტრი, მ	U	1	1	1
დატვირთვის მიუენების დრო, დღეები	t_0	1	15	100
განხილვის დრო, დღეები	t	100000	100000	100000
კოეფიციენტები დატვირთვების	ψ_L	0.55	1.1	1.1
ფილის პირობითი ზომა, მმ	h_0	9680	9680	9680
კოეფიციენტი	α_1	100	100	100
კოეფიციენტი	α_2	100	100	100
კოეფიციენტი	α_3	100	100	100
ტენიანობის კოეფიციენტი, $B>35$	β_H	0	0	0
ტენიანობის კოეფიციენტი, $B>35$	φ_{RH}	109	109	109
სიმტკიცის კოეფიციენტი	$\beta(f_{lb})$	2.84	2.84	2.84
დატვირთვის მიუენების დროის კოეფიციენტი	$\beta(t_0)$	0.91	0.55	0.38
კოეფიციენტი, $B>35$	φ_0	2.82	1.71	1.19
კოეფიციენტი, $B>35$	$\beta(t, t_0)$	1.00	1.00	1.00
ცოცვადობის ერთეული t ნომენტში ($B>35$)	$\varphi(t, t_0)$	2.82	1.71	1.19
ხანგრძლივ მოდულური კოეფიციენტი	n_0	6.56	6.56	6.56
ხანგრძლივი მოდულური კოეფიციენტი	n_L	16.7	18.9	15.1
დეფორმაციის მოდული მოდ. კოეფ. გათვა.	E	1254800	1.112897	1.112897
საშუალო ხანგრძლივი მოდულური კოეფ,	n_L	17	17	17

3.5 ტემპერატურის ზემოქმედება

ხიდის კონსტრუქციაზე ტემპერატურის ზემოქმედება განიხილება შემდეგი ტიპის გაანგარიშებებში:

გადაადგილების განსაზღვრისას კონსტრუქციის თანაბარი გაცხელების (გაცივების) შემთხვევაში და ძალვის განსაზღვრისას, და გადაადგილებისას ტემპერატურის თანაბარი ცვლილებისას რამის ელემენტებში და ხიდის კომბინირებულ ელემენტებში, ფოლადის ხაზოვანი გაფართოების კოეფიციენტი = $12 \cdot 10^{-6}$;

დაძაბულობის (ძალვის) განსაზღვრისთვის ელემენტების კვეთებში ფოლადის კოჭის და რკინაბეტონის ფილის არათანაბარი გაცხელებისას, ფოლადის ხაზოვანი გაფართოების კოეფიციენტი მიღებულია = $10 \cdot 10^{-6}$.

3.5.1 ტემპერატურა საყრდენი ნაწილების და დეფორმაციული ნაკერების გადაადგილების შეფასებისთვის

ამოსავალი მონაცემები ექსტრემალური ტემპერატურებისთვის ქ. თბილისში აღებულია СНиП 23-01:99 –დან, «სამშენებლო კლიმატოლოგია».

აბსოლუტური მნიშვნელობები შერჩეულია ექსტრემალური ტემპერატურებიდან დაკვირვებების მიხედვით.

აბსოლუტური მინიმალური ტემპერატურა -22°C

აბსოლუტური მაქსიმალური ტემპერატურა $+41^{\circ}\text{C}$

ძალიან ციფი და ცხელი დღეების ტემპერატურები მოცემულია ცნობის სახით:

ყველაზე ციფი დღე-დამის ტემპერატურა -14°C უზრუნველყოფა 0.98

ყველაზე ცხელი დღე-დამის ტემპერატურა $+34^{\circ}\text{C}$ უზრუნველყოფა 0.99.

3.5.1.1 საყრდენი ნაწილების დაყენება

ტემპერატურის საანგარიშო განშლა საყრდენი ნაწილის და დეფორმაციული ნაკერის გადაადგილების შეფასებისთვის გამოითვლება ფორმულით:

$$\Delta T_d = \Delta T_k + \Delta T_y + \Delta T_0$$

$$\Delta T_k = \frac{|t_w + t_s| + |t_c|}{2};$$

t_s 10°C დანამატი მზით გაცხელებაზე;

ΔT_y 5°C –საიმედოობის კოეფიციენტის ანალოგი;

t_w აბსოლუტური მაქსიმალური ტემპერატურა;

t_c აბსოლუტური მაქსიმალური ტემპერატურა;

ΔT_0 ცდომილება ტემპერატურის შეფასებაში დადგმისას; ტემპერატურული გადახრა დაყრდენი ნაწილის დადგმისას და დეფორმაციულ ნაკერებში ღრებოს მოწყობისას;

$$T_{0,max} = T_0 + \Delta T_0$$

$$T_{0,min} = T_0 - \Delta T_0$$

სადაც T_0 - დადგმის ტემპერატურა

დამატებითი ინფორმაციის არარსებობისას მნიშვნელობა ΔT_0 საჭიროა განისაზღვროს ცხრილიდან

შემთხვევა	დადგმა	$\Delta T_0 [^{\circ}\text{C}]$
1	დადგმის დროს ტემპერატურის გაზომვა. გარსაკრში მუშა საყრდენი ნაწილისთვის, დადგმა გაზომილი ტემპერატურის მიხედვით გაძნელებულია.	0
2	დადგმის დროს ტემპერატურის გაზომვის გარეშე, მდებარეობის შემდგომი კორექტირების გარეშე დადგენილი ტემპერატურისას +15°C	15

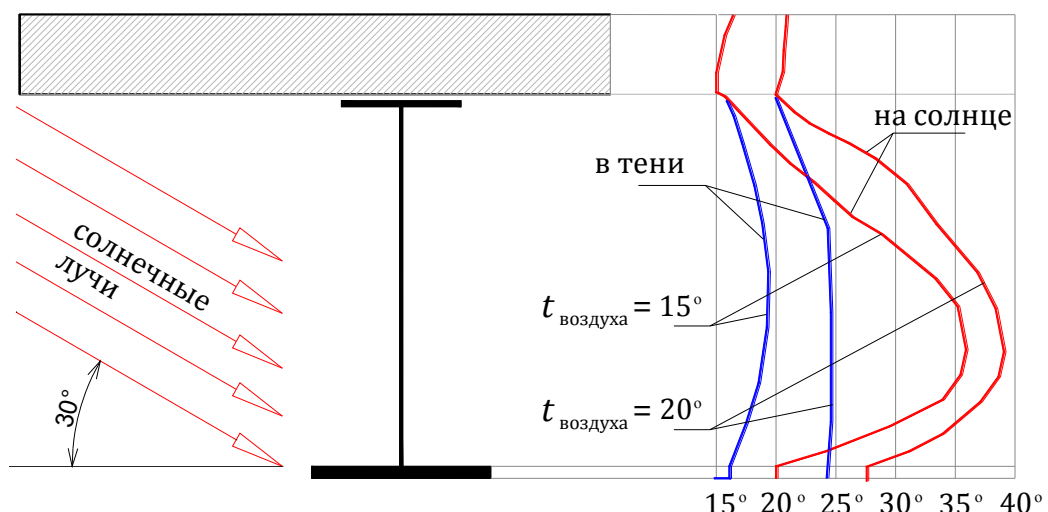
გაანგარიშების შედეგები

№№	Параметр	Обозначение	Значение
1	Наибольшая температура (абсолютная)	t_w	41
2	Добавка на солнечный нагрев	t_s	10
3	Нименьшая температура (абсолютная)	t_c	-22
4	Характеристический размах температур	$\Delta T_k = \frac{ t_w + t_s + t_c }{2}$	36.5
5	Добавка на надежность	ΔT_y	5
6	Ошибка при установке	ΔT_0	15
7	Расчетный размах температур	ΔT_d	56.5
8	Расстояние от точки расширения, м	L	109
9	Размах перемещений, м	Δ	0.074

3.5.2 ფილისა და ფოლადის კონსტრუქციების ტემპერატურათა სხვაობა

ფოლადის კოჭისა და ბეტონის ფილის სხვაობით გამოწვეული ძალვა მიმართულია და მოქმედებს ფოლად-რკინაბეტონის კვეთზე, რომელიც შედგება ფოლადის კოჭისა და არმირებული რკინაბეტონის ფილისგან ბზარებიანი ზონის გამოკლებით.

ნატურაში ტემპერატურულმა გაზომვებმა და თბოფიზიკურმა ანგარიშებმა აჩვენა, რომ შეიძლება შევაჯამოთ ტემპერატურული ზემოქმედების ერთობლიობა ფოლად-რკინაბეტონის კვეთზე სამ საანგარიშო შემთხვევად (კოჭის სიმაღლის მიხედვით ტემპერატურის განაწილების სამ ეპიურად).



ნახ. 3.5 კოჭის სიმაღლის მიხედვით ტემპერატურის

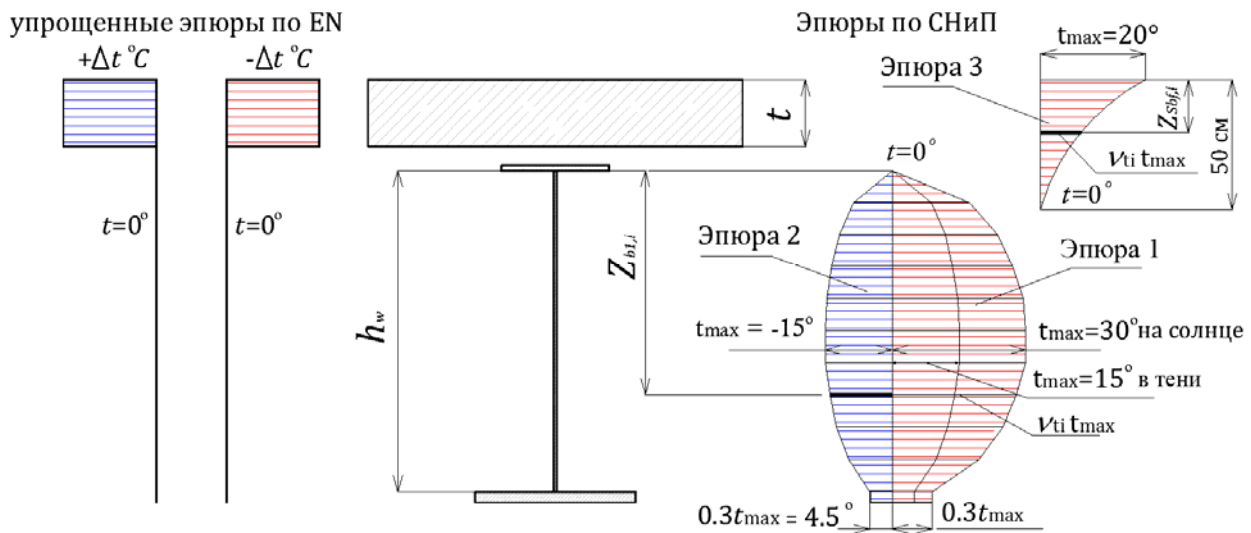
განაწილების ნატურული მონაცემები

ფილის სისქესა და საფარზე დამოკიდებული ტემპერატურის ნაკლები მნიშვნელობები რეკომენდირებულია ევროკოდით. ფილის ტემპერატურის დამოკიდებულება სისქისა და საფარისაგან (EN 1991-1-5 საფუძველზე, დანართი B)

ცხრილი 3.6

ფილის სისქე, მ	საფარის სისქე, მმ	ტემპერატურათა სხვაობა, $\Delta T^{\circ}\text{C}$	
		ფილა უფრო თბილია	ფილა უფრო ცივია
0.2	საფარის გარეშე	16.5	5.9
	ჰიდროზოლიაცია*	23.0	5.9
	80	15.0	4.0

ევროკოდი უშვებს დაზუსტდეს გამარტივებული მეთოდიკა. ქვემოთ მოყვანილია მეთოდიკა СНиП, რომელიც ითვალისწინებს ეპიურის ფორმას.



ნახ. 3.6 ტემპერატურის გაიურები ფოლადრკინაბეტონის კვეთში

თანახმად SNiP, დაძაბულობა გამოითვლება სამი ტემპერატურული გაიურიდან ერთით. ფილის გაცივება ΔT -ით – ეს იგივეა, რაც კოჭის გაცხელება იგივე სიდიდით. ამასთანავე ტემპერატურული ხაზოვანი გაფართოების კოეფიციენტს ფოლადის ნაწილისა და ფილის რკინაბეტონისა დებულობენ ერთდაიგივეს $= 10 \cdot 10^{-6}$.

გპიურა 1 გვიჩვენებს ტემპერატურის ცვლილებას კოჭის სიმაღლის მიხედვით მიცი გაცხელებისას. უმაღლესი ნორმატიული ტემპერატურა $t_{n,max}$ მიიღება ტოლი 30°C , როცა კოჭი ცხელდება მზით, და 15°C – როცა კოჭი არის ჩრდილში. გპიურის ცვლილება ნულოვანი ტემპერატურიდან ზედა სარტყელის კედელთან შეპირაპირების ადგილში აღიწერება ელიპსური მრუდით, გამოისახება განტოლებით

$$t_i = t_{n,max} v_{ti},$$

სადაც

$$v_{ti} = \sqrt{3.91 \frac{Z_{b,i}}{h_w} - 3.82 \left(\frac{Z_{b,i}}{h_w} \right)^2}.$$

გპიურა 2 გვიჩვენებს ტემპერატურის ცვლილებას კოჭის სიმაღლის მიხედვით მიცი გაცივებისას. უმდაბლესი ნორმატიული ტემპერატურა $t_{n,max}$ მიიღება ტოლი -15°C . გპიურა იცვლება ნულოვანი ტემპერატურიდან ზედა სარტყელის კედელთან შეპირაპირების ადგილში აღიწერება ელიპსური მრუდით, გამოისახება განტოლებით (7.3).

გპიურა 3 გვიჩვენებს ფილის ტემპერატურის ცვლილებას მზის რადიაციისაგან. ეს შემთხვევა უნდა განვიხილოთ მხოლოდ მზის სხივებით განათებულ რკინაბეტონის ფილებისთვის. გპიურას აქვს პარაბოლის ფორმა

უმაღლესი ორდინატით $t_{n,max} = 20^{\circ}\text{C}$ ფილის ზედაპირზე და ნულოვანი ორდინატა ზედაპირიდან 50 სმ მანძილზე. მიმდინარე ორდინატა გამოითვლება ფორმულით

$$t_t = t_{n,max} v_{tt},$$

სადაც

$$v_{tt} = \left(\frac{z_{st,t}}{50} - 1 \right)^2.$$

ზედა დონეზე განლაგებული რკინაბეტონის ფილის და ფოლადის კოჭის ტემპერატურათა სხვაობის მახასიათებელი მნიშვნელობები $t_{n,max}$ მიიღება ცხრილი 3.7.

ცხრილი 3.7

$t_{n,max}$, °C	გაცხელების ხასიათი
30	ფოლადის კოჭის ტემპერატურა მეტია, ვიდრე რკინაბეტონის ფილის, თუ შესაძლებელია კოჭის გაცხელება მზის მიერ პორიზონტთან 30° -იანი კუთხით
15	ფოლადის კოჭის ტემპერატურა მეტია, ვიდრე რკინაბეტონის ფილის, როცა მზის სხივები არ ხვდება კოჭს
15	ფოლადის კოჭის ტემპერატურა ნაკლებია, ვიდრე რკინაბეტონის ფილის
20	რკინაბეტონის ფილა დიაა მზის სხივებისთვის, და მისი ტემპერატურა მეტია, ვიდრე ფოლადის კოჭის ტემპერატურა

ტემპერატურული ზემოქმედებით გამოწვეული დაძაბულობები, წარმოქმნილი ერთმალიან ფოლად-რკინაბეტონის კოჭებში, გამოითვლება ფორმულით

$$\sigma_t = at_{n,max} E \left(\frac{A_t}{A_{stb,t}} + \frac{s_t}{I_{stb,t}} Z - v \right),$$

სადაც

$a = 0.00001 \text{გრად}^{-1}$ – ფოლადისა და ბეტონის ხაზოვანი გაფართოების კოეფიციენტი;

$t_{n,max}$ – კვეთში ტემპერატურის უდიდესი მნიშვნელობა აბსოლუტური სიღრიების მიხედვით;

E – დრეგადობის მოდული, მიღებული ქვემოთმოცემული მნიშვნელობების ტოლად;

E_b – ბეტონში დაძაბულობის განსაზღვრისას, ტოლი ხანმოკლე მოდულისა;

E_{st} – ფოლადის კოჭში დაძაბულობის განსაზღვრისას;

E_{rs} – დაუძაბავ არმატურებში დაძაბულობის განსაზღვრისას;

$A_{stb,t}, I_{stb,t}$ – ფოლადის დაყვანილი ფართის და ფოლად-რკინაბეტონის კოჭის განვითარებული კვეთის ბრუტო ინერციის მომენტი, შესაბამისად;

Z – მანძილი სიმძიმის ცენტრიდან $A_{stb,t}$ ფიბრამდე, სადაც განისაზღვრება σ_t (დერმის დადებითი მიმართულება Z – ქვევით).

კონსტრუქციის ფოლადის ნაწილში ტემპერატურის მომატების ან დაკლების შემთხვევაში ფორმულაში უნდა მივიღოთ:

$$A_t = 0.8A_{wt} + 0.3A_{s1,t};$$

$$S_t = (0.4h_w + 0.8Z_{b1,stb})A_{wt} + 0.3A_{s1,t}Z_{s1,stb};$$

$$v = v_{tl},$$

სადაც

A_{wt} – კედლის ფოლადის ვერტიკალური ელემენტების ფართი;

$A_{sl,t}$ – ქვედა სარტყელის ფოლადის პორიზონტალური ელემენტების ფართი.

რკინაბეტონის ფილაში ტემპერატურის მომატების შემთხვევაში ფორმულაში საჭიროა მივიღოთ:

$$A_t = \frac{17b_{sl}}{n_b} \left[1 - \left(1 - \frac{t_{sl}}{50} \right)^3 \right],$$

$$A_t = \frac{17b_{sl}}{n_b} (Z_{bf,sl,b} - 8)$$

$$v = v_{tl,b},$$

სადაც

b_{sl} და t_{sl} – კიდულის ეფექტური სიგანე და საშუალო სისქე, შესაბამისად.

კოეფიციენტების v_{tl} და $v_{tl,b}$ მნიშვნელობა მიიღება, შესაბამისად, ფოლადის და ბეტონის გაცხელებისთვის (გაცივებისთვის). კოეფიციენტები დგინდება i -თვის – კვეთის იმ წერტილისთვის, რომელშიც განისაზღვრება დაძაბულობა.

3.6 დატვირთვა ქარისაგან

კონსტრუქციაში ძალვების და სტატიკური რეაქციების შეფასებისთვის, ქარის დატვირთვა წარმოდგენილია როგორც ქარის დაწოლა, რომელიც იზომება ფართზე წნევით პა-ში, ან $\text{კგ}/\text{მ}^2$ -ში. საწყის მნიშვნელობად მიღებულია ქარის სიჩქარე მომატების ალბათობით 20 წელიწადში ერთჯერ და ტოლი 28 მ/წამ-ისა.

4. გაანგარიშებები. ძირითადი მიღგომები

4.1 ზოგადი

ხიდის კონსტრუქციის ანგარიშები, კერძოდ საანგარიშო სქემების შედგენის წესები, სიხისტეების განსაზღვრა, ელემენტების კვეთებში ძალვების განსაზღვრა, საერთო სიმტკიცის და ადგილობრივი მდგრადობის შემოწმება, დაძაბულობის შეზღუდვის შემოწმებები, ბზარების გახსნის შემოწმებები და ჭანჭიკებით შეერთებები შესრულებულია ევროკოდების მითითებების შესაბამისად.

გაანგარიშებების შესასრულებლად გამოყენებულია პროგრამული კომპლექსები:

- ხიდის ელემენტებში ძალვების განსაზღვრა - Лира 9.6
- კვანძებში ლოკალური დაძაბულობის განსაზღვრა - Лира 9.6
- ზოგადი მდგრადობის განსაზღვრა - Лира 9.6

- სეისმური ბიძგებისას ინერციული ძალების განსაზღვრა - Лира 9.6
- ქარის დაწოლისგან ძალვების განსაზღვრა - Лира 9.6
- დაძაბულობის განსაზღვრა - BridgeProf
- სიმტკიცის შემოწმებისთვის და ადგილობრივი მდგრადობისთვის - BridgeProf
- ბეტონისა და ფილის არმატურის შემოწმებისთვის - BridgeProf

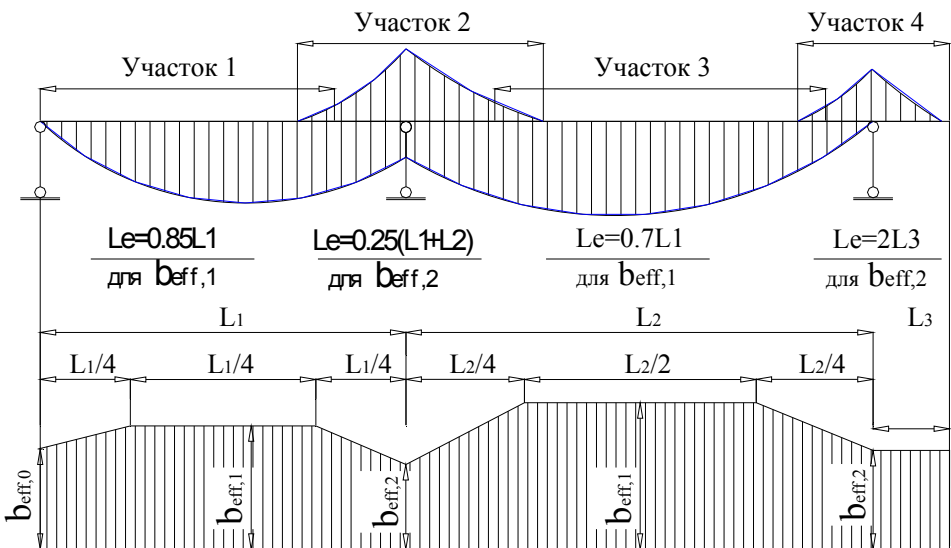
პროგრამა BridgeProf შემოწმებების შესამოწმებლად სრულად ადაპტირებულია ევროკოდების მოთხოვნებთან.

გაანგარიშებების შედეგები წარმოდგენილია კომპლექტის «საანგარიშო ფურცლებში».

ხიდის საანგარიში სქემები აგებულია ფილის რედუქციის და ბზარებიანი ზონების გათვალისწინებით.

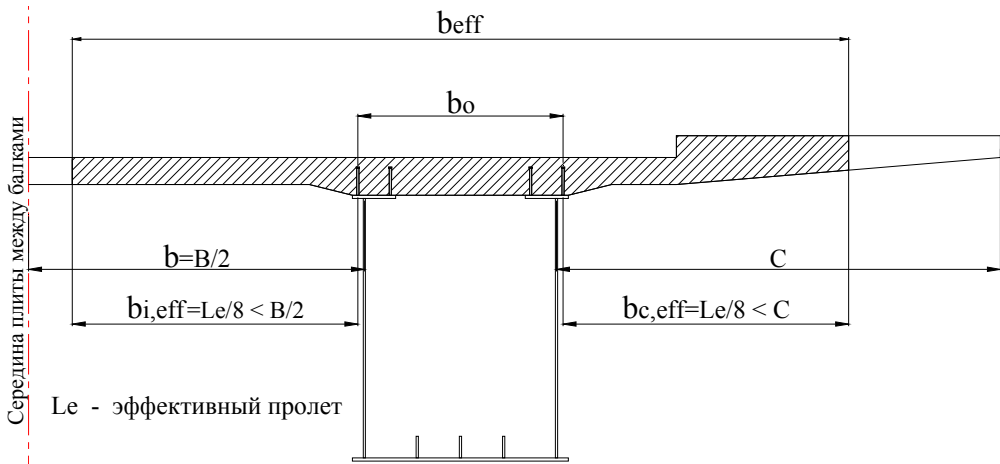
4.2 ფილის ეფექტური სიგანის გაანგარიშება EN 1994-2 მიხედვით

ხიდისთვის მიღებულია ფილის რედუცირების პრინციპი EN 1994-2: 2005 (E) მიხედვით.



ნახ. 4.1 ეფექტური მალის გაანგარიშების სქემა Le

ფილის კონსოლის და კოჭებს შორის ფილის ნაწილის კიდულის სიგანე მიიღება ეფექტური მალის Le -ის 1/8-ის ტოლი. ფილის ნაწილის სიგანე აითვლება არა მთავარი კოჭის კედლიდან, არამედ განაპირა დრეკადი საბრჯენის დადგმის ადგილიდან.



ნახ. 4.2 ფილის ეფექტური სიგანე EN 1994-2: 2005 (E) თანახმად

ეფექტური მალი Le მდებარეობს ასევე ორტოტროპული ფილიანი ფოლადის ხიდის შემთხვევაში. ეფექტური მალების განსაზღვრის სქემა უკრი კოჭის ოთხ მახასიათებელ მონაკვეთში ნაჩვენებია ნახ. 113.

განაპირა ბურჯზე დაყრდნობილი კოჭისთვის ეფექტური სიგანე განისაზღვრება ასე:

$$b_{eff,0} = b_e + \sum \beta_i b_{eff,i} \quad (a)$$

$$\beta_i = 0.55 + 0.025 Le / b_{eff,i} \leq 1.0$$

დროს

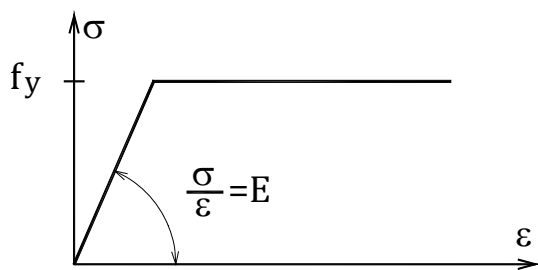
$$L_e/b_{eff,t} = 8.0 \text{ გამოსახულება (a) მიიღებს სახეს:}$$

$$b_{eff,0} = b_e + \sum 0.65 b_{eff,t}$$

4.3 ფოლადის კონსტრუქციების გაანგარიშება

თანახმად ფოლადის კონსტრუქციის კვეთები მიკუთვნებულია მე-3-ე კლასს და გაანგარიშებები შესრულებულია დრეკად დაყენებაში.

4.3.1 სიმტკიცის შემოწმება EN 1993-1-1 და 1993-2 მიხედვით



ნახ. 4.3 ბიხაზოვანი დამოკიდებულება «დაძაბულობები-დეფორმაციები»

სიმტკიცის გაანგარიშებისას გამოიყენება ბიხაზოვანი დამოკიდებულება «დაძაბულობები-დეფორმაციები» ნაჩვენები ნახ. 3.9, შეიძლება გამოყენებულ იქნას კონსტრუქციული ფოლადის მარკებისთვის. დენადობის ზღვარი (მახასიათებელი მნიშვნელობა) აღნიშნულია ასე f_y .

4.3.1.1 კვეთების კლასები

კვეთები განიხილება მათში დენადობის წარმოქმნის შესაძლებლობის თვალსაზრისით. დენადობის წარმოქმნას შეიძლება შეეწინააღმდეგოს ადგილობრივი სიმტკიცის დაკარგვა, რომელიც შეიძლება დადგეს შეკუმშვის ნაკლები დაძაბულობისას. ამიტომ კვეთები კლასიფიცირებულია შეკუმშვისგან ნაკლები ადგილობრივი დაძაბულობის წარმოქმნის კრიტერიუმებით.

განასხვავებენ განივი კვეთების ოთხ კლასს, იხილეთ ცხრილი 4.1.

ცხრილი 4.1

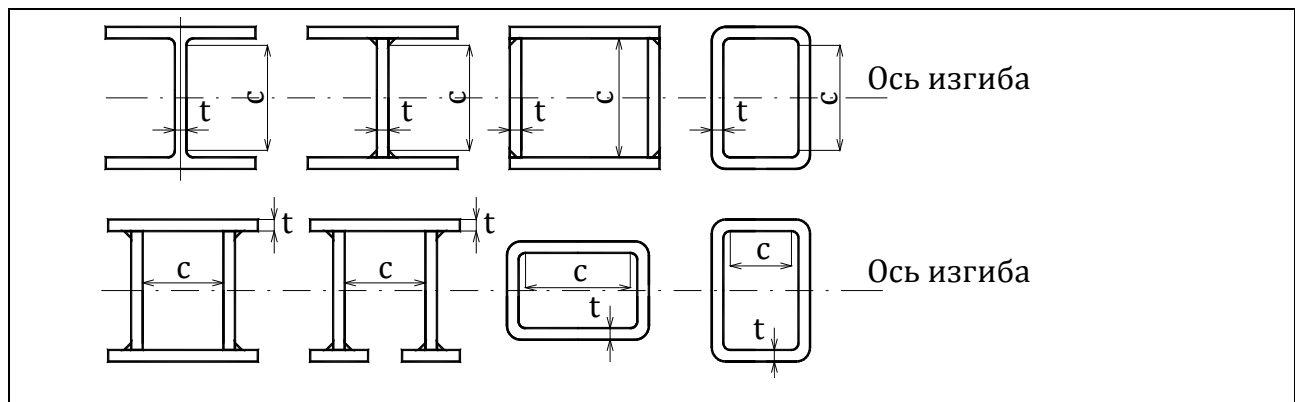
კლასი	დამოკიდებულება გადუნვისას	განმარტება
-------	---------------------------	------------

1	<p>Угол поворота сечения θ</p>	<p>შეიძლება წარმოიქმნას პლასტიკური სახსარი კვეთის შემობრუნების შეზღუდვის გარეშე; ადგილობრივი მდგრადობის დანაკარგი შეუძლებელია</p>
2	<p>Угол поворота сечения θ</p>	<p>შეიძლება წარმოიქმნას პლასტიკური სახსარი კვეთის შემობრუნების შეზღუდვით ადგილობრივი მდგრადობის დანაკარგის გამო</p>
3	<p>Угол поворота сечения θ</p>	<p>დრეკადი გაანგარიშება (დენადობა მხოლოდ განაპირა ნაწილურზე)</p>
4	<p>Угол поворота сечения θ</p>	<p>ადგილობრივი მდგრადობის დანაკარგი დგება დატვირთვებისას, დენადობის დამაბულობის წარმოქმნამდე</p>

მოთხოვნები ფირფიტების სიგანისა და სისქის თანაფარდობაზე კვეთების სამი კლასისთვის მოცემულია ცხრილებში 4.2 და 4.4.

ცხრილი 4.2

კედლები (ფირფიტები დაყრდნობილია ორი ნაწილურით)
--



კლასი	დუნგას დაქვემდებარე- ბული კვეთის ნაწილი	გუმშვას დაქვემდებარე- ბული კვეთის ნაწილი	გუმშვას და დუნგას დაქვემდებარებული კვეთის ნაწილი
დაბაბული მდგომარეობა (გუმშვა დადებითია)			
1	$c/t \leq 72$	$c/t \leq 33$	При $\alpha > 0.5$: $c/t \leq 396s/(13\alpha - 1)$ При $\alpha \leq 0.5$: $c/t \leq 36s/\alpha$
2	$c/t \leq 83s$	$c/t \leq 38s$	При $\alpha > 0.5$: $c/t \leq 456s/(13\alpha - 1)$ При $\alpha \leq 0.5$: $c/t \leq 41.5s/\alpha$
დაბაბული მდგომარეობა (გუმშვა დადებითია)			
3	$c/t \leq 124s$	$c/t \leq 42s$	При $\psi > -1$: $c/t \leq 42s/(0.67 + 0.33\psi)$ При $\psi \leq -1$: $c/t \leq 62s(1 - \psi)\sqrt{-\psi}$
$\psi \leq -1$ იმ შემთხვევებისთვის, გუმშვადი დაბაბულობა $\sigma \leq f_y$ ან გაჭიმის დაფორმაცია $e_y > f_y/E$.			

$s = \sqrt{\frac{2as}{E}}$	f_y	235	275	355	420	460
	s	1.00	0.92	0.81	0.75	0.71

ცხრილი 4.3

თაროების კიდულები (ფირფიტები დამაგრებულია ერთ ნაწილზე)

ნაგლინი პროფილი		შედუდებული პროფილი	
კლასი	შეცემშეული კიდული	კიდულის ნაწილი, ღუნგასა და კუმულაციების ქავშ კუმულაცია ბოლოზე	გაჭიმვა ბოლოზე
დაძაბული მდგომარეობა (კუმულაცია დადგებითია)			
1	$c/t \leq 9s$	$c/t \leq 9s/\alpha$	$c/t \leq 9s/\alpha\sqrt{a}$
2	$c/t \leq 10s$	$c/t \leq 10s/\alpha$	$c/t \leq 10s/\alpha\sqrt{a}$
დაძაბული მდგომარეობა (კუმულაცია დადგებითია)			
3	$c/t \leq 14s$	$c/t \leq 21s/\sqrt{k_a}$	k_a см. EN 1993-1-5

ცხრილი 4.4

$\varepsilon = \sqrt{\frac{2as}{f_y}}$	f_y	235	275	355	420	460
	ε	1.00	0.92	0.81	0.75	0.71

დრეკადი მუშაობისას გამოიყენება შემდეგი კრიტერიუმი, განივი კვეთის კრიტიკული წერტილისთვის, თუ არ გამოიყენება სხვა ფორმულები:

$$\left(\frac{\sigma_{N_{ED}}}{f_y/\gamma_{M0}}\right)^2 + \left(\frac{\sigma_{Z_{ED}}}{f_y/\gamma_{M0}}\right)^2 - \left(\frac{\sigma_{N_{ED}}}{f_y/\gamma_{M0}}\right)\left(\frac{\sigma_{Z_{ED}}}{f_y/\gamma_{M0}}\right) + 3\left(\frac{\tau_{ED}}{f_y/\gamma_{M0}}\right)^2 \leq 1, \quad (6.1 \text{ EN 1993-1-1})$$

სადაც

$\sigma_{N_{ED}}$ - ნორმალური დაძაბულობის საანგარიშო მნიშვნელობები, ელემენტის დერძის პარალელურები, განსახილველ წერტილში;

$\sigma_{Z_{ED}}$ - ნორმალური დაძაბულობის საანგარიშო მნიშვნელობები, ელემენტის დერძის პერპენდიკულარულები, განსახილველ წერტილში;

τ_{ED} - შემხები დაძაბულობების საანგარიშო მნიშვნელობები განსახილველ წერტილში;

ეს შემოწმება სრულდება მარაგად, იმასთან დაკავშირებით, რომ გამორიცხავს პლასტიკური დაძაბულობის შეზღუდულ განვითარებას და ის შეიძლება შესრულდეს მხოლოდ იმ შემთხვევებში, როცა შეუძლებელია ურთიერთქმედება მზიდი წინაღობების მნიშვნელობის საფუძველზე N_{RD} , N_{RD} და V_{RD} .

4.3.1.2 მასალების საიმედოობის კოეფიციენტები

როგორც ზემოთ იყო აღნიშნული, კოეფიციენტები γ_M წარმოადგენენ არა მარტო მასალების საიმედოობის კოეფიციენტებს, არამედ ითვალისწინებენ სხვა შესაძლო გადახრებს.

$\gamma_{M0} = 1.0$ - კვეთის პლასტიკურ დეფორმაციაზე წინაღობა (ადგილობრივი მდგრადობის დანაკარგის ჩათვლით)

$\gamma_{M1} = 1.1$ - მდგრადობის დანაკარგზე წინაღობა (ადგილობრივის გამოკლებით)

$\gamma_{M2} = 1.25$ - დაჭიმული ელემენტების დაშლაზე წინაღობა.

4.3.1.3 საანგარიშო შემოწმებები

(მოკლე განმარტება EN 1993-1-1 և EN 1993-2)

ცხრილი 4.5 დაჭიმვა

შემოწმება (ფორმულა)	განმარტება
$N_{Ed}/N_{cr,Rd} \leq 1$ (6.5)	სიმტკიცის პირობა დაჭიმვისას
$N_{cr,Rd}$ ნაკლები მნიშვნელობებიდან $N_{pl,Rd}$ და $N_{u,Rd}$	
$N_{pl,Rd} = A_f_y/\gamma_{M0}$ (6.6)	კვეთის წინაღობა დენადობისას
$N_{u,Rd} = 0.9A_{net}f_u/\gamma_{M2}$ (6.7)	წინაღობა გაწყვეტაზე

ცხრილი 4.6 კუმშვა

შემოწმება (ფორმულების №№ EN 1993-1-1)	განმარტება
$N_{Ed}/N_{cr,Rd} \leq 1$ (6.9)	სიმტკიცის პირობა კუმშვისას
$N_{cr,Rd} = A_f_y/\gamma_{M0}$ (6.10)	ადგილობრივი მდგრადობის დანაკარგის გარეშე (კვეთების კლასები 1, 2 და 3)
$N_{cr,Rd} = A_{eff}f_y/\gamma_{M0}$ (6.2)	ადგილობრივი მდგრადობის დანაკარგის გათვალისწინებით
$N_{cr,Rd} = A_{eff,min}f_y/\gamma_{M0}$ (6.3)	(კვეთის კლასი 4). ფორმულების №№ EN 1993-2
$\sigma_{eff,min} = \rho_{st}f_y$	ზღვრული კუმშვის დაძაბულობა პუნქტ.10(5) EN 1993-1-5.

ცხრილი 4.7 დუნგა

შემოწმება (ფორმულების №№ EN 1993-1-1)	განმარტება
$M_{Ed}/M_{cr,Rd} \leq 1$ (6.12)	სიმტკიცის პირობა დუნგაზე
$M_{cr,Rd} = M_{pl,Rd} = W_{pl}f_y/\gamma_{M0}$ (6.13)	ადგილობრივი მდგრადობის დანაკარგის გარეშე (კვეთების კლასები 1, 2 და 3)
$M_{cr,Rd} = M_{el,Rd} = W_{el,min}f_y/\gamma_{M0}$ (6.14)	ადგილობრივი მდგრადობის დანაკარგის გარეშე (კვეთის კლასი 4)
ფორმულების №№ EN 1993-2	ადგილობრივი მდგრადობის დანაკარგის გათვალისწინებით

$M_{t,Rd} = W_{eff,min} f_y / \gamma_M$ (6.6)	(კვეთის კლასი 4)`
$M_{o,Rd} = W_{eff,min} \sigma_{im,lt} / \gamma_M$ (6.7)	
$W_{eff,min}$ և $W_{eff,max}$	წინაღობის მომენტები ყველაზე მეტად დატვირთულ ბოჭკოზე ცხრილი 4.8 წაცურება

შემოწმება (ფორმულების №№ EN 1993-1-1)	განმარტება
$V_{Ed}/V_{pl,Rd} \leq 1$ (6.17)	სიმტკიცის პირობა ანაჭრისას
$V_{pl,Rd} = A_v (f_y / \sqrt{3}) / \gamma_M$ (6.18) A_v – ანაჭრელის ფართი პუნქ. 6.2.6(3) mixedvIT	ანაჭრელი ელემენტისთვის გრეხვის გარეშე
$\frac{\tau_{Ed}}{I_p / \sqrt{3}} \leq 1$ (6.19) გде $\tau_{Ed} = V_{Ed} S / It$ (6.20) S – კვეთის წაცურებადი ნაწილის სტატიკური მომენტი I – კვეთის ინერციის მომენტი t – სისქე	კვეთის განმეორებადი წერტილისთვის (ადგილობრივი ძლიერდობის დანაკარგის გარეშე)

ცხრილი 4.9 გრეხვა

შემოწმება (ფორმულების №№ EN 1993-1-1)	განმარტება
$T_{Ed}/T_{Rd} \leq 1$ (6.23)	სიმტკიცის პირობა გრეხვისას
$T_{Ed} = T_{c,Ed} + T_{w,Ed}$ (6.24) $T_{c,Ed}$ – მომენტი თავისუფალი გრეხვისას $T_{w,Ed}$ – მომენტი შეზღუდული გრეხვისას	მოქმედი მგრეხავი მომენტი
T_{Rd}	ზღვრული მომენტი, რომელიც განისაზღვრება EN 1993-1-5 მიხედვით

ცხრილი 4.10 ანაჭრელი + გრეხვა

შემოწმება (ფორმულების №№ EN 1993-1-1)	განმარტება
$V_{Ed}/V_{pl,T,Rd} \leq 1$ (6.25)	სიმტკიცის პირობა წაცურებისა გრეხვასთან ერთად (მხები ძაბვებით)
ორტესებრი კვეთებისთვის (6.26) $V_{pl,T,Rd} = \sqrt{1 - \frac{\tau_{c,Ed}}{1.25(f_y/\Delta)/\gamma_M}} V_{pl,Rd}$ შეკრული კვეთებისთვის (6.28) $V_{pl,T,Rd} = \left[1 - \frac{\tau_{c,Ed}}{(f_y/\Delta)/\gamma_M}\right] V_{pl,Rd}$	წაცურებისა და გრეხვის ერთდროული მოქმედებისას, წაცურების საანგარიშო წინაღობა $V_{pl,Rd}$ საჭიროა შემცირდეს $V_{pl,T,Rd}$ მნიშვნელობამდე.

ცხრილი 4.11 დუნვა + ანაჭრელი

შემოწმება (ფორმულების №№ EN 1993-1-1)	განმარტება
როცა $V_{Ed} < 0.5V_{pl,Rd}$	ანაჭრელით ზემოქმედება შეიძლება უგულებელვყოფით
როცა $V_{Ed} \geq 0.5V_{pl,Rd}$ ზღვრული მომენტი უნდა გამოითვალის შემცირებული დენადობის ძაბვით, რომელიც ტოლია $(1 - \rho)f_y$	ანაჭრელი უნდა გავითვალისწინოთ

$\rho = (2V_{Ed}/V_{pl,Rd} - 1)^2$	
$M_{y,V,Rd} = \left[W_{pl,y} - \frac{\rho A_w^2}{4t_w} \right] f_y / \gamma_{M0}$ (6.30)	ღუნვაზე წინადობის შემცირებული მნიშვნელობა პლასტიკურ სტადიაში წაცურებისას სიმეტრიული ორტესებრისთვის
Ho $M_{y,V,Rd} \leq M_{y,z,Rd}$ $M_{y,z,Rd}$ – по п.6.2.5(2) EN 1993-1-1	
იხილეთ განკ. 7 EN 1993-1-5	ღუნვის, წაცურების და გვერდითი დაწოლის ერთდროული მოქმედებისას

ცხრილი 4.12 ღუნვა + ღეძული ძალა

შემოწმება (ფორმულების №№ EN 1993-1-1)	განმარტება
$M_{Ed} \leq M_{N,Rd}$ (6.31) $M_{N,Rd}$ - წინადობის საანგარიშო მნიშვნელობა ღუნვაზე პლასტიკურ სტადიაში, შემცირებული ღერძული ძალის მოქმედებით N_{Ed} .	1 და 2 კლასისთვის ელემენტებისთვის, რომლებზეც ზემოქმედებს ღუნვა და ღერძული ძალა
$M_{N,Rd} = M_{pl,Rd} [1 - (N_{Ed}/N_{pl,Rd})^2]$ (6.32)	მართკუთხა მთლიანი კვეთების წინადობის საანგარიშო მნიშვნელობა
$N_{Ed} \leq 0.25N_{pl,Rd}$ (6.33) и $N_{Ed} \leq 0.5h_w t_w f_y / \gamma_{M0}$ (6.34) и $N_{Ed} \leq h_w t_w f_y / \gamma_{M0}$ (6.35)	ორტესებრი და სხვა კვეთებისთვის სიმეტრიის ორი ღერძით ღერძული ძალა გავითვალისწინოთ ღუნვისას შესაბამისად $y - y$ არ არის საჭირო თუ სრულდება პირობა (6.33) და (6.34) და შეფარდებით $z - z$ თუ სრულდება პირობა (6.35)

ცხრილი 4.12 ღუნვა + ღეძული ძალა (გაგრძელება)

$M_{Ny,Rd} = M_{pl,y,Rd} (1 - n) / (1 - 0.5a)$ (6.36) როცა $n \leq \alpha$ $M_{Ny,Rd} \leq M_{pl,z,Rd}$ (6.37) როცა $n > \alpha$ $M_{Ny,Rd} \leq M_{pl,z,Rd} \left[1 - \left(\frac{n-\alpha}{1-\alpha} \right)^2 \right]$ (6.38) $n = N_{Ed} / M_{pl,Rd}$ $a = (A - 2bt_f) / A, \quad a \leq 0.5$	ნაგლინი და შედუღებული ორტესებრებისთვის სიმეტრიულები ორი ღერძის მიმართ
$M_{Ny,Rd} = M_{pl,y,Rd} (1 - n) / (1 - 0.5a_f)$ (6.39) $M_{N,z,Rd} = M_{pl,z,Rd} (1 - n) / (1 - 0.5a_w)$ (6.40) სადაც $a_w = (A - 2bt) / A, \quad a_w \leq 0.5$ ღრუბანიანი $a_w = (A - 2bt_f) / A, \quad a_w \leq 0.5$ შედუღებული $a_f = (A - 2bt) / A, \quad a_f \leq 0.5$ ღრუბანიანი $a_f = (A - 2bt_w) / A, \quad a_f \leq 0.5$ ღრუბანიანი	მართკუთხა ღრუბანიანი და შედუღებული კოლოფისებრი კვეთებისთვის სიმეტრიულები ორი ღერძის მიმართ
$\left[\frac{M_{y,Rd}}{M_{Ny,Rd}} \right]^{\alpha} + \left[\frac{M_{z,Rd}}{M_{N,z,Rd}} \right]^{\beta} \leq 1$ (6.41) ა და β პარამეტრები, რომელთა მნიშვნელობა მარაგით შეიძლება მივიღოთ ერთის ტოლი, ან:	ორდერმიანი ღუნვის ღროს

<p>— ორტესებრი და H-სებრი კვეთებისთვის:</p> <p>$\alpha = 2$; $\beta = 5n$ — როცა $\beta \geq 1$;</p> <p>— მრგვალი ღრუ კვეთებისთვის: $\alpha = \beta = 2$;</p> <p>— მართკუთხიანი ღრუ კვეთებისთვის:</p> <p>$\alpha = \beta = \frac{1.66}{1-1.13n^2}$ როცა $\alpha = \beta \leq 6$,</p> <p>$n = N_{Ed}/N_{pl,Rd}$</p>	
$\sigma_{x,Ed} \leq \frac{\sigma_{\text{limit}}}{Y_{Mo}} \leq \frac{f_p}{Y_{Mo}} \quad (6.8 \text{ EN 1993-2})$ <p>σ_{limit} — განკ. მიხედვით 10 EN 1993-1-5.</p> <p>$\sigma_{x,Ed}$ — უდიდესი საანგარიშო გრძივი ლოკალური დაძაბულობა მომენტისაგან და დერძული ძალისგან ნეტტო კვეთში</p>	მე-3-ე კლასისთვის
$\sigma_{x,Ed} \leq \frac{f_p}{Y_{Mo}} \quad (6.43)$ $\frac{N_{Ed}}{A_{eff}f_p/Y_{Mo}} + \frac{M_{p,Ed} + N_{Ed}\cdot e_{N,p}}{W_{eff,p,min}f_p/Y_{Mo}} + \frac{M_{z,Ed} + N_{Ed}\cdot e_{N,z}}{W_{eff,z,min}f_p/Y_{Mo}} \leq 1 \quad (6.44)$ <p>A_{eff} — განივი კვეთის ეფექტური ფართი თანაბარი კუმულის მოქმედებისას;</p> <p>$W_{eff,min}$ — წინადობის მინიმალური მომენტი (შესაბამისად ბოჭკოებისა მაქსიმალური დრეკადი დაძაბულობით) ეფექტური განივი კვეთი შესაბამისი დერძის მიმართ;</p> <p>e_N — ეფექტური ფართის ნეიტრალური დერძის გადაადგილება;</p> <p>A_{eff} ბრუტო განივი კვეთის სიმძიმის ცენტრის შესაბამისად, როცა განივ კვეთზე ზემოქმედებს მხოლოდ კუმული იხ. 6.2.2.5(4).</p>	<p>მე-4-ე კლასისთვის დუნგა ორი დერძის მიმართ და ნორმალური ძალა.</p> <p>გამოიყენება ეფექტური კვეთი, მდგრადობა დაკარგული თაროებისა და კედლების ნაწილების გარეშე იხ. EN 1993-1-5.</p>

ცხრილი 4.13 დუნგა+ანაჭრელი + დემული ძალა

შემოწმება (ფორმულების №№ EN 1993-1-1)	განმარტება
$V_{Ed} < 0.5V_{pl,Rd}$	ანაჭრელის გავლენა შეიძლება უაულებელგვარ
როცა $V_{Ed} \geq 0.5V_{pl,Rd}$ ზღვრული მომენტი უნდა გამოითვალის შემცირებული დენადობის დაძაბულობისგან, ტოლი:	ანაჭრელი უნდა გავითვალისწინოთ

$$(1 - \rho)f_y \quad (6.45)$$

$\rho = (2V_{Ed}/V_{pl,Rd} - 1)^2$

კედლების ადგილობრივი მდგრადობის გაანგარიშება შესრულებულია СНиП-ის მეთოდიკით, რომელიც ემყარება ფირფიტების მდგრადობის კლასიკურ თეორიას.

4.4 ბეტონის გაანგარიშება

ბეტონის გაანგარიშება შესრულებულია EN 1992-1, EN 1992-2, EN 1994-1 և EN 1994-2 საფუძველზე. ბეტონი მიებულია B35 კლასის სიმტკიცის, არმატურა A-III. ბეტონის მახასიათებლები და აღნიშვნები მოცემულია ცხრილში.

ცხრილი 4.14

პროექტირების ნორმები	EN 1992-1-1		CHiP 2.05.03-84*	
ბეტონის კლასი	C25/30	C30/37	B35	B40
გაანგარიშებანი პირველი ჯგუფის ზღვრული მგომარეობის მიხედვით				
f_{ck} ან R_h CHiP მიხედვით (ჟეკუმშვა დერძული)	16.7	20	17.5	20
f_{ctm} - EN ან R_{bt} მიხედვით (ჟეკუმშვა დერძული ხიდების ფილებისთვის)	13.4	16.0	14	16
f_{ctm} - EN მიხედვით ან R_{bt} - CHiP მიხედვით (დაჭიმვა დერძული)			1.15	1.15
გაანგარიშებანი მეორე ჯგუფის ზღვრული მგომარეობის მიხედვით				
f_{ck} - EN მიხედვით ან $R_{b,ser}$ - CHiP მიხედვით (ჟეკუმშვა დერძული)	25	30	22	25.5
f_{ctm} - EN მიხედვით ან R_{bt} - CHiP მიხედვით (დაჭიმვა დერძული)	2.6	2.9	1.8	1.95
$k_1 f_{ck} = 0.6 f_{ck}$ ან $R_{b,ser}$ CHiP მიხედვით (გრძივი ბზარები)	15	18	14.6	16.7

ბეტონის კლასი EN 1992-1-1:2004-ში აღინიშნება ორი რიცხვით დახრილი ხაზით შუაში: ხაზის ზემოთ – ბეტონის ცილინდრული სიმტკიცე კუმშვაზე / ხაზის ქვეშ - ბეტონის კუბიკის სიმტკიცე კუმშვაზე წახნაგით 150x150x150 მმ.

გაანგარისებისას ჟეკუმშული ბეტონის ძირითად მახასიათებლად პირველი ჯგუფის ზღვრული მგომარეობის მიხედვით (მზიდუნარიანობის მიხედვით)

წარმოდგენილია ბეტონის საანგარიშო სიმტკიცის f_{ck} . ასოები cd გამოსახულებაში f_{ck} - პირველი ასოები სიტყვებში *concrete design*.

განხომილებები ცხრილში მოცემულია მპა-ში. ბეტონი აღინიშნება ინდექსით α_{cd} და შემდგომი ორი რიცხვით: ხაზს ზევით - f_{ck} - ბეტონის მახასიათებელი ცილინდრული სიმტკიცე კუმშვაზე / ხაზს ქვევით - $f_{c,cube}$ - ბეტონის კუბიკის სიმტკიცე კუმშვაზე წახნაგით 150 მმ. $f_{c,cube} \approx f_{ck}/0.8$. მნიშვნელობა $f_{c,cube}$ - შეესაბამება ადგილობრივი ბეტონის კლასს.

$f_{cd} = f_{ck}/\gamma_c$ - ბეტონის საანგარიშო სიმტკიცე (იხ. პ. 2.1.4.2 (2) EN 1994-2:2005); საიმედოობის კოეფიციენტის რეკომენდირებული მნიშვნელობა $\gamma_c = 1.5$ (ცხრილი 2.1 N 2.4.2.4 EN 1992-1-1:2004).

$0.85f_{cd}$ - ბეტონის საანგარიშო სიმტკიცე კუმშვაზე რედუქციული კოეფიციენტით 0.85 (კოეფიციენტი $\alpha_{cd} = 0.85$ იგივეა, რაც პუნქტ 3.1.6 სახიდე ბეტონი ევროკოდებით EN 1992-2:2005).

$f_{cm} = f_{ck} + 3$ - ბეტონის კუბიკის საშუალო სიმტკიცე კუმშვაზე 28-ე დღეზე, მპა. $k_1 f_{ck} - 0.6 f_{ck}$ - ძაბვის შეზღუდვა ბეტონში მახასიათებელი დატვირთვების ზემოქმედებით გრძივი ბზარების წარმოქმნის თავიდან ასაცილებლად (საექსპლოატაციო ვარგისიანობა იხ. 7.2.(2) EN 1992-1-1:2004). ეს მნიშვნელობა ანალოგია $R_{b,ser}$ ან პრიზმული სიმტკიცის.

$f_{ctm} = 0.3 f_{ck}^{2/3}$ - ბეტონის საშუალო სიმტკიცის დაძაბულობა დაჭიმვაზე.

პუნქტ. 3.1.3(4) EN 1992-1-1:2004 შესაბამისად პუასონის კოეფიციენტი უნდა ავიდოთ 0.2-ის ტოლი დაუბზარავი ბეტონისთვის, და ნულის ტოლი ბზარებიანი ბეტონისთვის.

ბეტონის დრეკადობის მოდული მიღება ცხრ. 3.2.2 EN 1992-1 თანახმად ან ფორმულით $E_{cm} = 22000 \left(\frac{f_m}{10}\right)^{0.3}$. წაცურების მოდული გამოითვლება ფორმულით $G = \frac{E}{2(1+\mu)}$.

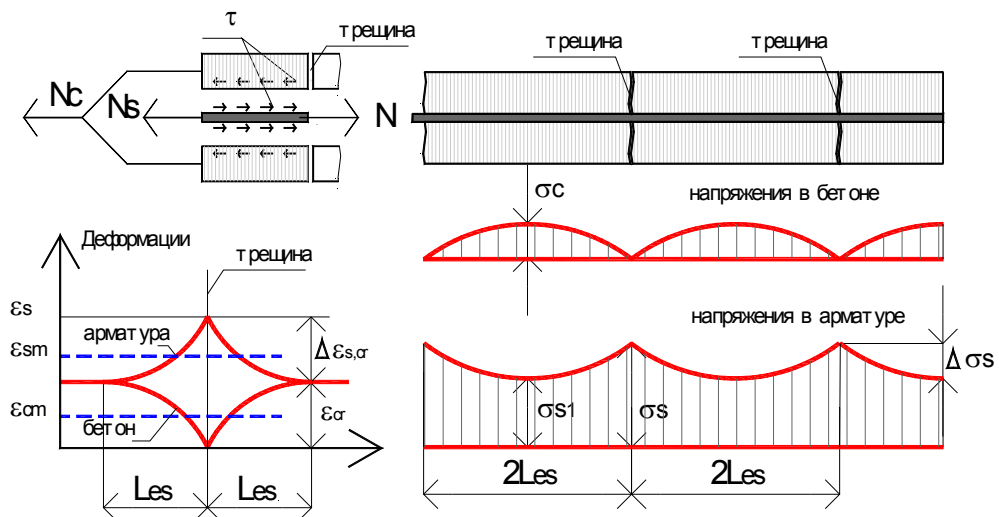
4.4.1 შეკუმშული ბეტონი

ბეტონის ფილაში კუმშვის შეზღუდვის კრიტერიუმად მიღებულია:

- პირველი ჯგუფის ზღვრული მგომარეობის გაანგარიშებებისთვის მიღებულია სიდიდე $0.3R_b$.
- მეორე ჯგუფის ზღვრული მგომარეობის გაანგარიშებებისთვის გრძივი ბზარების წარმოქმნის თავიდან ასაცილებლად მიღებულია სიდიდე $R_{b,mc2}$.

4.4.2 დაჭიმული ბეტონი. ბზარის გახსნის სიგანის გაანგარიშება EN მიხედვით

ბზარების წარმოქმნის კრიტერიუმად ბზარებიანი ზონების განსაზღვრისთვის მიღებულია სიდიდე $2 f_{ctm}$.



ნახ. 4.4 ბეტონის მუშაობა ბზარებს შორის

დაჭიმვებს ფილაში დაუბზარავ ზონებში დებულობს არმატურა და ბეტონი სიხისტის პროპორციულად.

$$N = N_c + N_s;$$

სადაც

N გაჭიმვის ძალვა ფილაში;

- N_s** გაჭიმვის ძალვა ბეტონში;
 N_c გაჭიმვის ძალვა არმტურაში.

ბზარის გახსნის სიგანის გაანგარიშება შეიძლება შესრულდეს იმ მოცემულობით, რომ ბზარის ზონაში ყველა დამჭიმავი ძალა **N** გადაეცემა არმატურას ფილაში. შემდეგ შეჭიდულობის გამო ძალვის ნაწილი გადაეცემა ბეტონს. სიგრძე, რომელზეც არმატურა გადასცემს ძალვის ნაწილს ბეტონს ტოლია ბზარებს შორის მანძილის $1/2$ -ის.

E_s և A_s არმატურის დრეკადობის მოდული და ფართი;

E_c և A_c ბეტონის დრეკადობის მოდული და ფართი.

$\sigma_s = N/A_s$ ბზარში არმატურის დაჭიმულობა ბეტონის მუშაობის გარეშე;

σ_{s1} ბზარებს შორის არმატურის დაჭიმულობა ბეტონის

მუშაობის გათვალისწინებით;

$$\Delta\sigma_s = \sigma_s - \sigma_{s1} = \frac{\sigma_s}{1+\rho n_0} \text{ დაძაბულობის სხვაობა არმატურაში ბზარებს შორის;}$$

ძალვა **$\Delta\sigma_s A_s$** უნდა აღვიქვათ ბეტონის შეჭიდულობის ხარჯზე,

რომელიც არმატურაზეა შემოკრული.

$n_0 = E_s/E_c$ მოდულური კოეფიციენტი;

$\rho_0 = A_s/A_c$ არმირების კოეფიციენტი;

წონასწორობის პირობა დაჭიმულ არმატურასა და არმატურასთან ბეტონის შეჭიდულობის ძალვას შორის ბზარებს შორის შეიძლება ჩაიწეროს ამ სახით:

$$L_{es} U_s \tau = \Delta\sigma_s A_s, \quad \text{მაშინ,}$$

$$L_{es} = \frac{\Delta\sigma_s A_s}{U_s \tau} \quad \frac{1}{2} \text{ მანძილისა ბზარებს შორის, სადაც,}$$

$\tau \approx 1.8 f_{ctm}$ ბეტონის სიმტკიცე წაცურებაზე;

$A_s = n\pi d^2/4$ არმატურის ფართი;

$U_s = n\pi d$ არმატურის პერიმეტრი;

n არმატურის ღეროების რაოდენობა;

ფარდობითი დაგრძელება შეიძლება გამოვთვალოთ ფორმულით:

$\varepsilon_s = \sigma_s/E_s$ არმატურის ფარდობითი დაგრძელება;

$$(\varepsilon_{sm} - \varepsilon_{cm}) = (1 - \beta) \varepsilon_s \quad \text{არმატურის და ბეტონის დაგრძელების სხვაობა;}$$

$$\beta = 0.6 \quad \text{სანმოკლე დატვირთვებისთვის;}$$

$$\beta = 0.4 \quad \text{სანგრძლივი პროცესებისთვის;}$$

ბზარის სიგანე W განისაზღვრება, როგორც სხვაობა საშუალო დაგრძელებისა არმატურების ε_{sm} გა ბეტონის ε_{cm} , შეკრებილი ბზარებს შორის მონაკვეთში.

$$W = 2L_{es}(\varepsilon_{sm} - \varepsilon_{cm}) \quad \text{ბზარის სიგანე.}$$

$$\varepsilon_{sm} - \varepsilon_s \quad \beta \Delta \varepsilon_{c,cr} \quad \text{არმატურის საშუალო ფარდობითი დაგრძელება;}$$

$$\varepsilon_{cm} - \beta \Delta \varepsilon_{c,cr} \quad \text{ბეტონის საშუალო ფარდობითი დაგრძელება.}$$

ბზარის გაშლის ზღვრული სიდიდე შეზღუდულია 0.3 მმ-მდე.

4.5 მდგრადობის გაანგარიშებანი

(ფორმულების ნომრები შეესაბამებიან ფორმულების ნომრებს EN -ში)

4.5.1 საბაზისო მიდგომები

გაანგარიშებები შესრულებულია EN 1991-1 და EN 1991-2 –ის შესაბამისად. სიდების ევროკოდი კუმულაცი და ლუნგაცი დეროების გაანგარიშებისას მიუთითებს საერთო ევროკოდისკენ EN 1993-1-1, მაგრამ, ამასთანავე უშვებს მდგრადობის შეფასების გამარტივებულ მიდგომას, რომლის დროსაც ფასდება ∂b_{ml} და ∂c_{ml} ბრტყელი ფორმა. შეფასება სრულდება ფორმულით 6.9 EN 1993-2:

$$\frac{\frac{N_{Ed}}{N_{Rk}} + C_{mt,0} \frac{M_{y,Ed}}{M_{y,Rk}}}{\chi_y \gamma_{M1}} \leq 0.9. \quad (6.9)$$

$C_{mt,0}$ — აკვივალენტური გრეხვის მომენტის კოეფიციენტი, ი.ხ. ცხრილი A.2 EN 1993-1-1; სიმცირის გამო კლებულობთ $C_{mt,0} = 1$.

EN 1993-2 –ში წარმოდგენილი ფორმულა დამატებული $M_{y,Ed}$ მომენტებიცავს დანამატს $\Delta M_{y,Ed}$, რომელიც დრეკადი გაანგარიშებისას ტოლია ნულის.

იმის გათვალისწინებით, რომ მნიშვნელობა $\gamma_{M1} = 1.1$, ხოლო უტოლობის მარჯვენა ნაწილში 1,0-ის მაგიერ ჩასმულია 0.9, ბრტყელი ჩადუნვისას მიღებული

კვეთის წინადობის მნიშვნელობა მცირდება თითქმის 20%-ით. ამასთანავე გამოყენებულია ზოგადი მეთოდი.

4.5.2 რედუქციის რედუქციული კოეფიციენტების შფასების ზოგადი მეთოდი

ზოგადი მეთოდი მდგრადობის შესამოწმებლად განივი და ღუნვა-ბრუნვადი ფორმებისას მდგრადობის დანაკარგი შეიძლება გამოვიყენოთ ფორმების გაანგარიშებისას თაღოვანი ხიდის მდგრადობის დანაკარგზე.

ელემენტების მდგრადობის დანაკარგზე წინადობა ღუნვის სიბრტყიდან საჭიროა განვსაზღვროთ ფორმულით 6.63 EN 1993-1-1:

$$\lambda_{op} \frac{\alpha_{ult,k}}{\gamma_{M1}} \geq 1.0. \quad (6.63)$$

$\alpha_{ult,k}$ —საანგარიშო დატვირთვის მინიმალური მნიშვნელობა, მზიდუნარიანობის მახასიათებალი მნიშვნელობის მისაღწევად ფორმულის (6.63)-ის მიხედვით სიბრტყეში ყველაზე უფრო დატვირთული კვეთისთვის, ზღვრული მდგომარეობის მიღწევისთვის, განივი ან ღუნვა-მბრუნვავი მდგრადობის გაუთვალისწინებლად, მაგრამ ყველა არასრულყოფილების გათვალისწინებით. მეთოდი $\alpha_{ult,k}=1.375$, გულისხმობს, რომ მიღწეულია ზღვრული მდგომარეობა ფორმულით (6.63) $\lambda_{op}=0.8$ და $\gamma_{M1}=1.0$ -ით.

$\bar{\lambda}_{op}$ —უზომებო დრეკადობა, გამოითვლება ფორმულით 6.64:

$$\bar{\lambda}_{op} = \sqrt{\alpha_{ult,k}/\alpha_{cr,op}} \quad (6.64)$$

კოეფიციენტი მოხერხებულია გამოყენებისთვის, რადგანაც შეიძლება მივიღოთ საბოლოო-ელემენტური ანალიზის შედეგად კომპიუტერული ანგარიშისას. სქემის გაანგარიშება, დატვირთული სრული საანგარიშო დატვირთვით, წარმოებს დატვირთვების თანდათანობით ზრდით მდგრადობის დაკარგვის მომენტამდე საბოლოო (კრიტიკული) დატვირთვის შეფარდება საანგარიშოსთან არის კიდევაც კოეფიციენტი $\alpha_{cr,op}$.

მეთოდი, $\alpha_{ult,k} = 1,375$, როცა ფორმულა 6.64 დრეკადობის გამოსათვლელად შეიძლება წარმოვადგინოთ ამ სახით:

$$\bar{\lambda}_{op} = \sqrt{1,375/\alpha_{cr,op}}$$

შემდეგ, ცნობილი დრეკადობისას $\bar{\lambda}_{op}$ განისაზღვრება შემამცირებელი კოეფიციენტების მნიშვნელობა X და X_{cr} , და შემდეგ სრულდება გაანგარიშება A ან B მეთოდით.

რედუქციული კოეფიციენტი X გამოითვლება შესაბამისი დრეკადობისას ფორმულით 6.49.

$$X = \frac{1}{\phi + \sqrt{\phi^2 - \bar{\lambda}^2}}, \quad (6.49)$$

სადაც ϕ გამოითვლება ფორმულით: $\phi = 0.5 \left[1 + \alpha(\bar{\lambda} - 0.2) + \bar{\lambda}^2 \right]$;

α — არასრულყოფილების კოეფიციენტი, რომელიც შესაბამისი მდგრადობის დანაკარგის მრუდისთვის განისაზღვრება ცხრილით 6.1 EN 1993-1-1.

(ცხრილი 6.1 EN 1993-1-1)

მდგრადობის დანაკარგის მრუდები	a_0	a	b	c	d
არასრულყოფილების კოეფიციენტი α	0.13	0.21	0.34	0.49	0.76

a_0 , a , b , c და d — მდგრადობის დანაკარგის მრუდების ტიპები საჭიროა შევასრულოთ ცხრილი 6.2 EN 1993-1-1 მიხედვით.

მდგრადობის დანაკარგის მრუდის შერჩევა, ხოლო შედეგად არასრულყოფილების კოეფიციენტის შერჩევა α , განივი კვეთის ტიპის მიხედვით და მისი ორიენტაციით სავარაუდო ღუნვის ღერძის მიმართ, ვდებულობთ ცხრილით 6.2 EN 1993-1-1. თაღოვანი ხიდისათვის ქ. თბილისში ვდებულობთ მარაგში მრუდს d , როცა $\alpha = 0.76$, თუმცა შეიძლება, რომ თაღის და ბურჯების კვეთი მივაკუთვნოთ b .

X_{op} — შემამცირებელი კოეფიციენტი უზომებო დრეკადობისთვის $\bar{\lambda}_{op}$ მდგრადობის აღრიცხვისთვის განივი და ღუნვა-მბრუნვავი ფორმებისთვის;

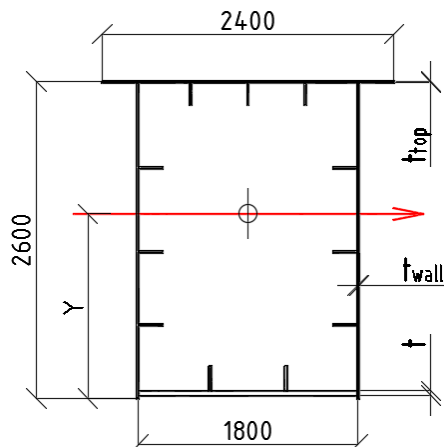
$\alpha_{cr,op}$ — საანგარიშო დატვირთვების ზრდის კოეფიციენტის მინიმალური მნიშვნელობა ღუნვის სიბრტყეში, ზღვრული მდგომარეობის მიღწევისას განივი ან ღუნვად-მბრუნვავი ფორმების მდგრადობის დაკარგვისას, ღუნვის ბრტყელი ფორმის გაუთვალისწინებლად.

5. ძალგების გაანგარიშება კოჭში, თაღში და ბურჯებში

5.1 ელემენტების გეომეტრიული მახასიათებლები საანგარიშო სქემებში

ელემენტების გეომეტრიული მახასიათებლები საანგარიშო სქემებში განისაზღვრა გაანგარიშების ორი ეტაპის - წინასწარი და დაზუსტებული, საფუძველზე.

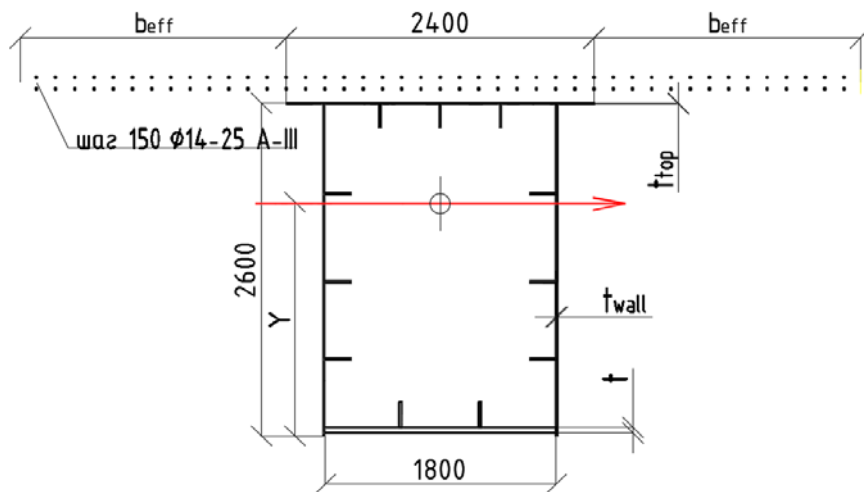
5.1.1 კოჭის გეომეტრიული მახასიათებლები



ნახ. 5.1 ფოლადის კოჭის გვეთი

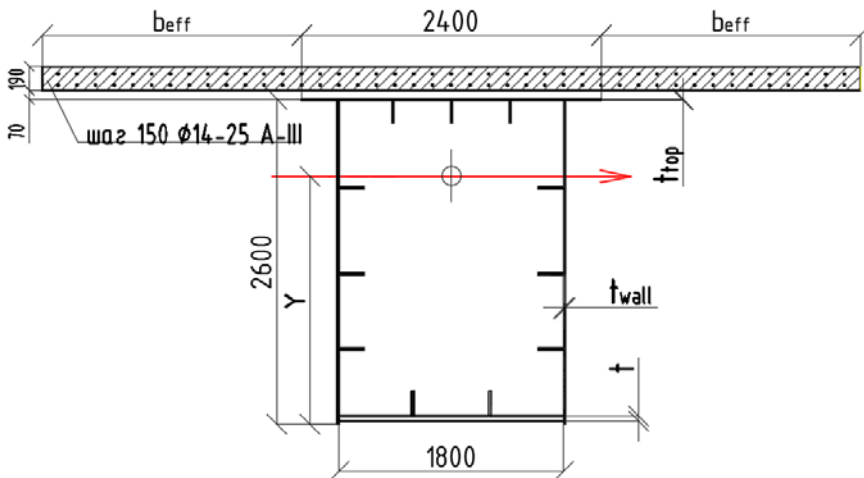
Толщина, мм			Геометрические характеристики				Расчетный момент, тм M_{Rd} при $f_y=390\text{МПа}$
верхний пояс	стенки	нижний пояс	Момент инерции, м ⁴	Центр тяжести от низа, м	Момент сопротивл., м ³	Изгибная жесткость, тм ²	
10	14	20	0.168	1.186	0.142	3531000	5529
10	14	32	0.196	1.051	0.186	4106000	7255
10	20	32	0.215	1.089	0.197	4515000	7700
10	20	40	0.231	1.024	0.226	4854000	8803
10	20	50	0.249	0.955	0.260	5221000	10153

ფოლად-რკინაბეტონის გვეთის გეომეტრიული მახასიათებლები განსაზღვრულია ფილის ბეტონის მოდულური კოეფიციენტის გათვალისწინებით.



баб. 5.2 ფოლადის კოჭის და არმატურის კვეთი

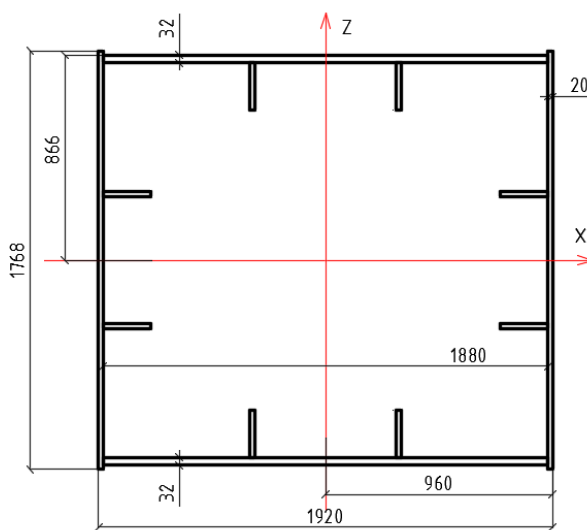
Толщина, мм			Геометрические характеристики				Расчетный момент, тм M_{Rd} при $f_y=390\text{МПа}$
верхний пояс	стенки	нижний пояс	Момент инерции, м ⁴	Центр тяжести от низа, м	Момент сопротивл., м ³	Изгибная жесткость, тм ²	
10	14	20	0.232	1.431	0.162	4880000	6333
10	14	32	0.273	1.291	0.212	5736000	8251
10	20	32	0.361	1.483	0.243	7577000	9489
10	20	40	0.43	1.509	0.285	9035000	11119
10	20	50	0.448	1.386	0.323	9417000	12618



баб. 5.3 ფოლადის კოჭის კვეთი შეკუმშული ფილით

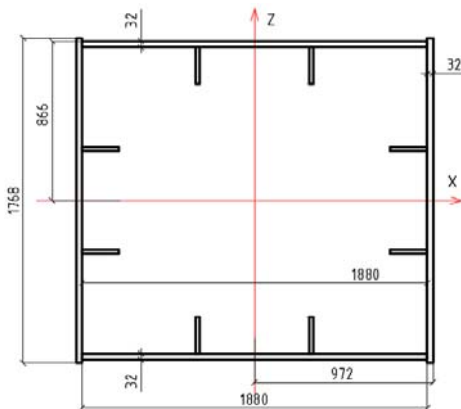
Толщина, мм			Геометрические характеристики				Расчетный момент, тм M_{Rd} при $f_y=390\text{МПа}$
верхний пояс	стенки	нижний пояс	Момент инерции, м ⁴	Центр тяжести от низа, м	Момент сопротивл., м ³	Изгибная жесткость, тм ²	
10	14	20	0.427	2.164	0.197	8959000	7689
10	14	32	0.526	2.064	0.255	10046000	9039
10	20	32	0.518	1.904	0.272	10876000	10608
10	20	40	0.625	1.976	0.316	13119000	12330
10	20	50	0.662	1.844	0.359	13909000	14008

5.1.2 თაღის გეომეტრიული მახასიათებლები



ნახ. 5.4 კვეთი ბურჯებს შორის. სარტყელი 32 მმ, კედლები 20 მმ.

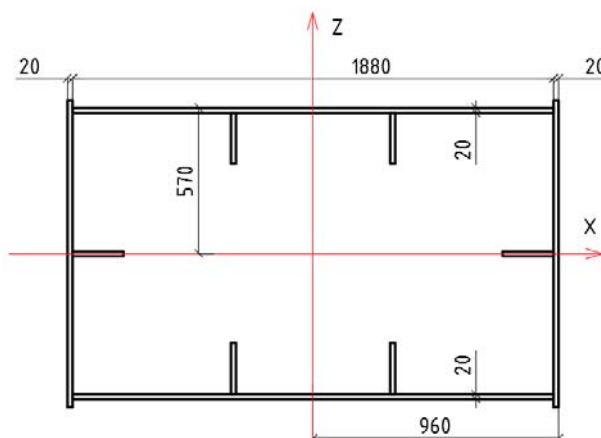
Пояса 32 мм: стеки 20 мм.						
Параметр	относительно оси			Предельные расчетные усилия, тм ($f_y=390$ МПа)		
	Y	Z	X	N_{Rd}	M_{Rd}, Y	M_{Rd}, Z
A - площадь, м^2	0.221			8611		
I - моменты инерции, м^4	0.111	0.110	0.142			
Центр тяжести, м	0.856	0.960				
W - моменты сопротивления, м^3	0.130	0.115			5071	4473
EI - изгибная жесткость, тм^2	2338234	2313043				
EA - осевая жесткость, т	4638159					
GI _T - крутильная жесткость, тм^2			1149746			



ნახ. 5.5 კვეთი ბურჯებს შორის. სარტყელი 32 მმ, კედლები 32 მმ.

Пояса 32 мм: стенки 32 мм.						
Параметр	относительно оси			Предельные расчетные усилия, тм ($f_y=390$ МПа)		
	Y	Z	X	N_{Rd}	$M_{Rd, Y}$	$M_{Rd, Z}$
A - площадь, м ²	0.261			10184		
I - моменты инерции, м ⁴	0.121	0.146	0.182			
Центр тяжести, м	0.856	0.966				
W - моменты сопротивления, м ³	0.141	0.151			5504	5908
EI - изгибная жесткость, тм ²	2537441	3074202				
EA - осевая жесткость, т	5485127					
GI _T - крутильная жесткость, тм ²			1473574			

5.1.3 දွေ့ဆုံး အုပ်

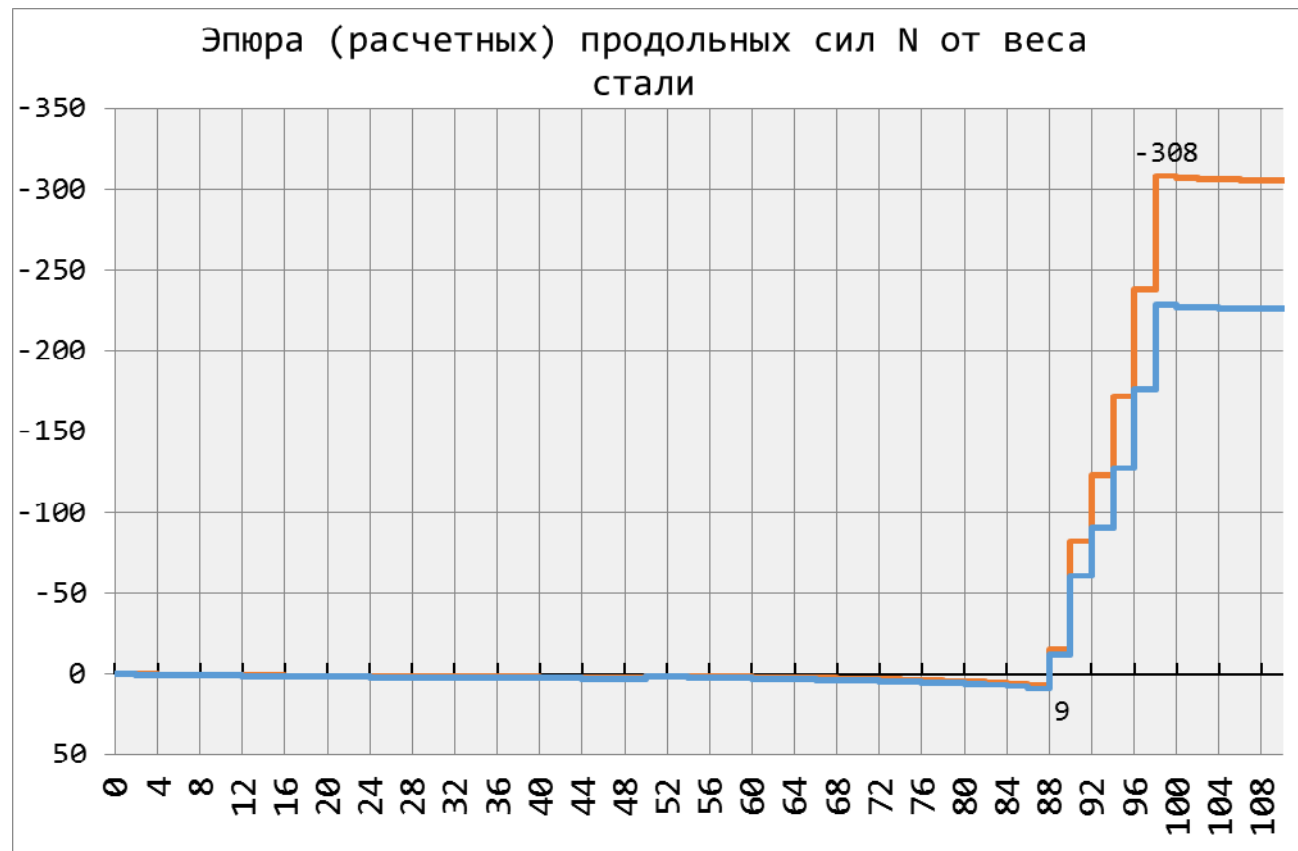


ပုံပ. 5.6 တွေ့ဆုံး အုပ်

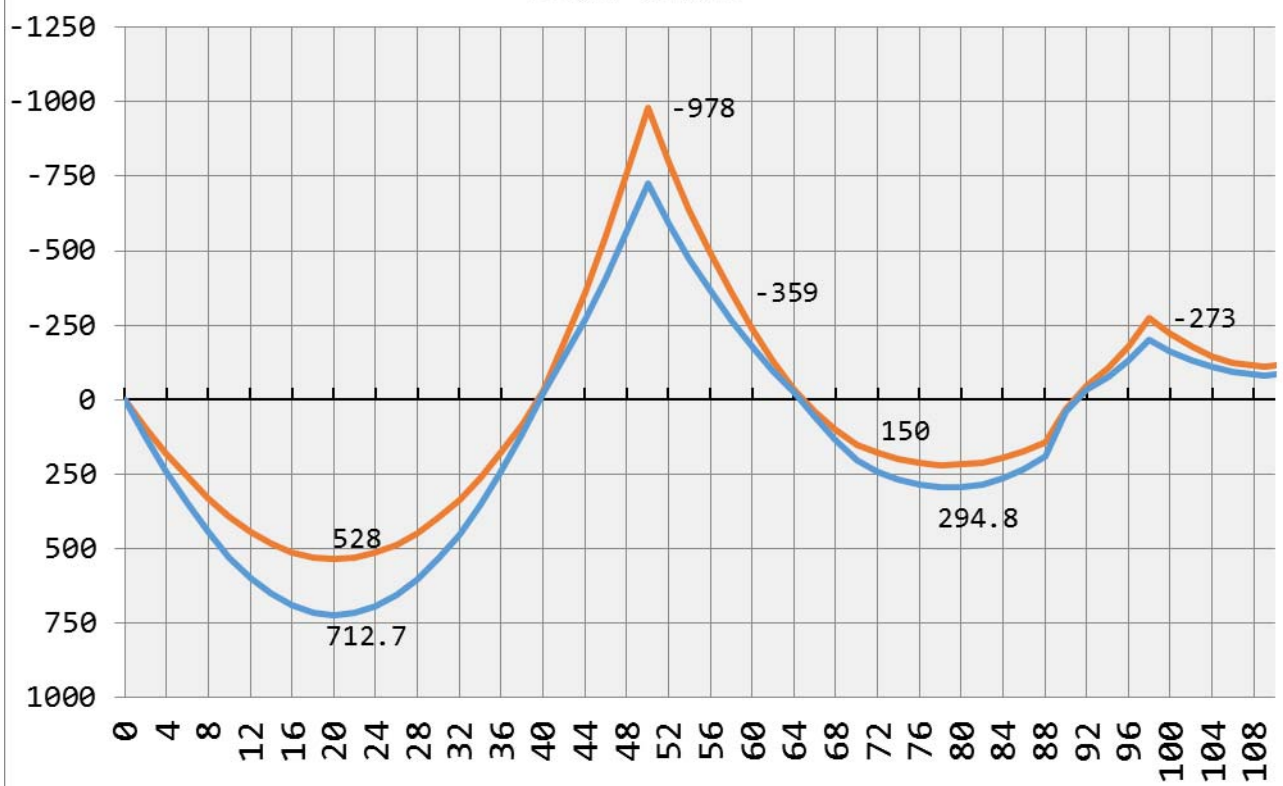
Стойка. Все толщины 20 мм						
Параметр	относительно оси			Предельные расчетные усилия, тм ($f_y=390$ МПа)		
	Y	Z	X	N_{Rd}	$M_{Rd, Y}$	$M_{Rd, Z}$
A - площадь, м ²	0.145			5647		
I - моменты инерции, м ⁴	0.032	0.071	0.060			
Центр тяжести, м	0.570	0.960				
W - моменты сопротивления, м ³	0.056	0.073			2177	2864
EI - изгибная жесткость, тм ²	668265	1481069				
EA - осевая жесткость, т	3041691					
GI _T - крутильная жесткость, тм ²			485164			

5.2 ճալցեծություն

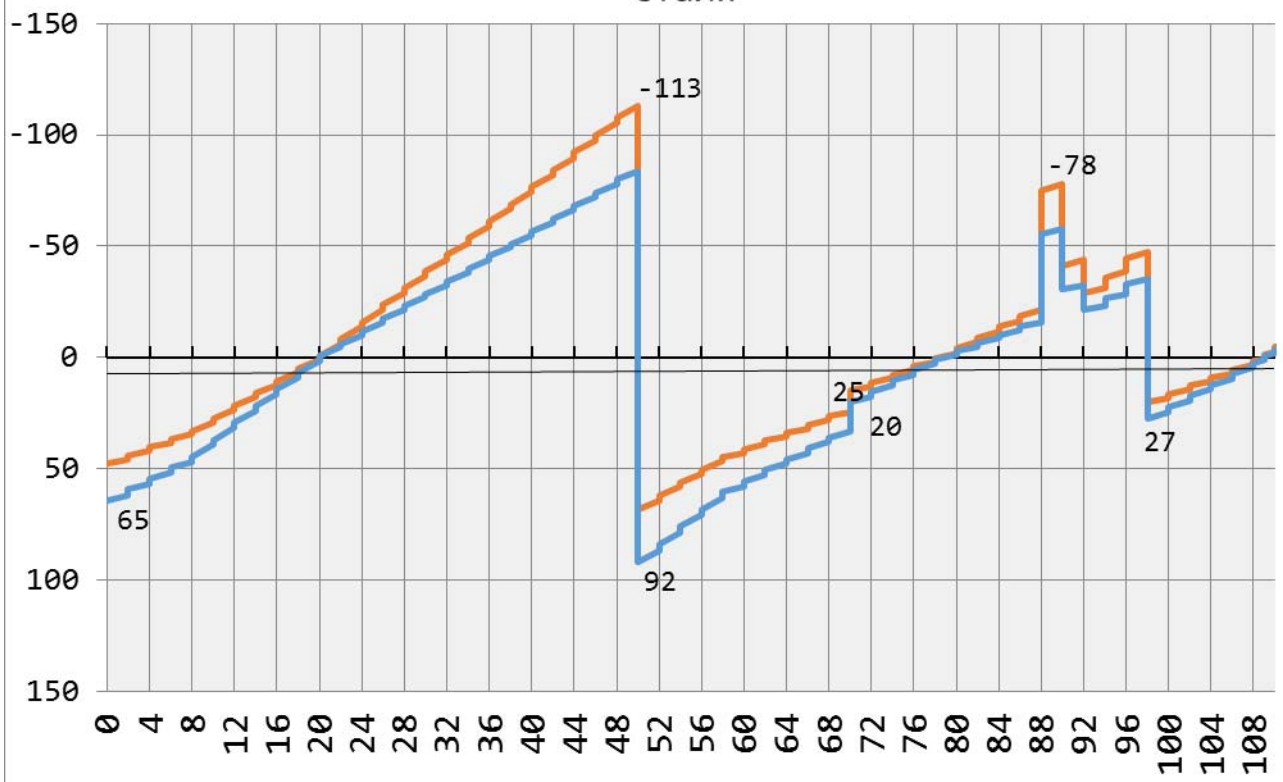
5.2.1 շարժական պահի վեցաբար վարչական



Эпюра (расчетных) изгибающих моментов M_y от веса стали



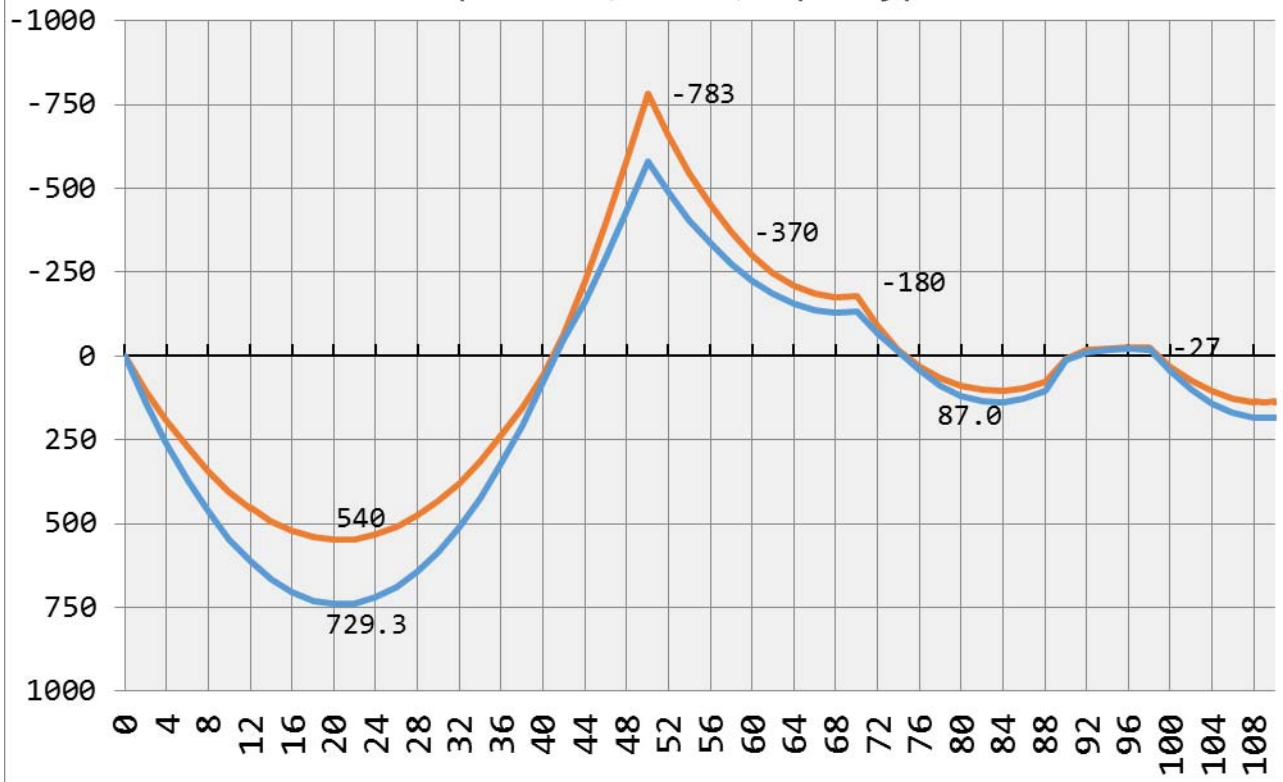
Эпюра (расчетных) поперечных сил Q_z от веса стали



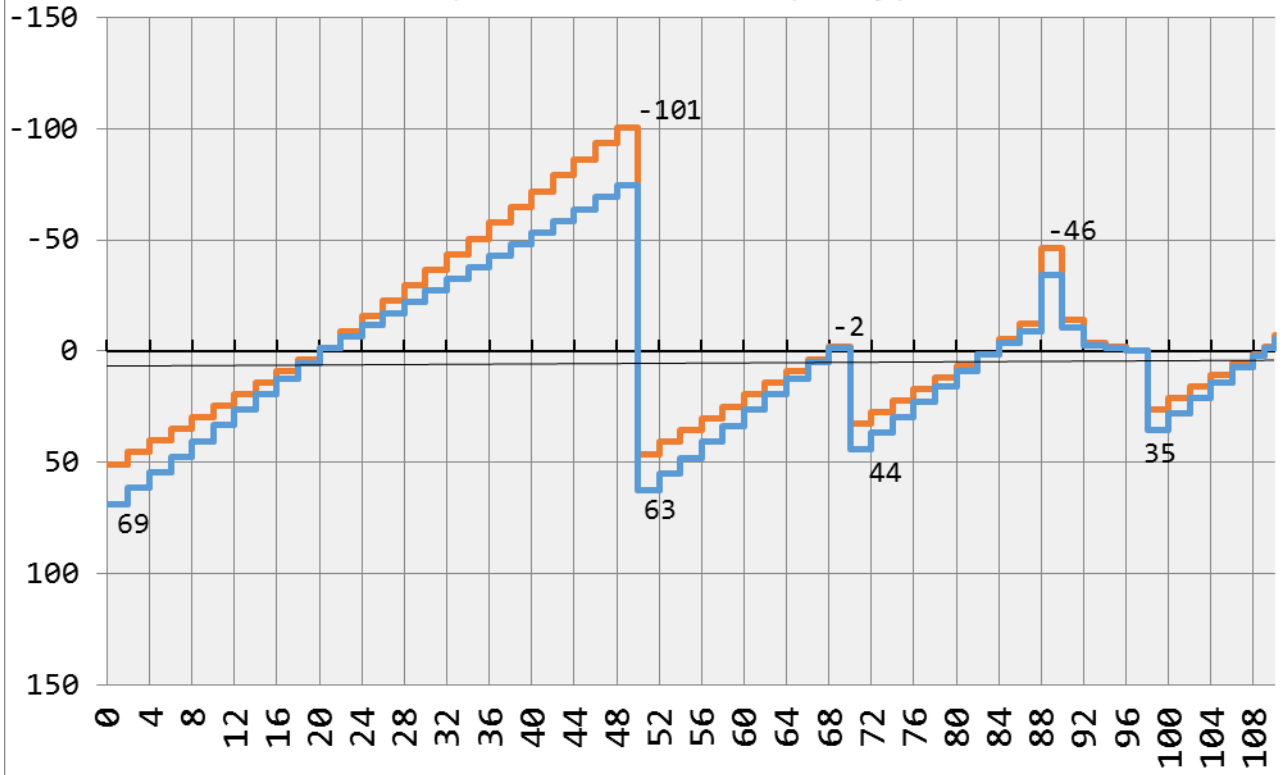
5.2.2 ეპიურები გასასვლელების, ანაკრები ფილების და არმატურის წონისაგან



Эпюра (расчетных) изгибающих моментов M_y от веса проходов, плит, арматуры



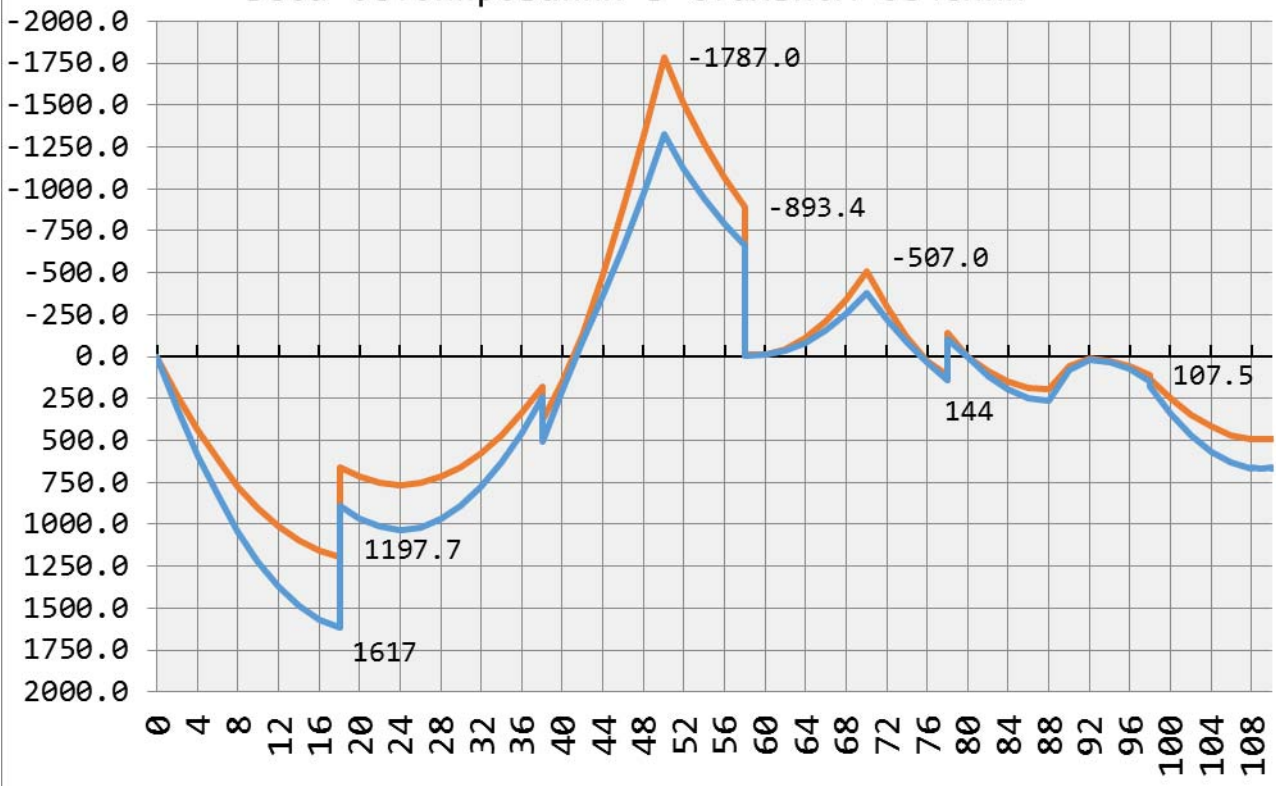
Эпюра (расчетных) поперечных сил Q_z от веса проходов, плит, арматуры



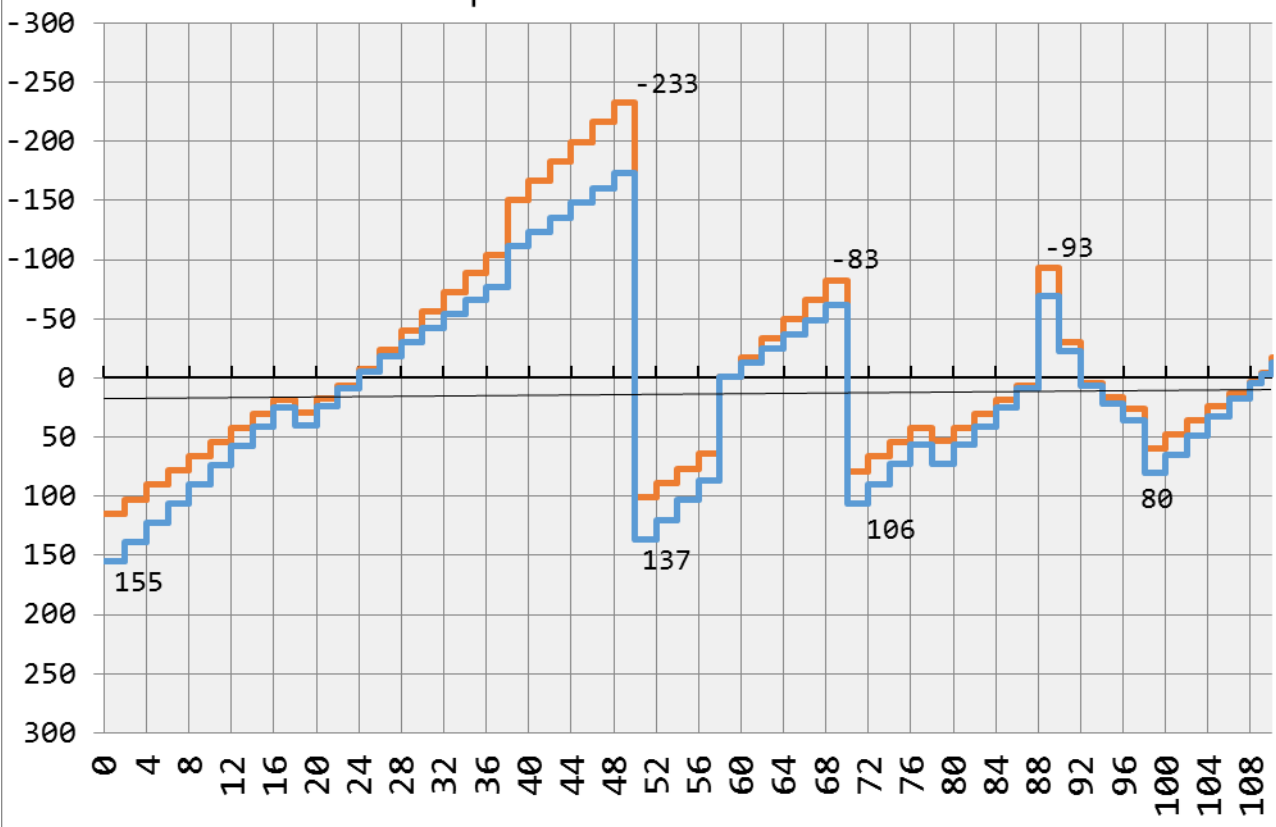
5.2.3 ეპურები ფოლადის კვეთში ბეტონირების წონისაგან



Эпюра (расчетных) изгибающих моментов M_y от веса бетонирования в стальном сечении



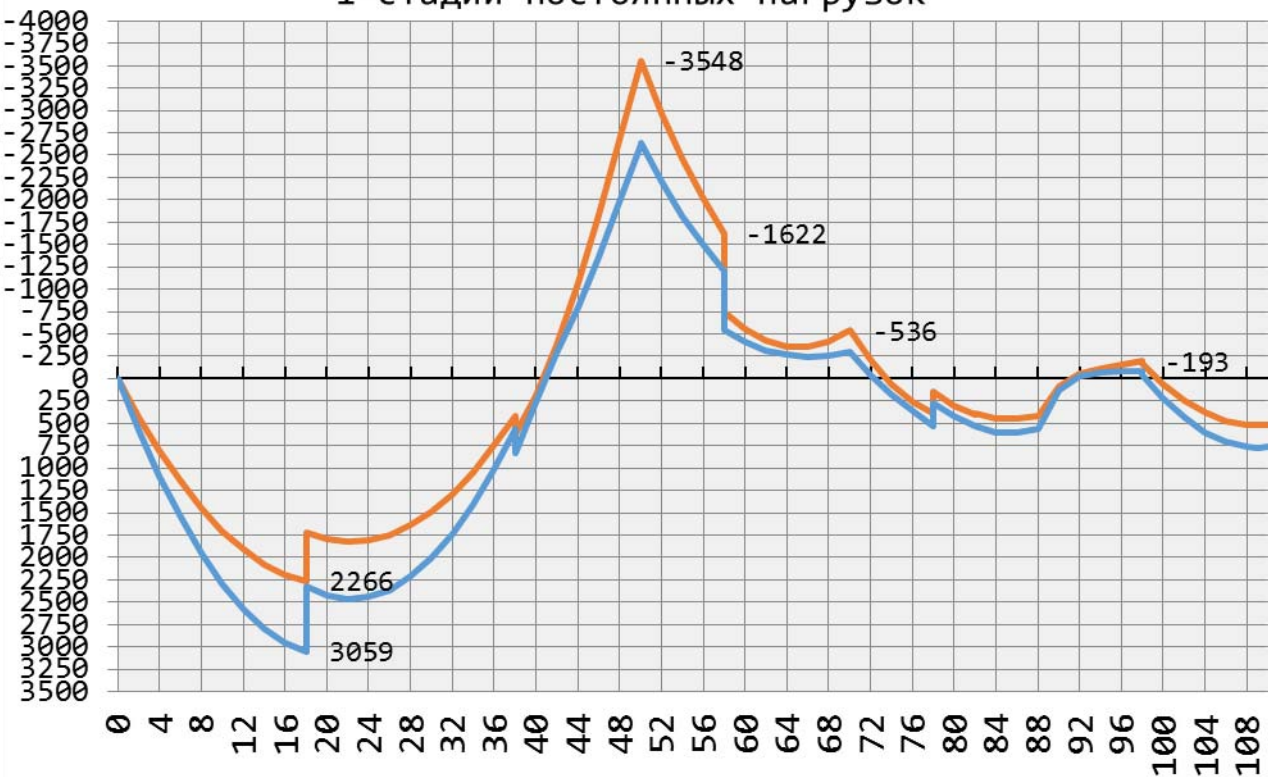
Эпюра (расчетных) поперечных сил Q_z от веса бетонирования в стальном сечении



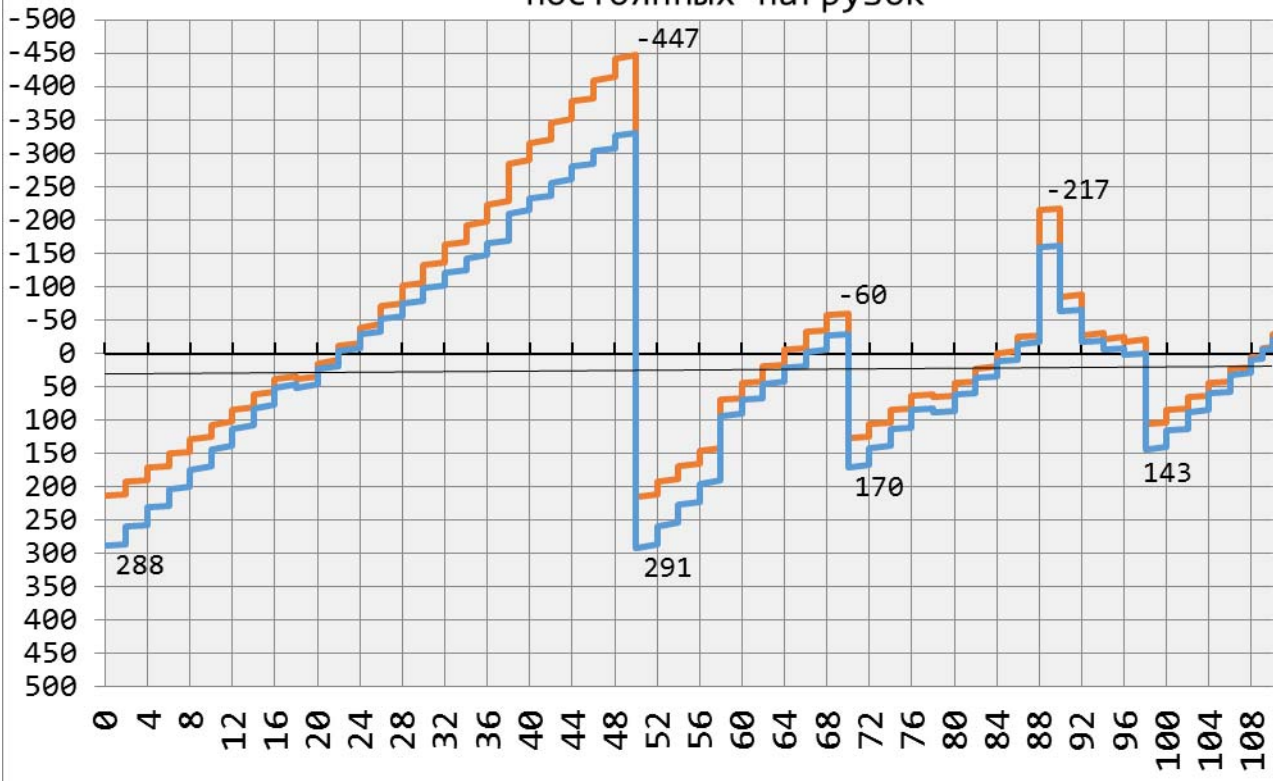
5.2.4 ეპიურები 1-სტადიის მუდმივი დატვირთვებისაგან



Эпюра (расчетных) изгибающих моментов M_y от
1-стадии постоянных нагрузок



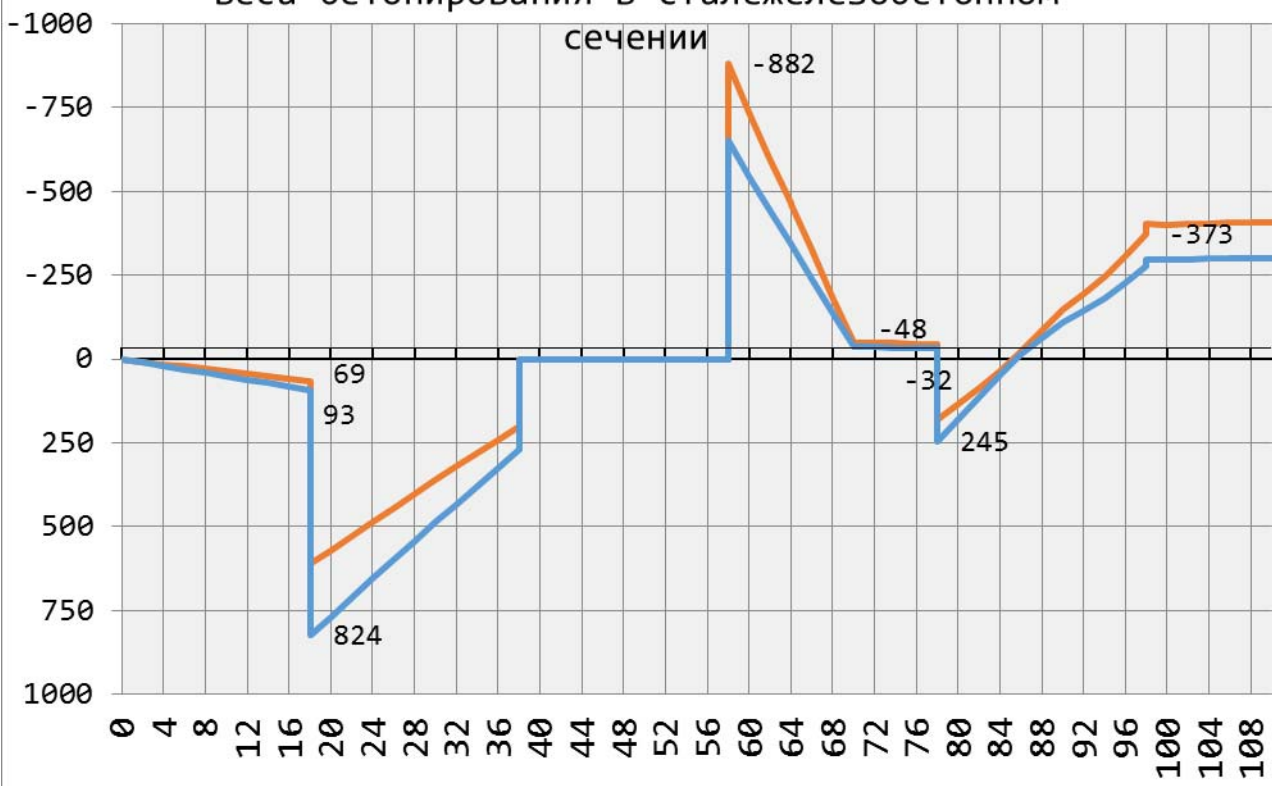
Эпюра (расчетных) поперечных сил Q_z от 1-стадии
постоянных нагрузок



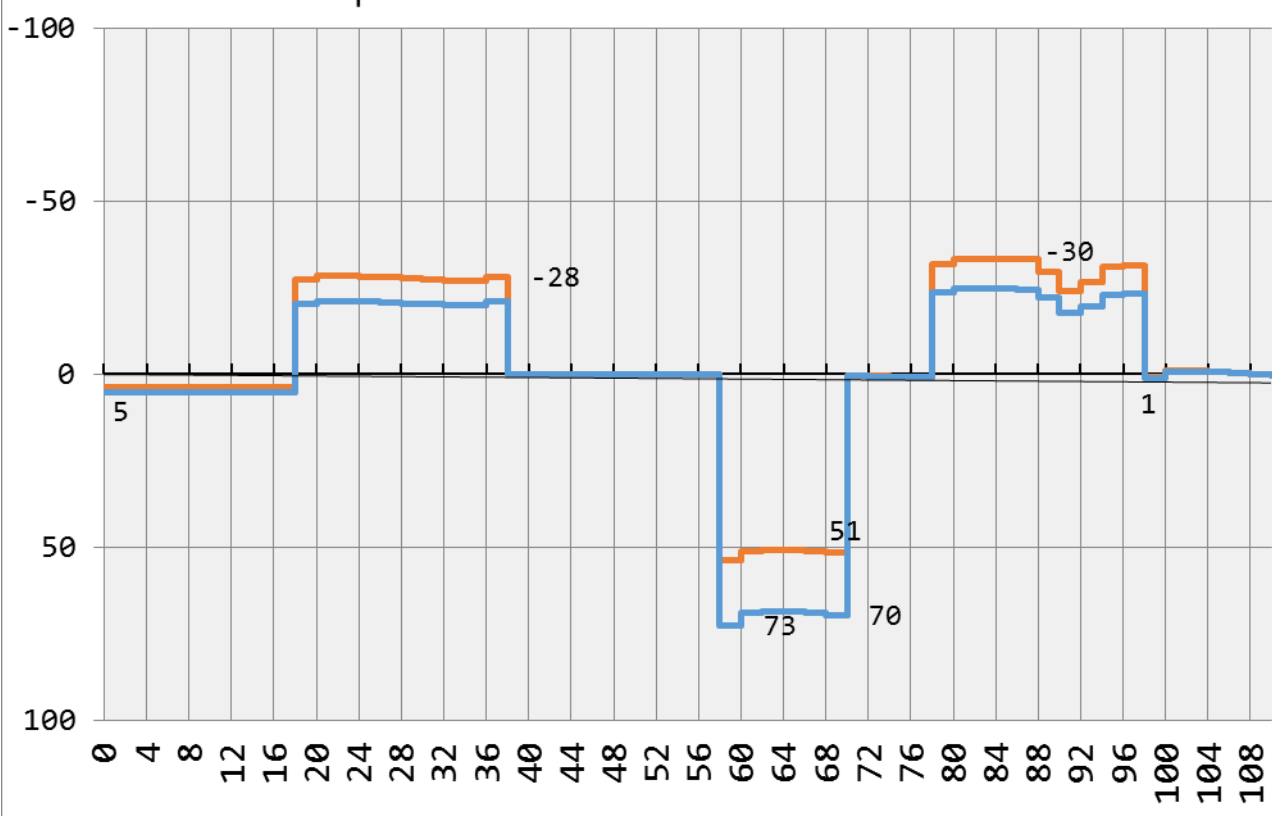
5.2.5 ეპიურები ფოლად-რკინაბეტონის ქვეთში ბეტონირების წონისაგან



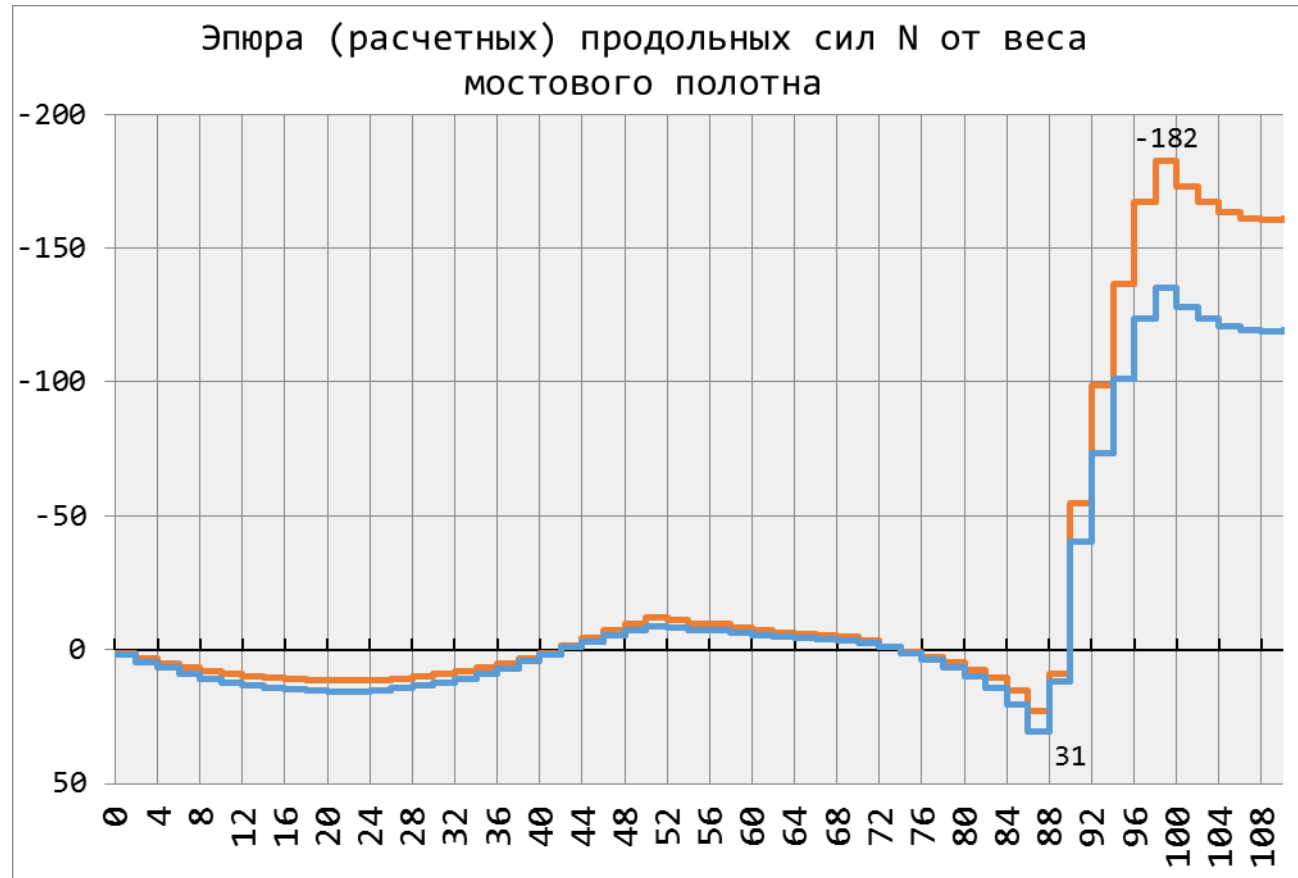
Эпюра (расчетных) изгибающих моментов M_y от веса бетонирования в сталежелезобетонном сечении



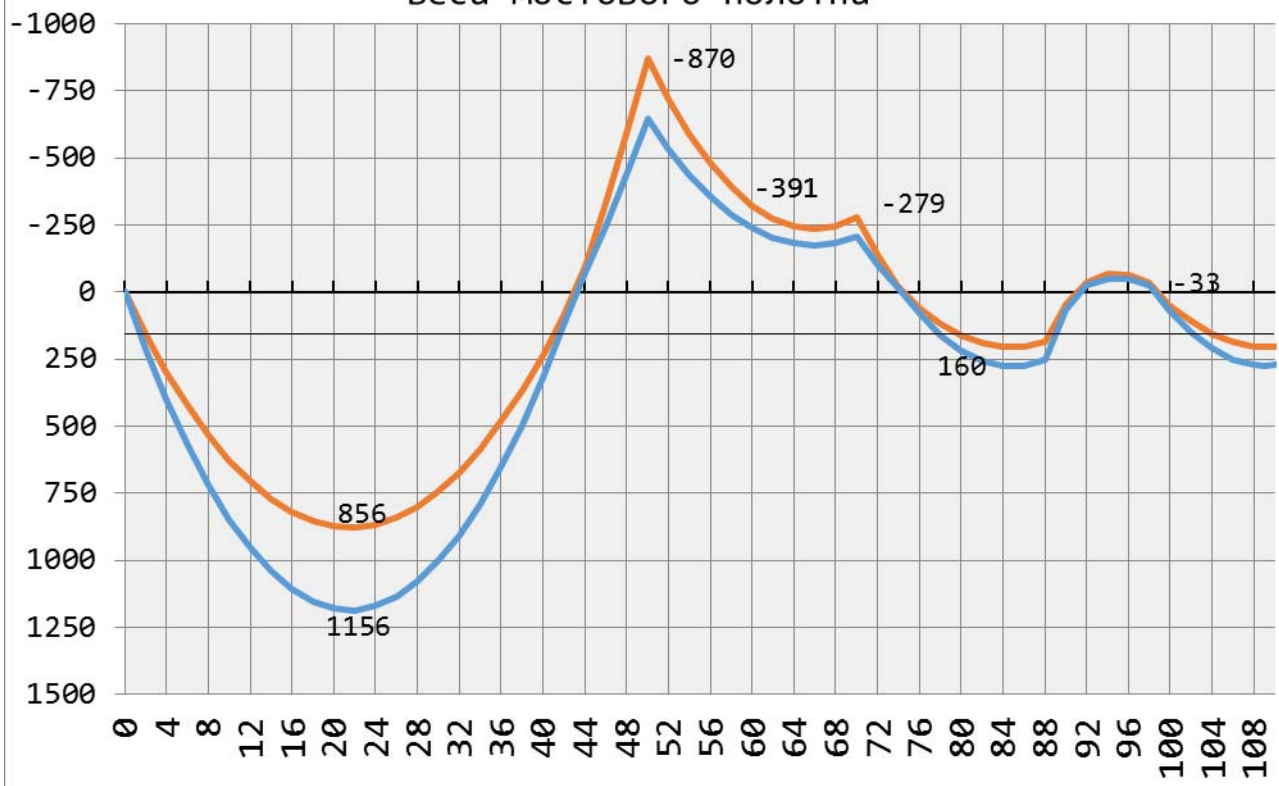
Эпюра (расчетных) поперечных сил Q_z от веса бетонирования в сталежелезобетонном сечении



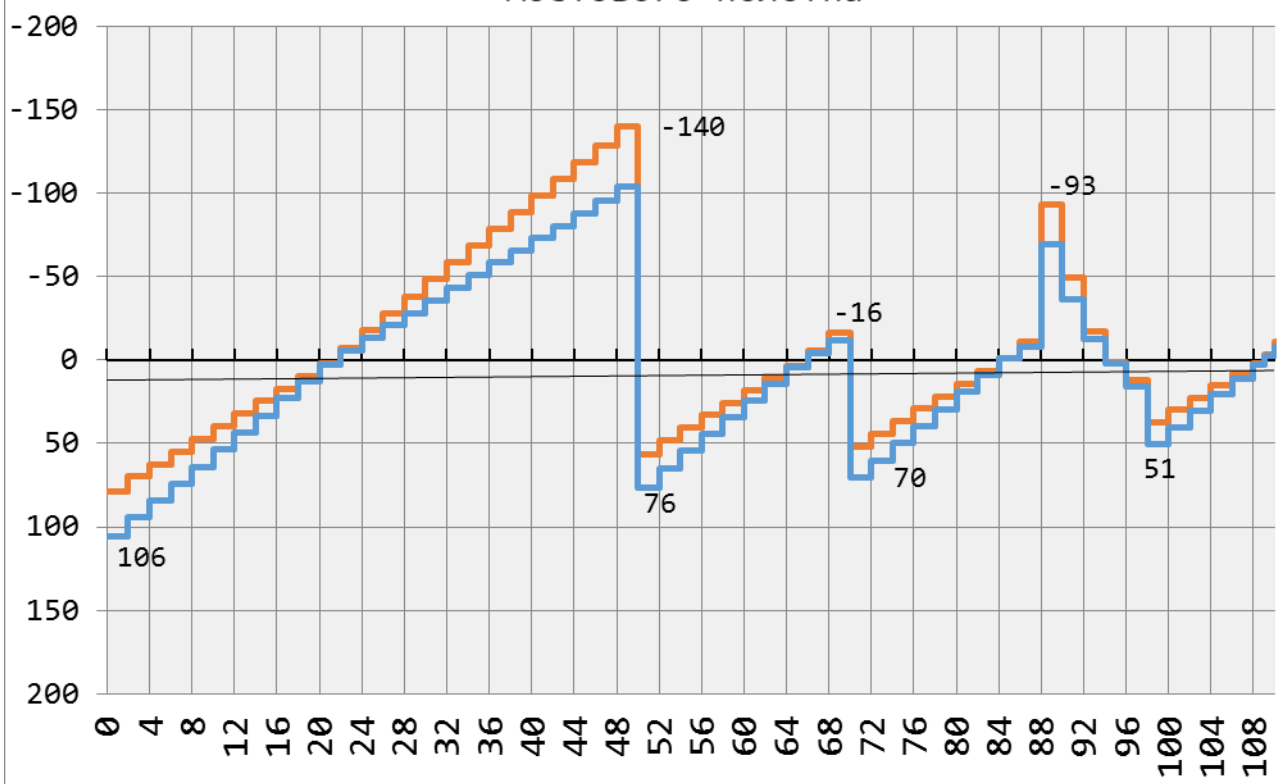
5.2.6 ეპიურები ხიდის ვაკისის წონისაგან



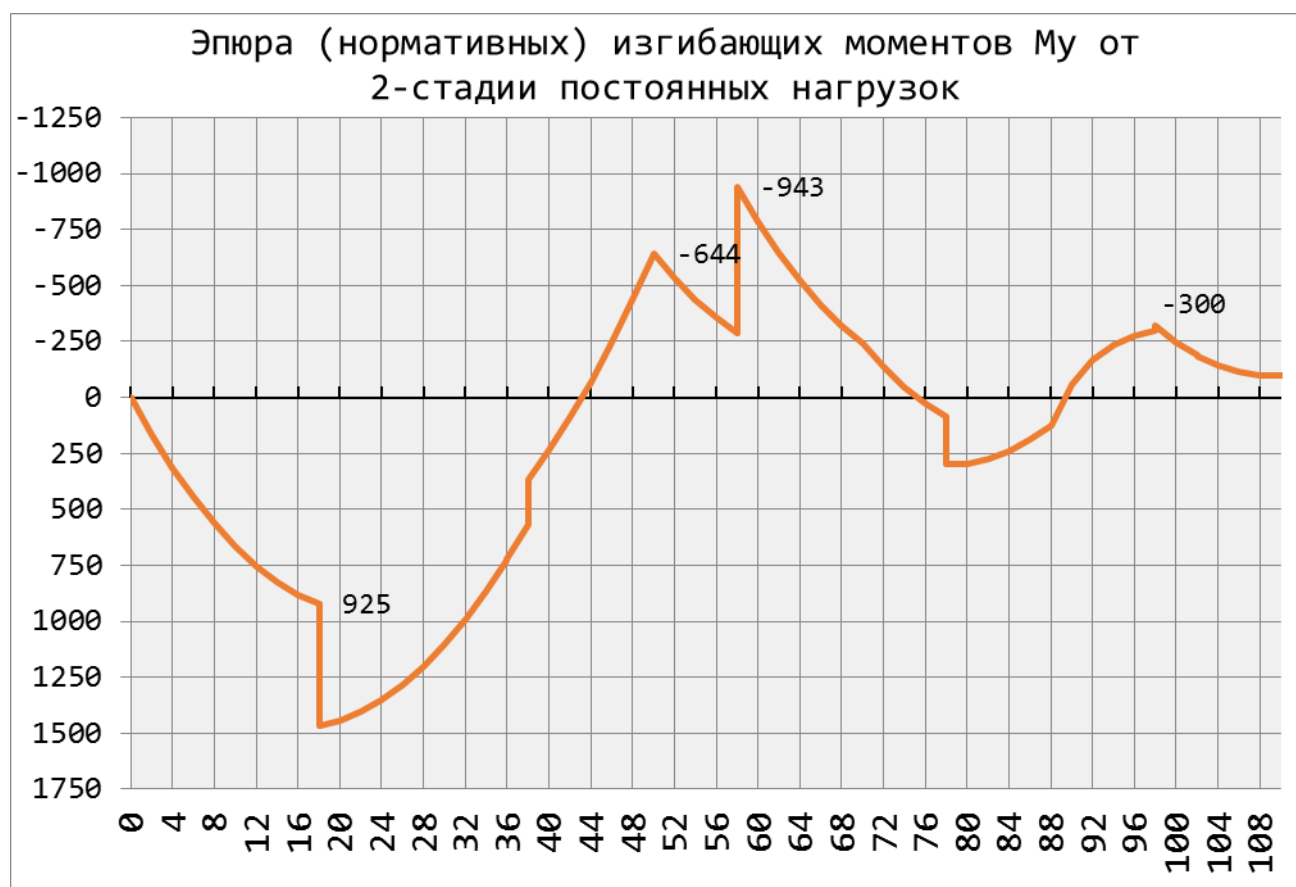
Эпюра (расчетных) изгибающих моментов M_y от веса мостового полотна



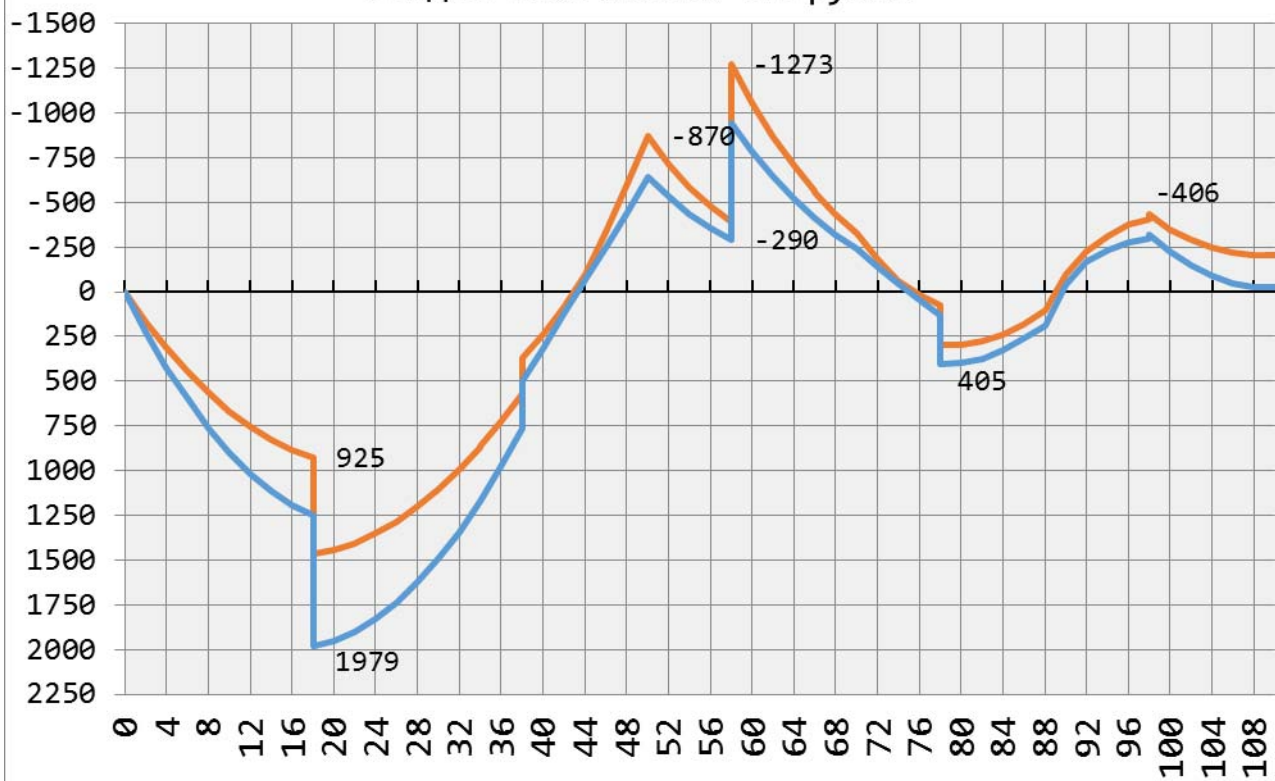
Эпюра (расчетных) поперечных сил Q_z от веса мостового полотна



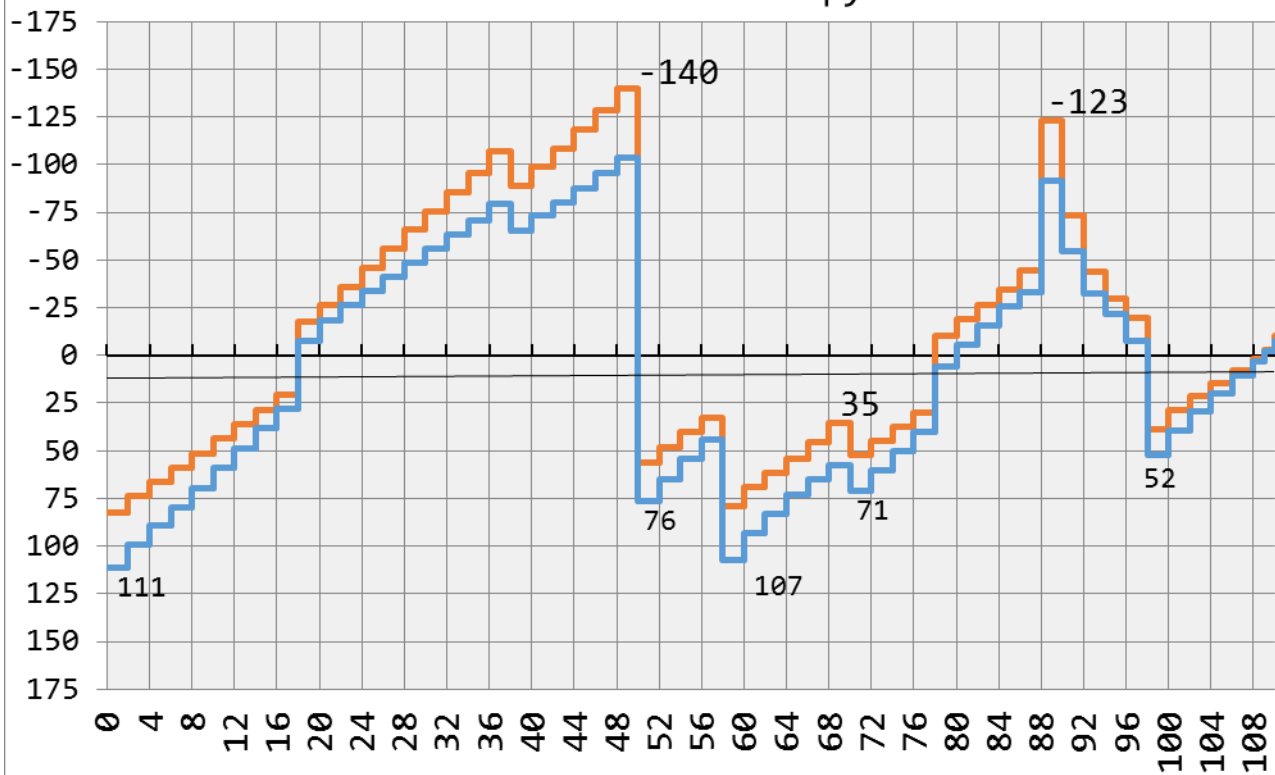
5.2.7 ეპიურები 2-სტადიის მუდმივი დატვირთვებისაგან



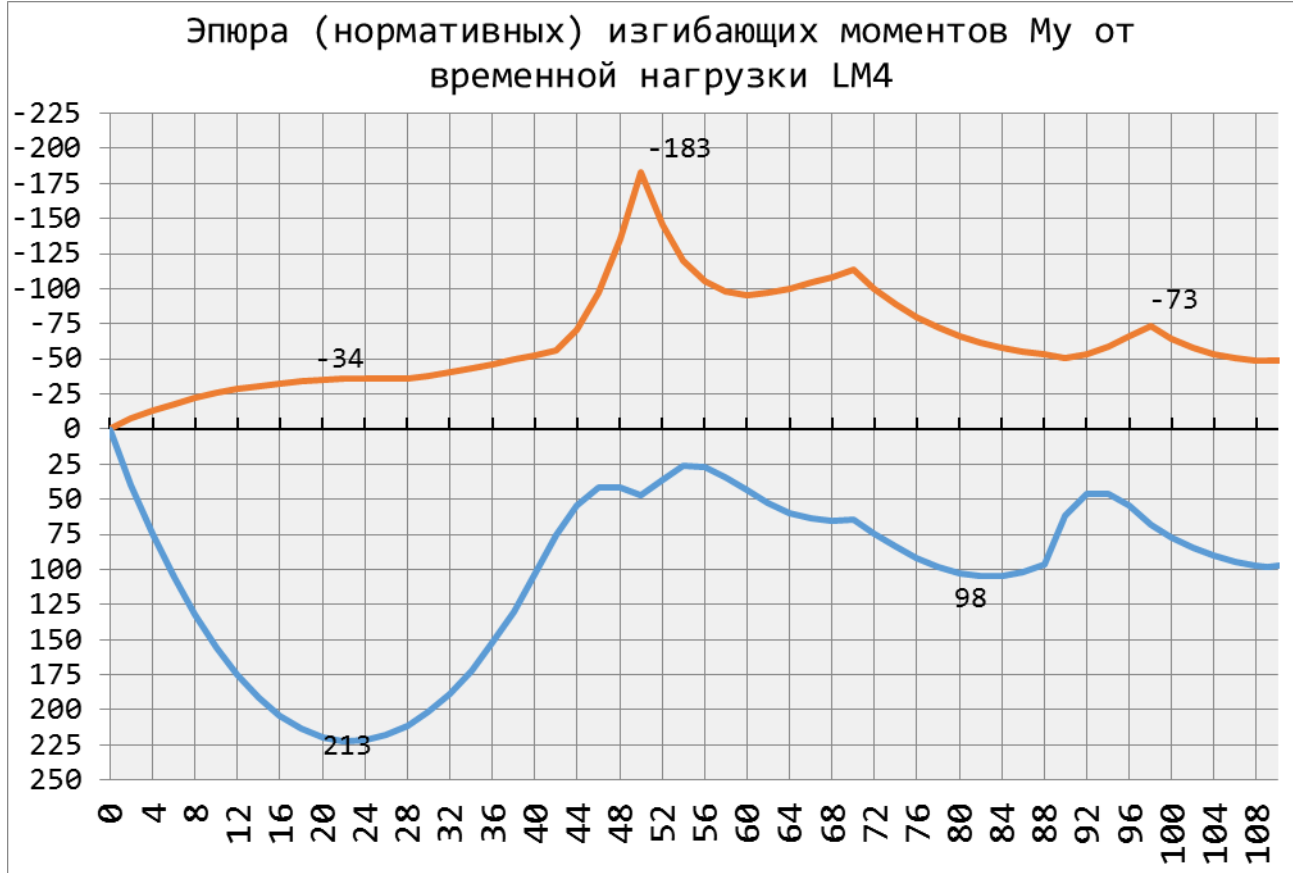
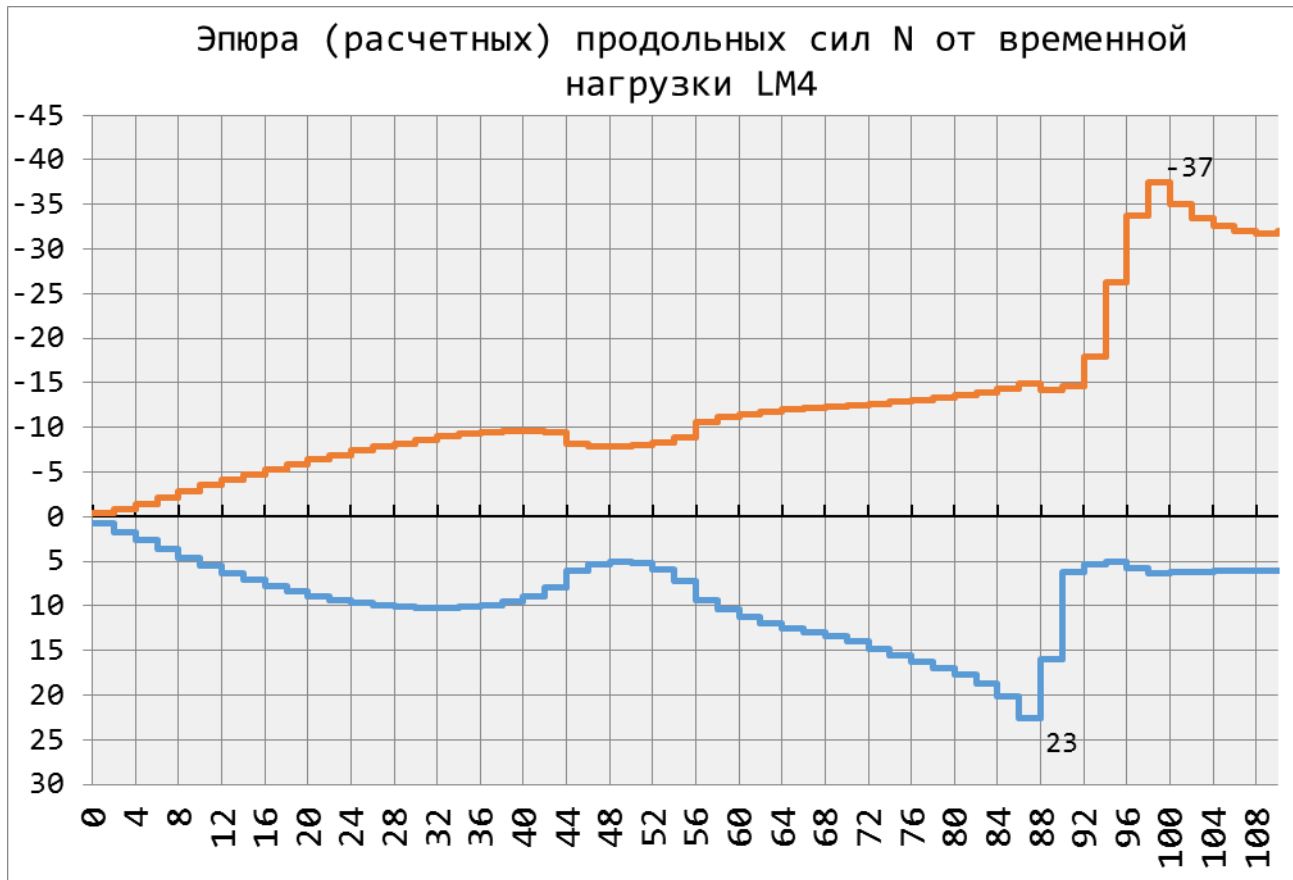
Эпюра (расчетных) изгибающих моментов M_y от 2-стадии постоянных нагрузок



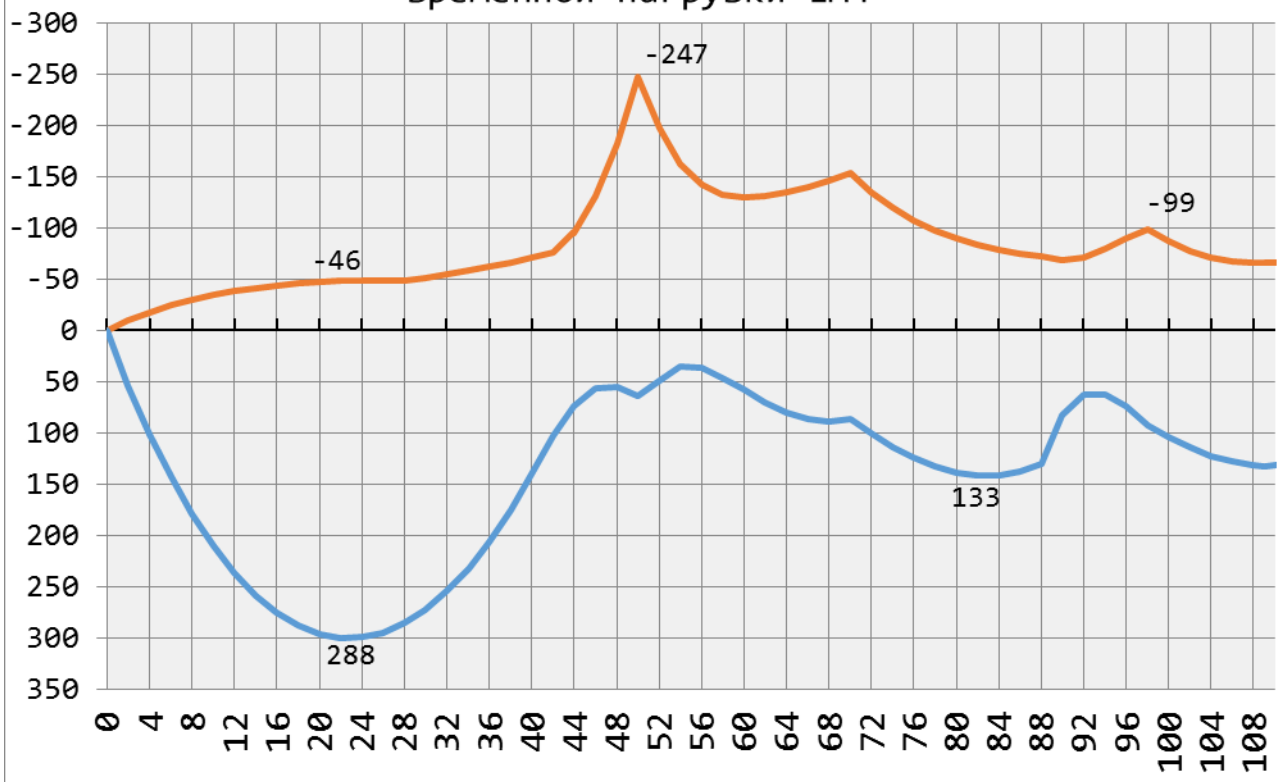
Эпюра (расчетных) поперечных сил Q_z от 2-стадии постоянных нагрузок



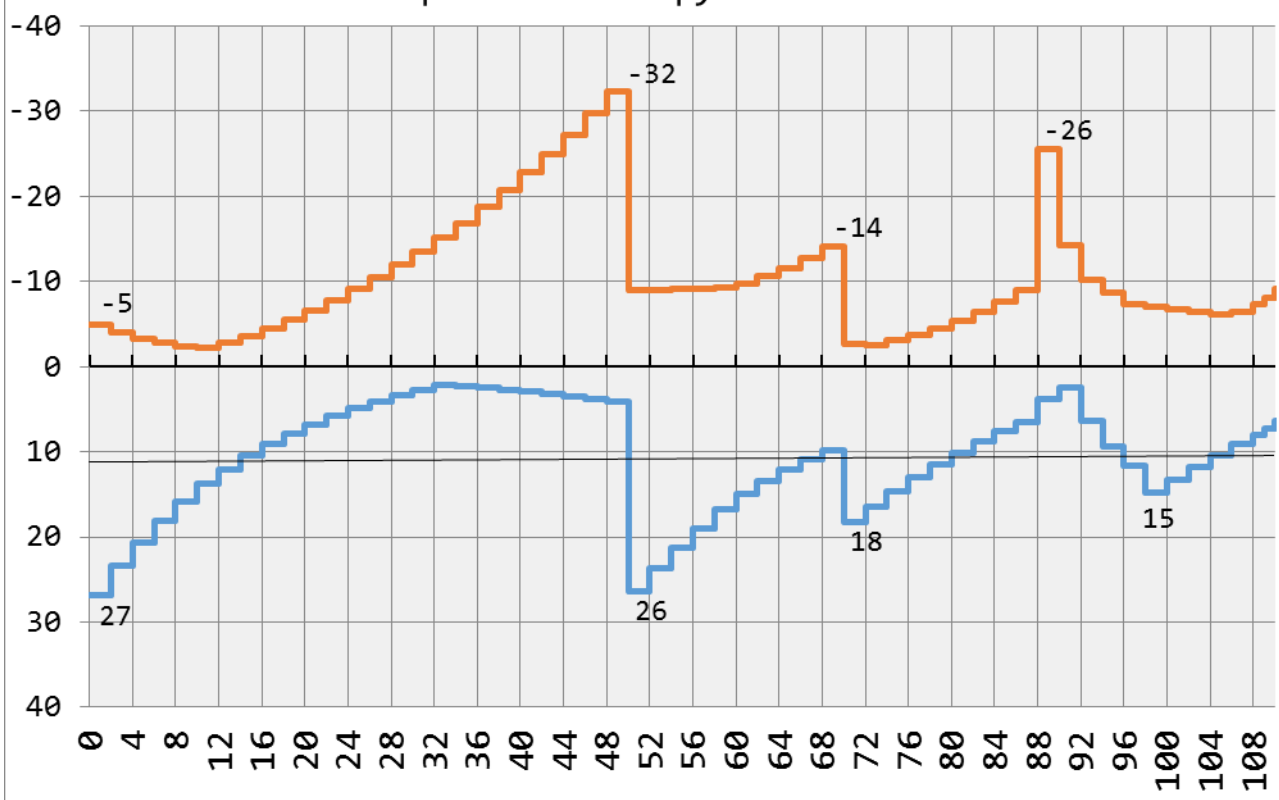
5.2.8 ეპიურები ფეხით მოსიარულეთაგან LM4



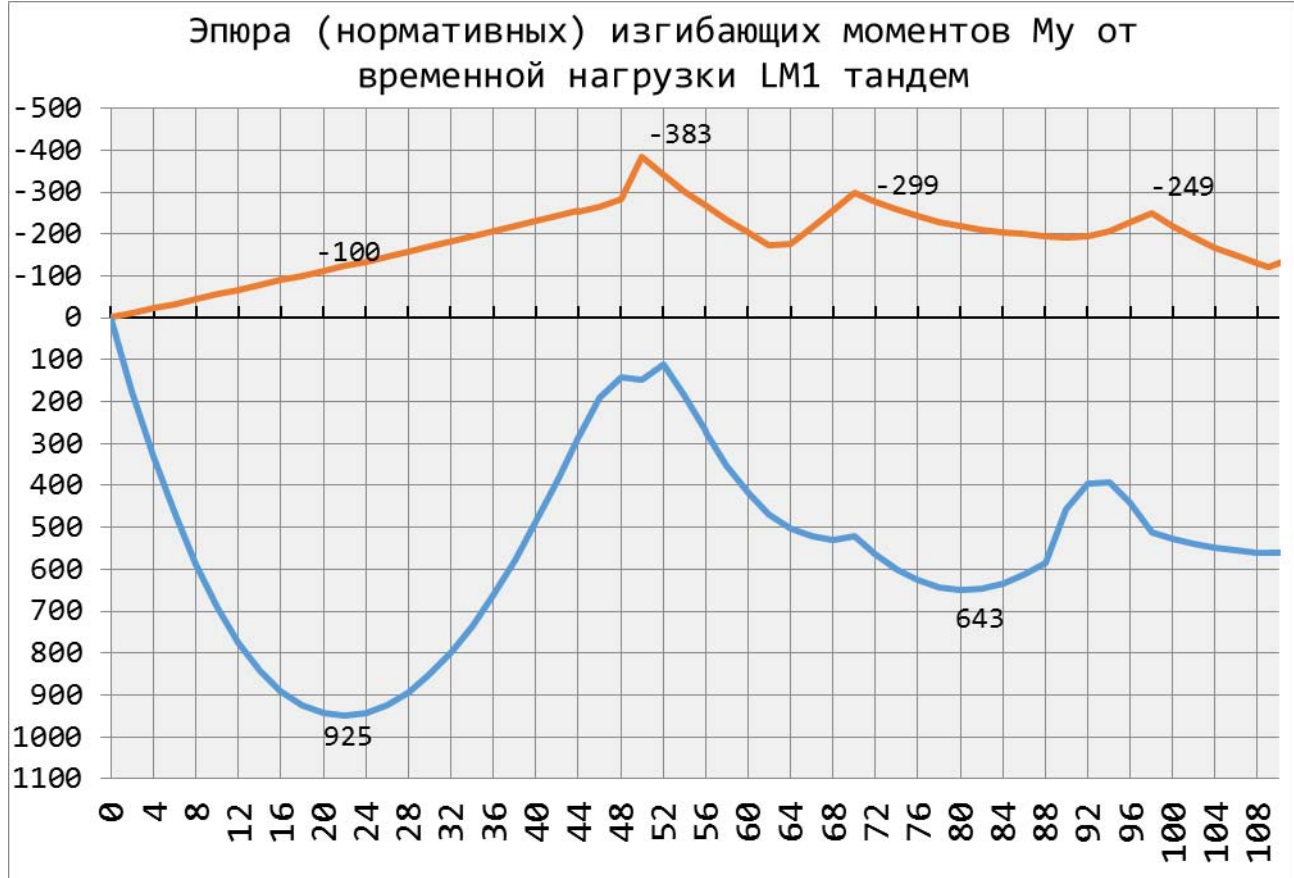
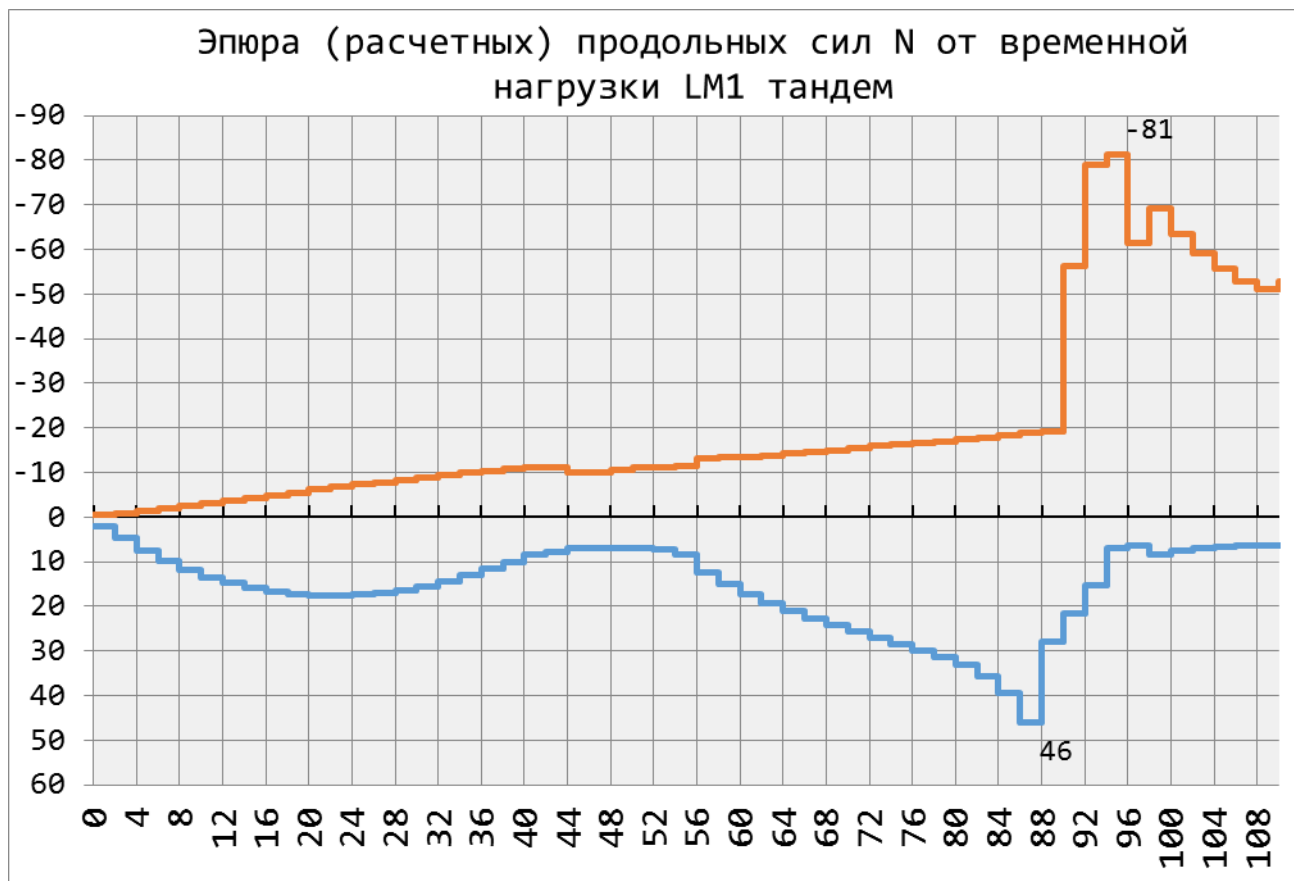
Эпюра (расчетных) изгибающих моментов M_y от временной нагрузки LM4



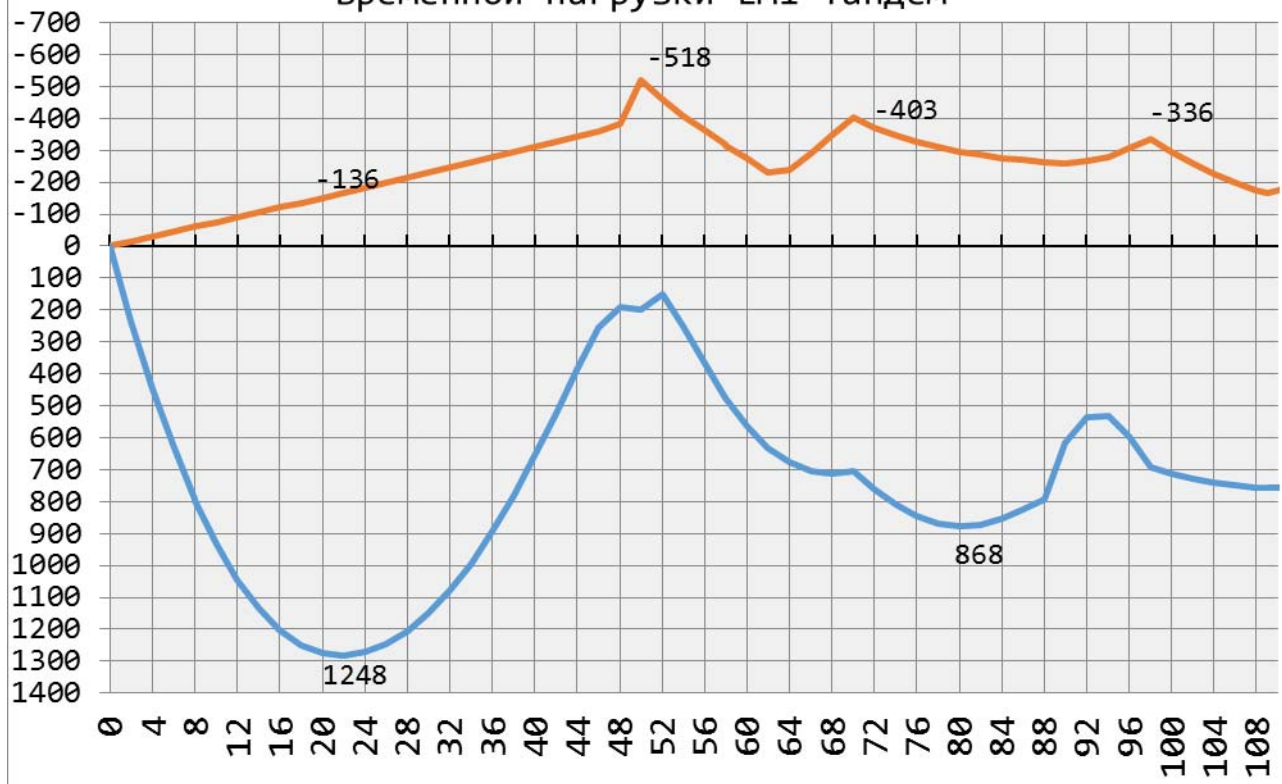
Эпюра (расчетных) поперечных сил Q_z от временной нагрузки LM4



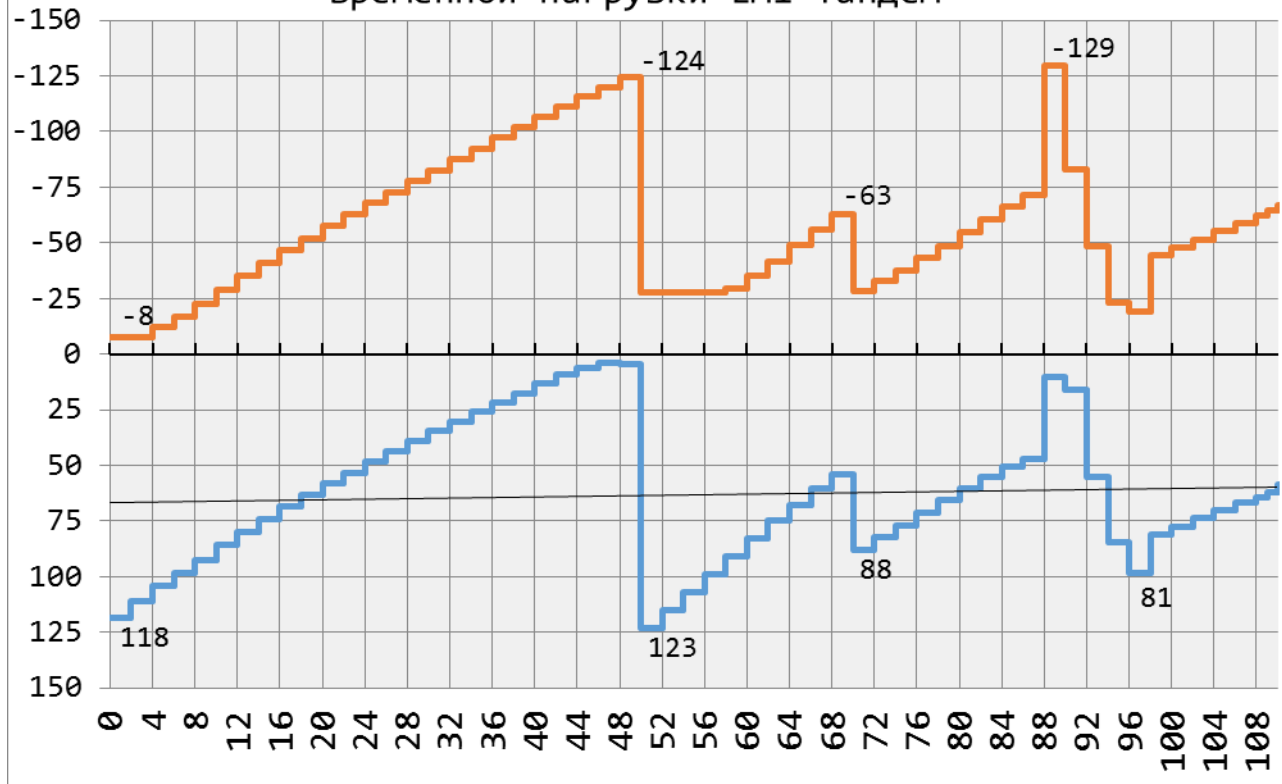
5.2.9 ეპიურები ტანდემისაგან LM1



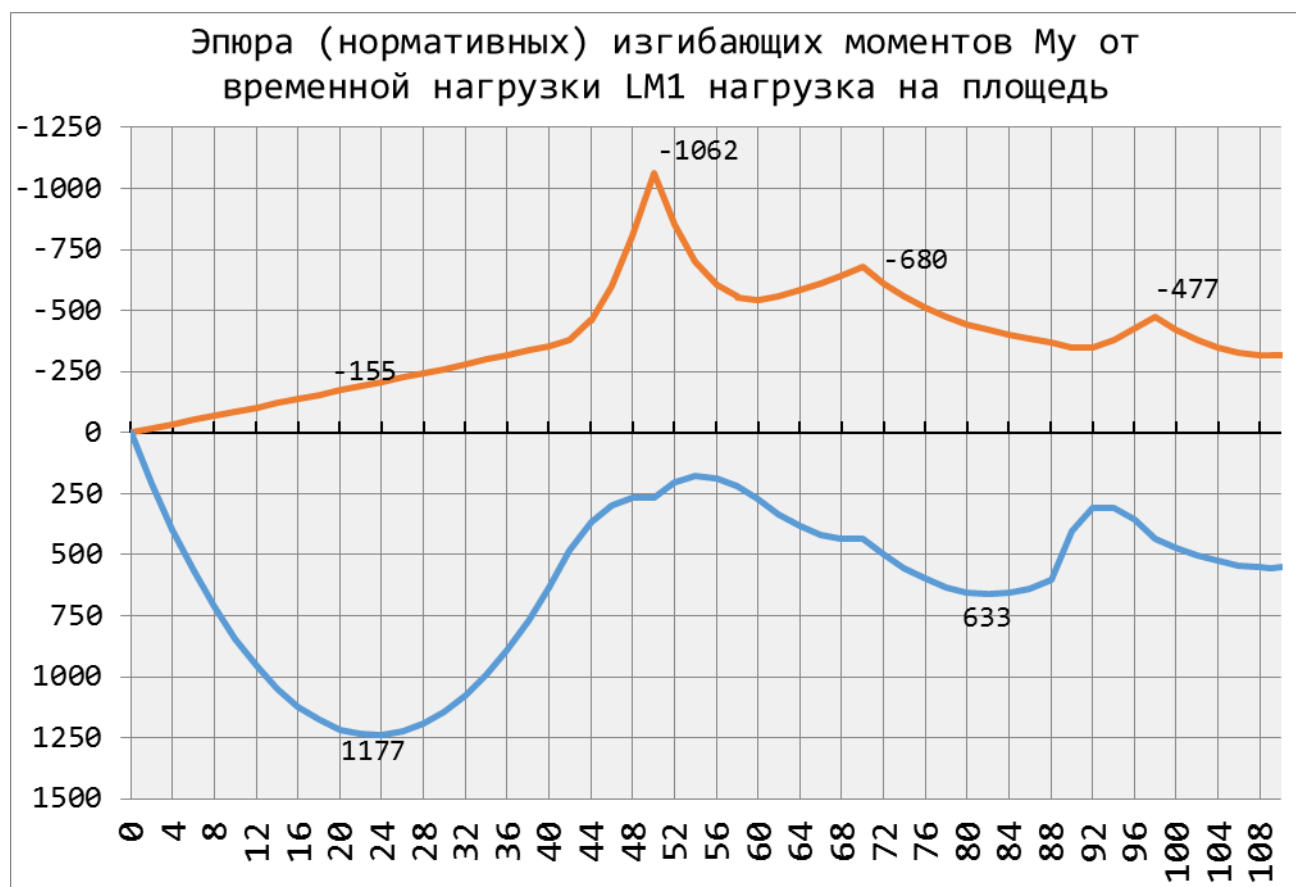
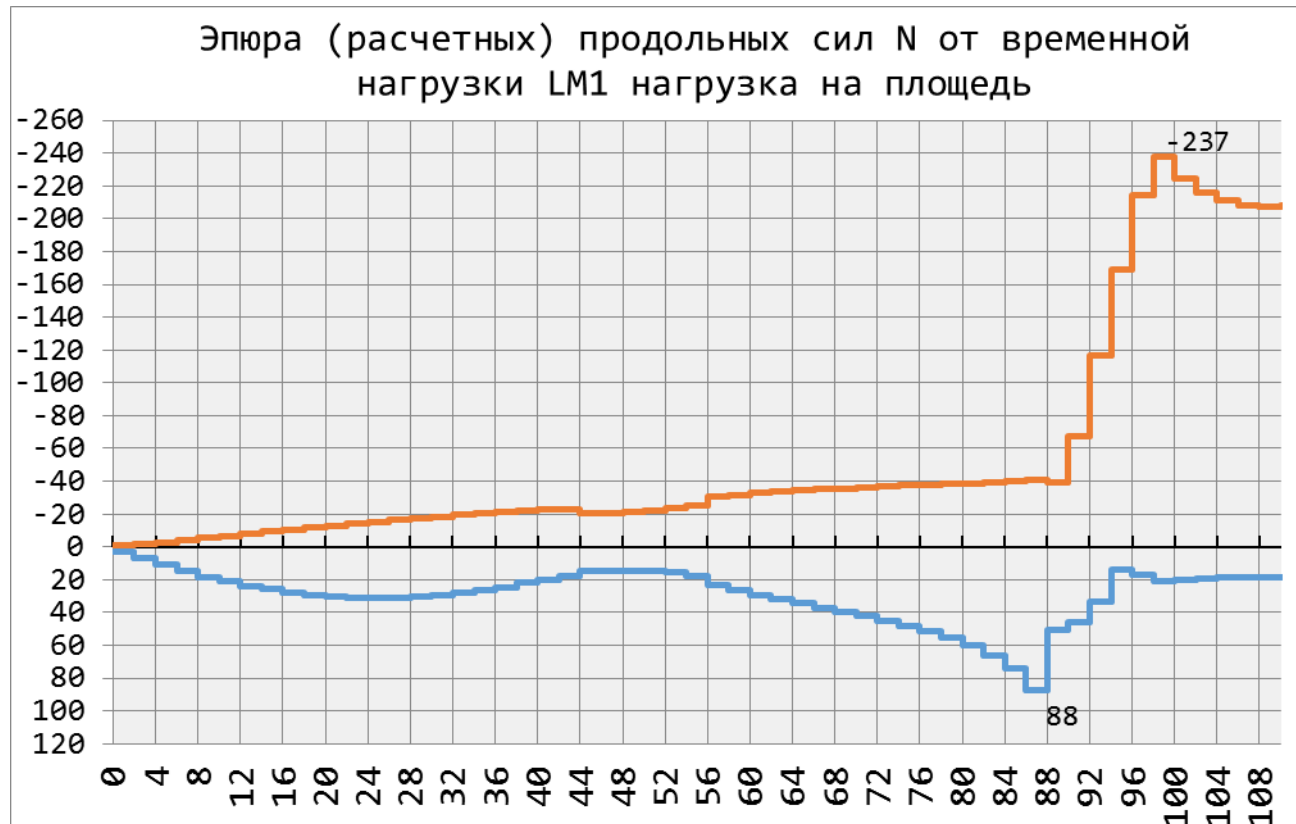
Эпюра (расчетных) изгибающих моментов M_y от временной нагрузки LM1 тандем



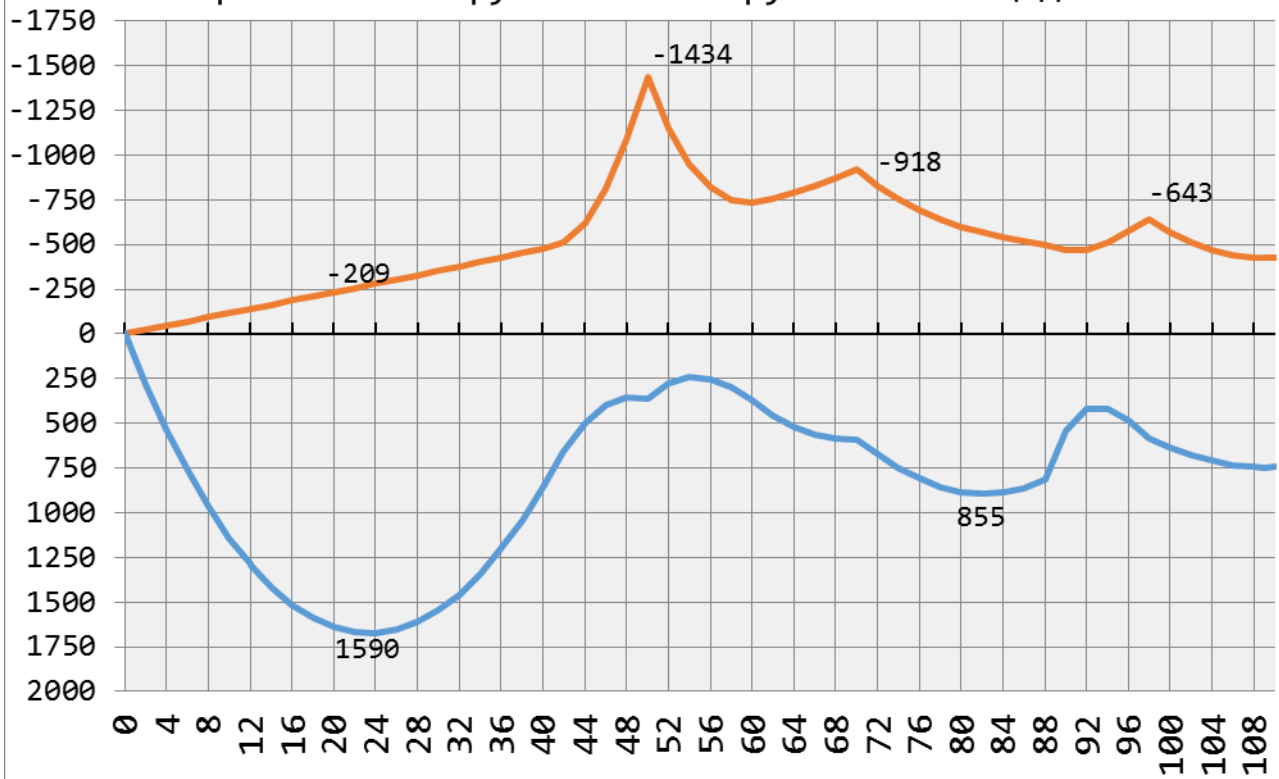
Эпюра (расчетных) поперечных сил Q_z от временной нагрузки LM1 тандем



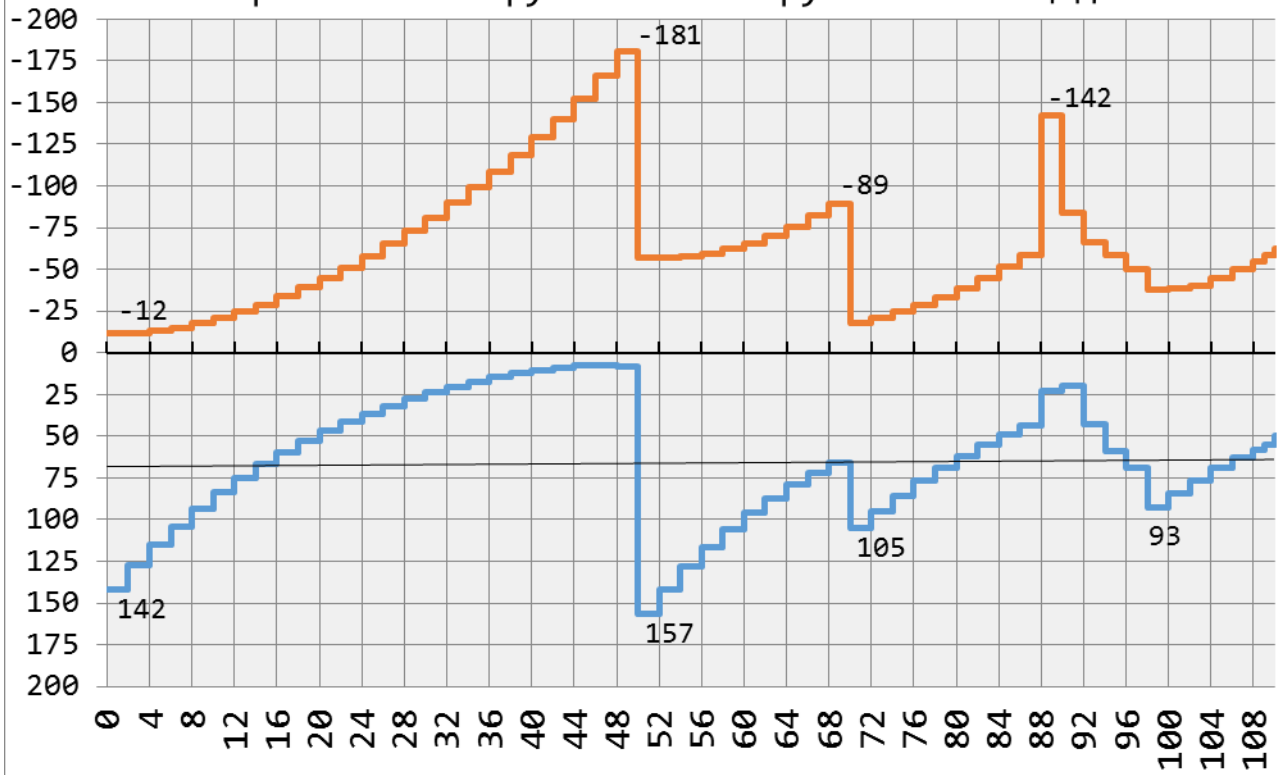
5.2.10 ეპიურები განაწილებული LM1



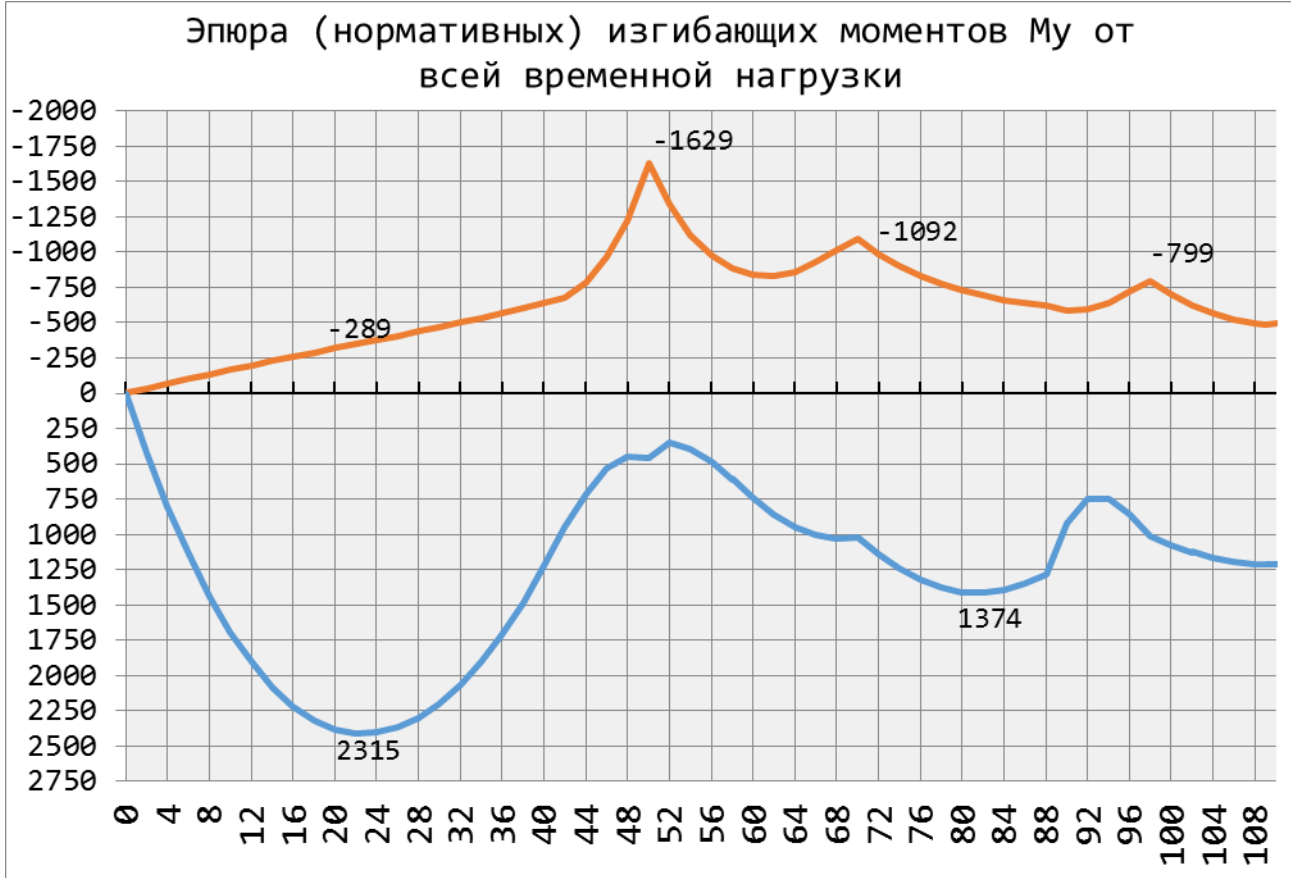
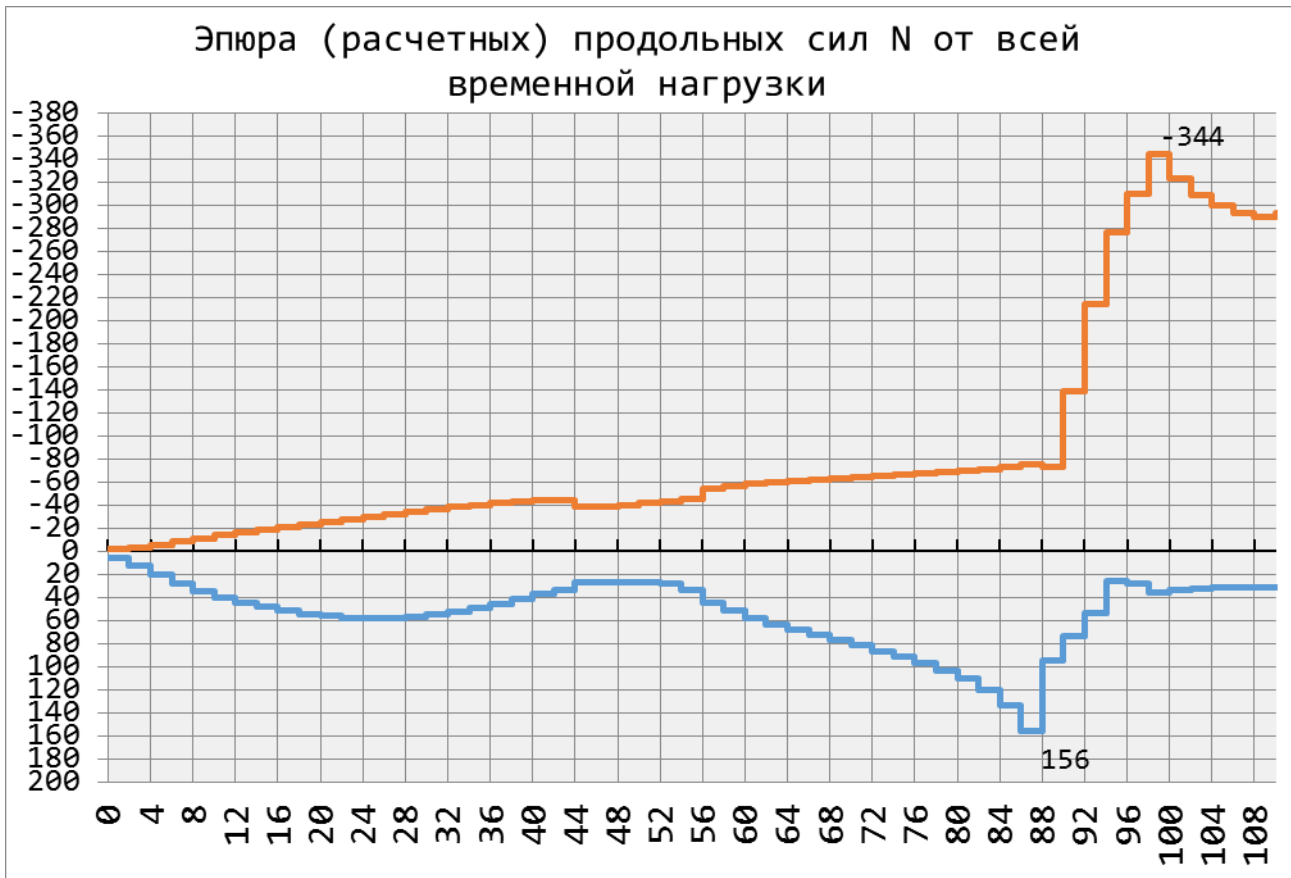
Эпюра (расчетных) изгибающих моментов M_y от временной нагрузки LM1 нагрузка на площадь



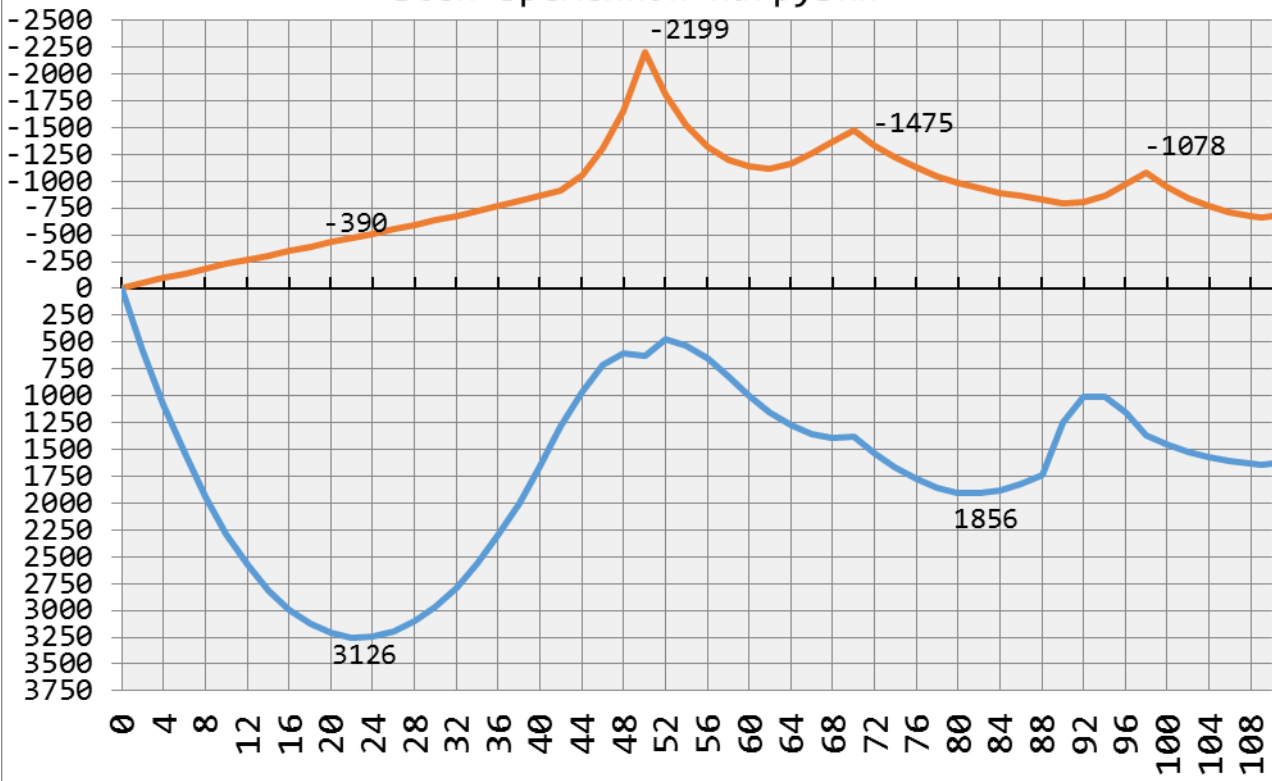
Эпюра (расчетных) поперечных сил Q_z от временной нагрузки LM1 нагрузка на площадь



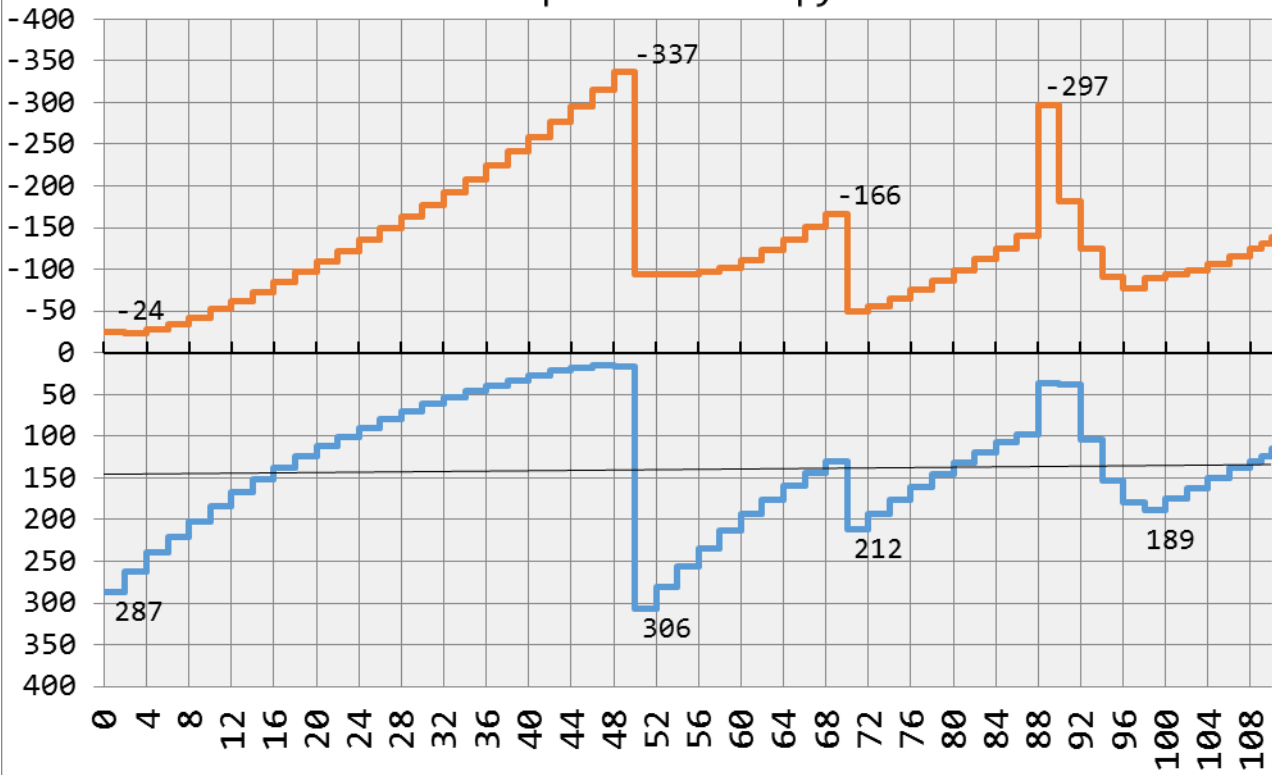
5.2.11 ეპურები ჯამური LM1



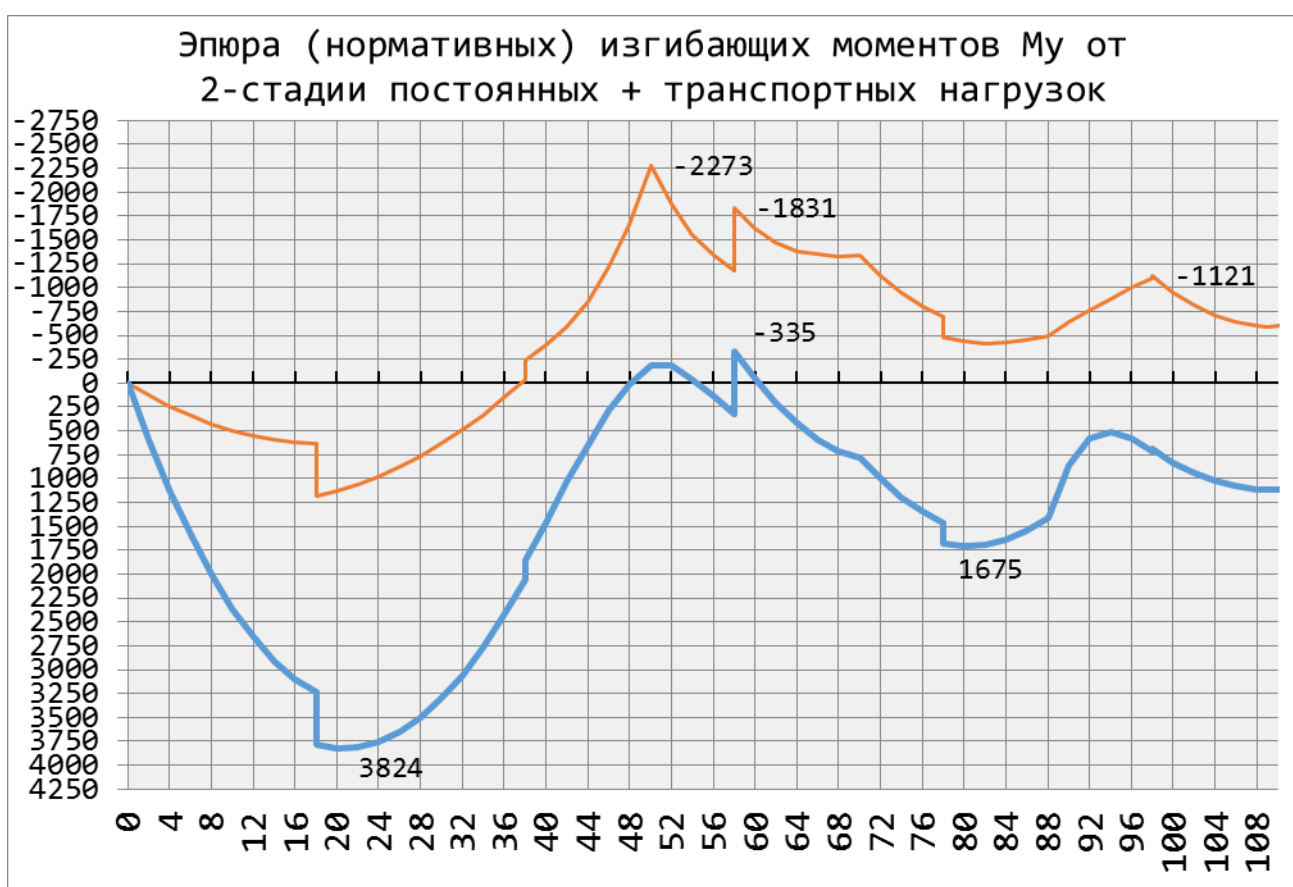
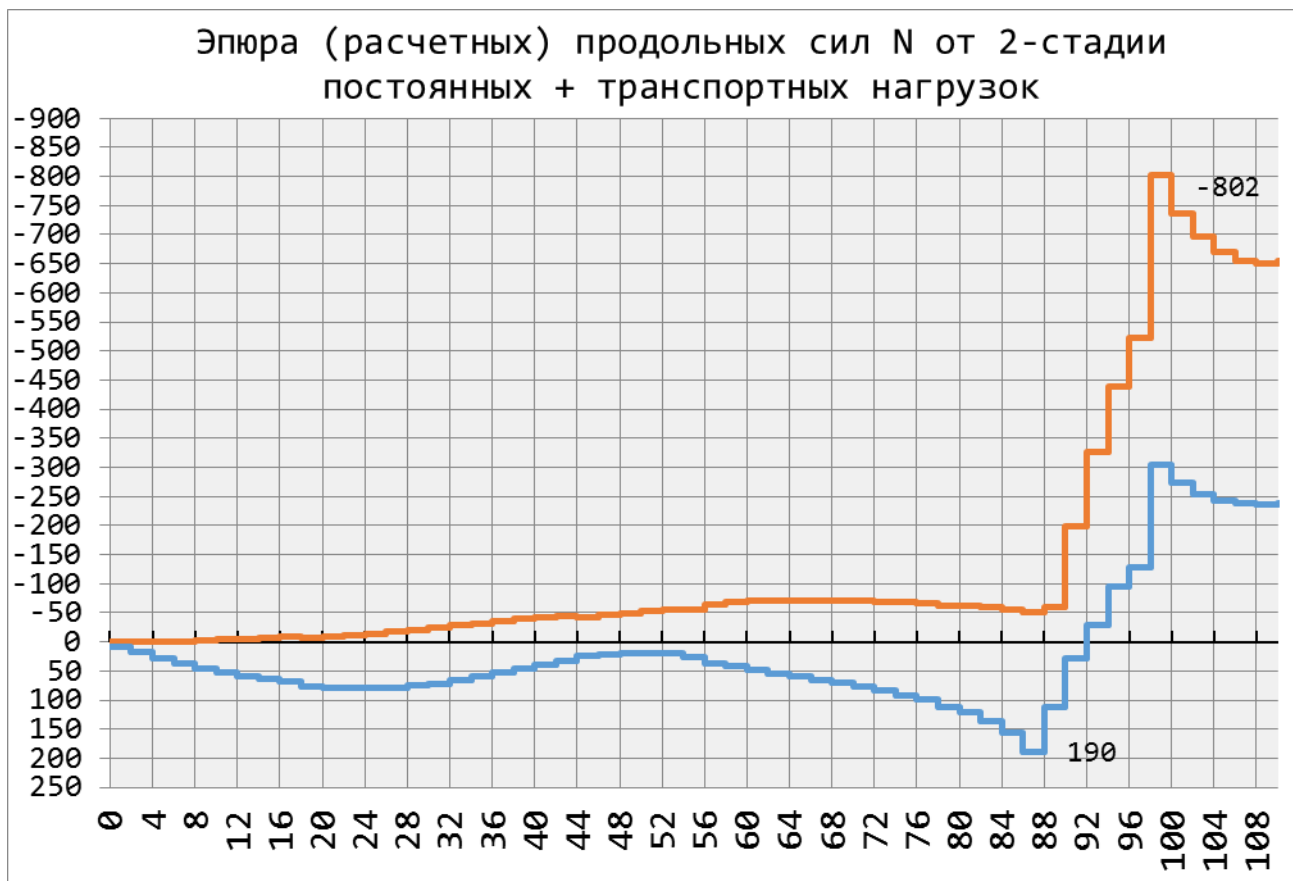
Эпюра (расчетных) изгибающих моментов M_y от всей временной нагрузки



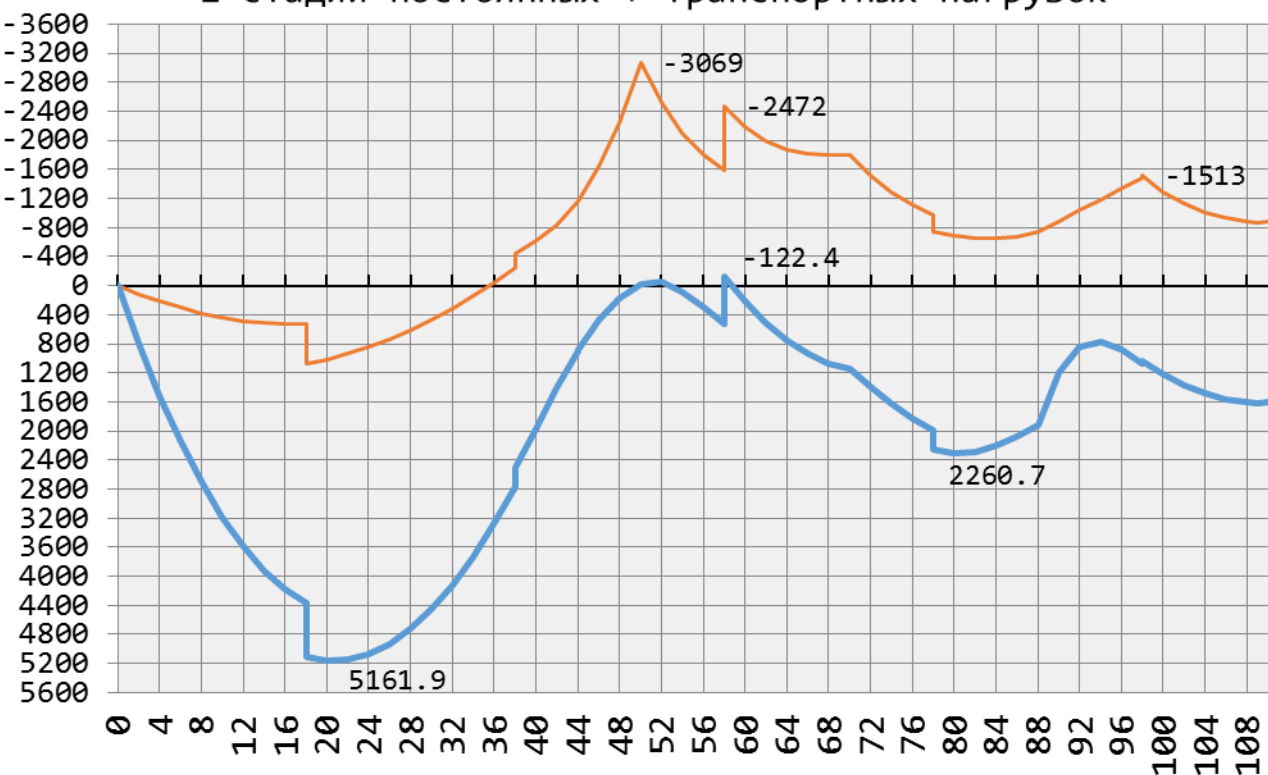
Эпюра (расчетных) поперечных сил Q_z от всей временной нагрузки



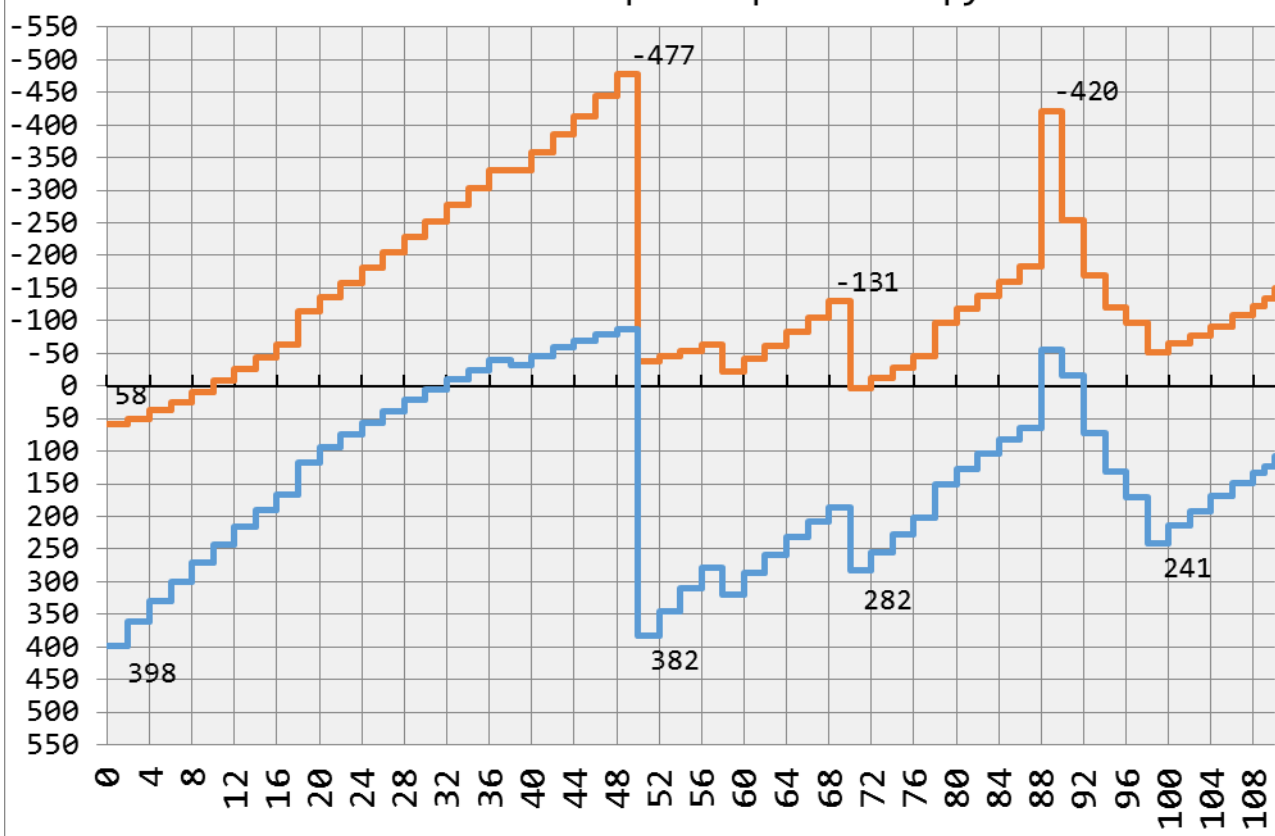
5.2.12 ეპიურები 2-სტადიის მუდმივი დატვირთვებისაგან + LM1



Эпюра (расчетных) изгибающих моментов M_y от
2-стадии постоянных + транспортных нагрузок

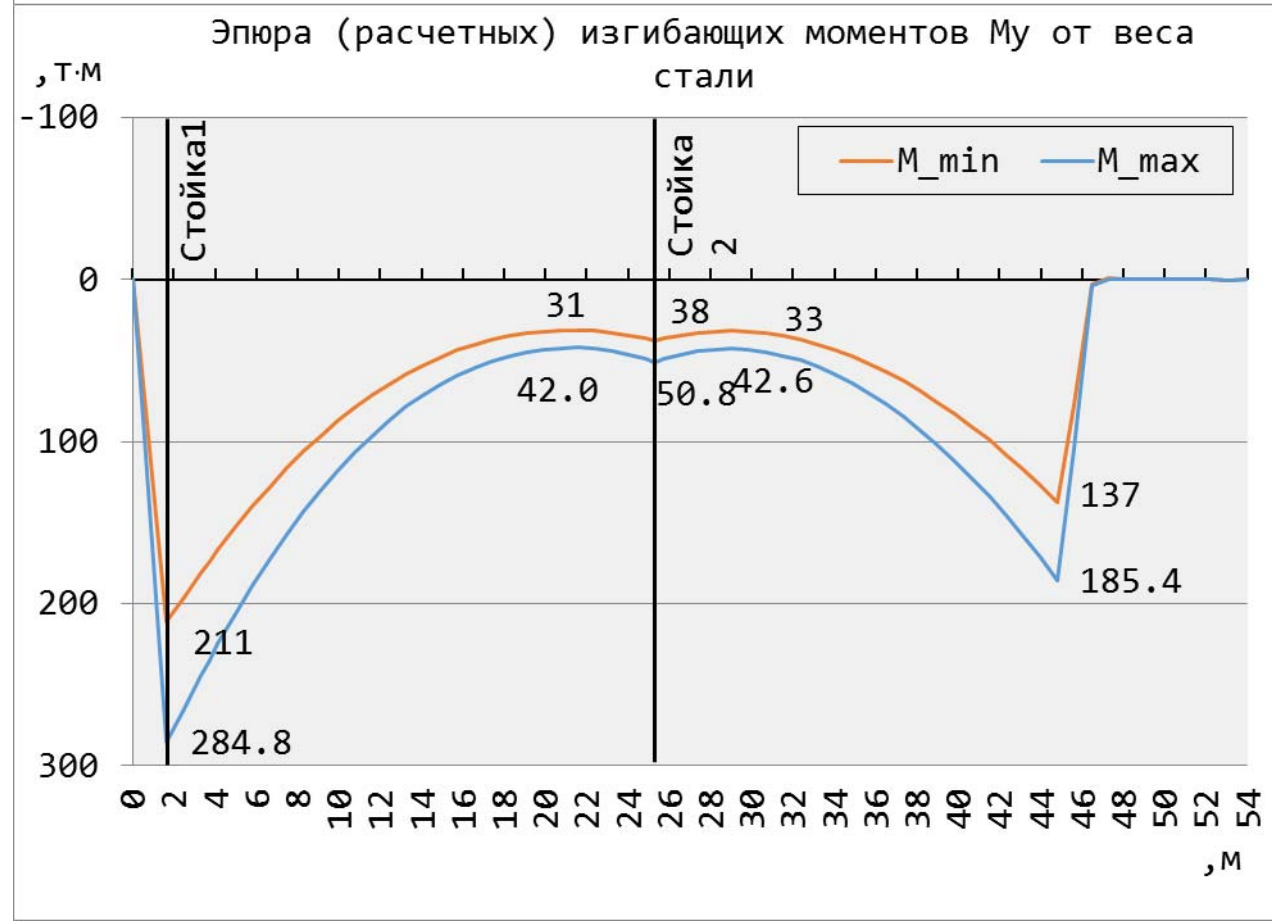
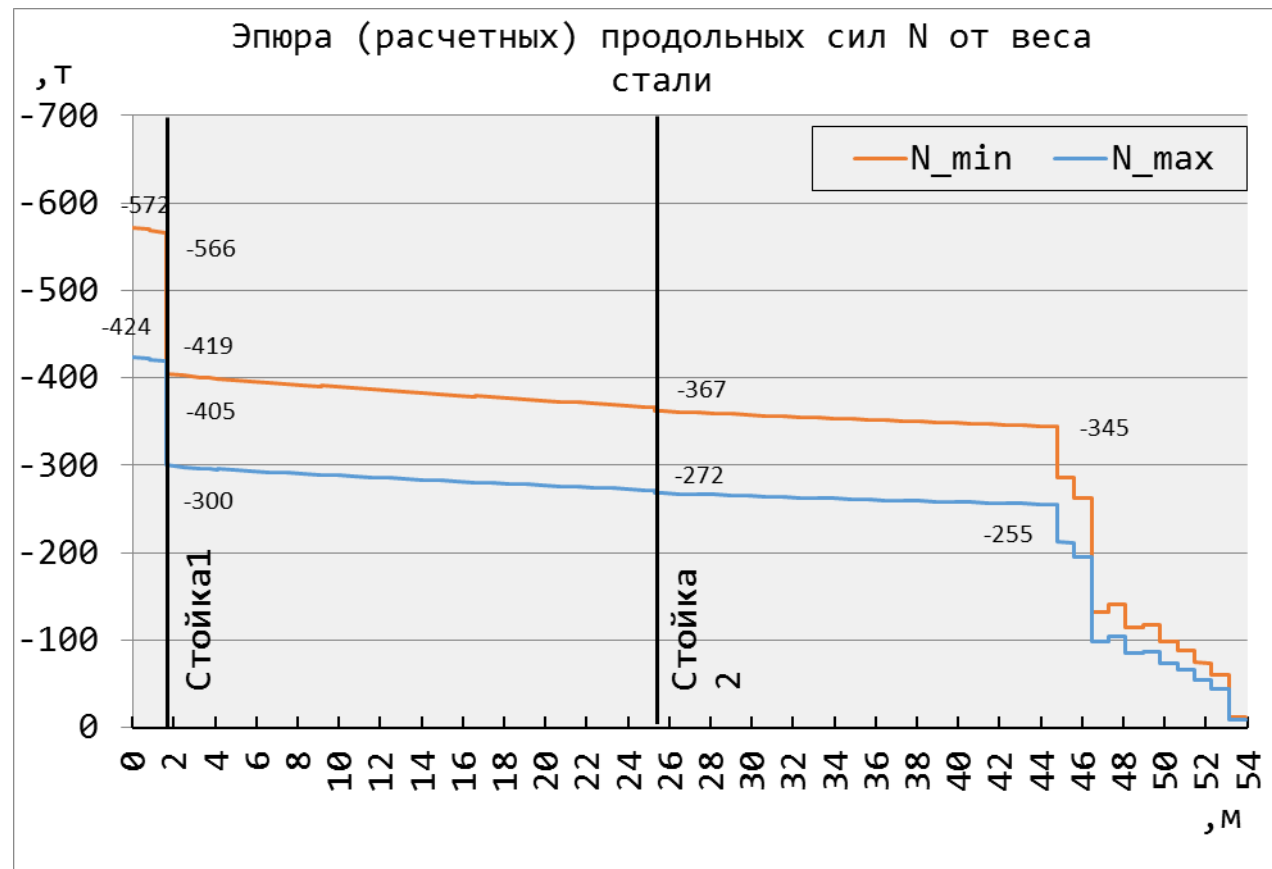


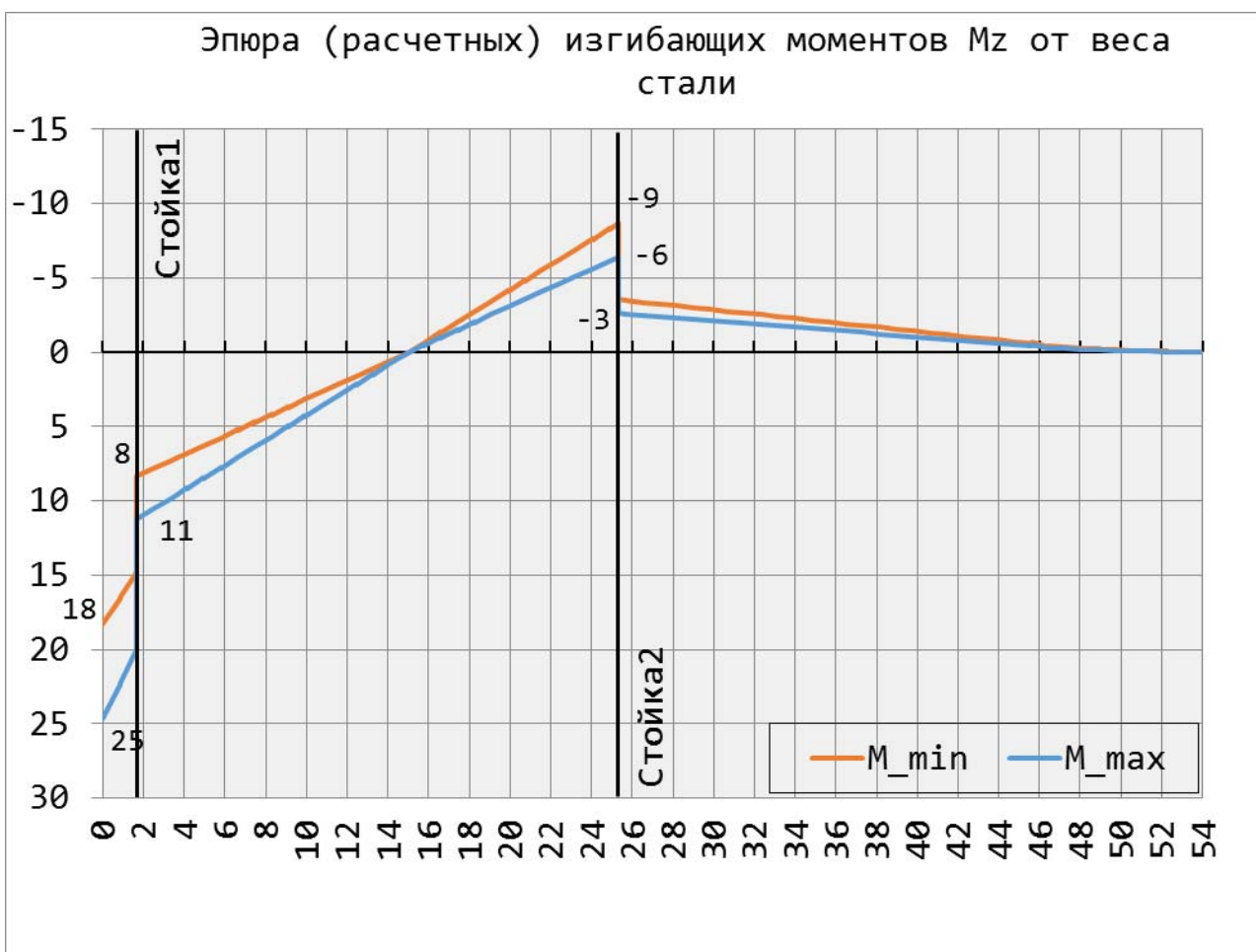
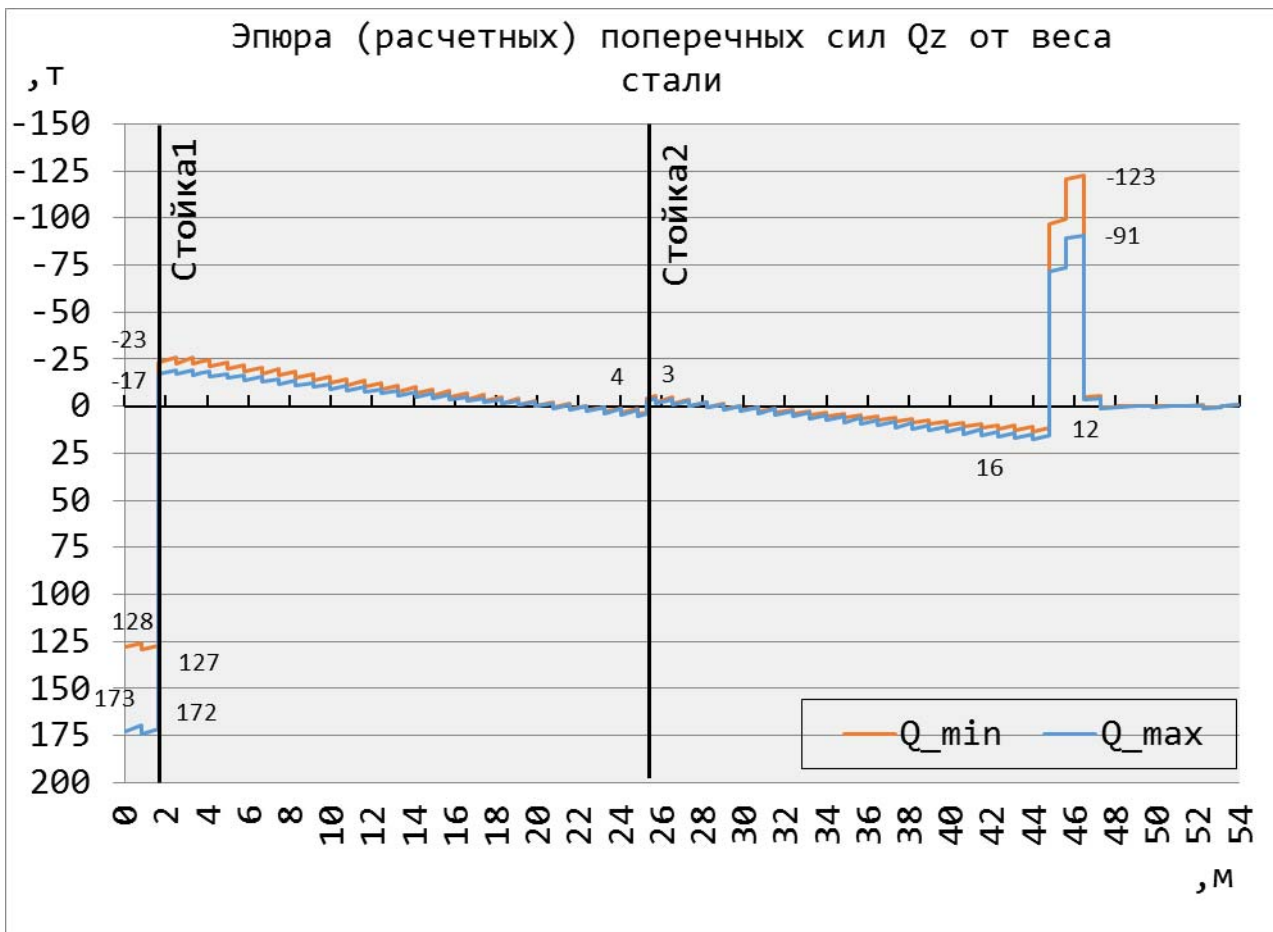
Эпюра (расчетных) поперечных сил Q_z от 2-стадии
постоянных + транспортных нагрузок



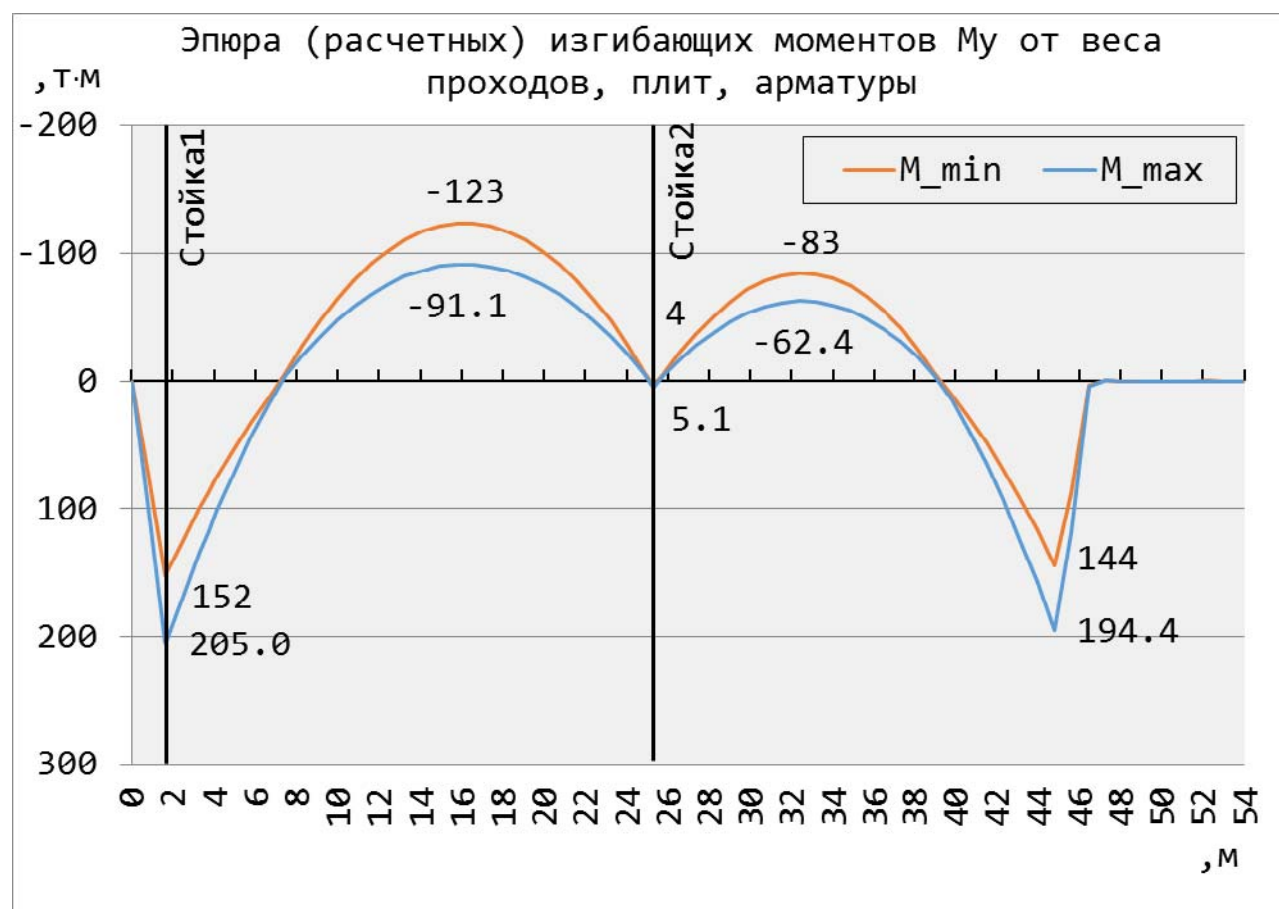
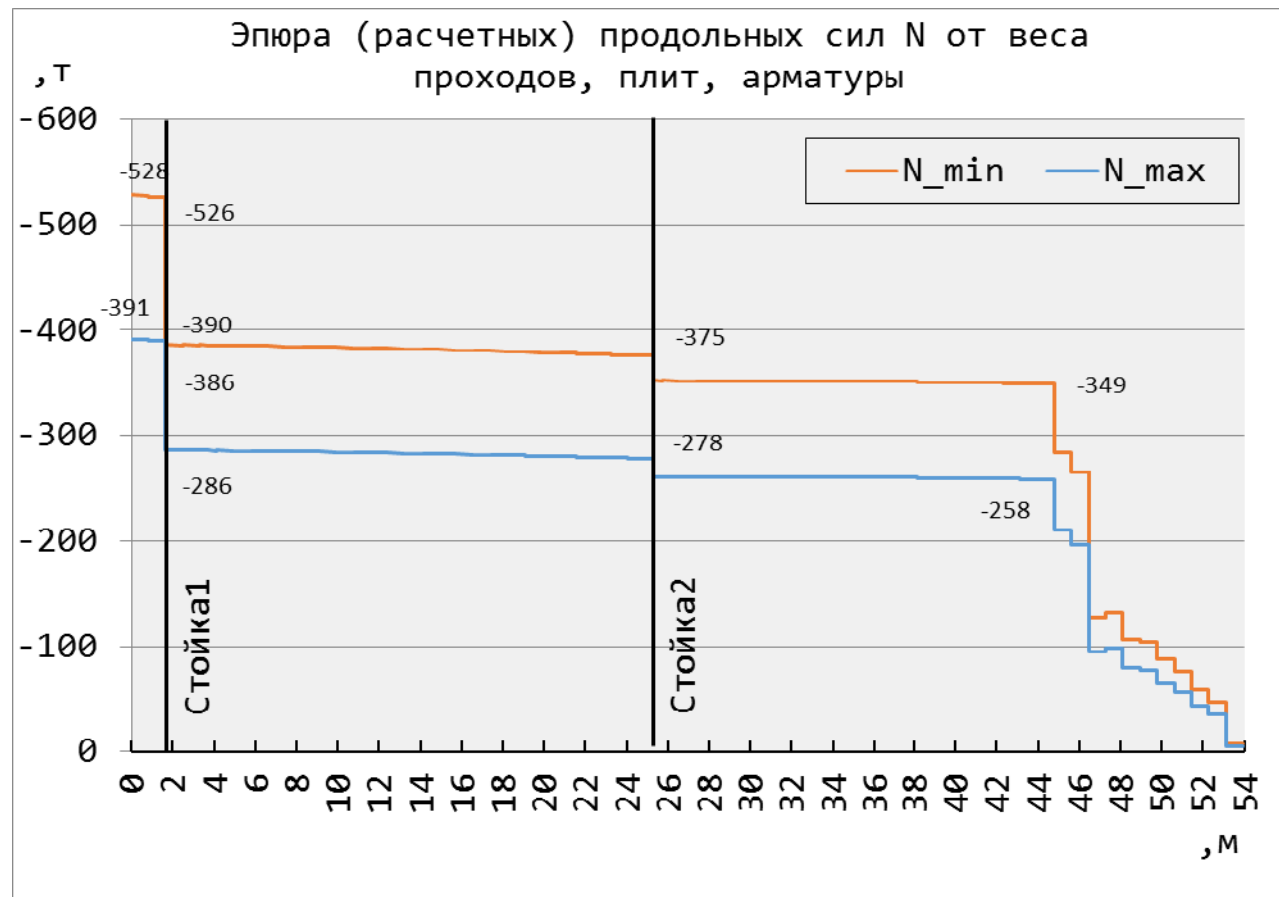
5.3 ძალების თაღში

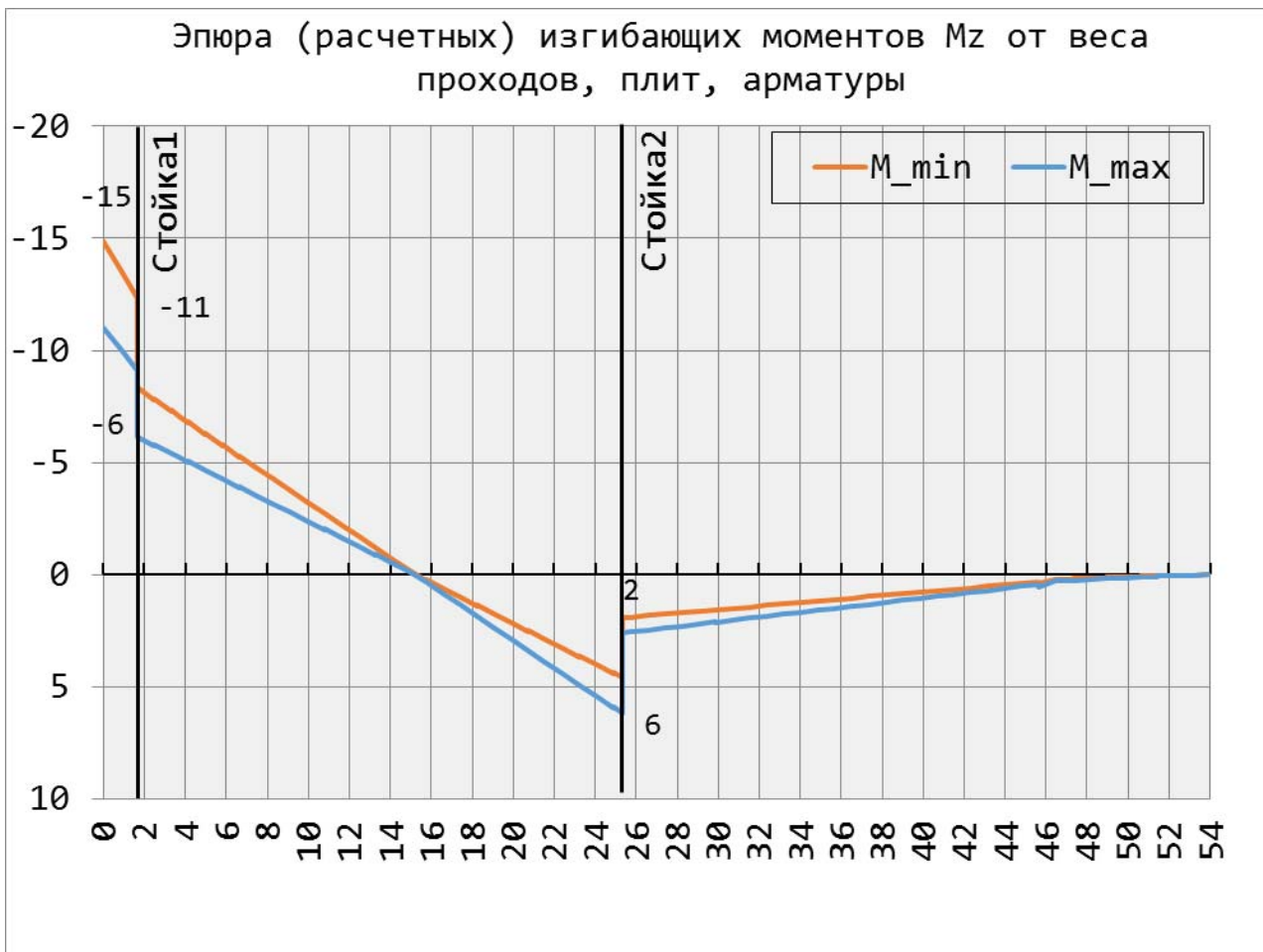
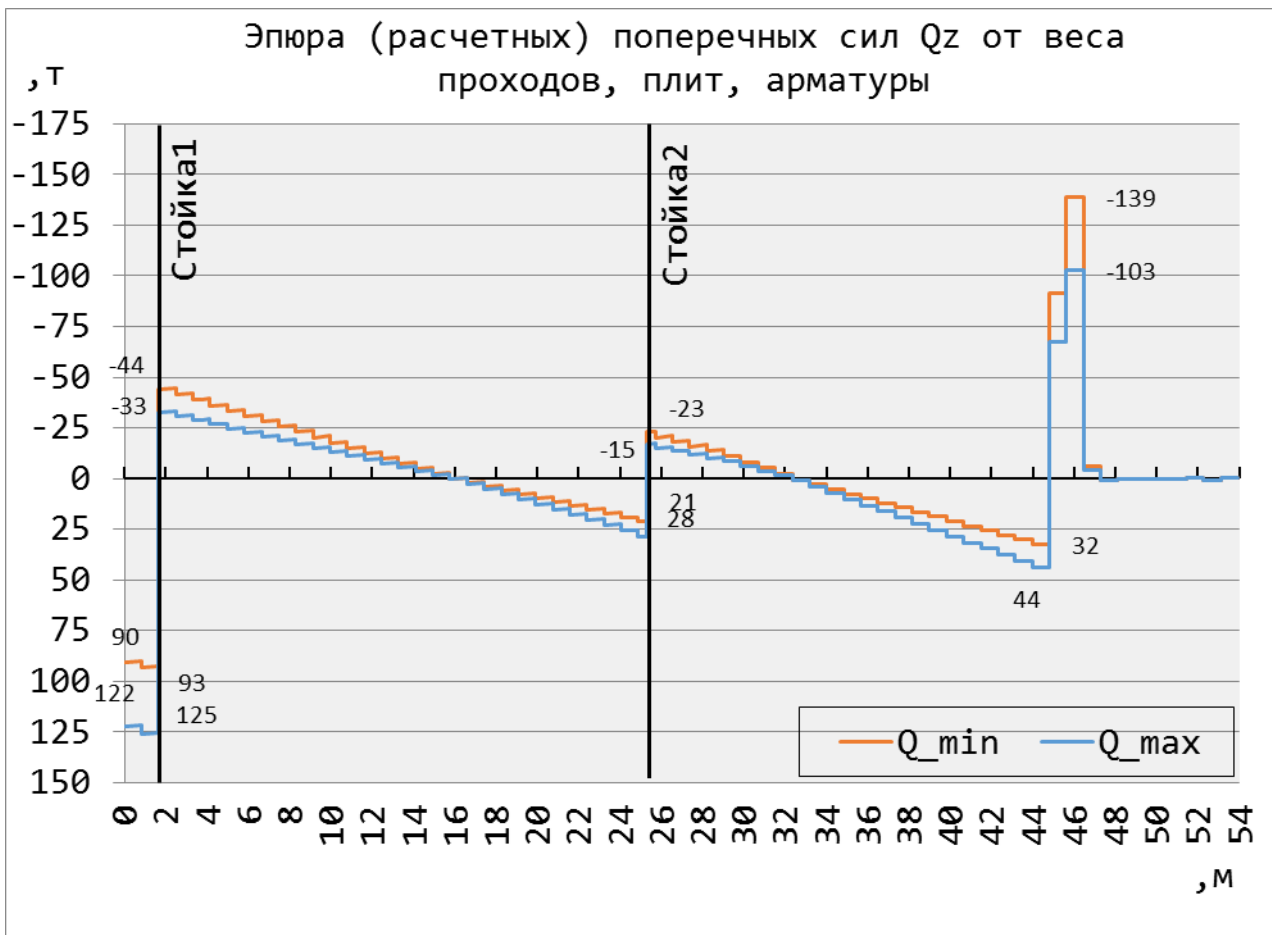
5.3.1 ეპურები ფოლადის წონისაგან



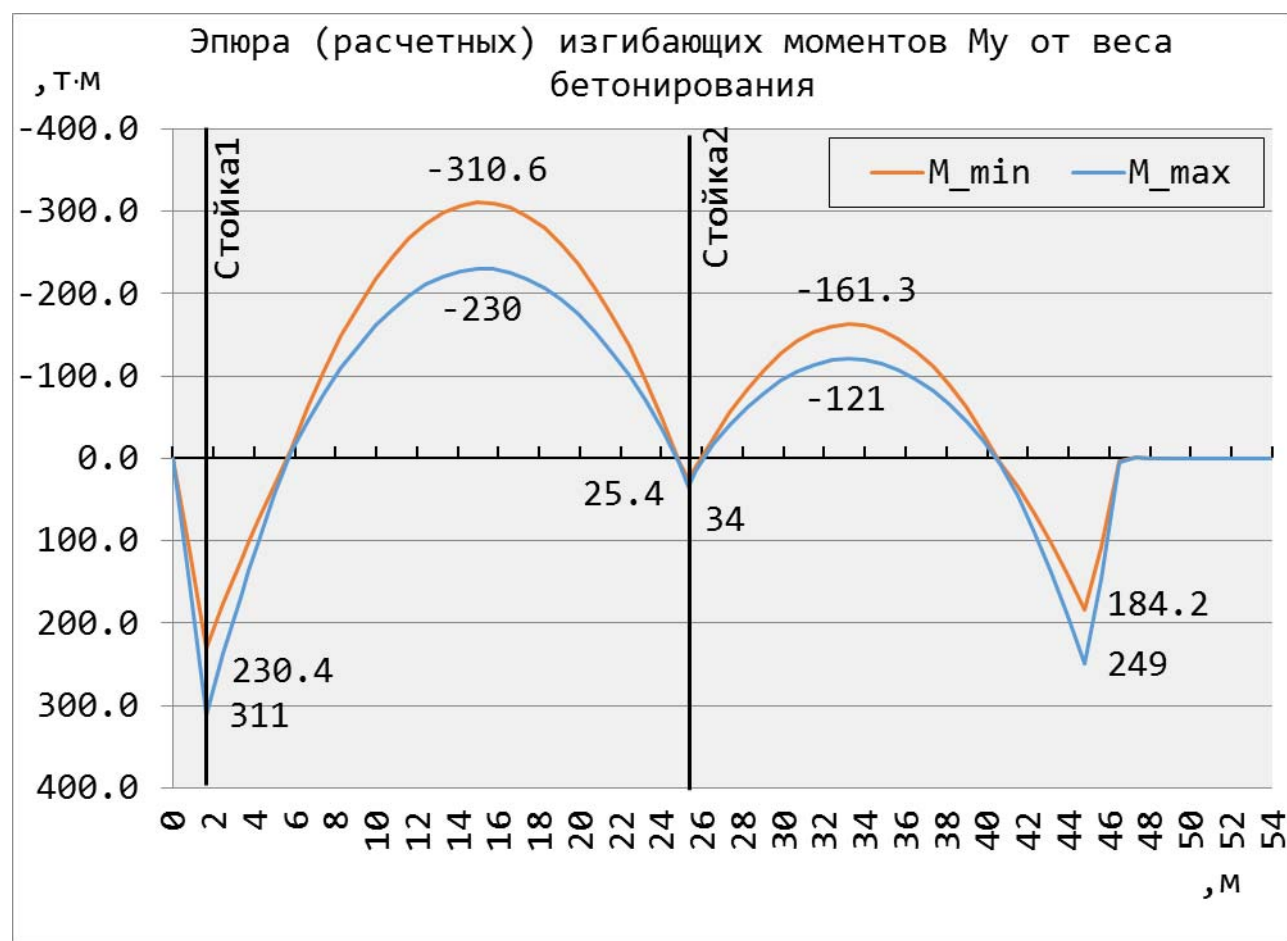
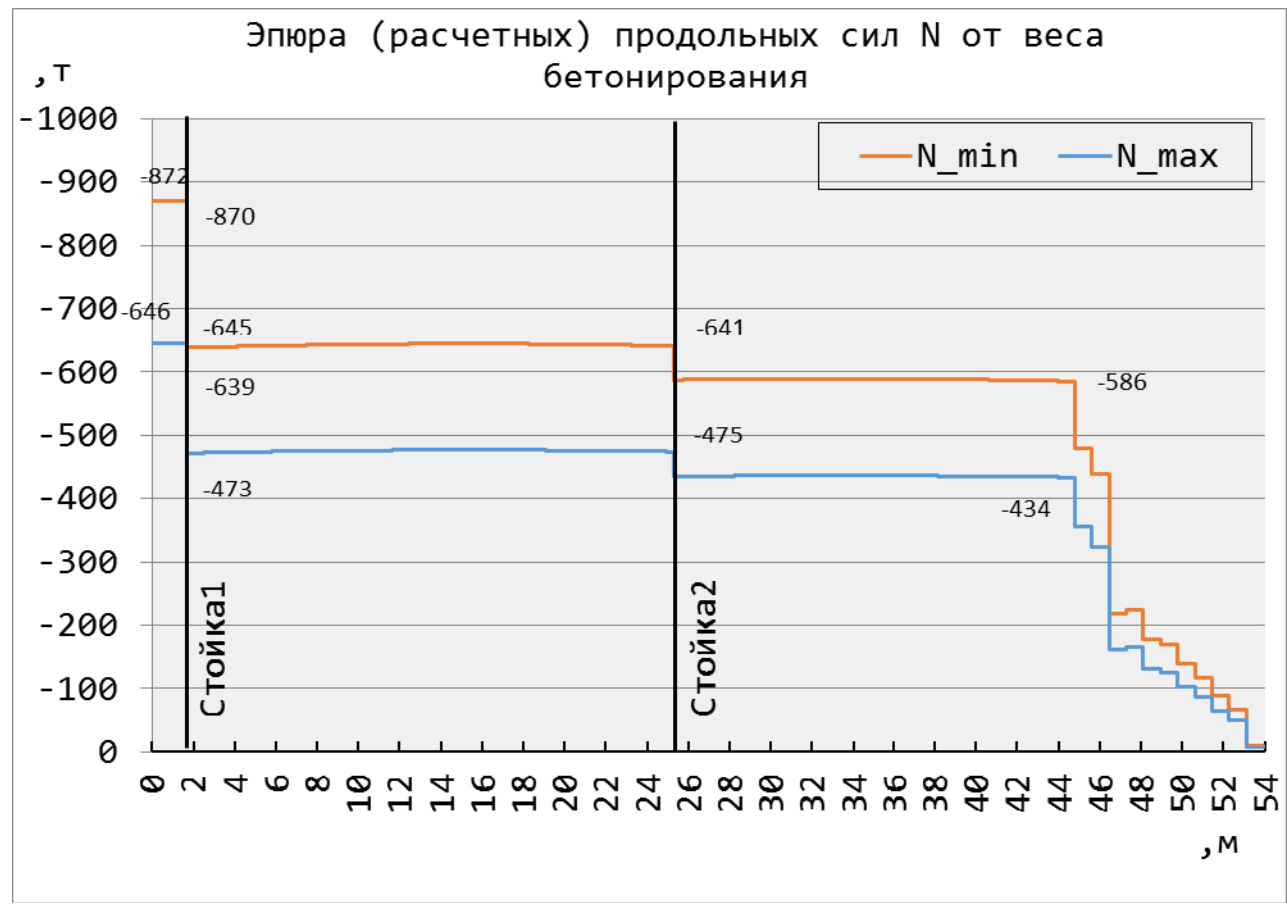


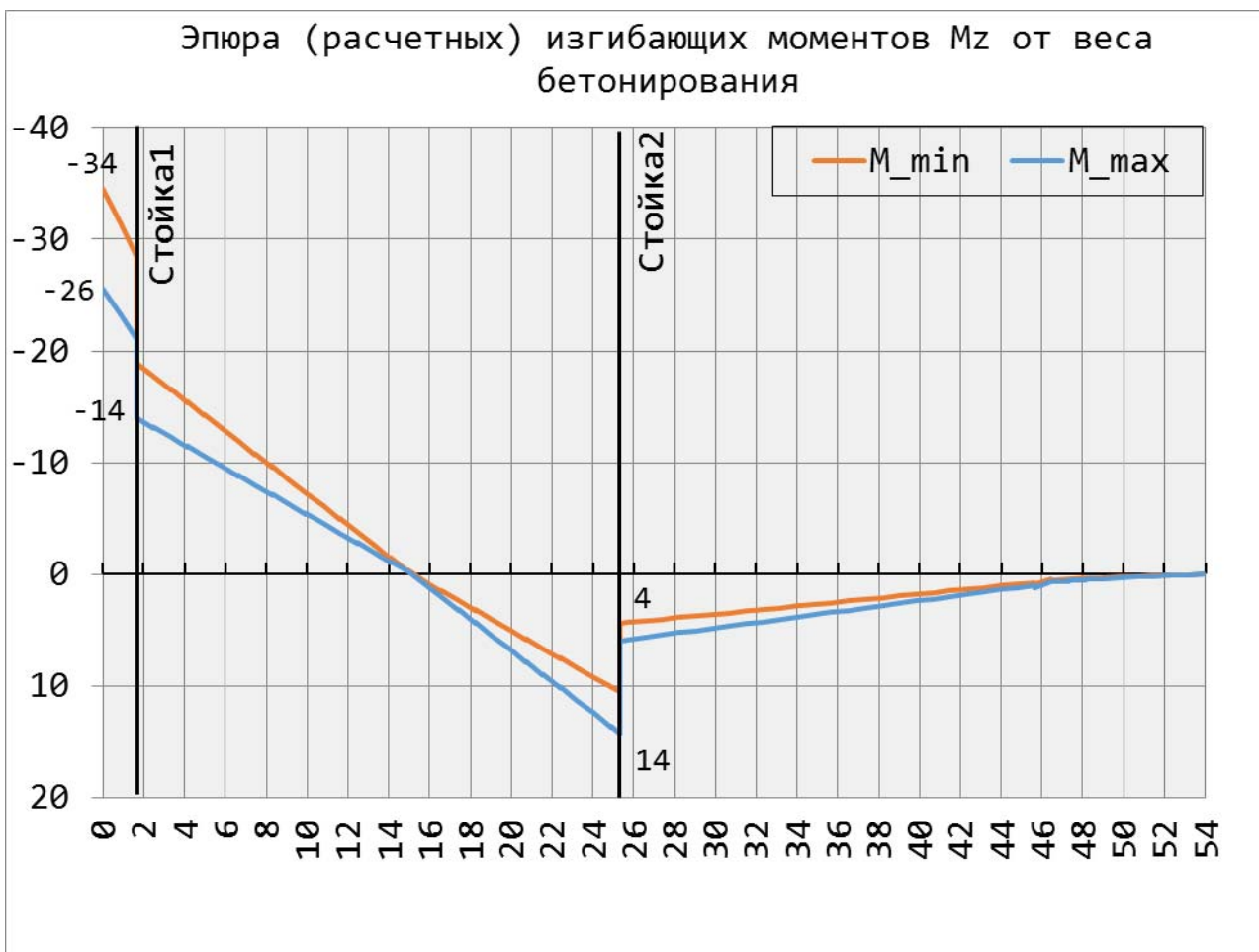
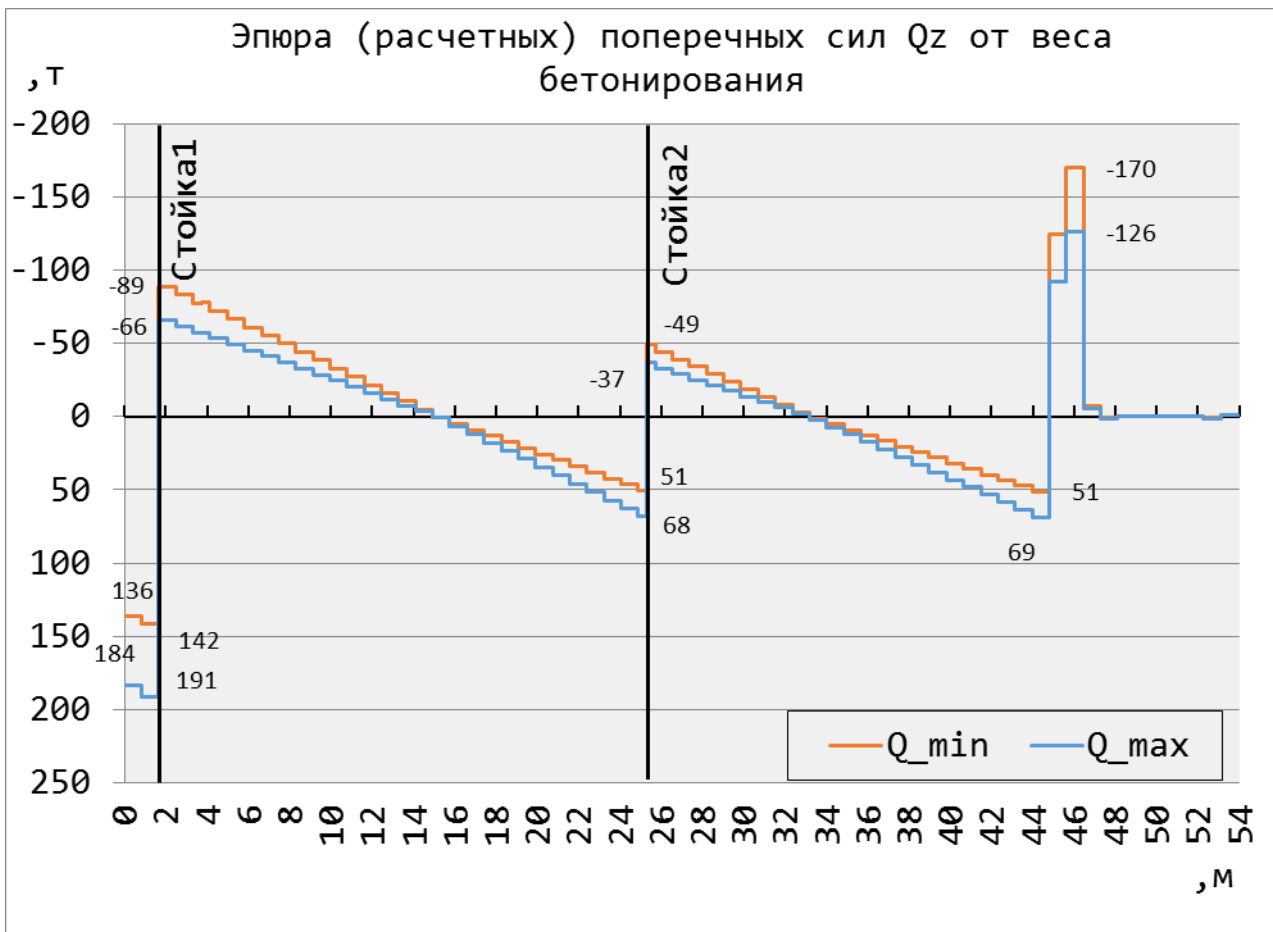
5.3.2 ეპურები გასასვლელების, ანაკრები ფილების და არმატურის წონისაგან



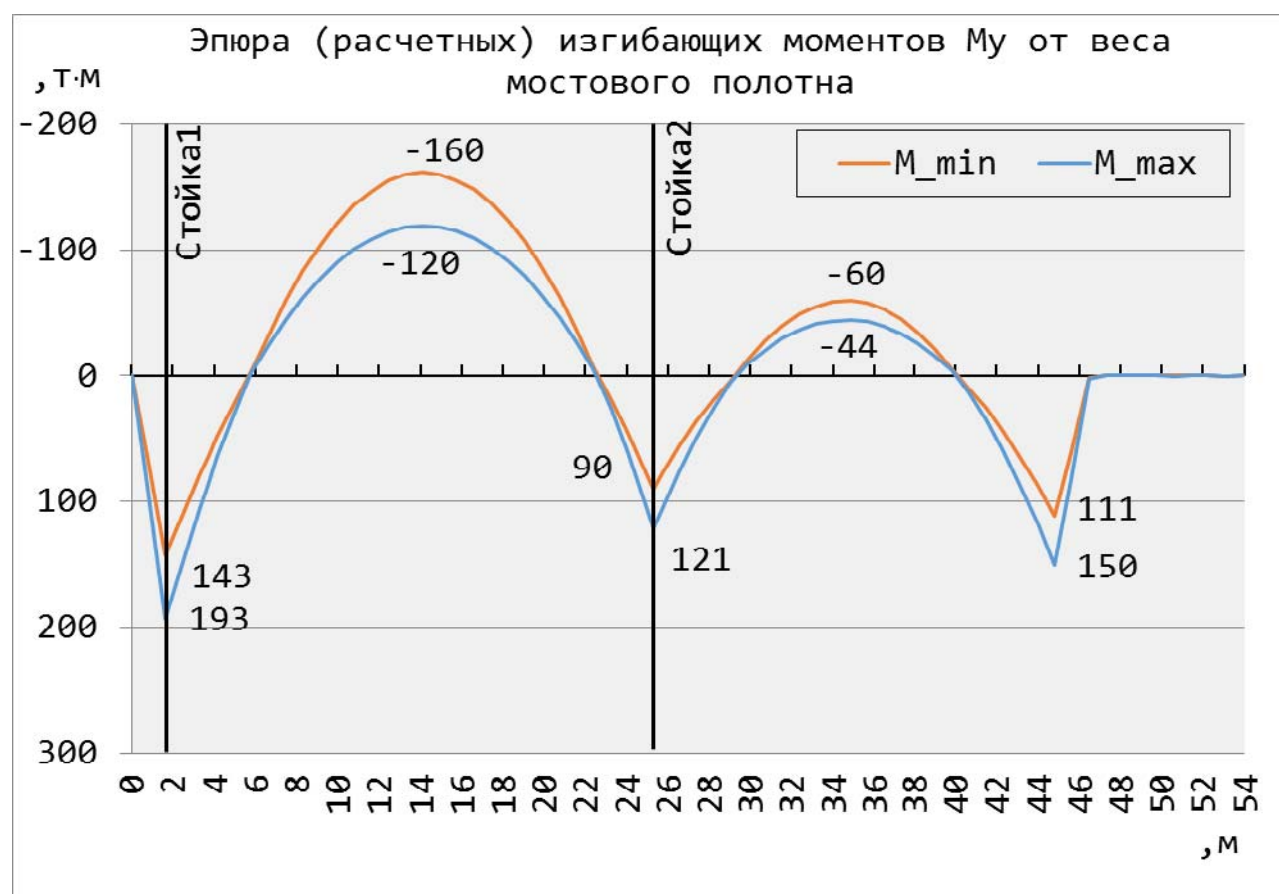
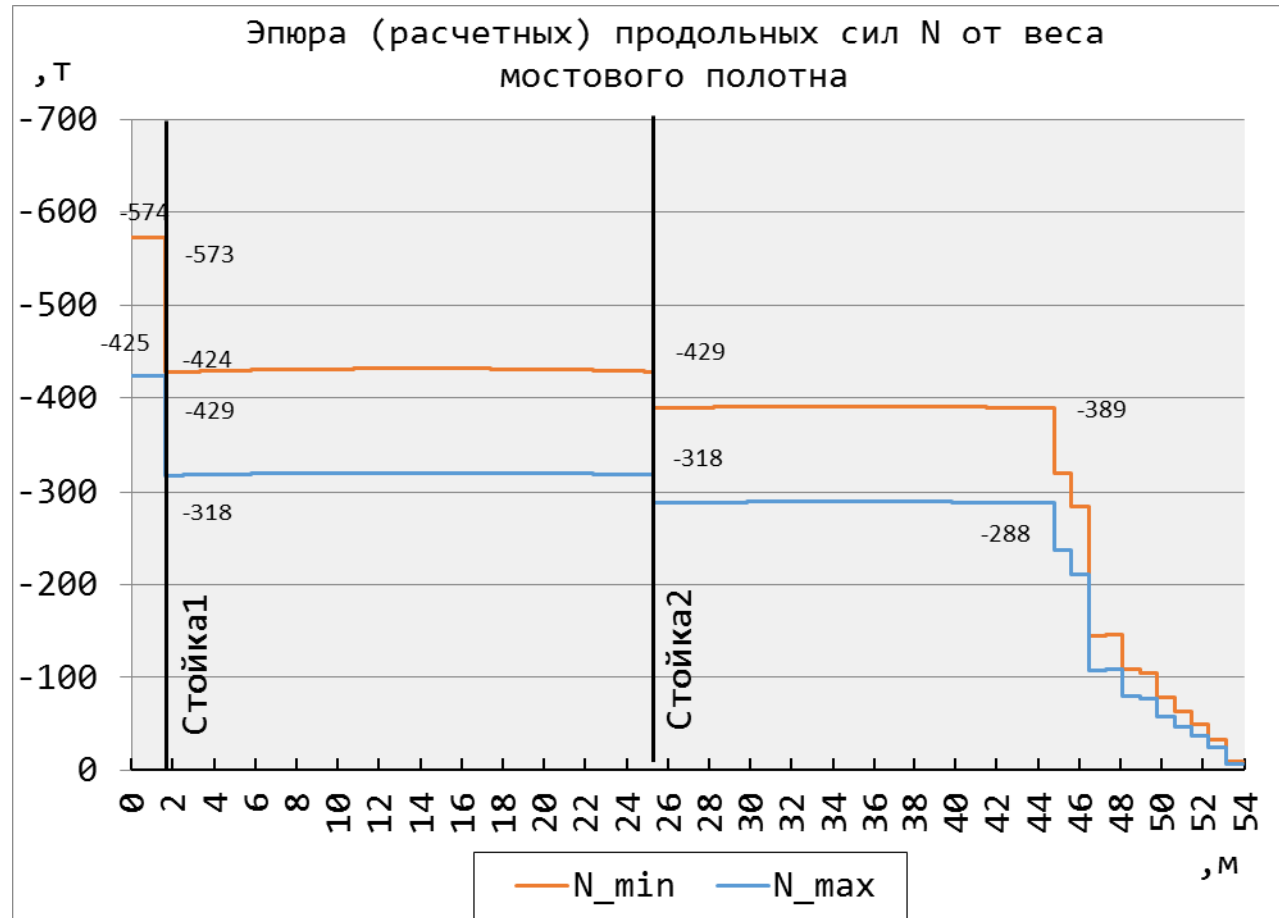


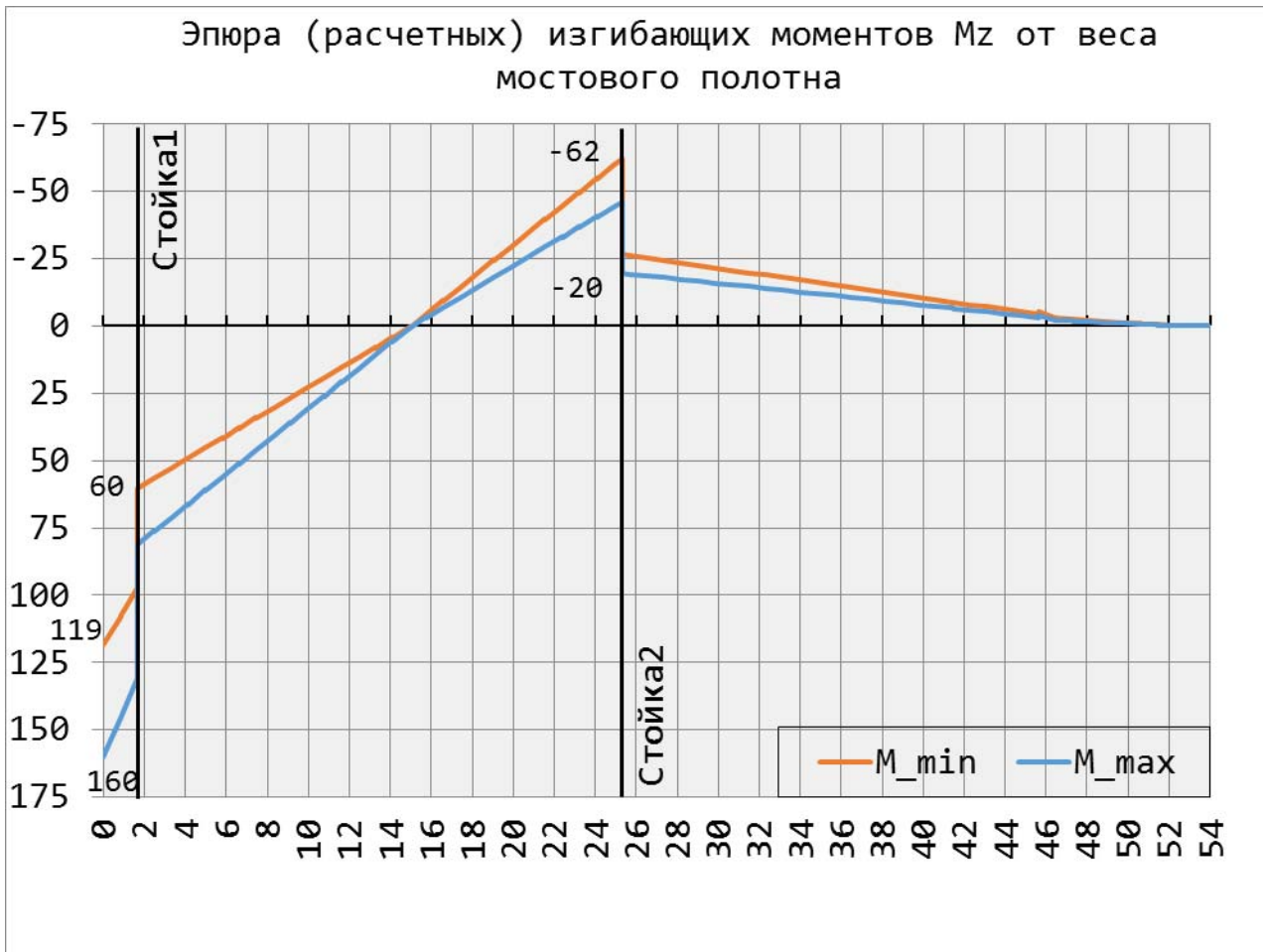
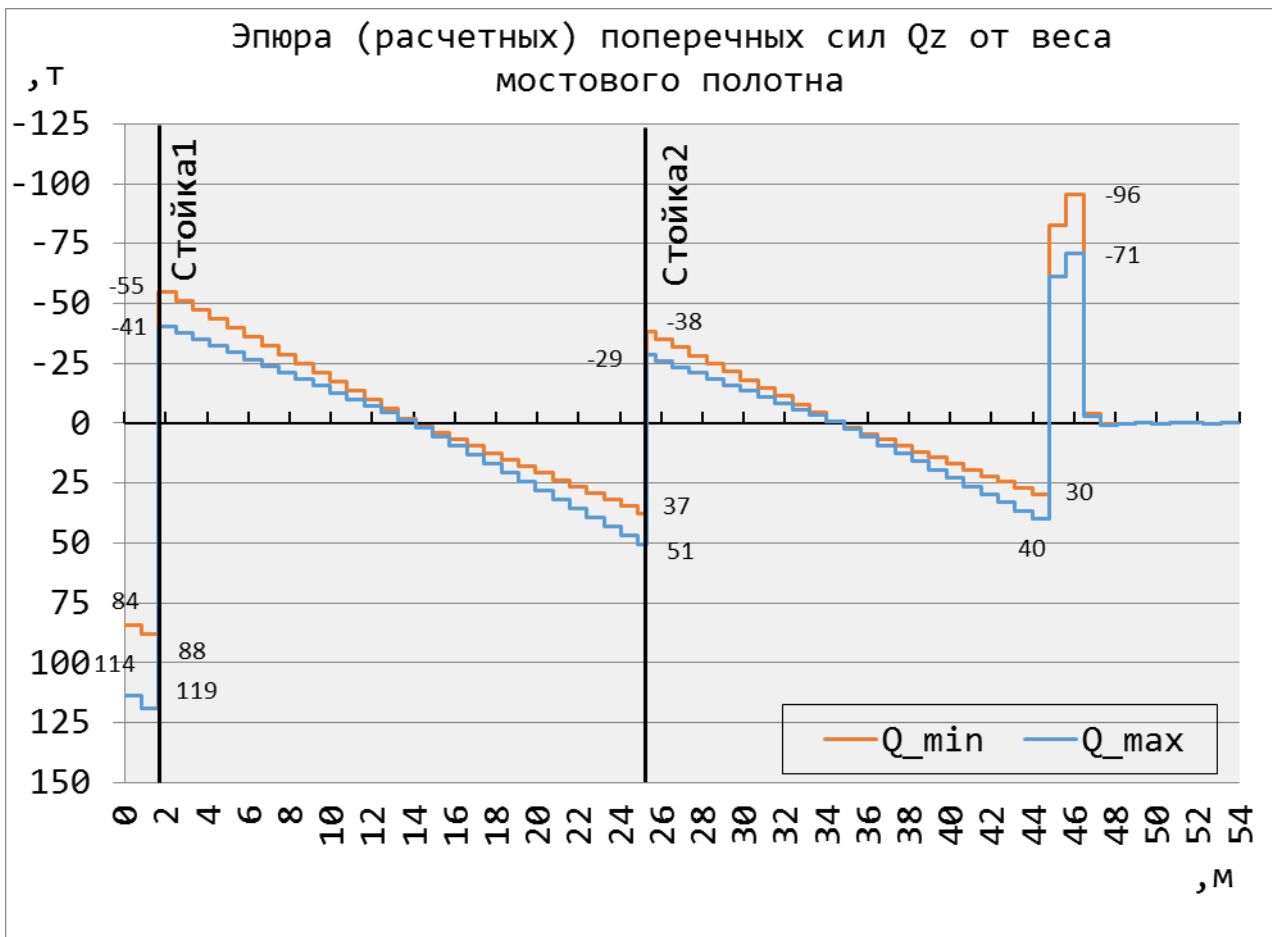
5.3.3 ეპურები ბეტონისაგან



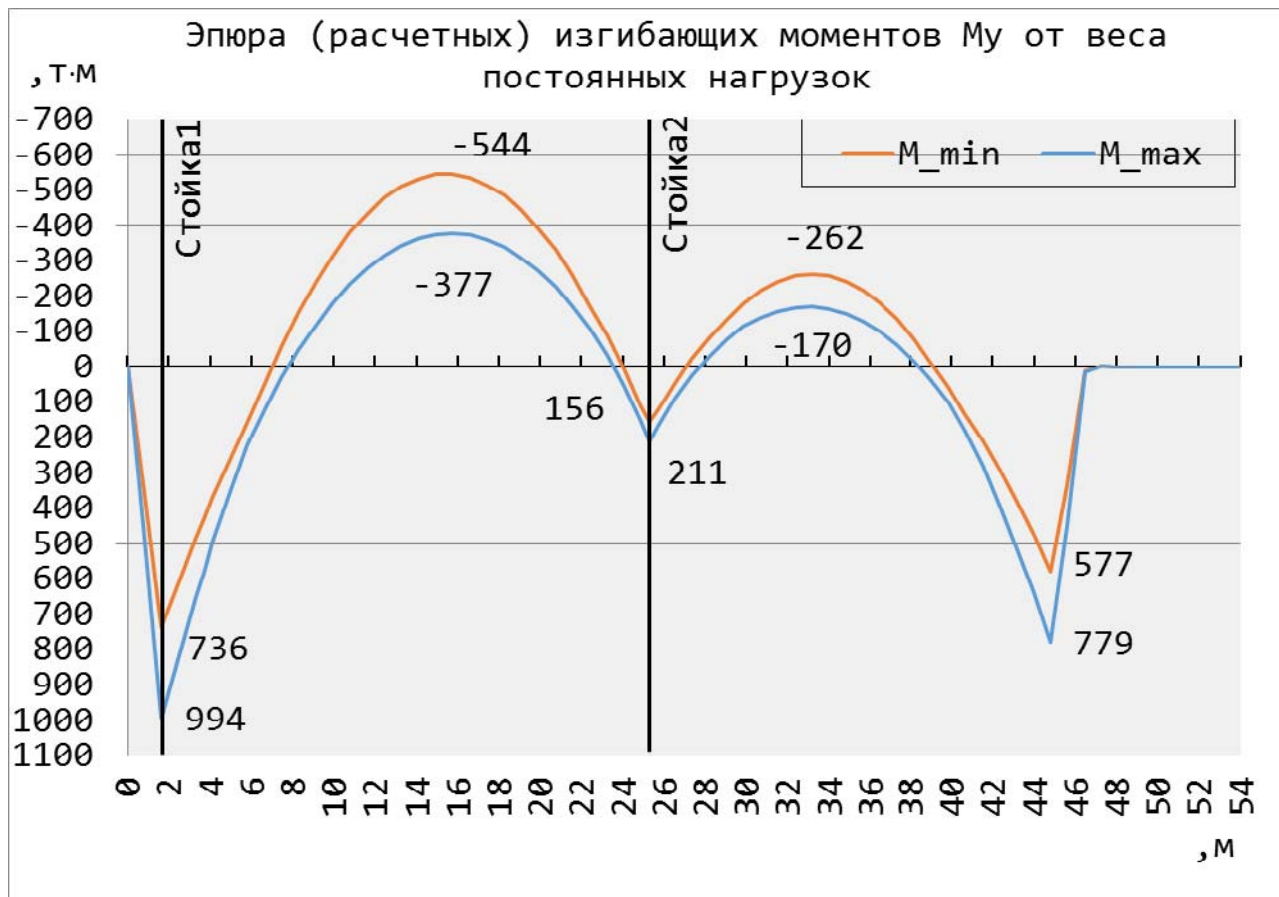
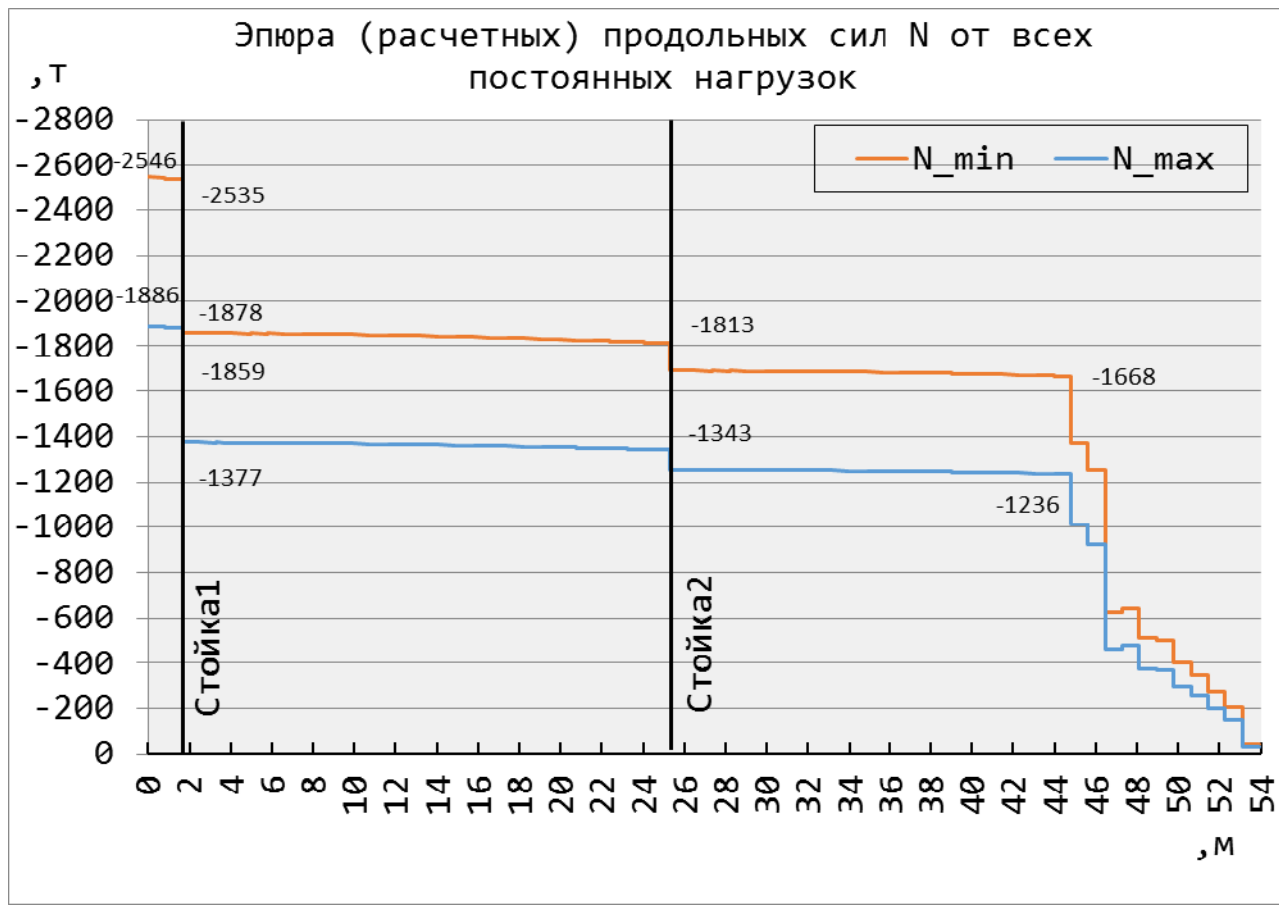


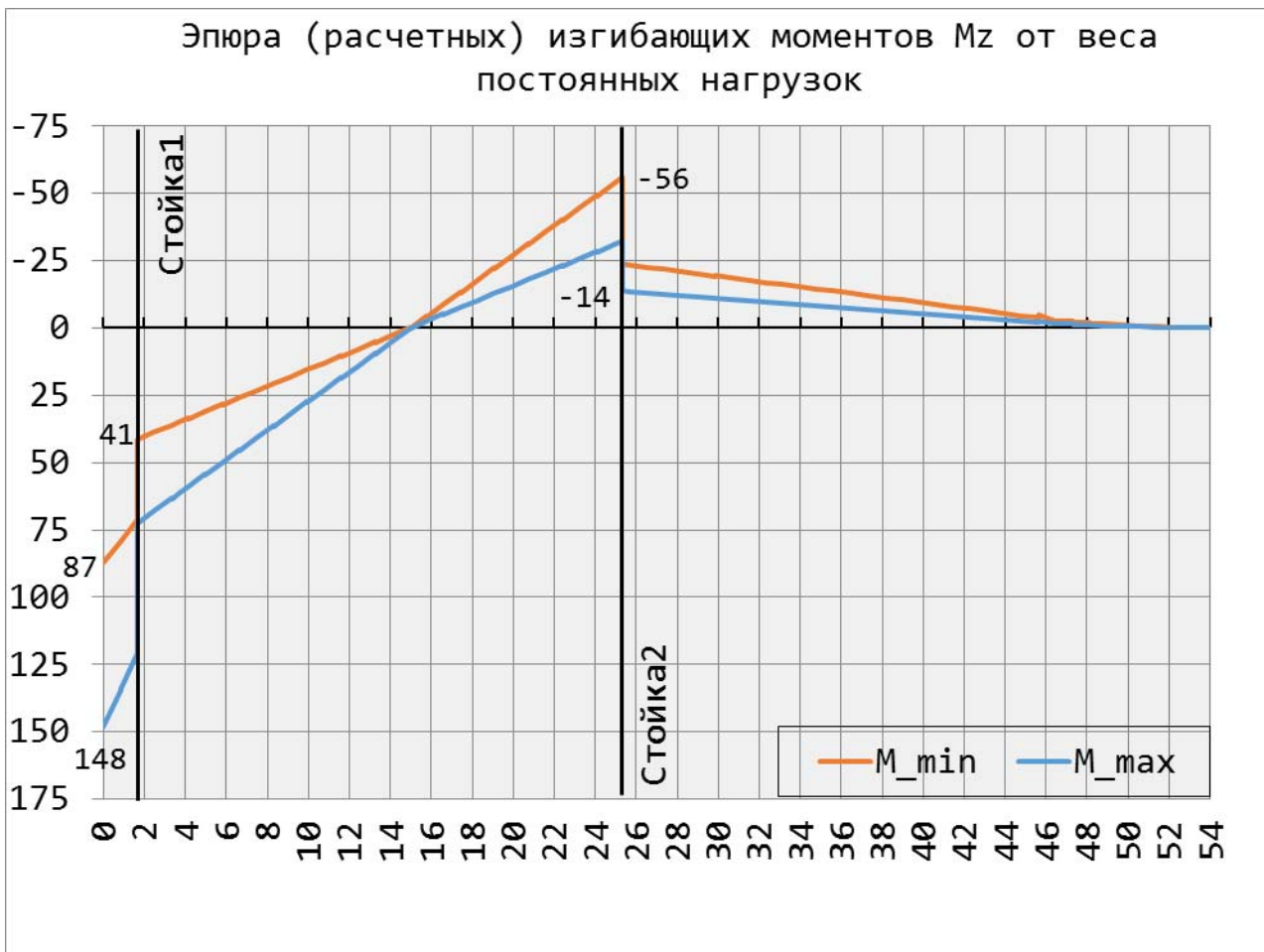
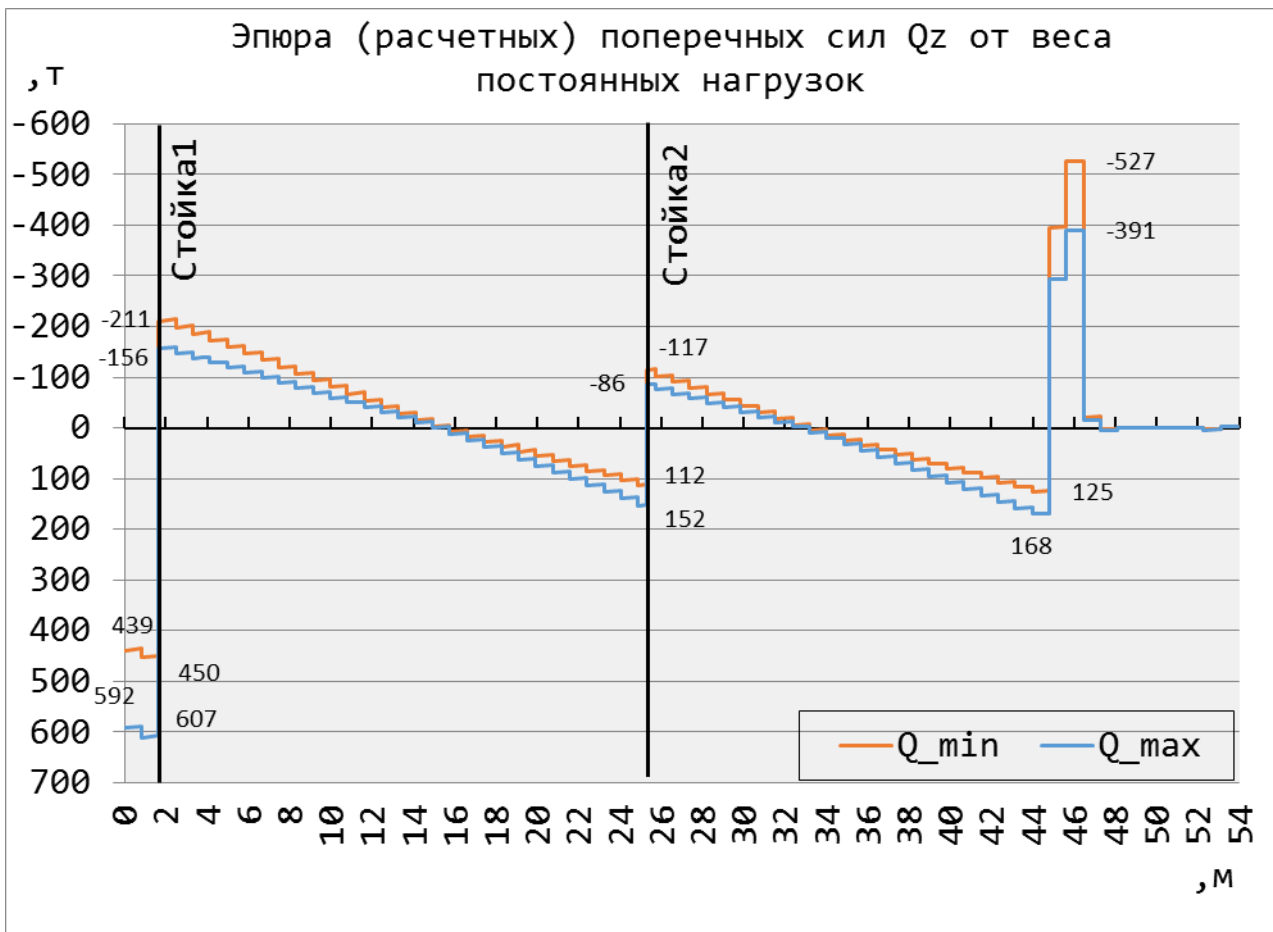
5.3.4 ეპურების ხიდის გაკისის წონისაგან



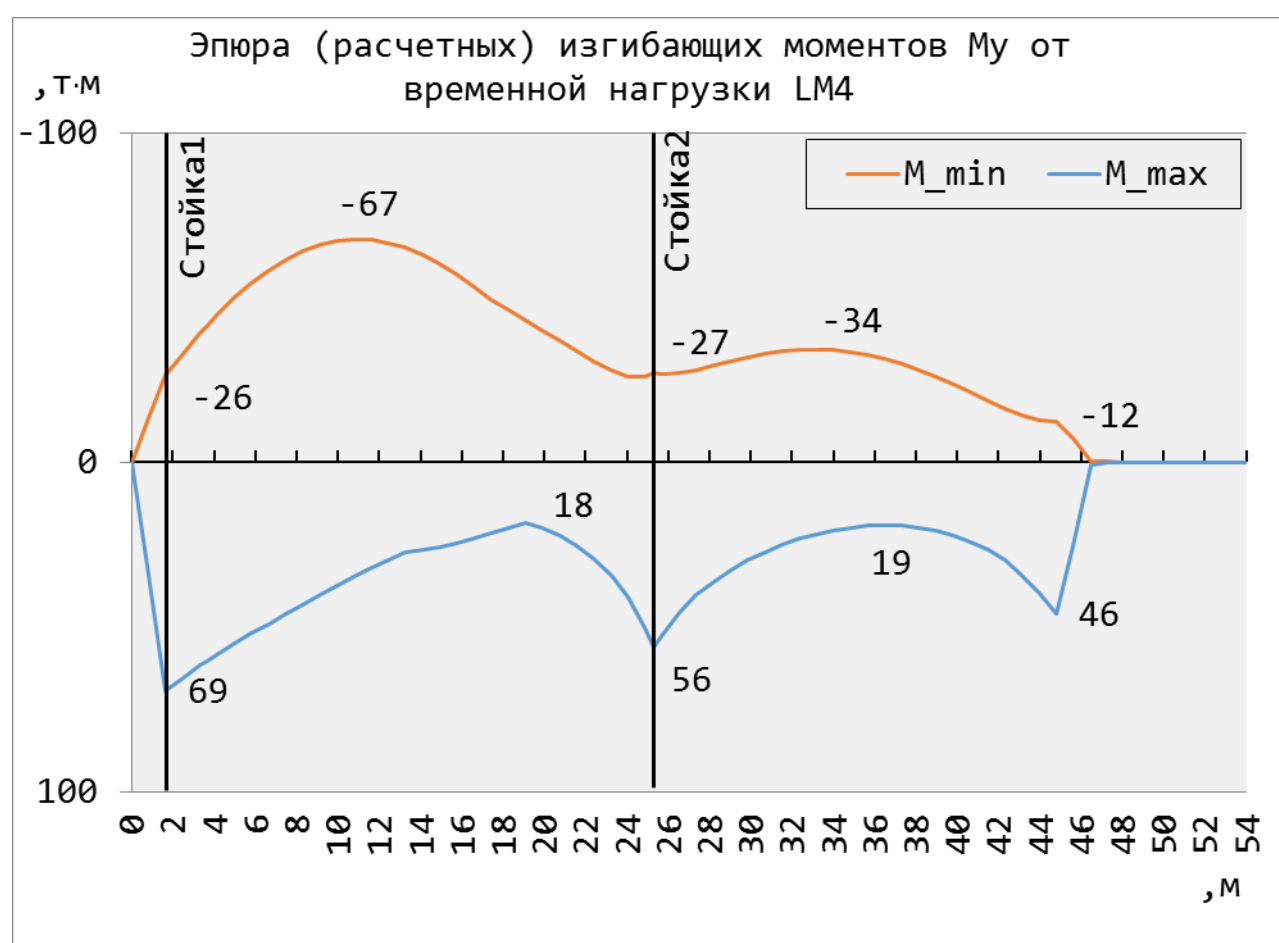
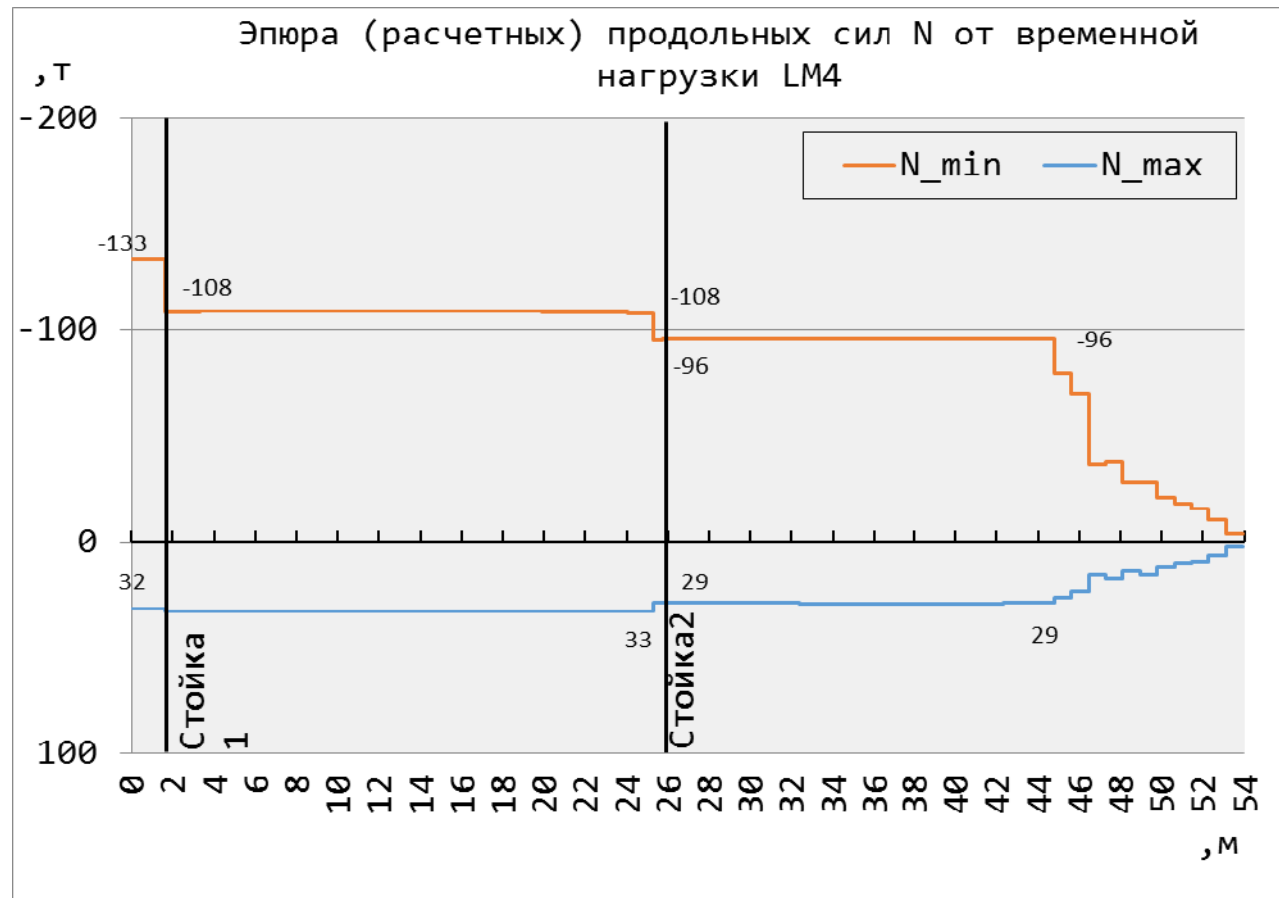


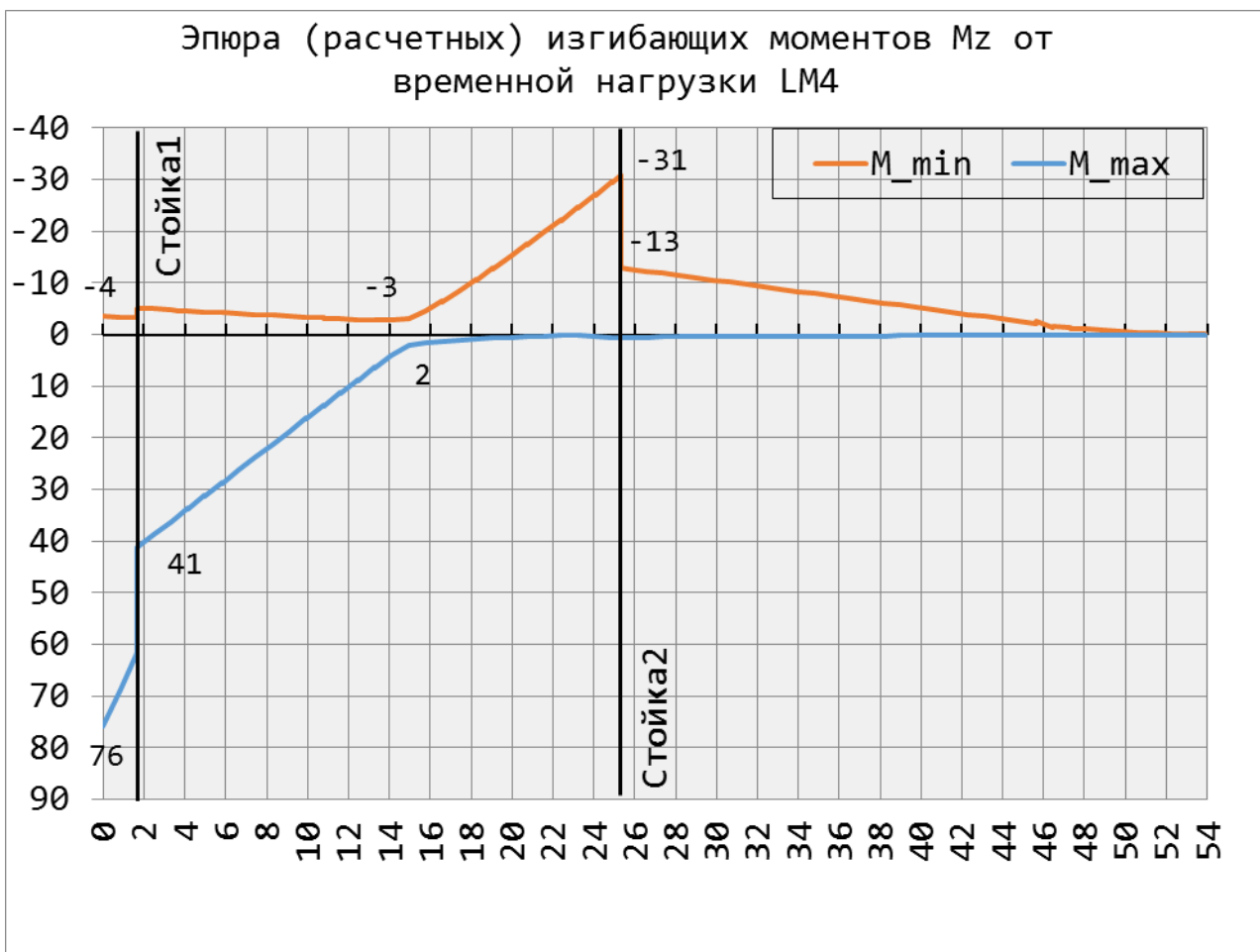
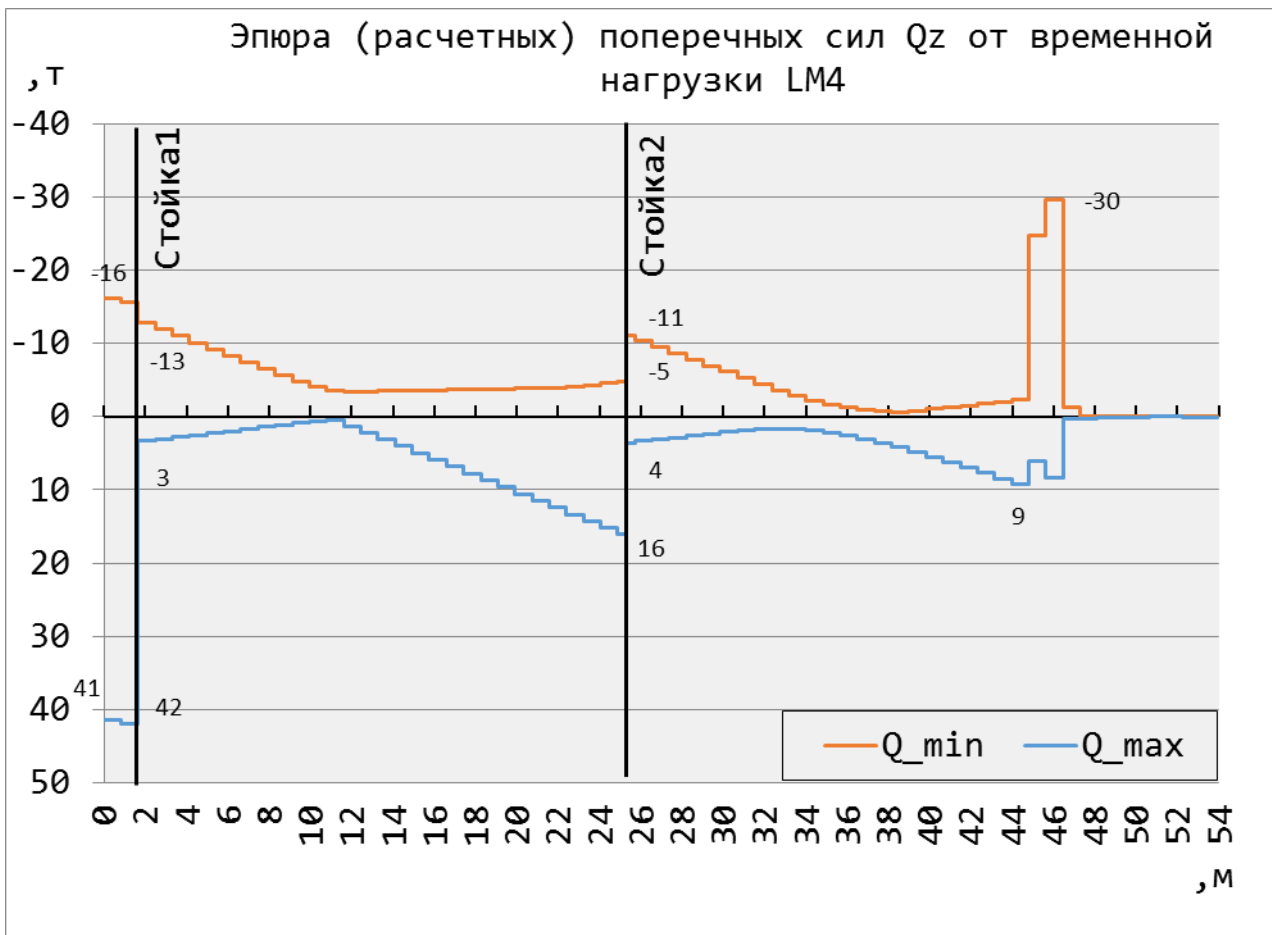
5.3.5 ეპურები ყველა მუდმივი დატვირთვებისგან



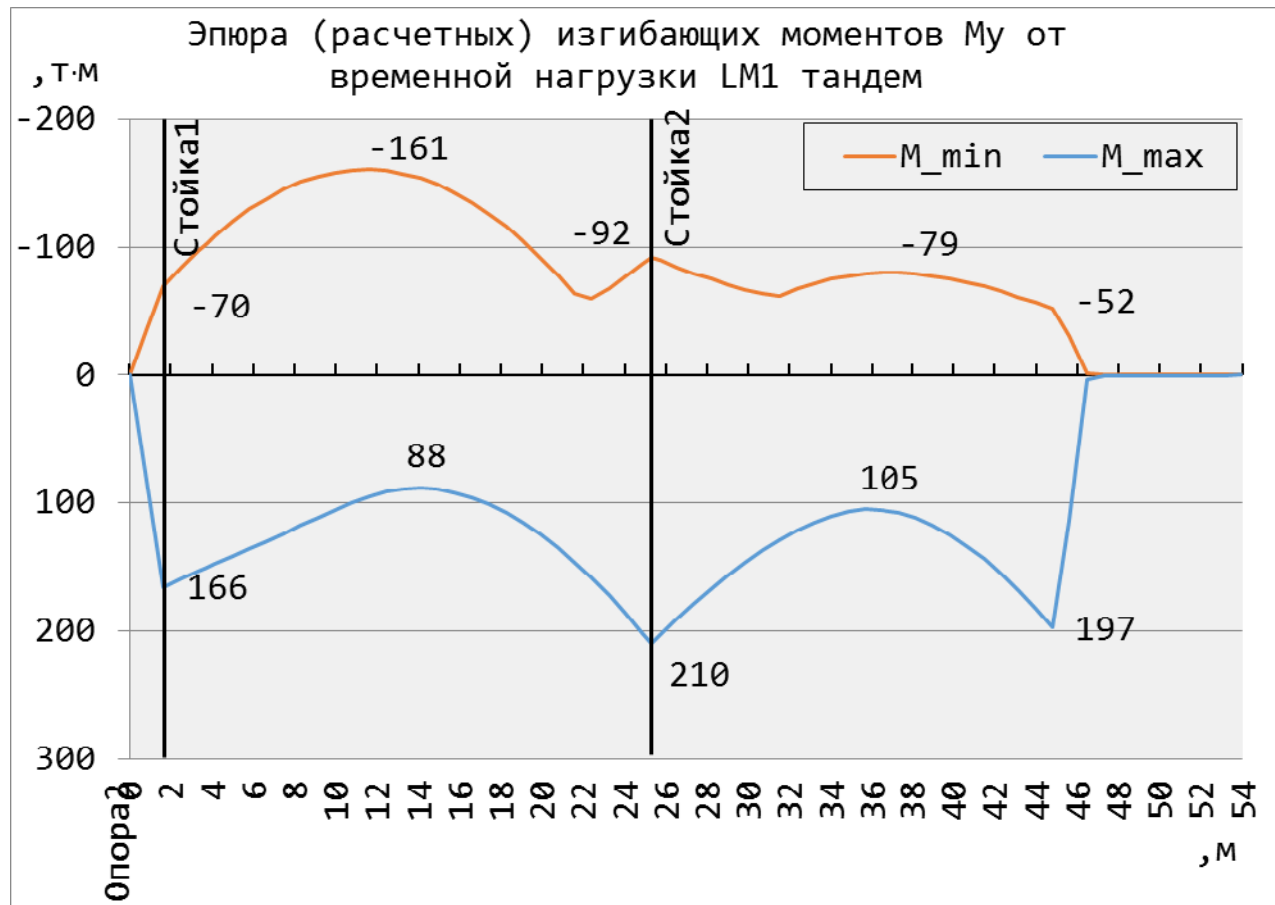
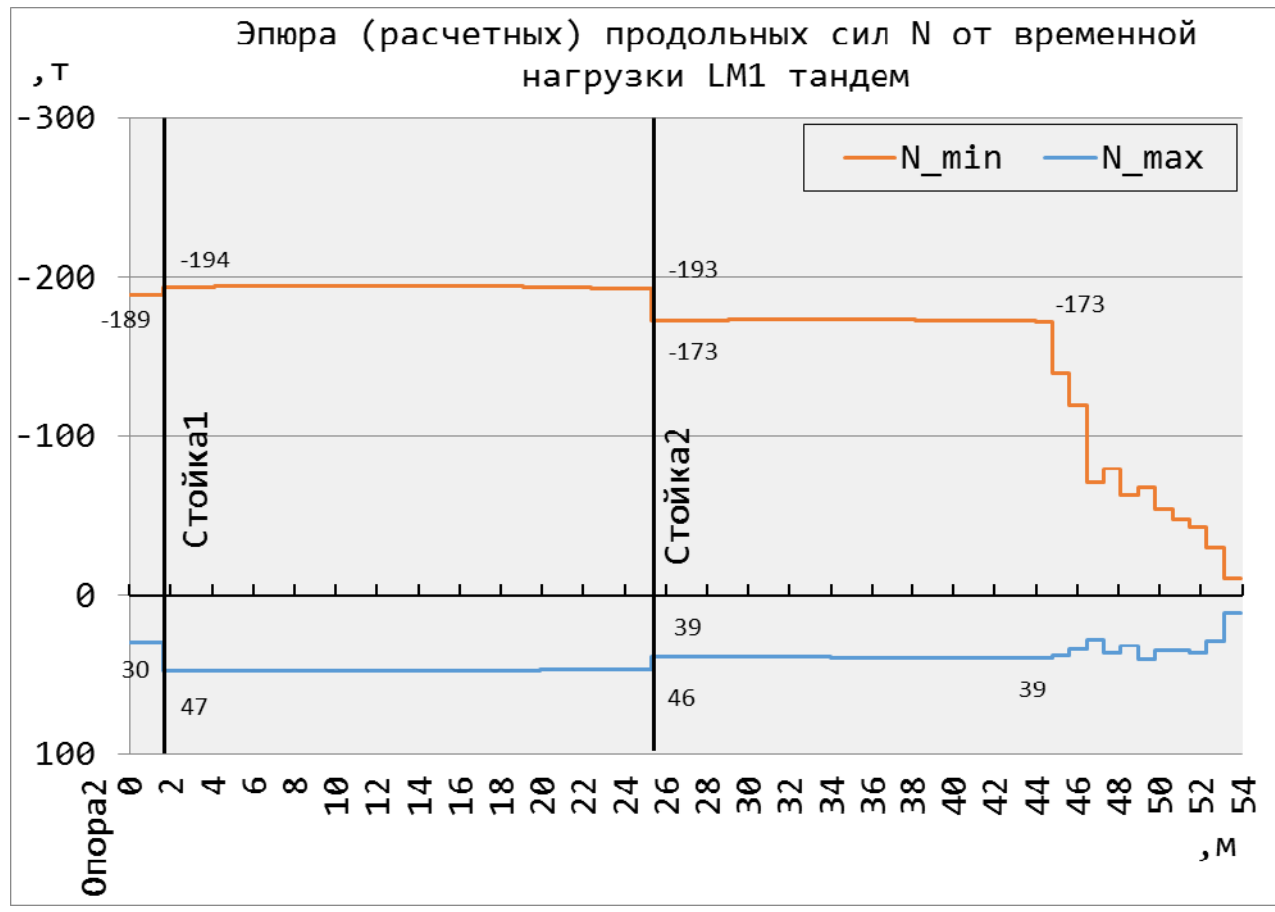


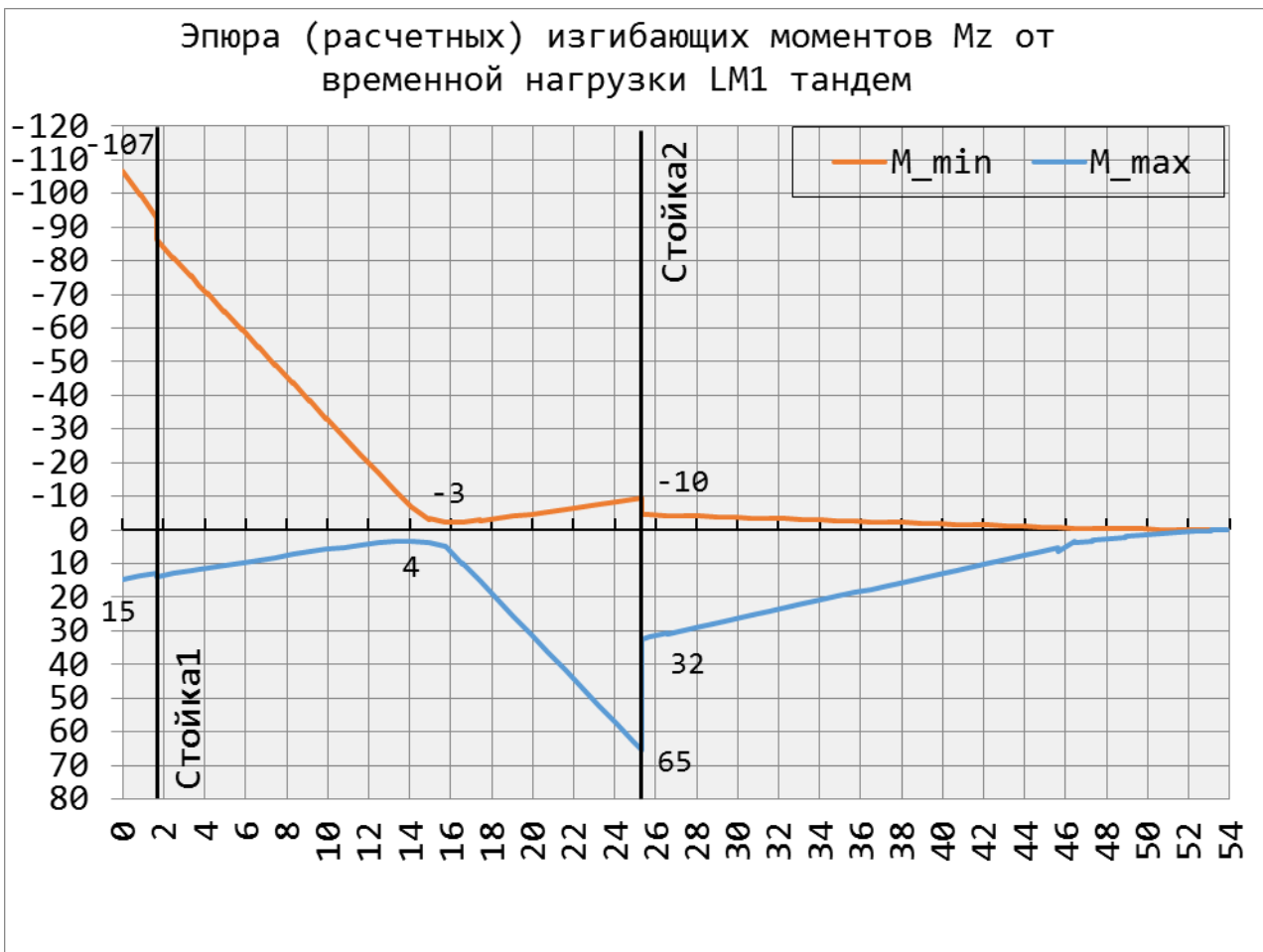
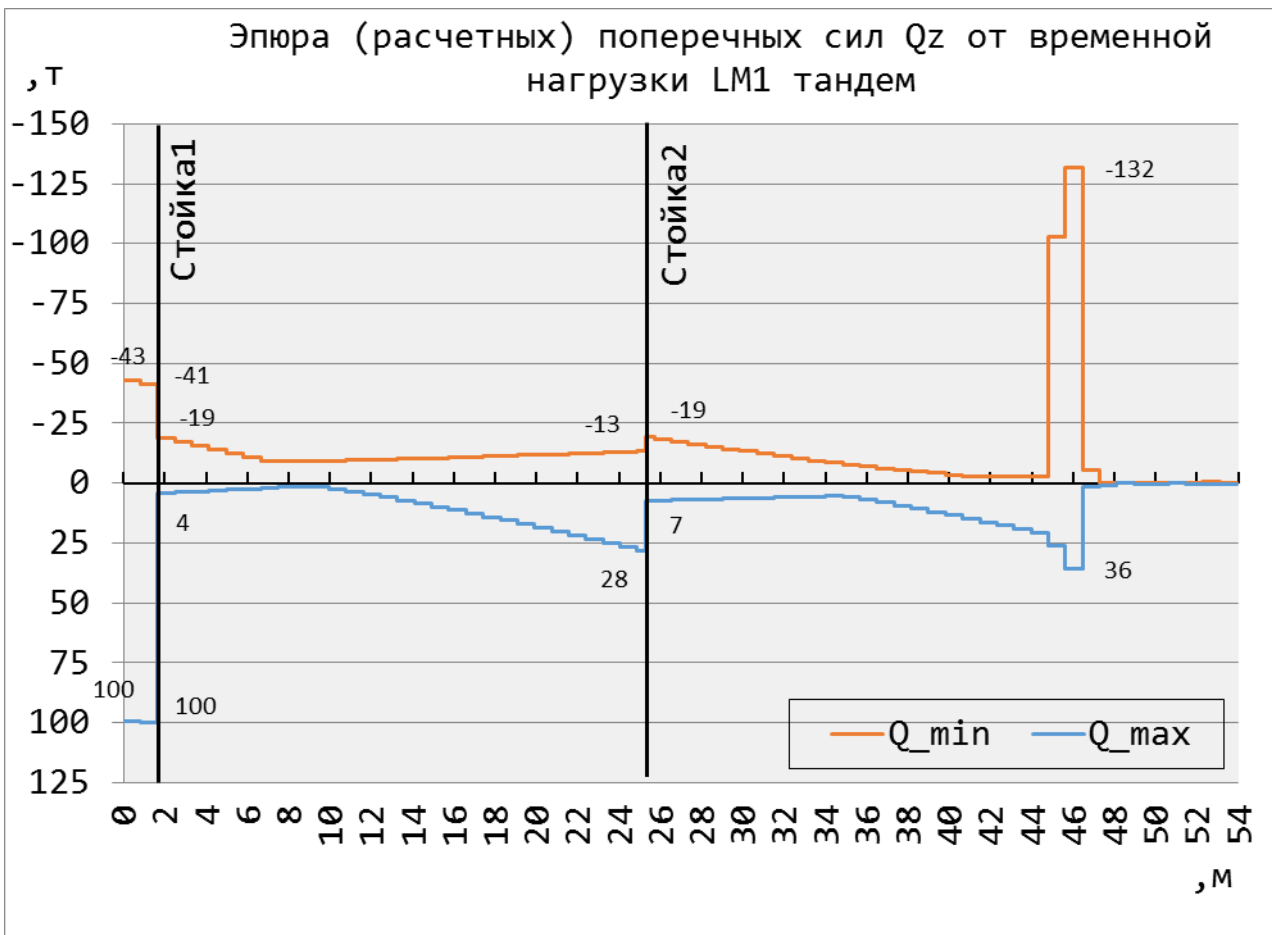
5.3.6 ეპურები ფენით მოსიარულეთაგან LM4



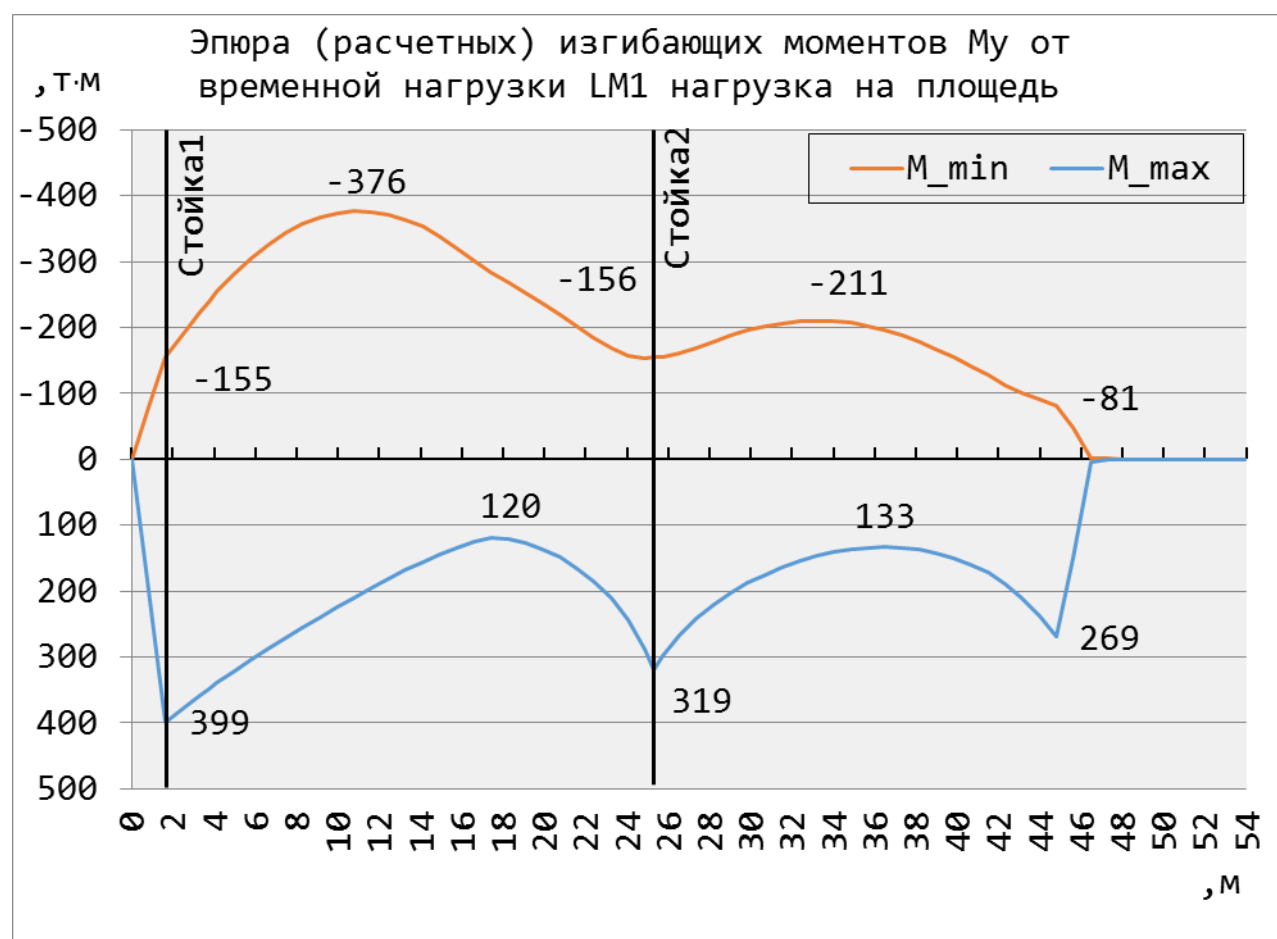
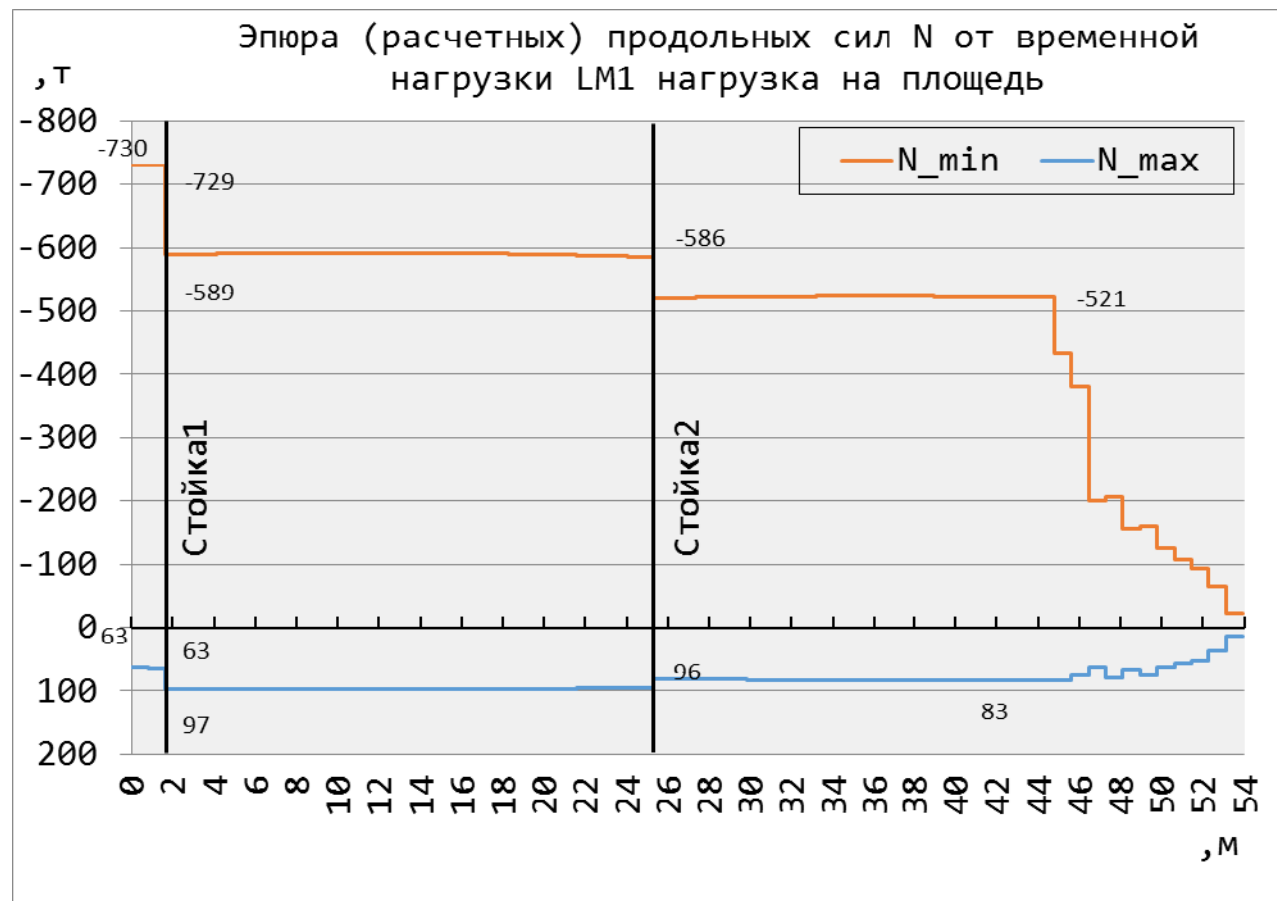


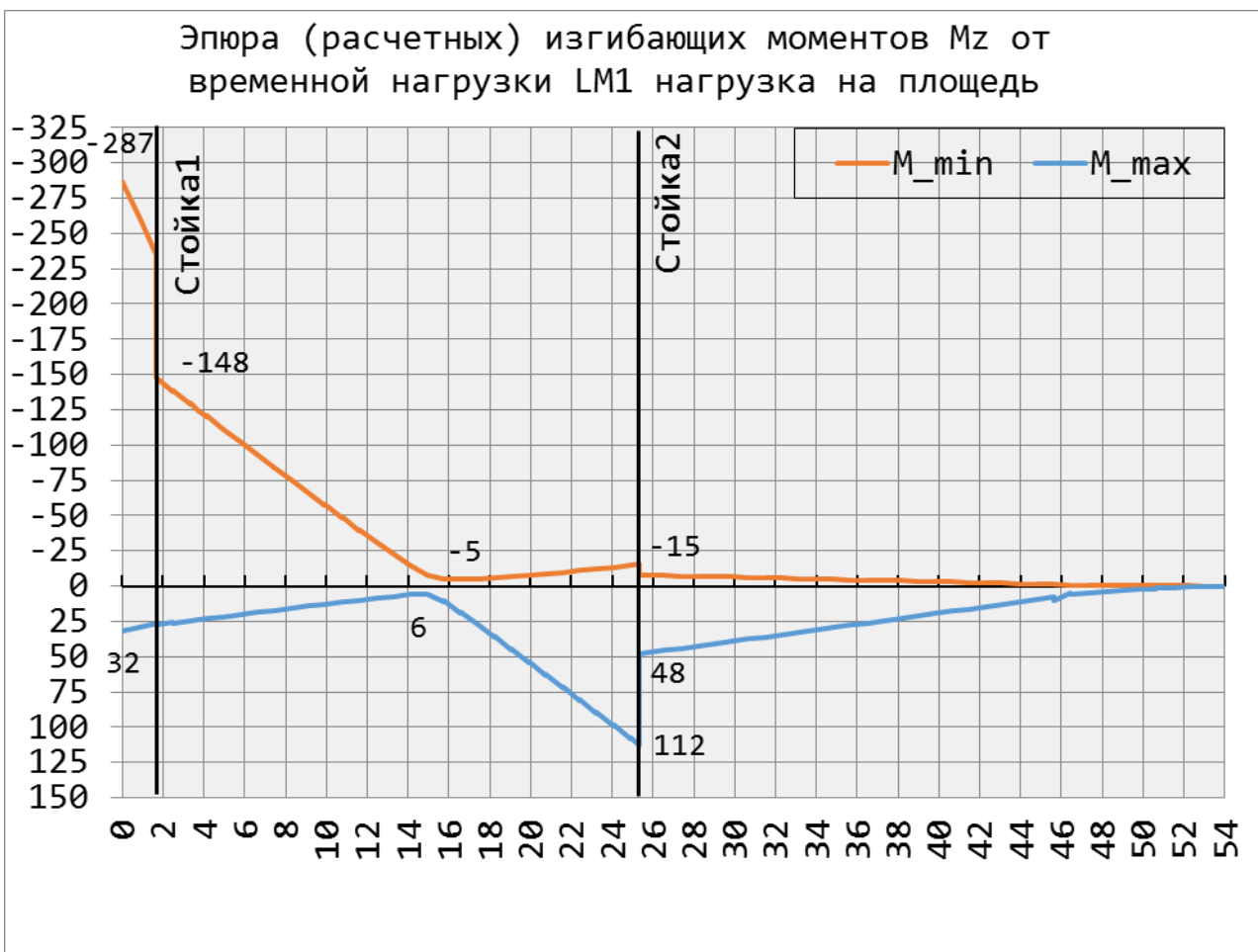
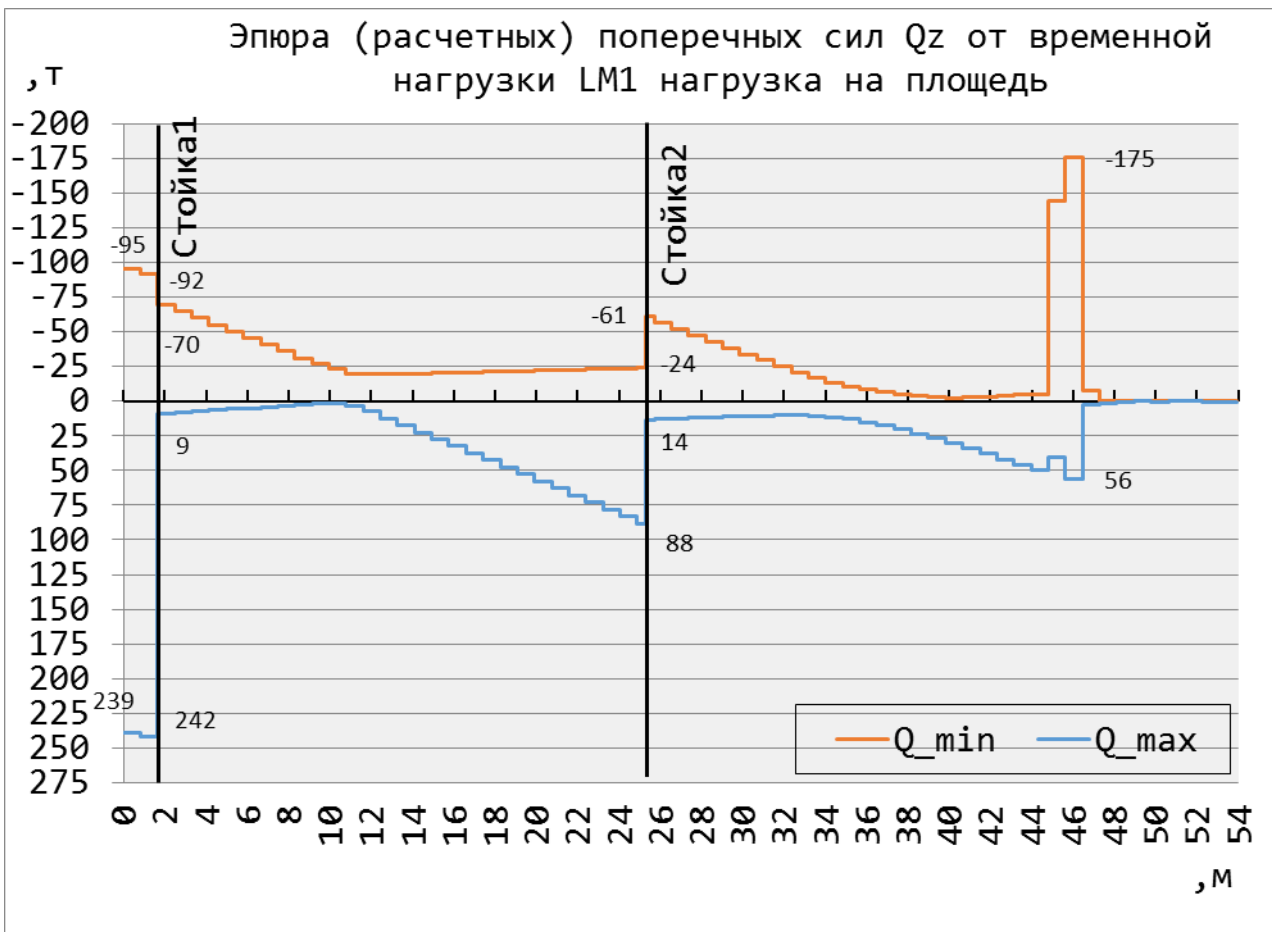
5.3.7 ეპურები ტანდემისაგან LM1



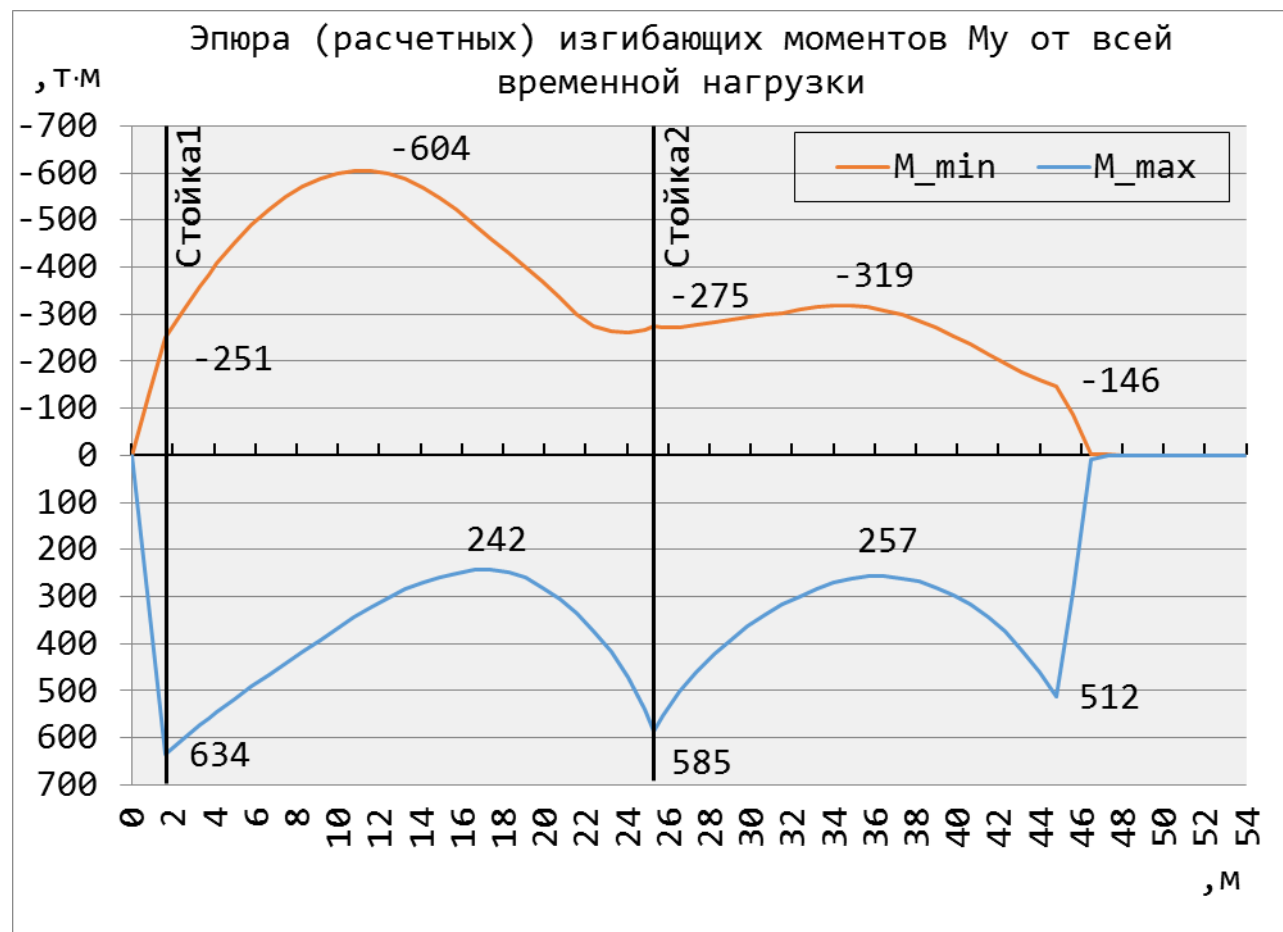
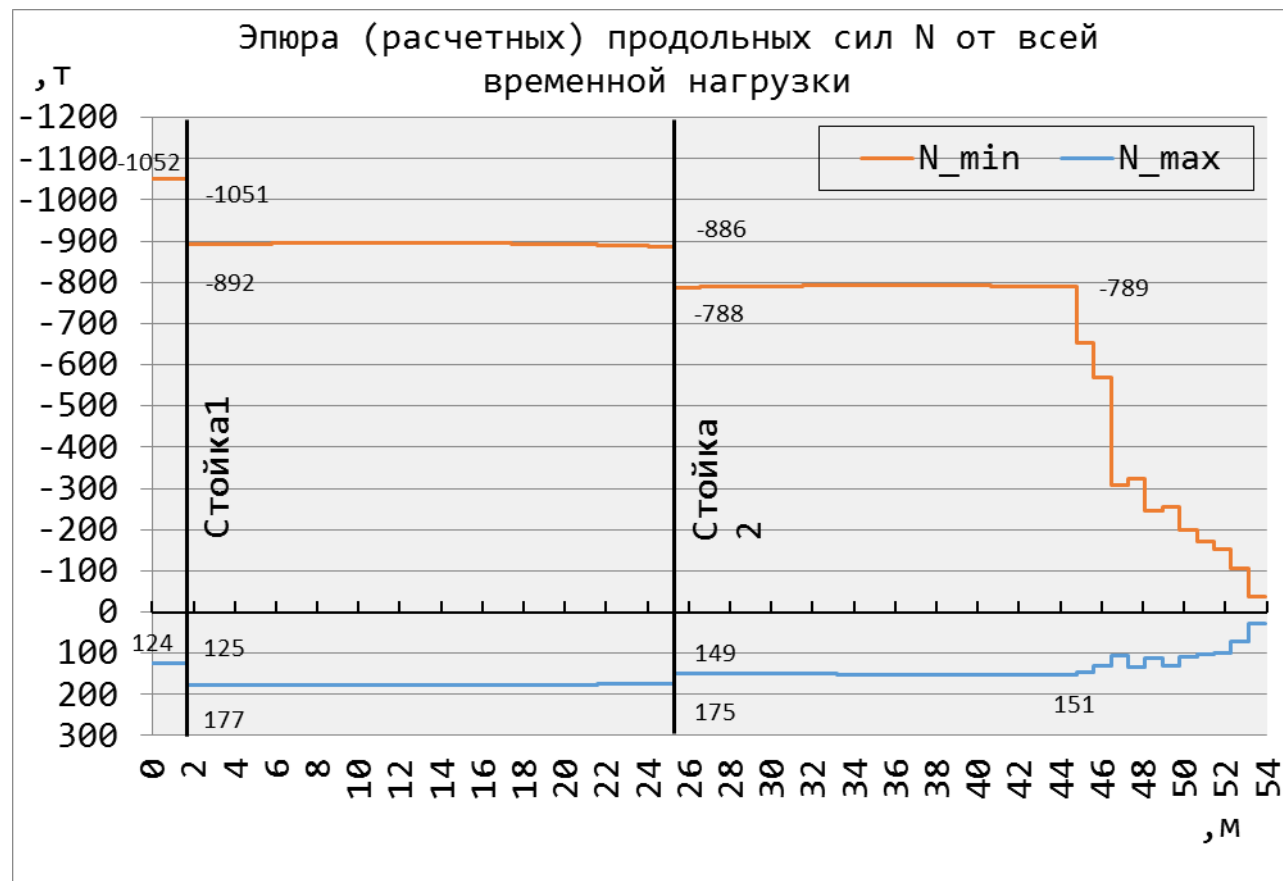


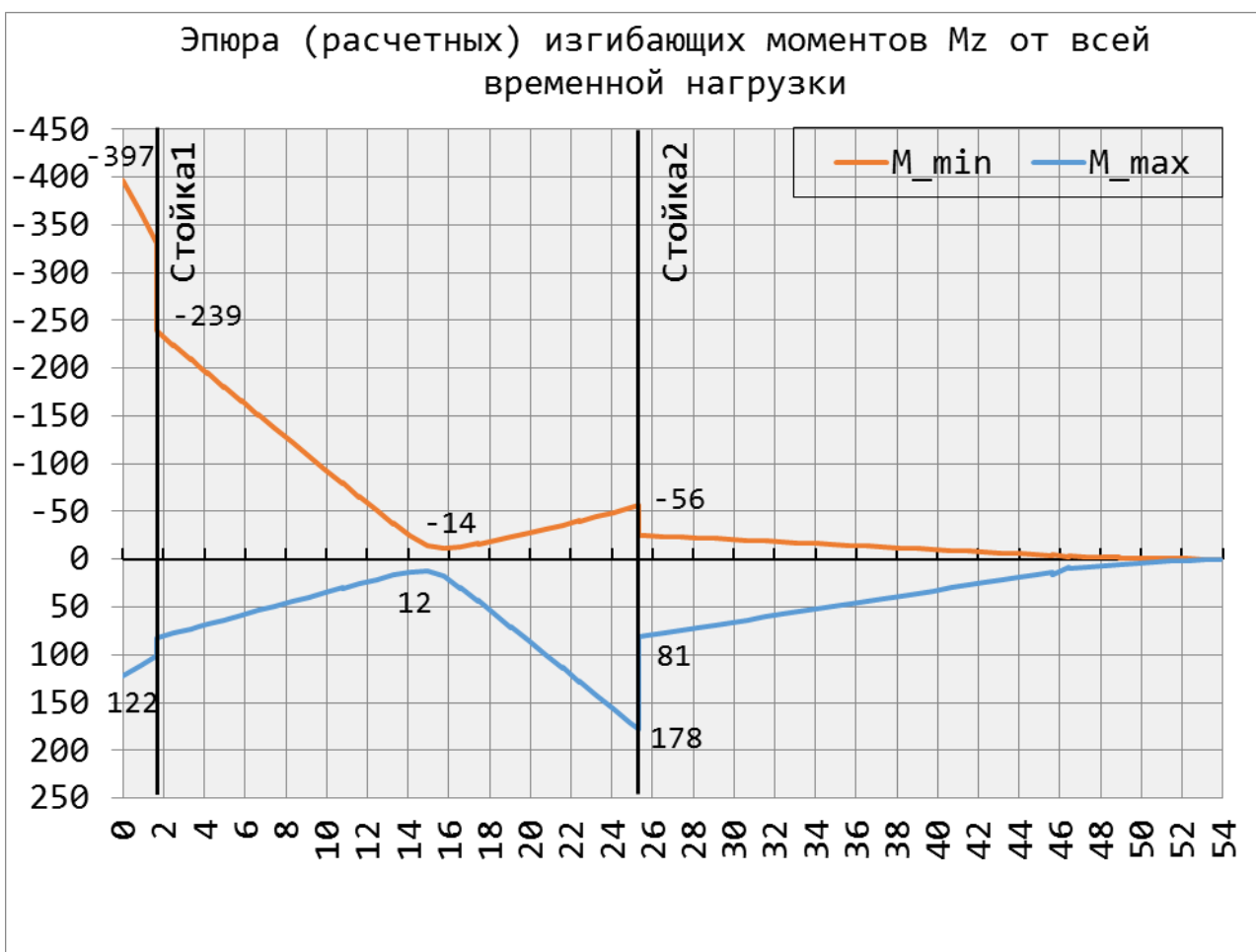
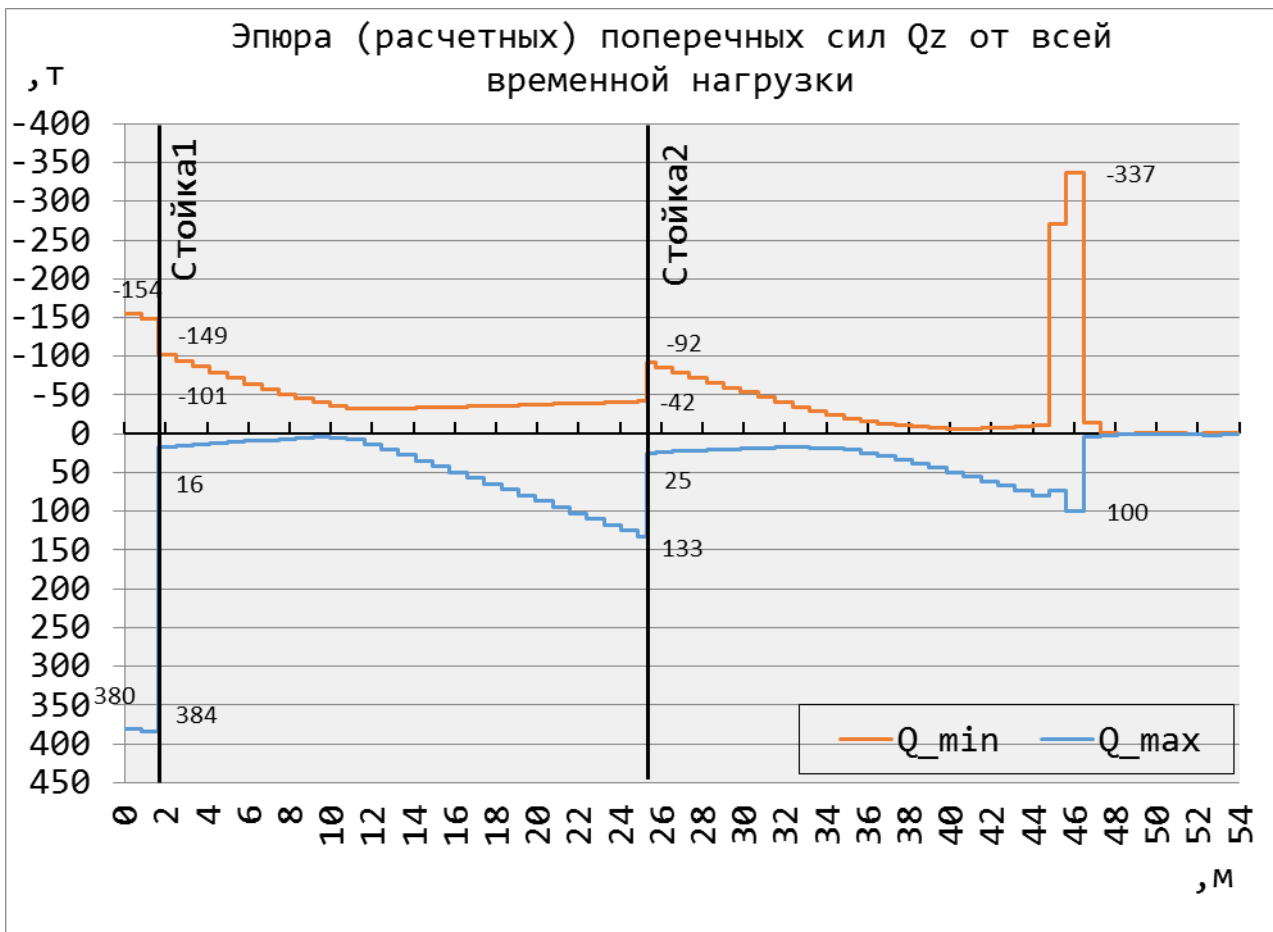
5.3.8 ეპურები განაწილებული LM1



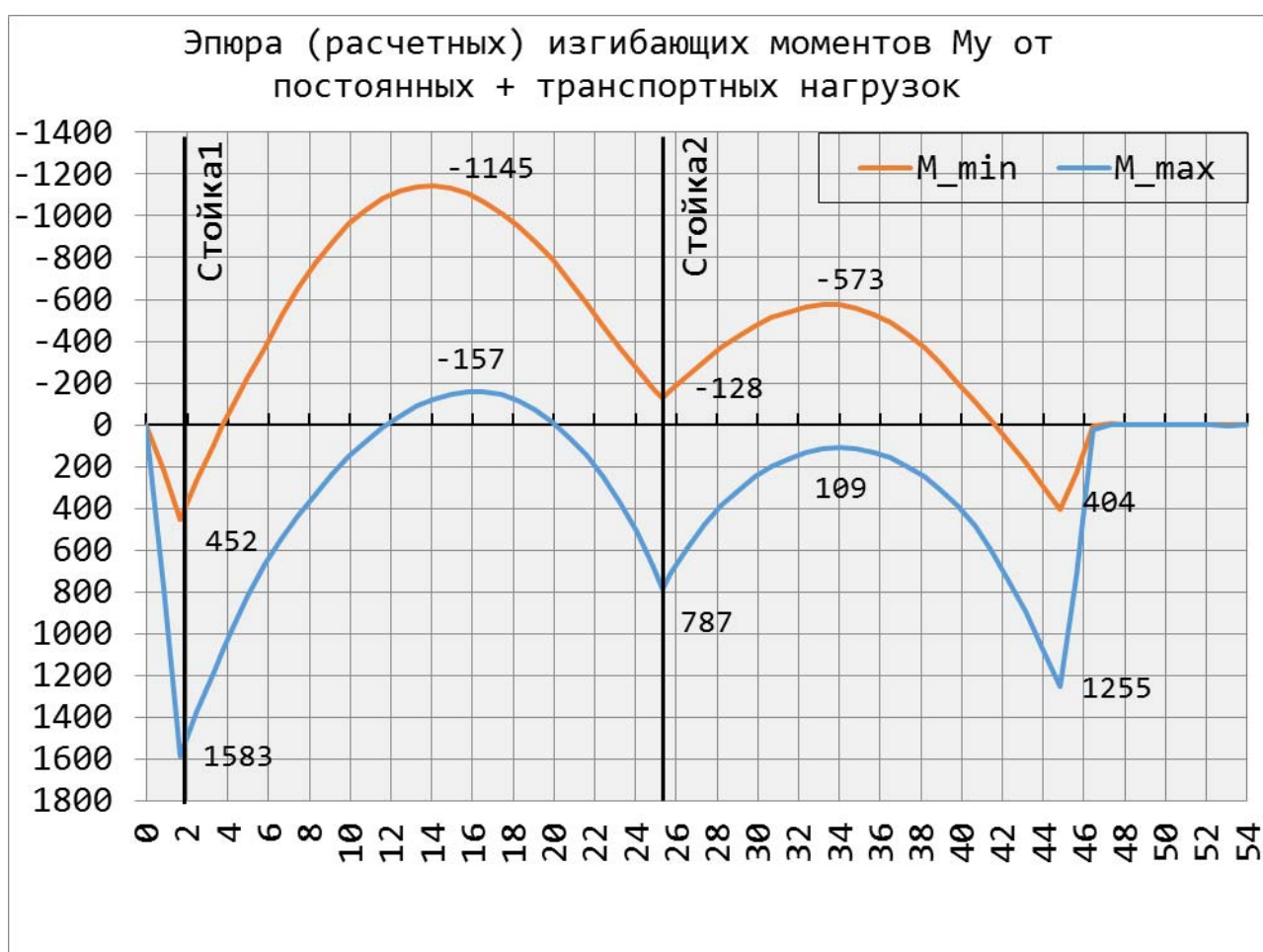
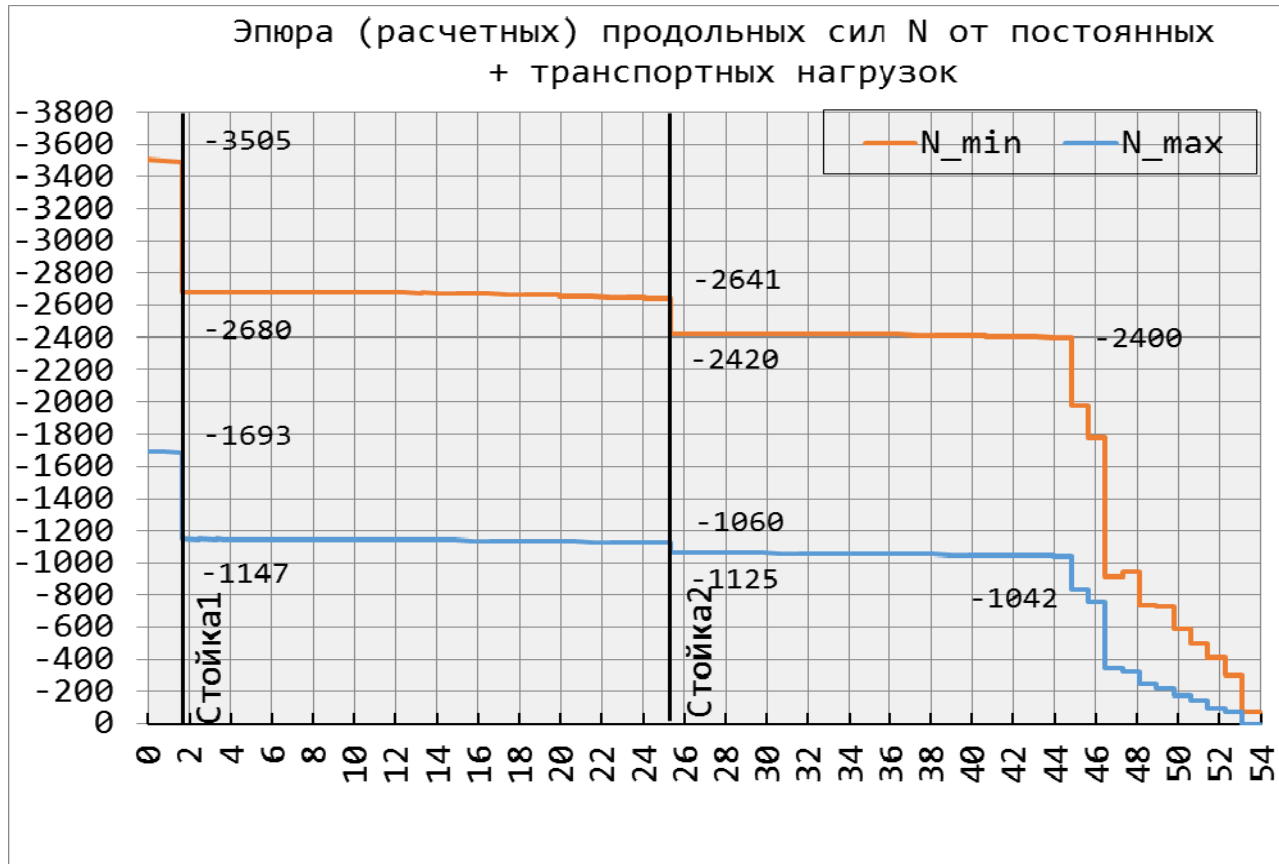


5.3.9 ဂေါ်များရေး အာများ LM1

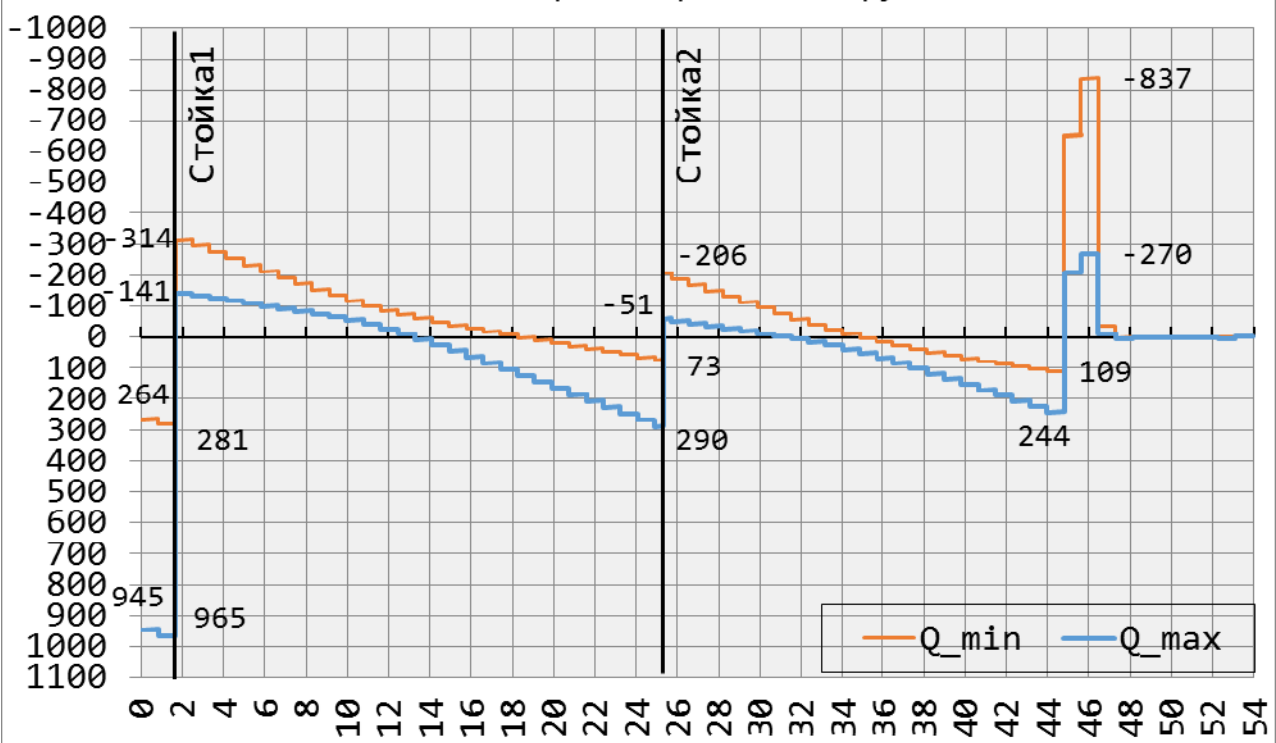




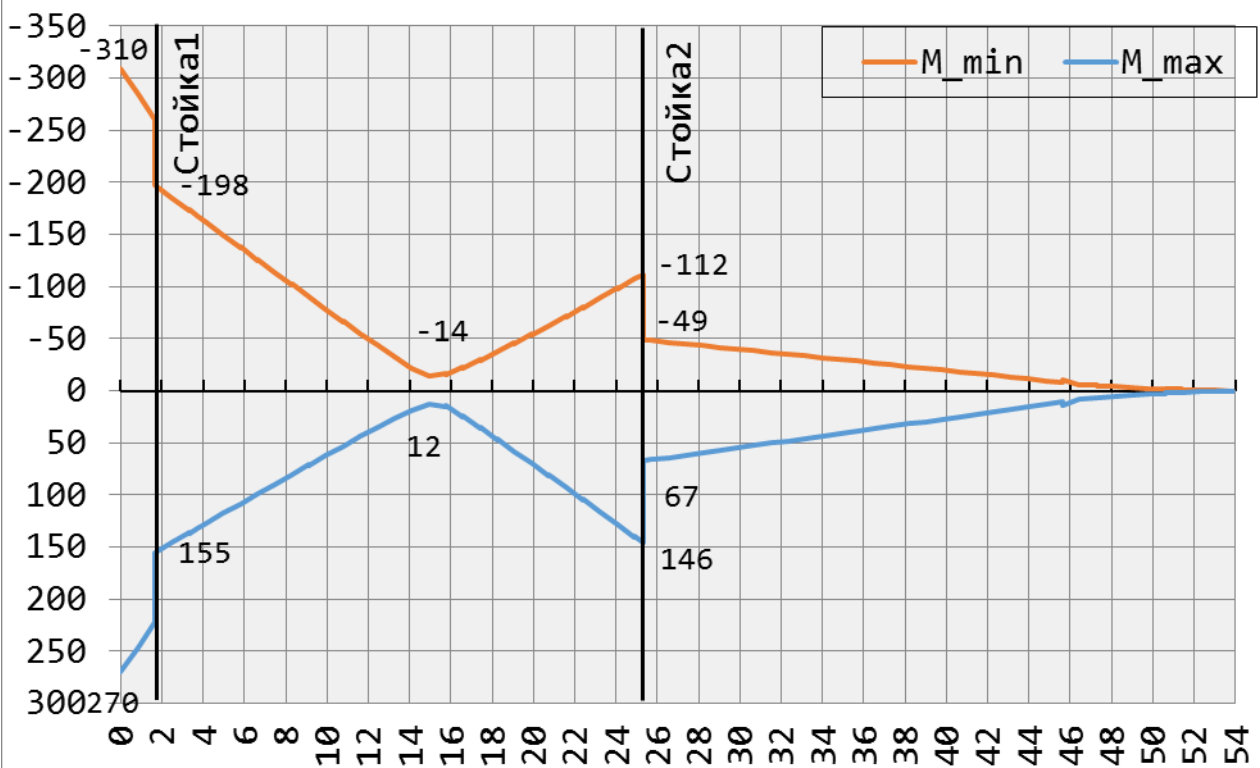
5.3.10 ეპურები ყველა დატვირთვებისგან



Эпюра (расчетных) поперечных сил Q_z от
постоянных + транспортных нагрузок

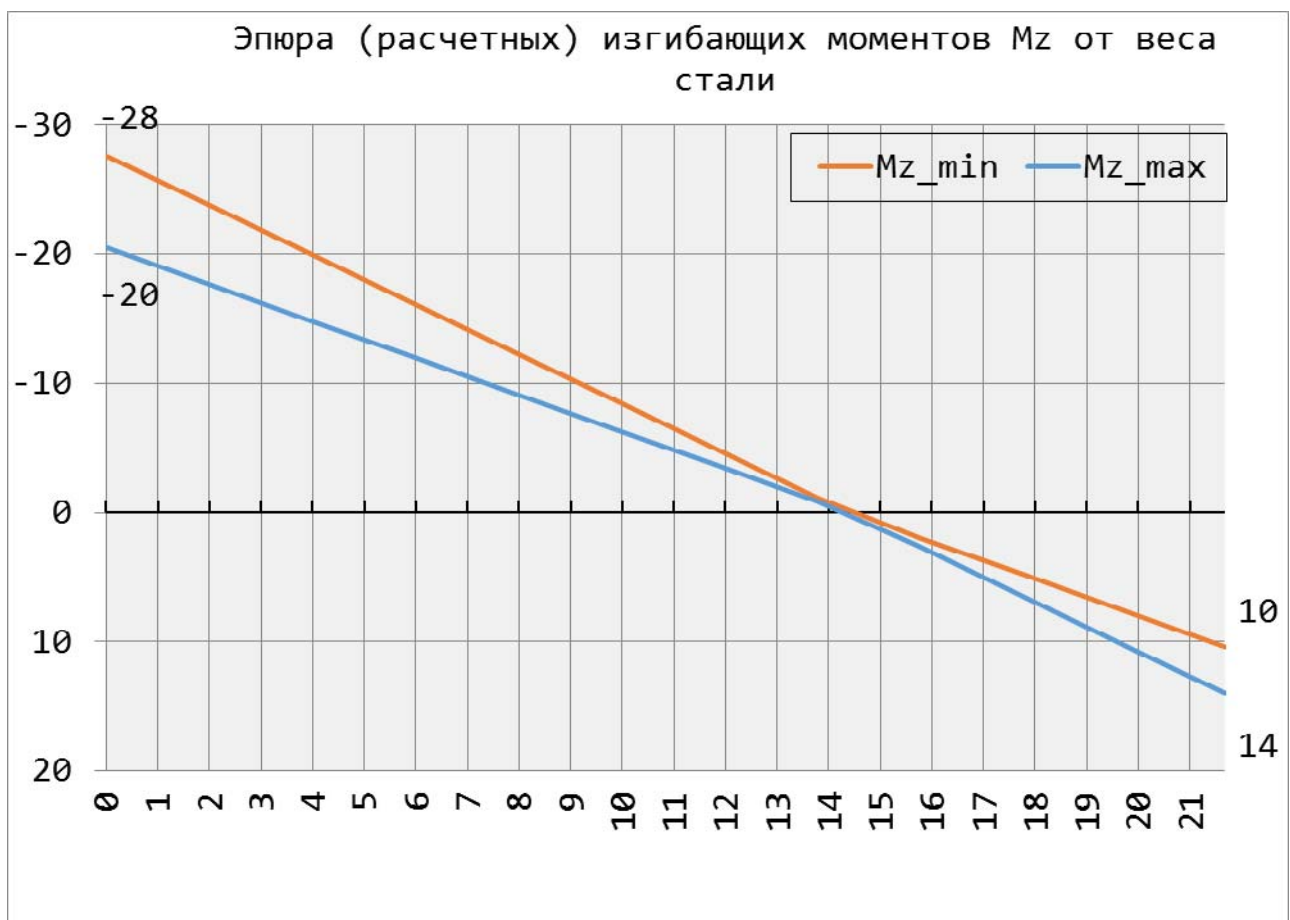
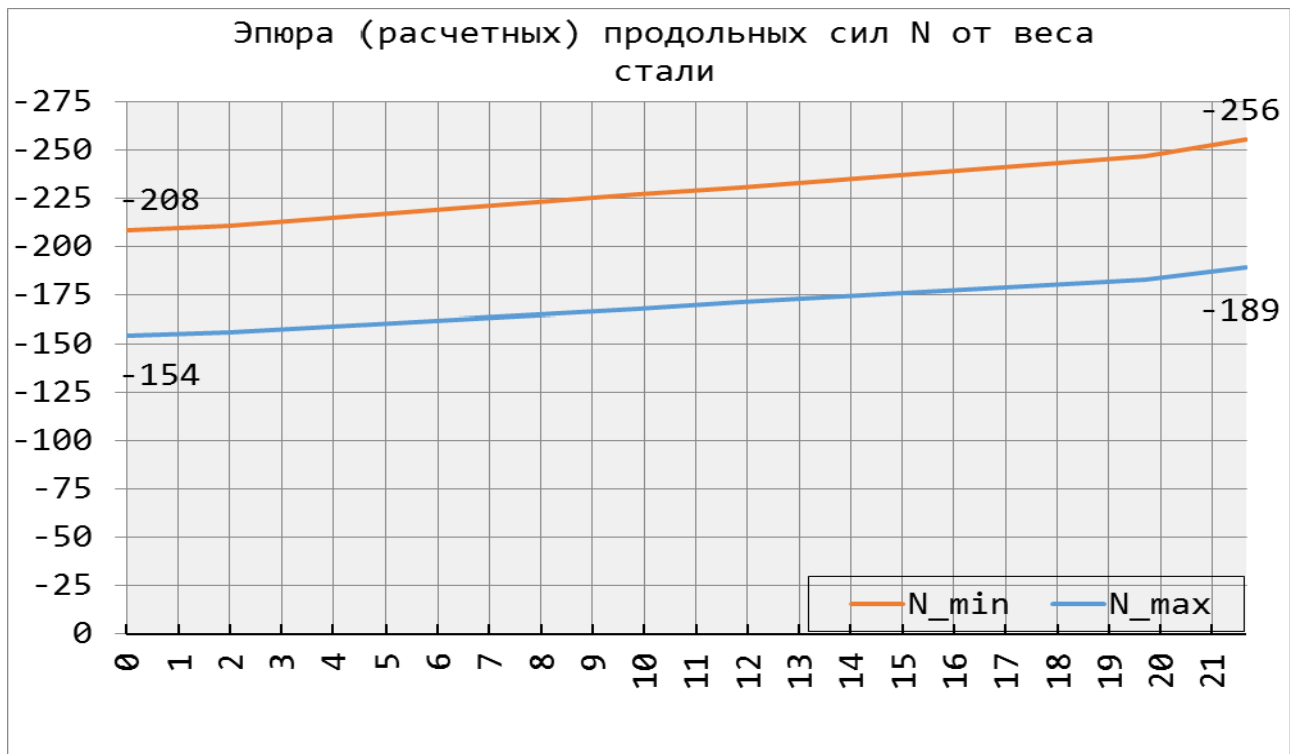


Эпюра (расчетных) изгибающих моментов M_z от
постоянных + транспортных нагрузок

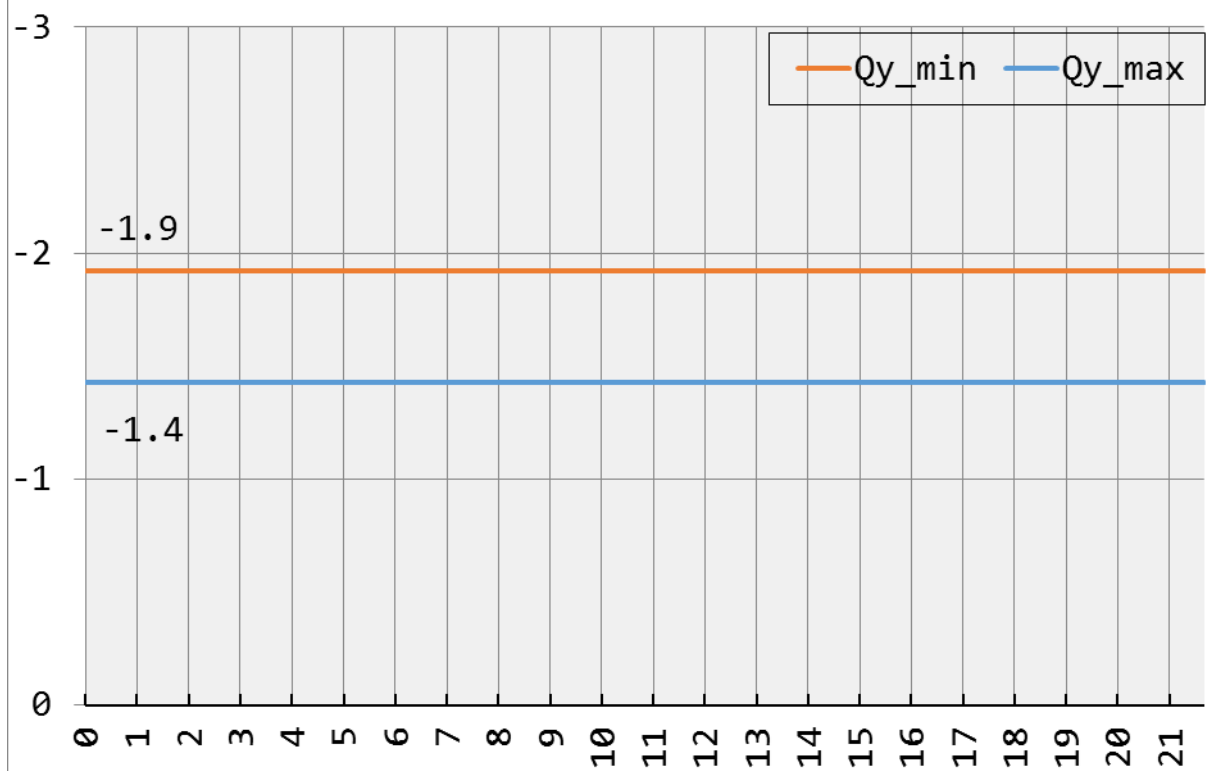


5.4 ძალების დგარი 1

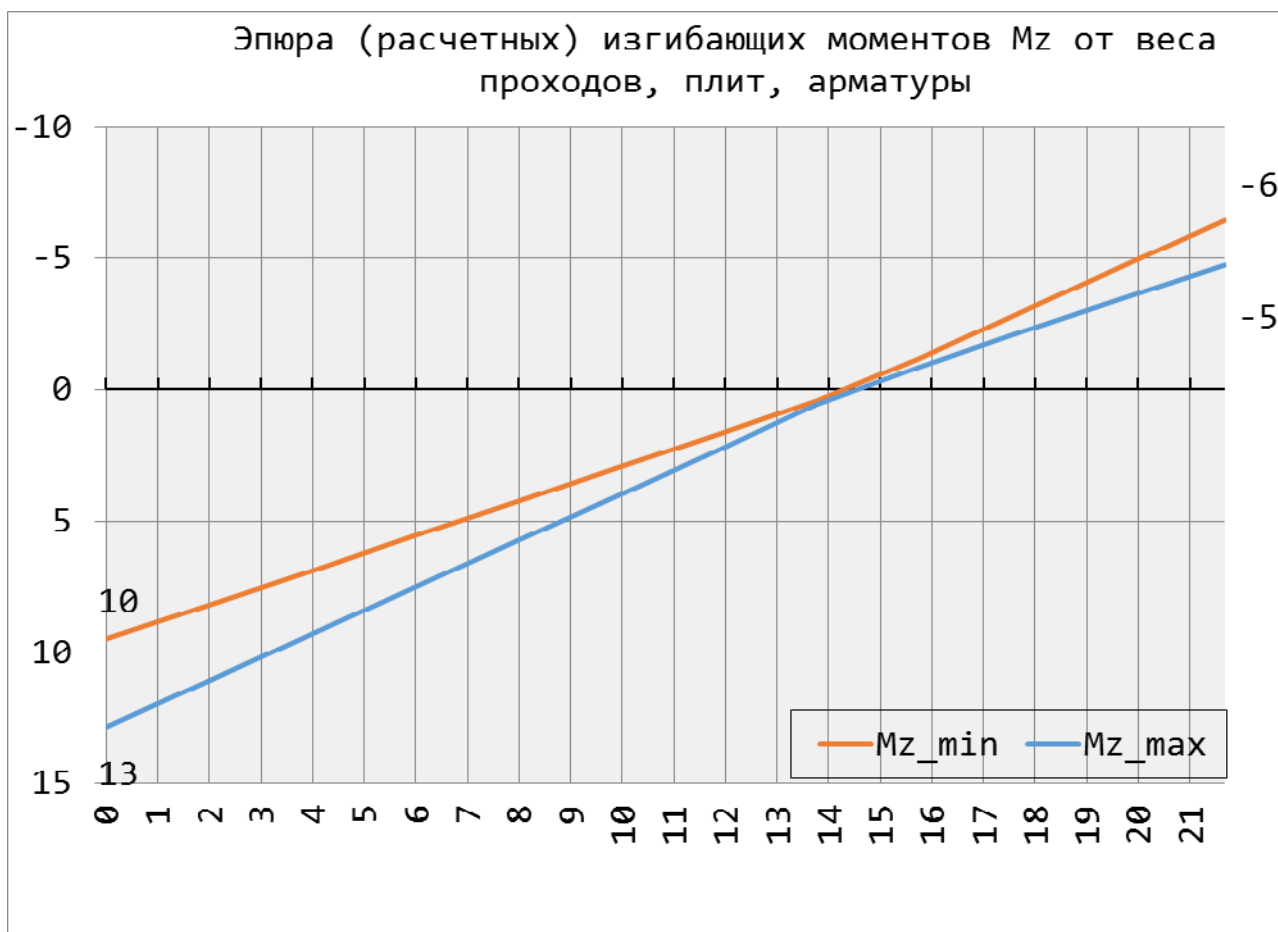
5.4.1 ეპიურები ფოლადის წონისაგან



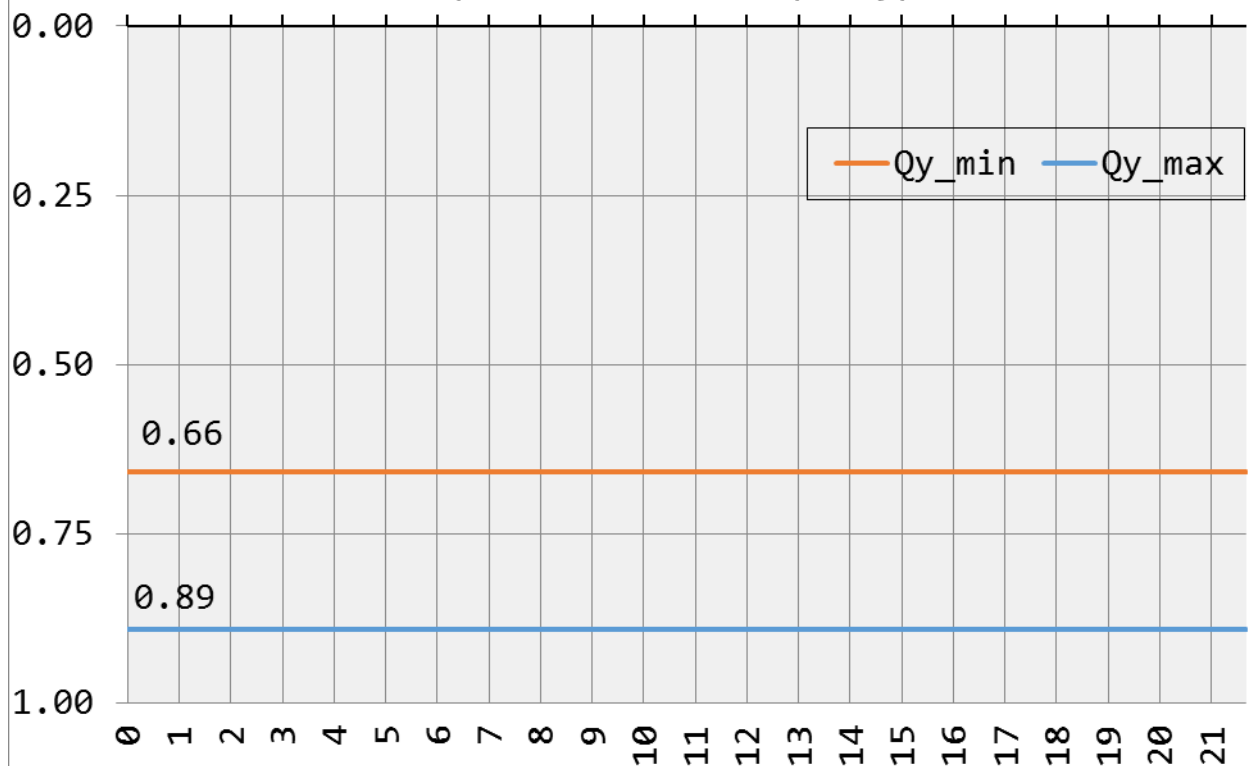
Эпюра (расчетных) поперечных сил Q_y от веса стали



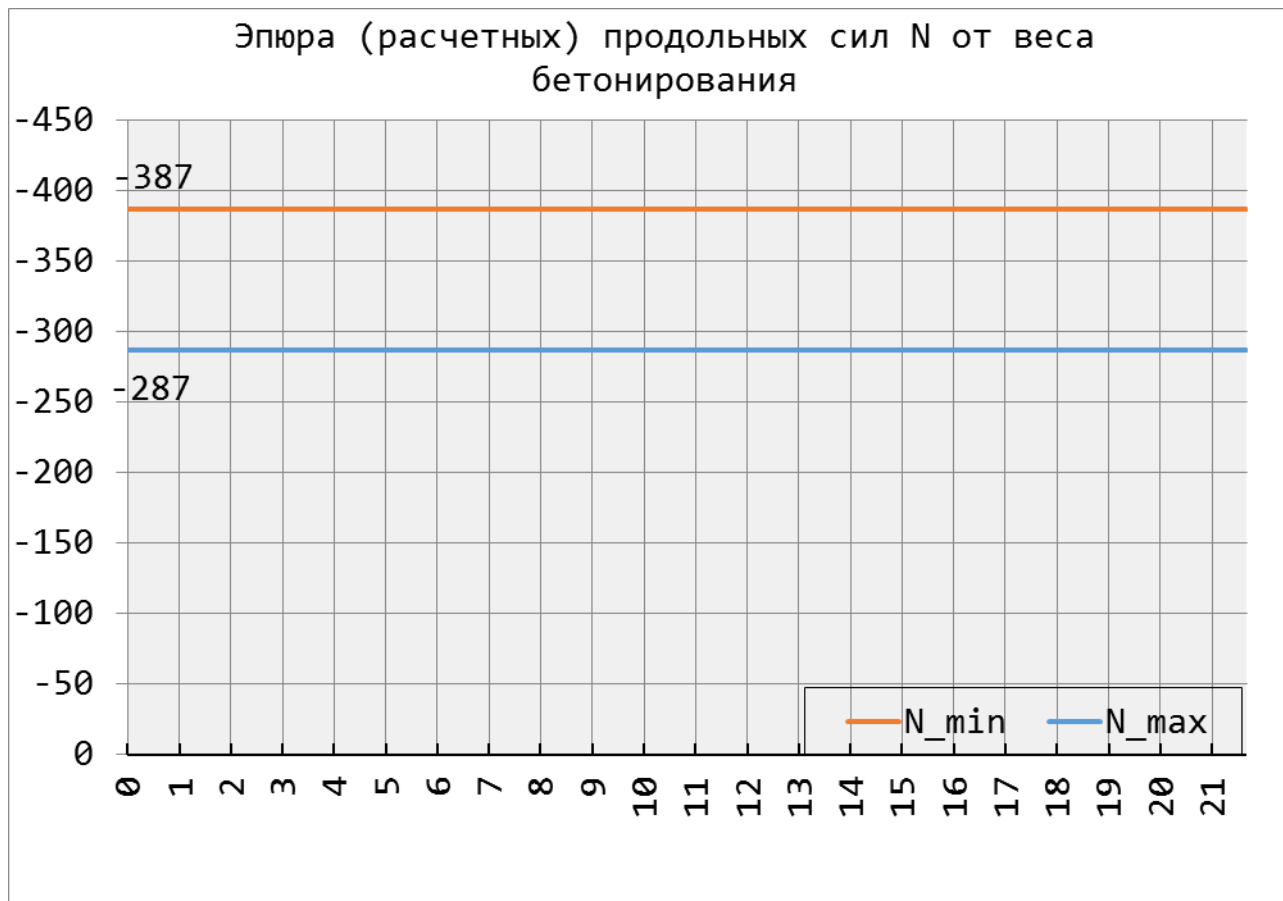
5.4.2 ეპიურები გასასვლელების, ანაკრები ფილების და არმატურის წონისაგან



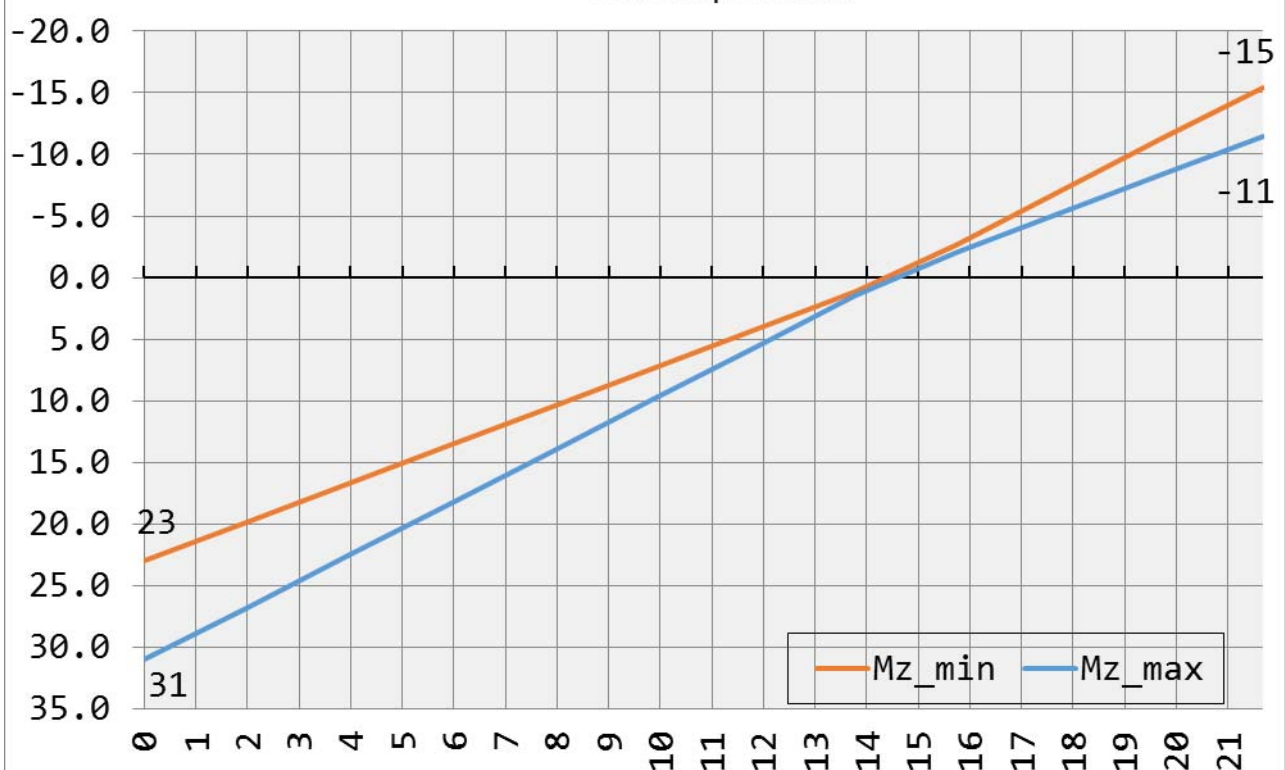
Эпюра (расчетных) поперечных сил Q_y от веса
проходов, плит, арматуры



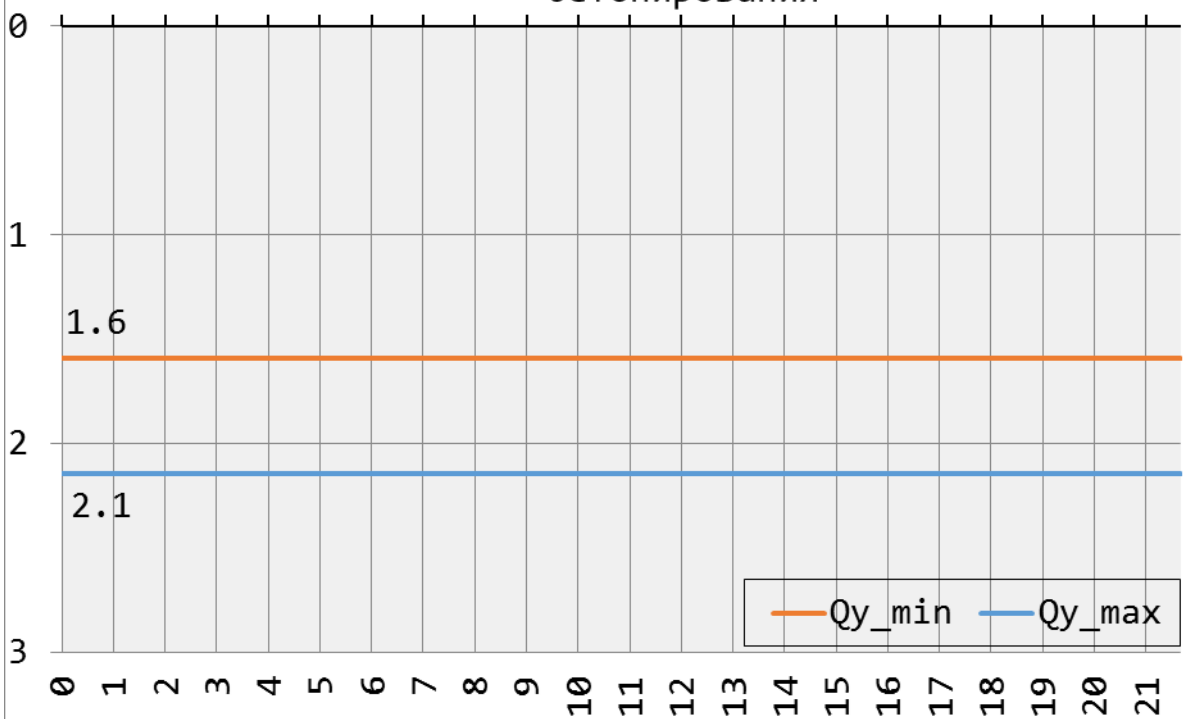
5.4.3 ეპურები ბეტონის წონისაგან



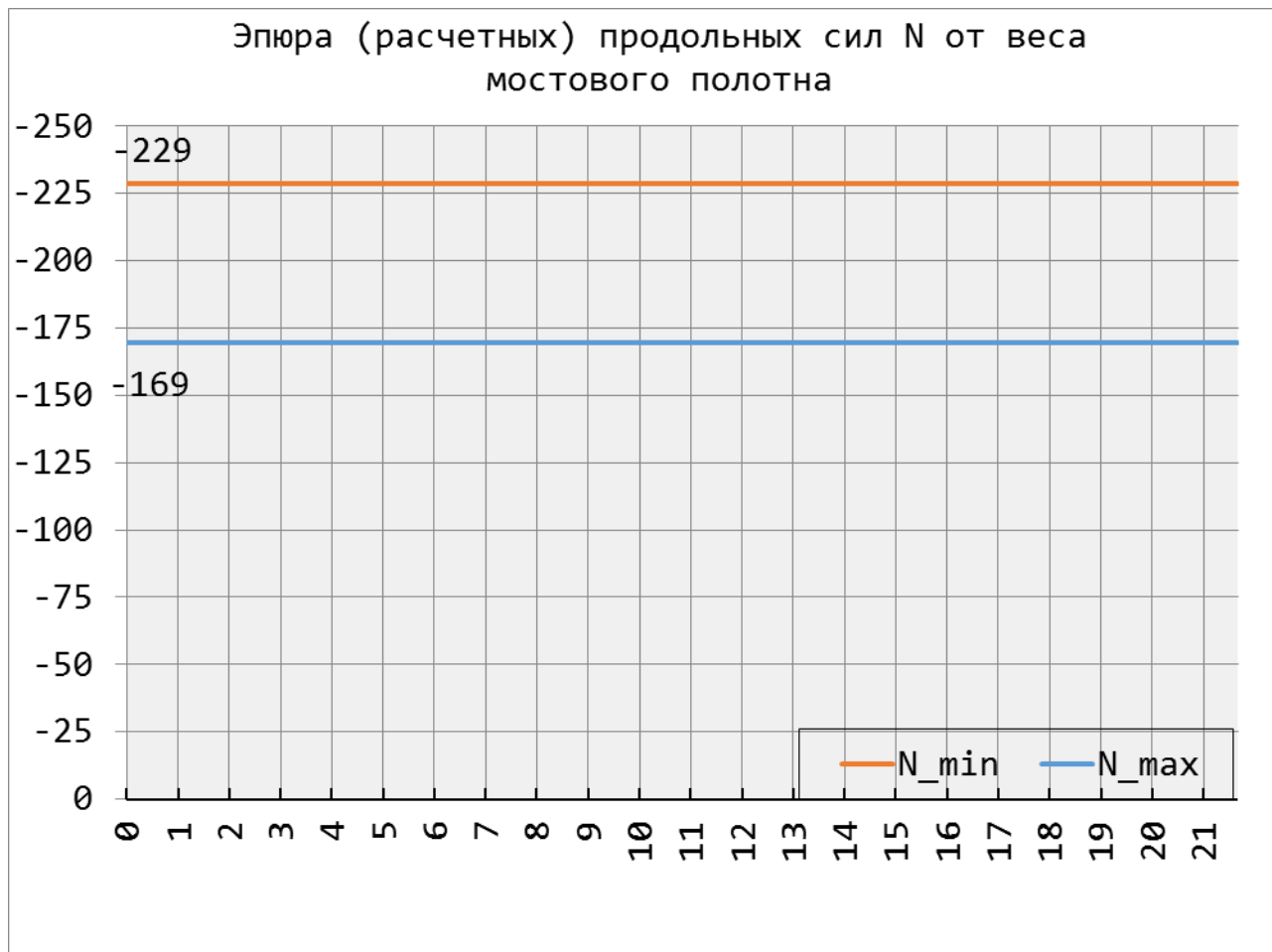
Эпюра (расчетных) изгибающих моментов M_z от веса бетонирования



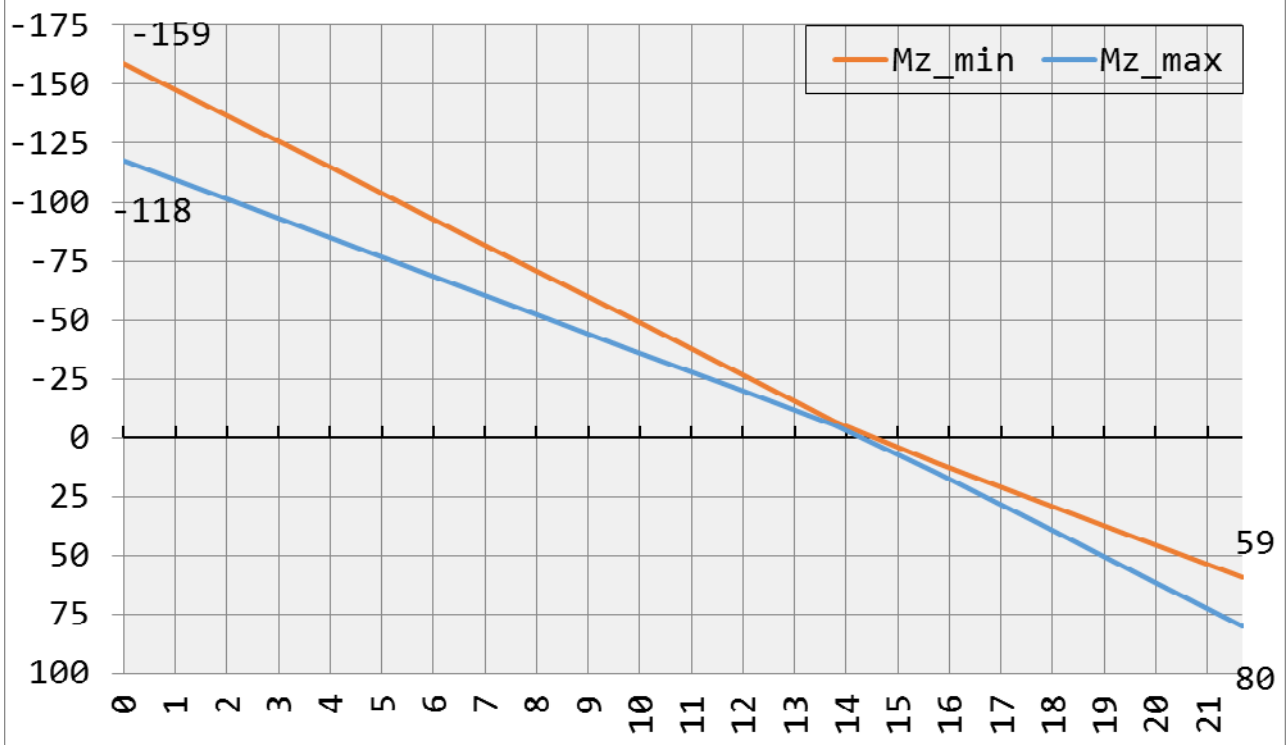
Эпюра (расчетных) поперечных сил Q_y от веса бетонирования



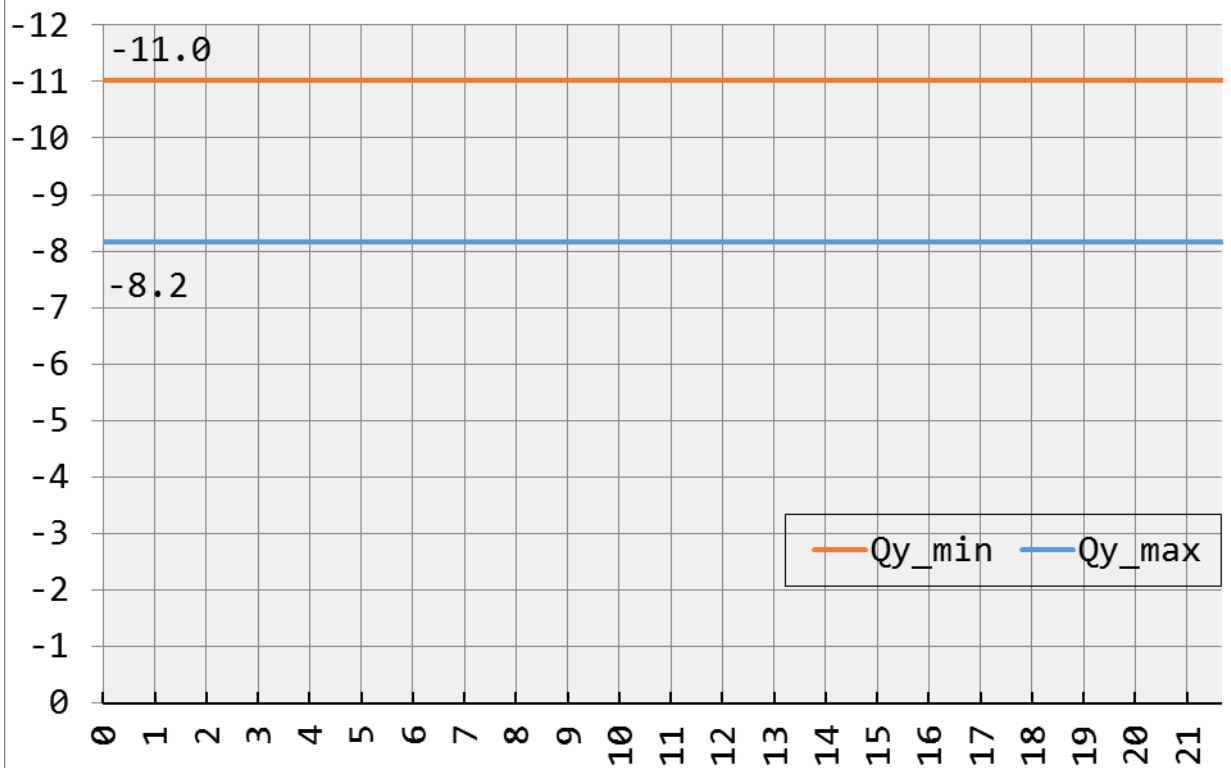
5.4.4 გპიურები ხიდის ვაკისის წონისაგან



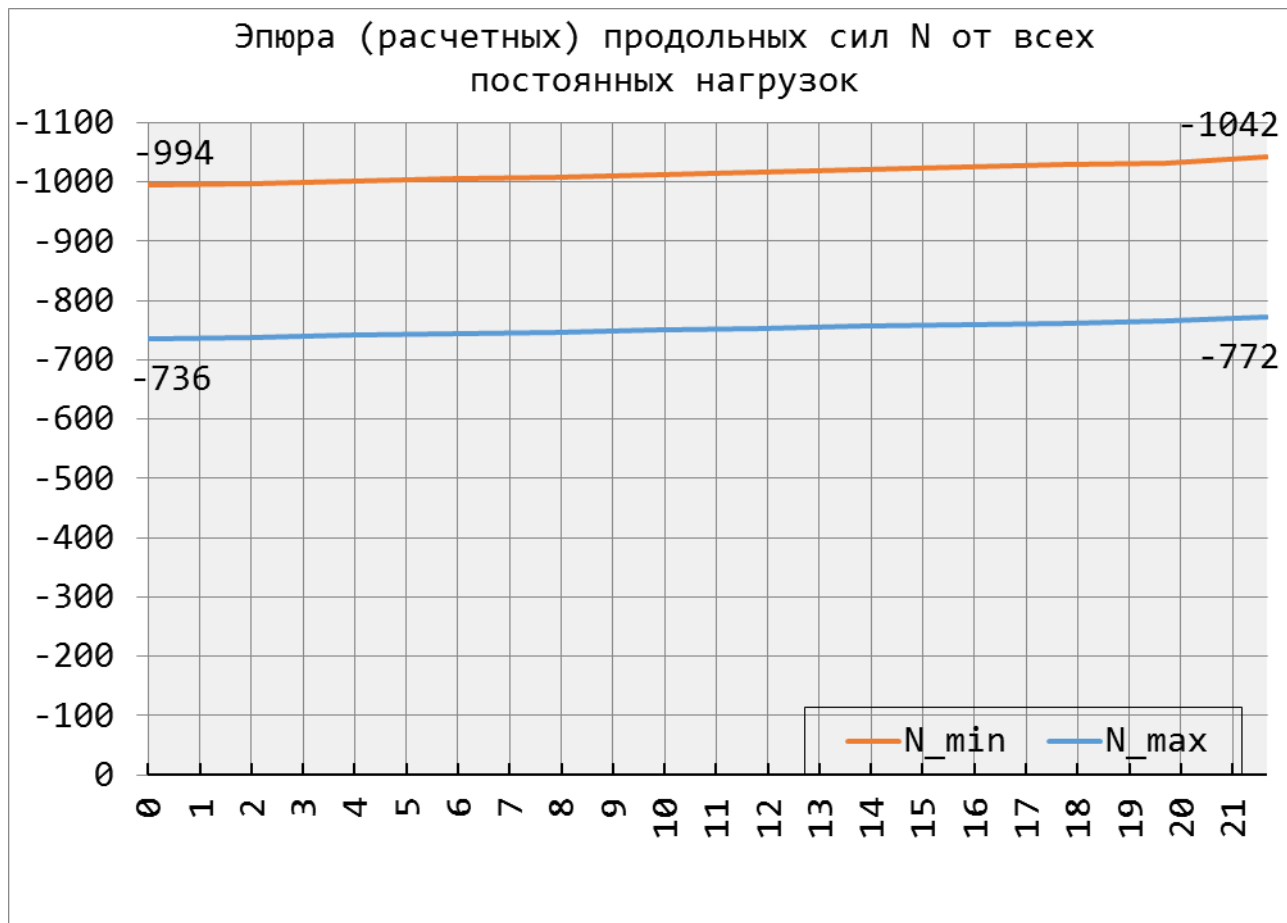
Эпюра (расчетных) изгибающих моментов M_z от веса мостового полотна



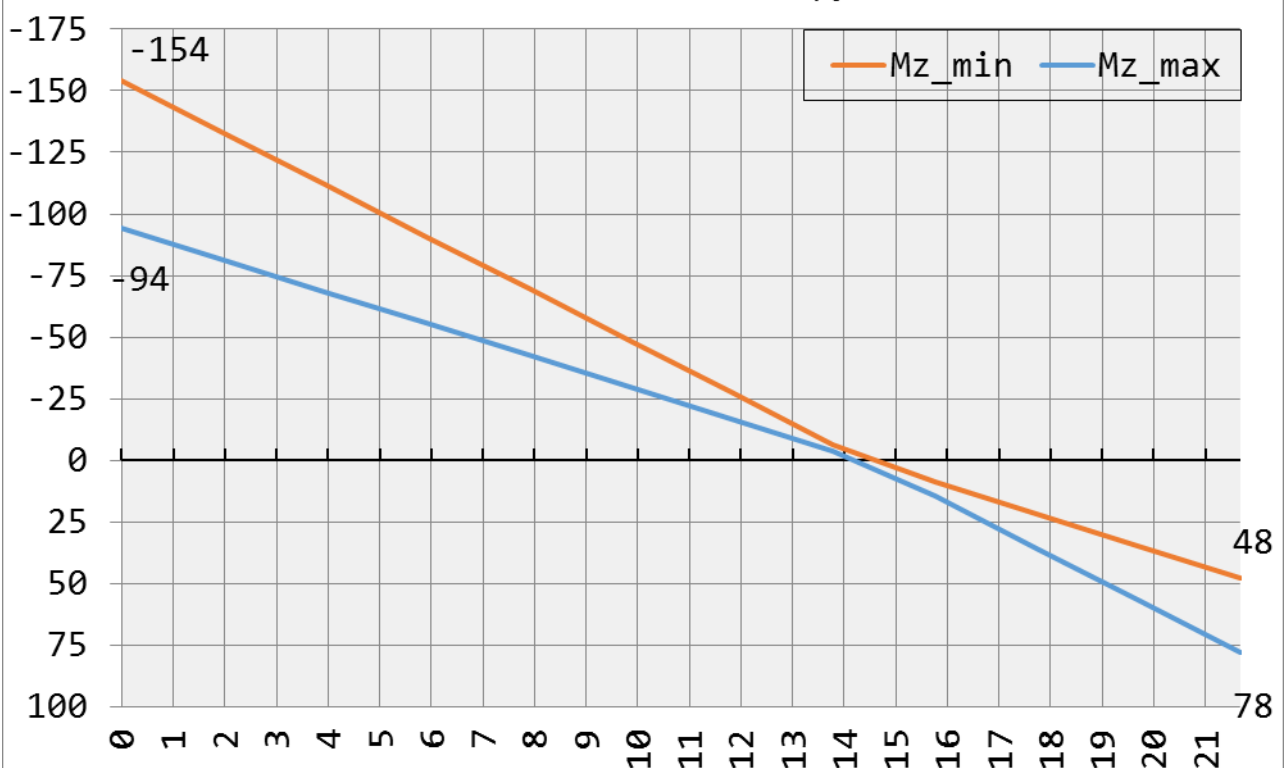
Эпюра (расчетных) поперечных сил Q_y от веса мостового полотна



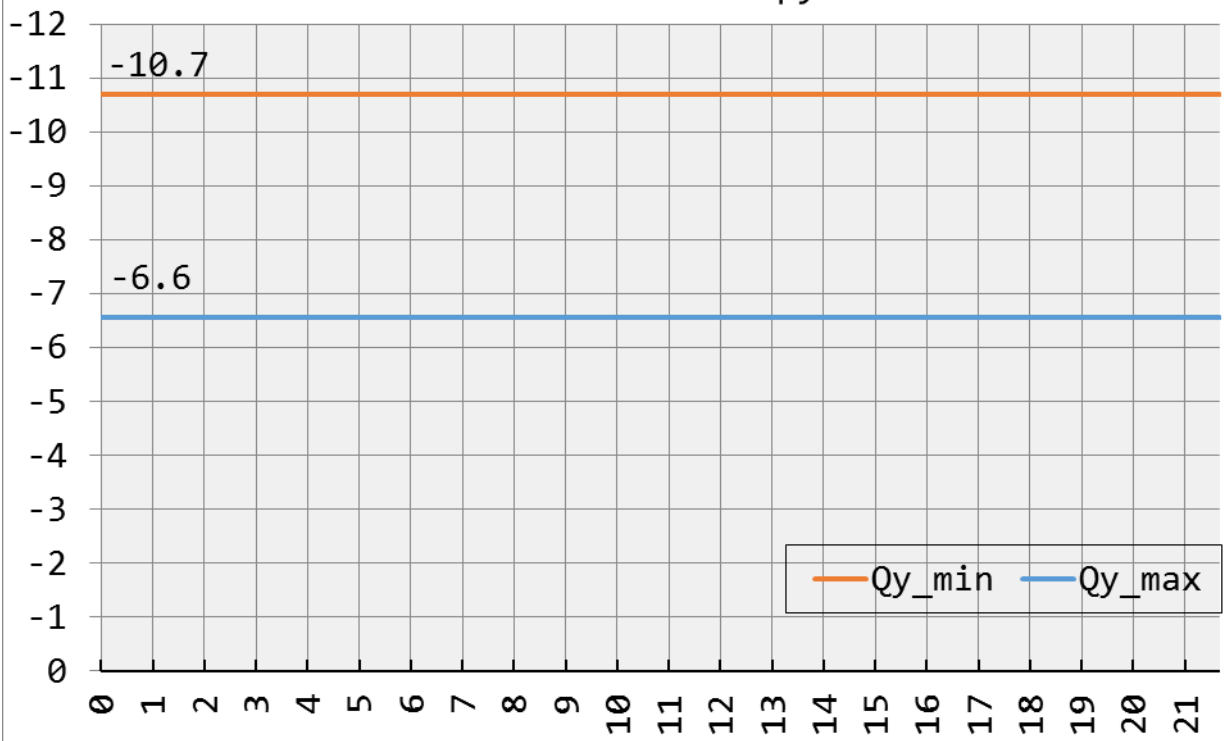
5.4.5 ებიურები ყველა მუდმივი დატვირთვებისგან



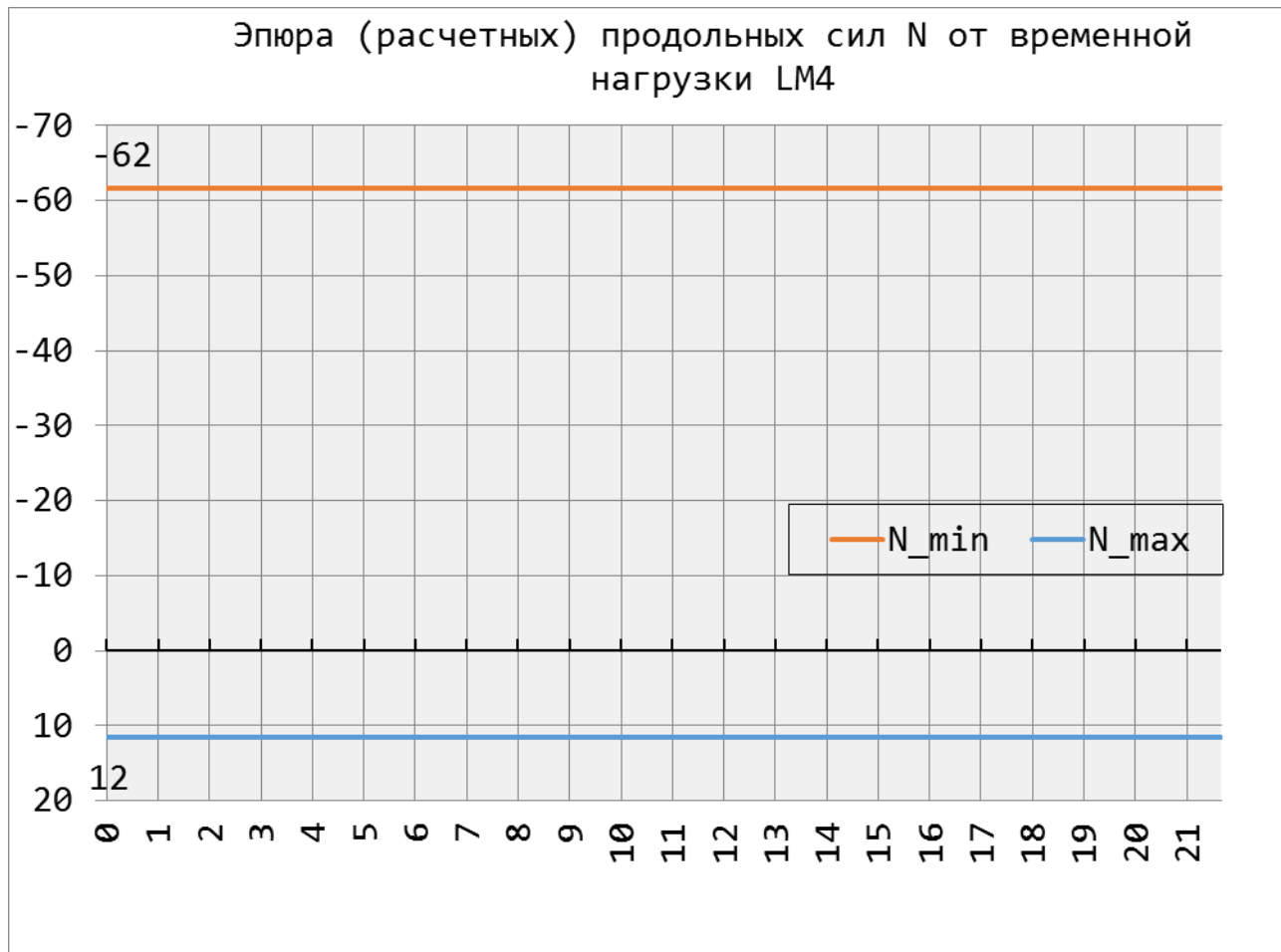
Эпюра (расчетных) изгибающих моментов M_z от веса
постоянных нагрузок



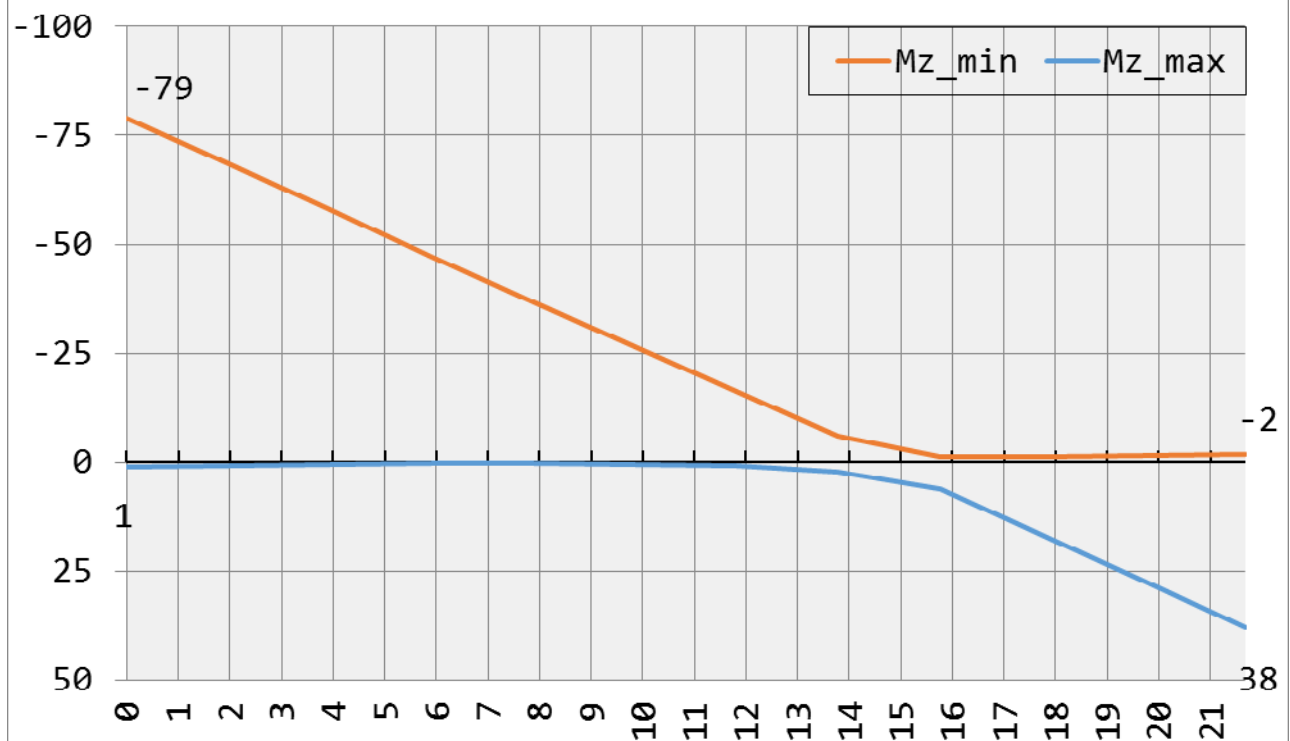
Эпюра (расчетных) поперечных сил Q_y от веса
постоянных нагрузок



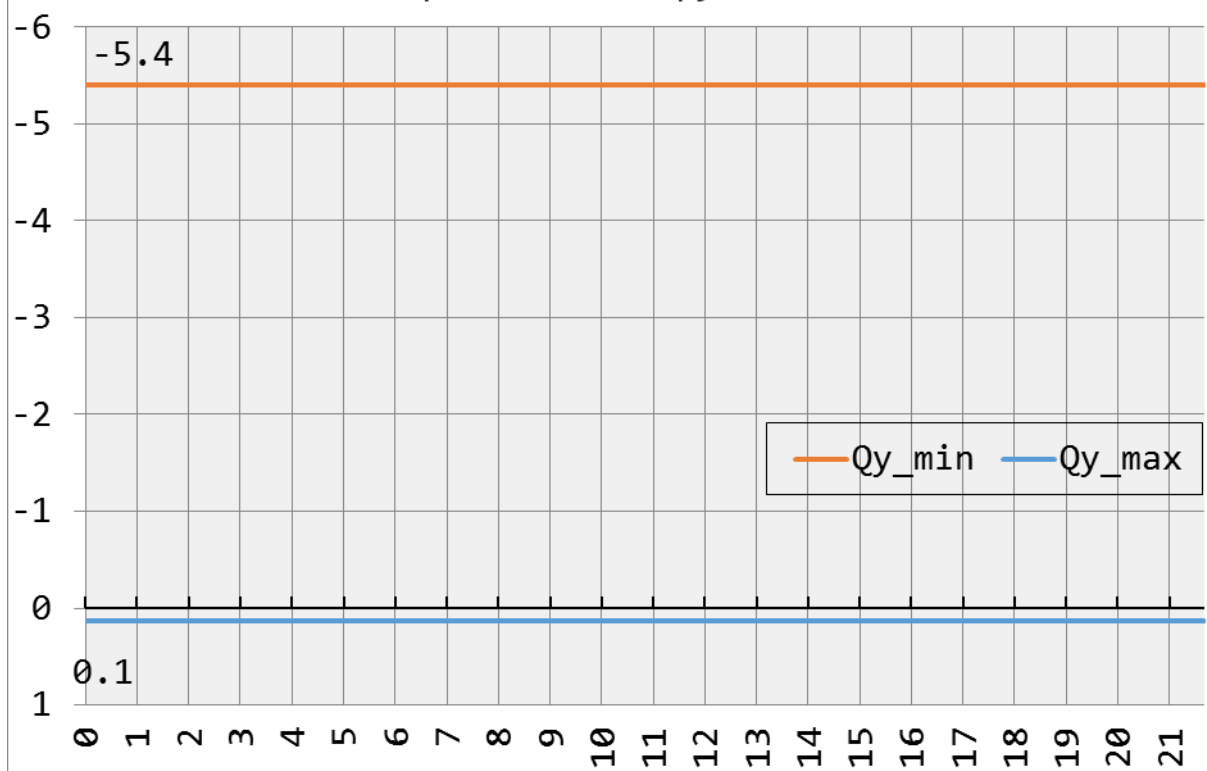
5.4.6 ეპიურები ფეხით მოსიარულეთაგან LM4



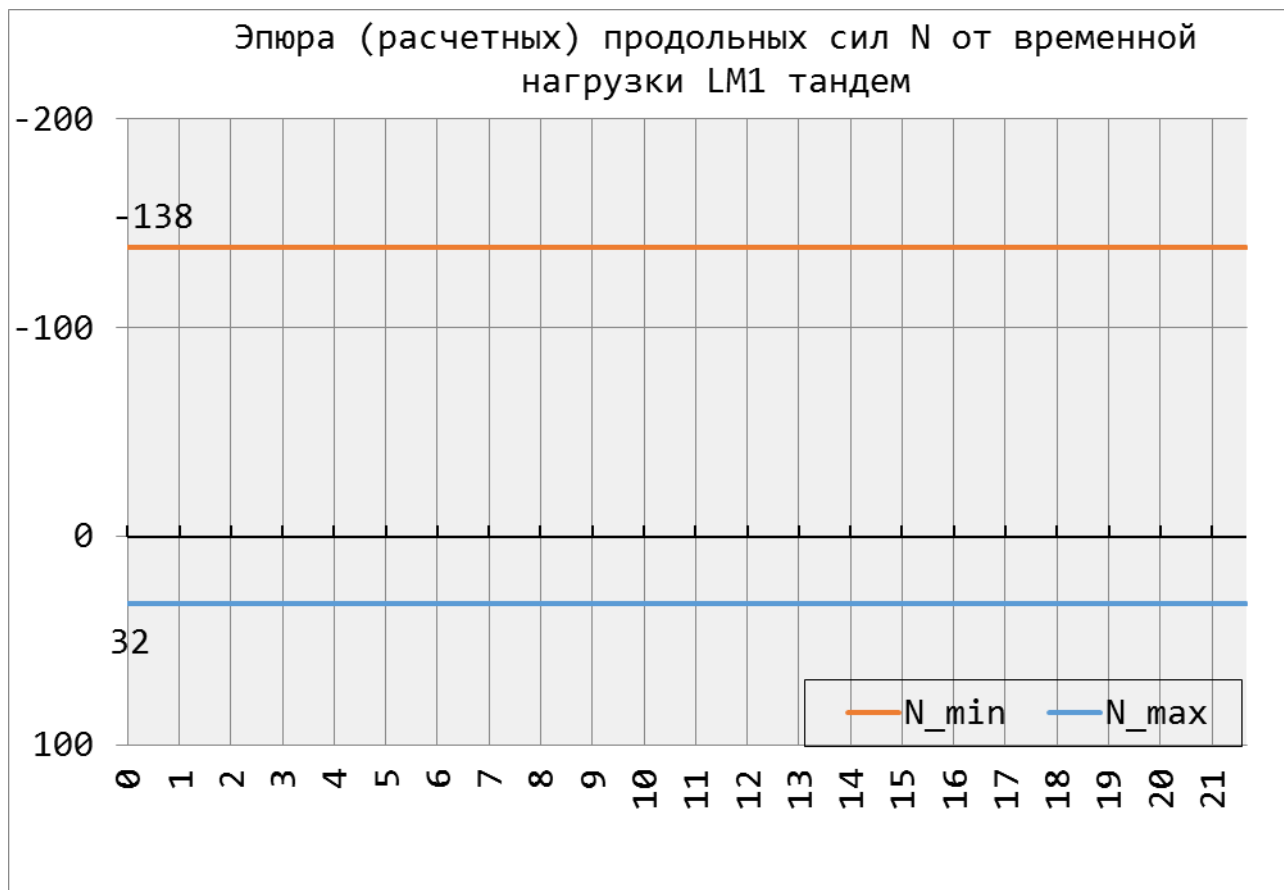
Эпюра (расчетных) изгибающих моментов M_z от временной нагрузки LM4



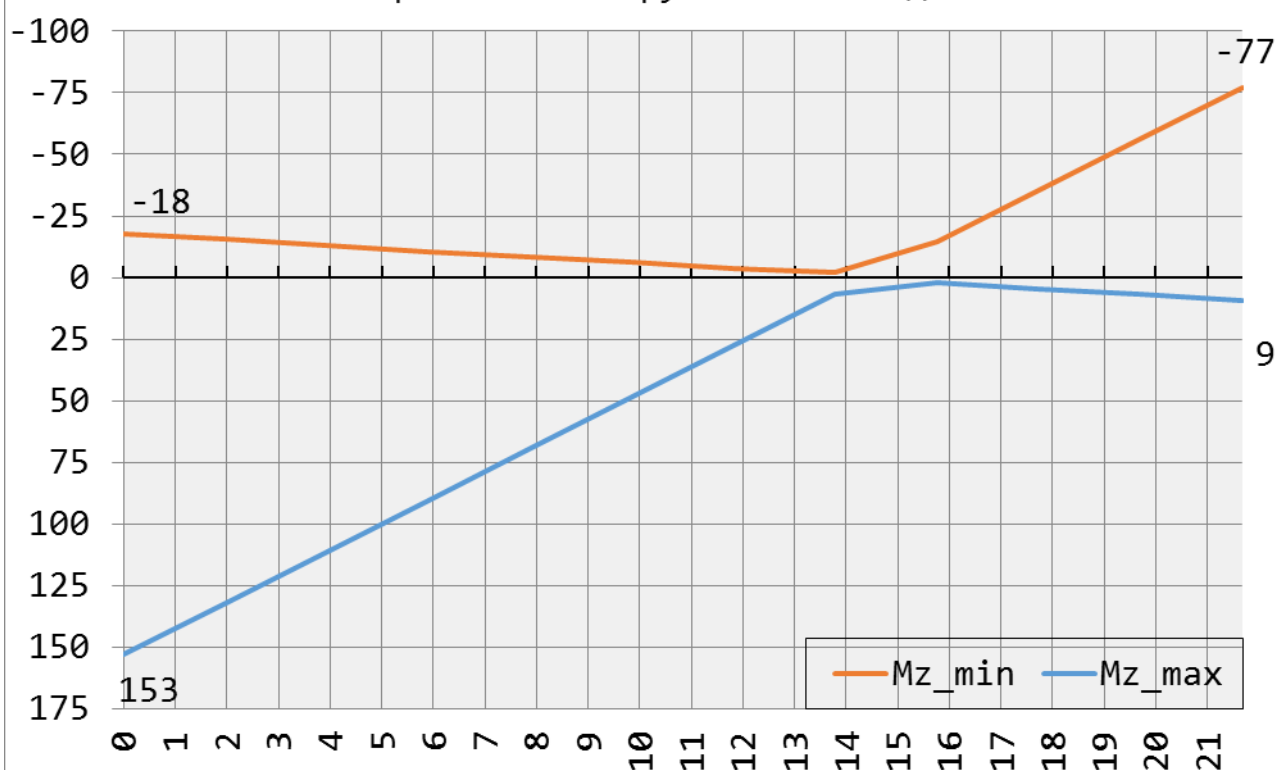
Эпюра (расчетных) поперечных сил Q_y от временной нагрузки LM4



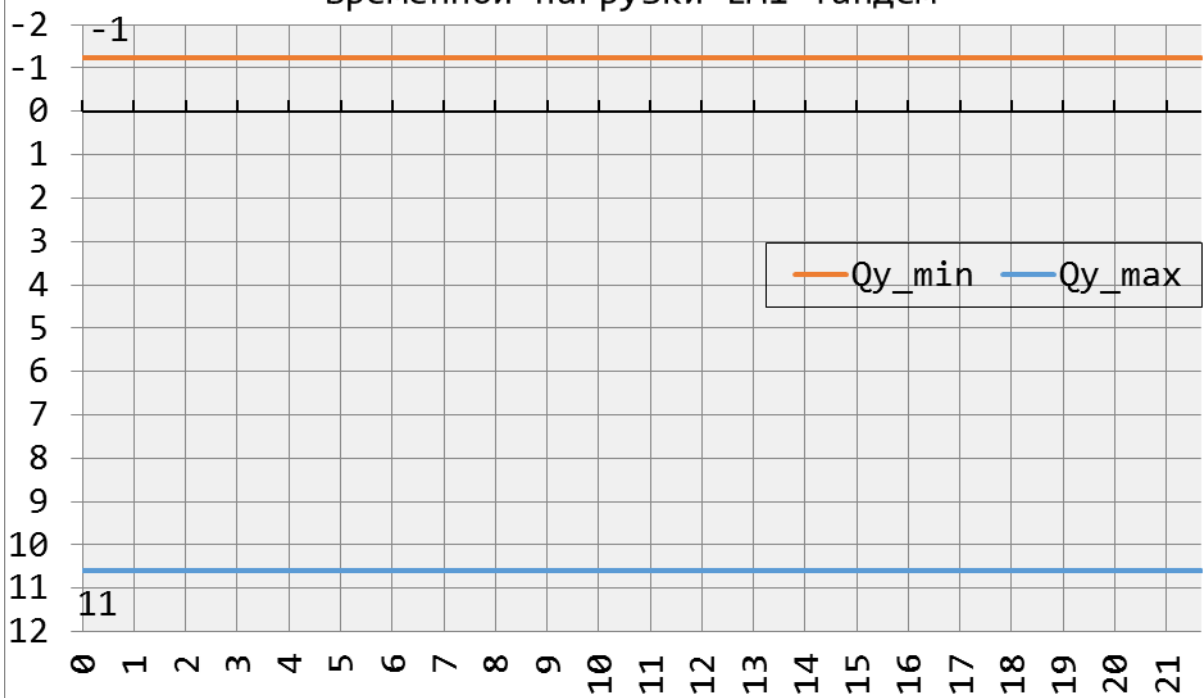
5.4.7 ეპურები ტანდემისაგან LM1



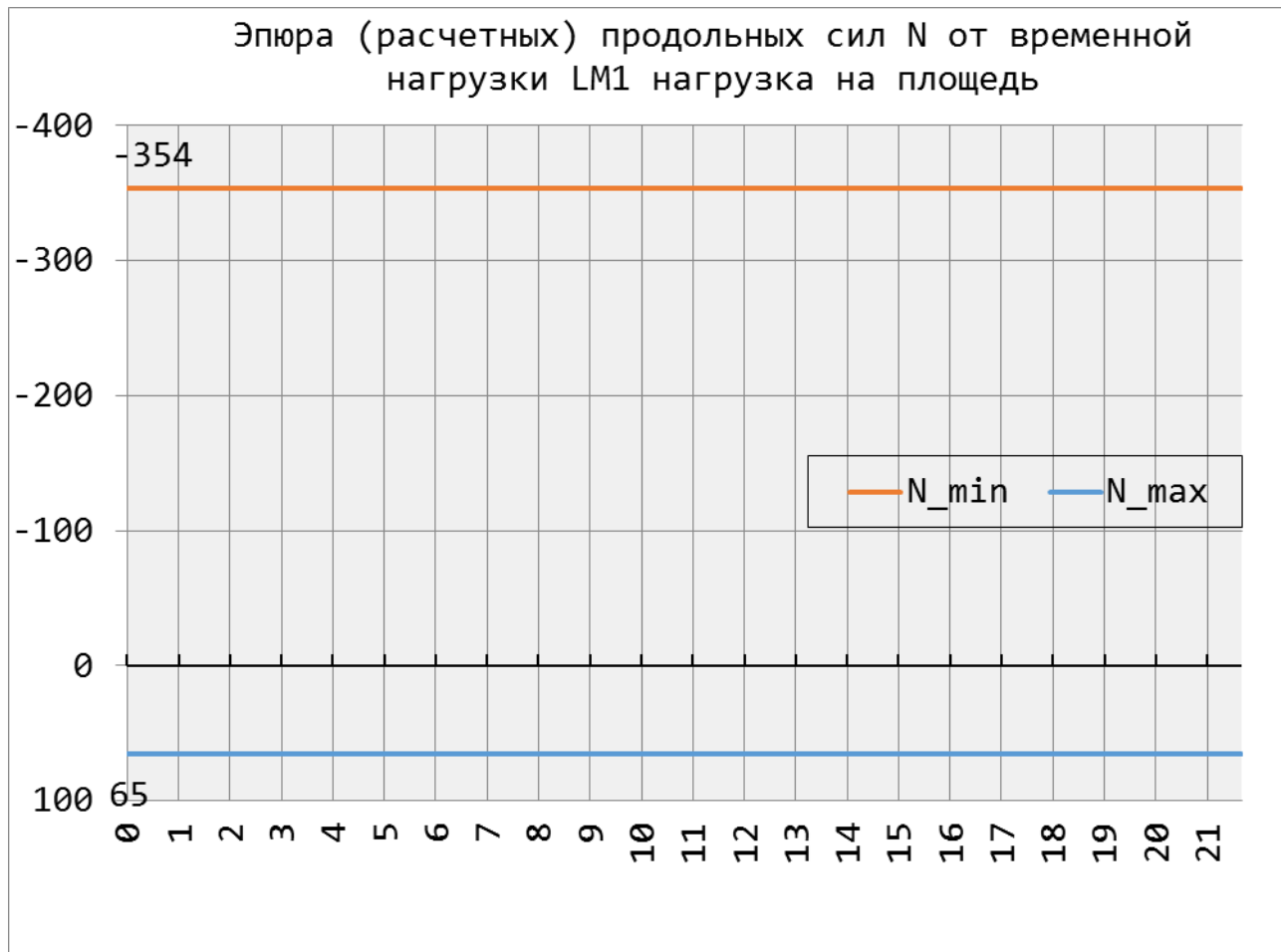
Эпюра (расчетных) изгибающих моментов M_z от временной нагрузки LM1 тандем



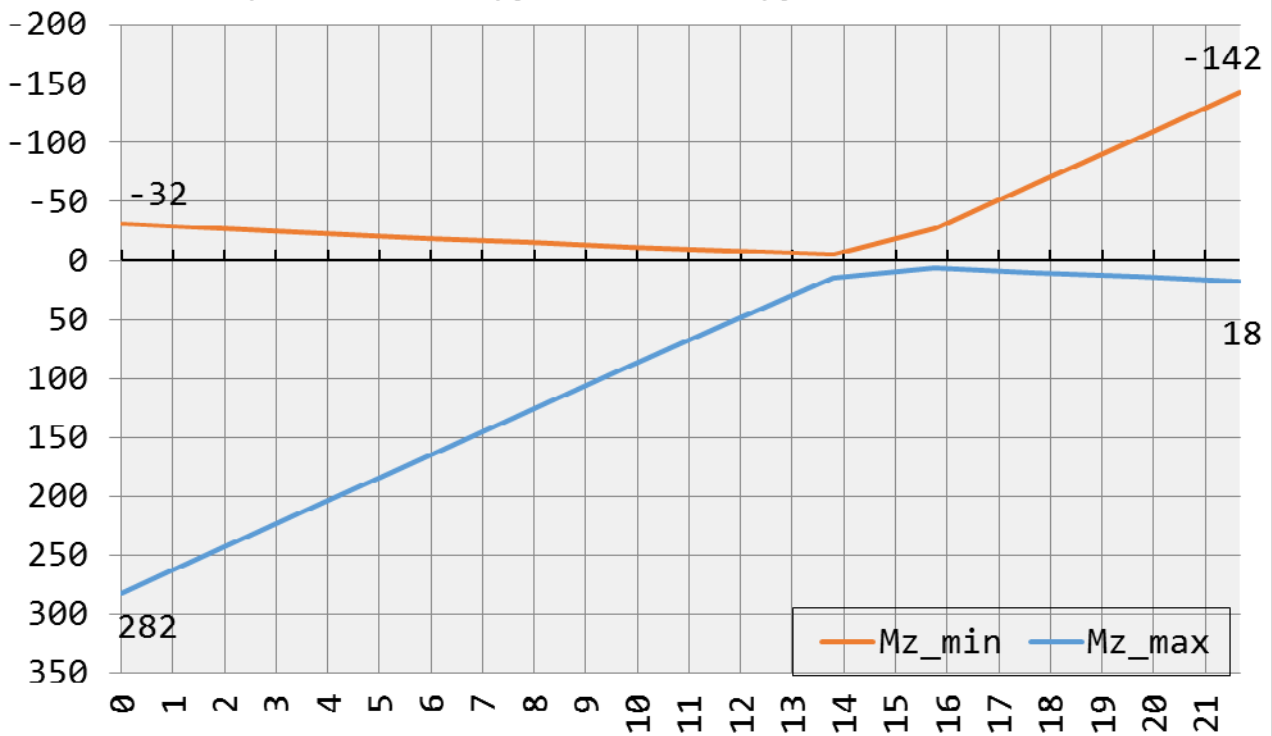
Эпюра (расчетных) поперечных сил Q_y от временной нагрузки LM1 тандем



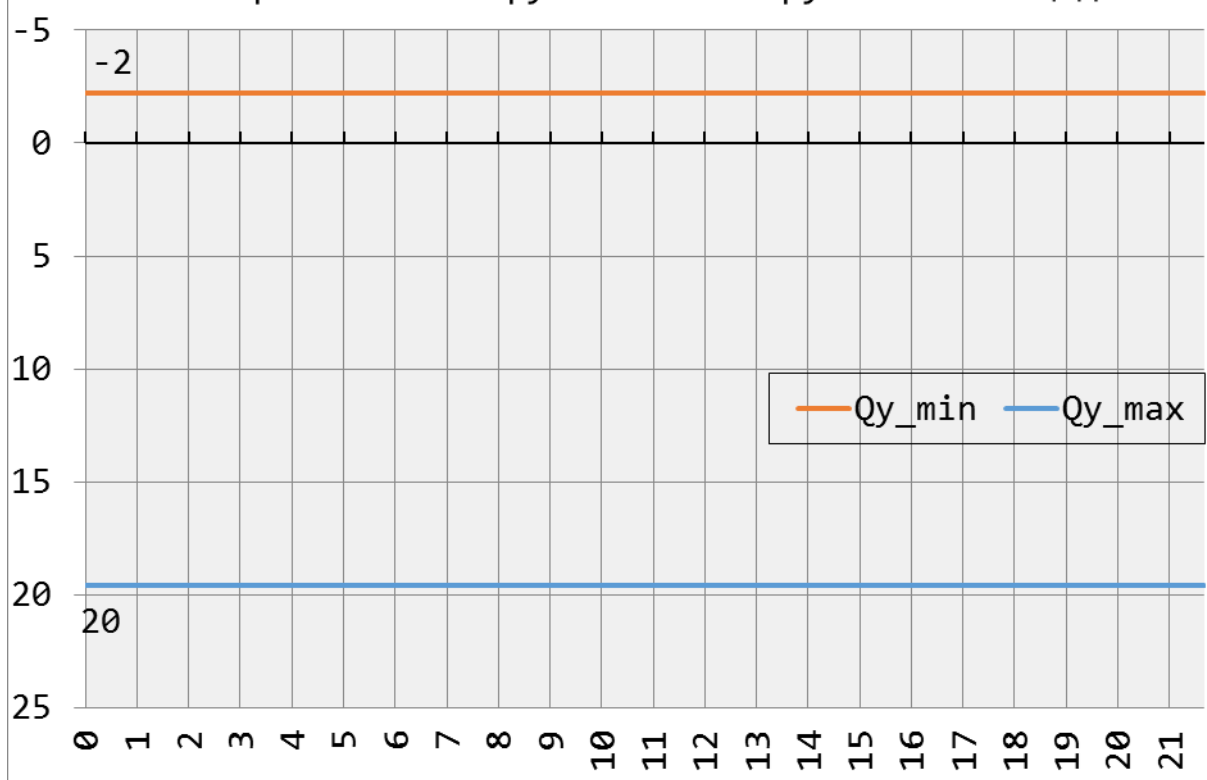
5.4.8 ეპურები განაწილებული LM1



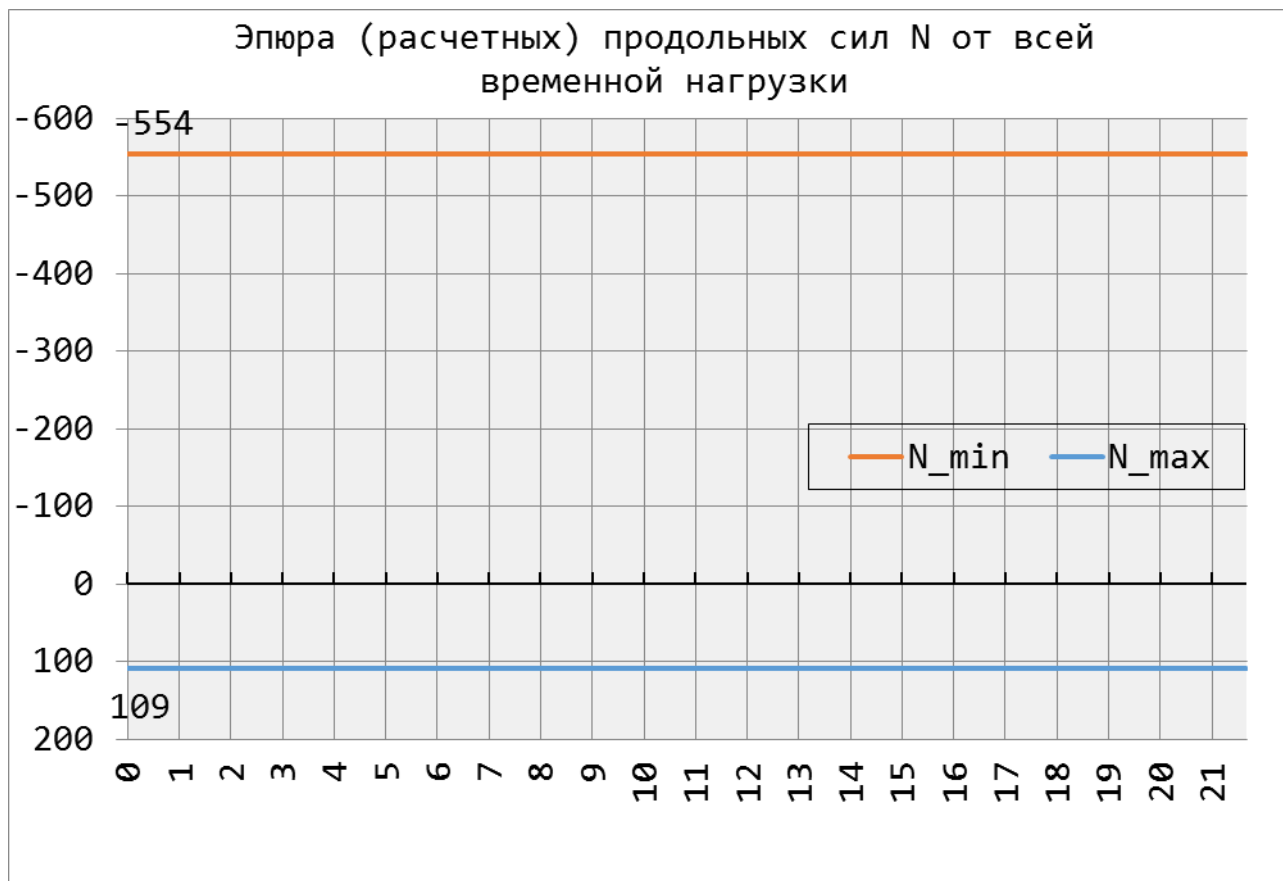
Эпюра (расчетных) изгибающих моментов M_z от временной нагрузки LM1 нагрузка на площадь



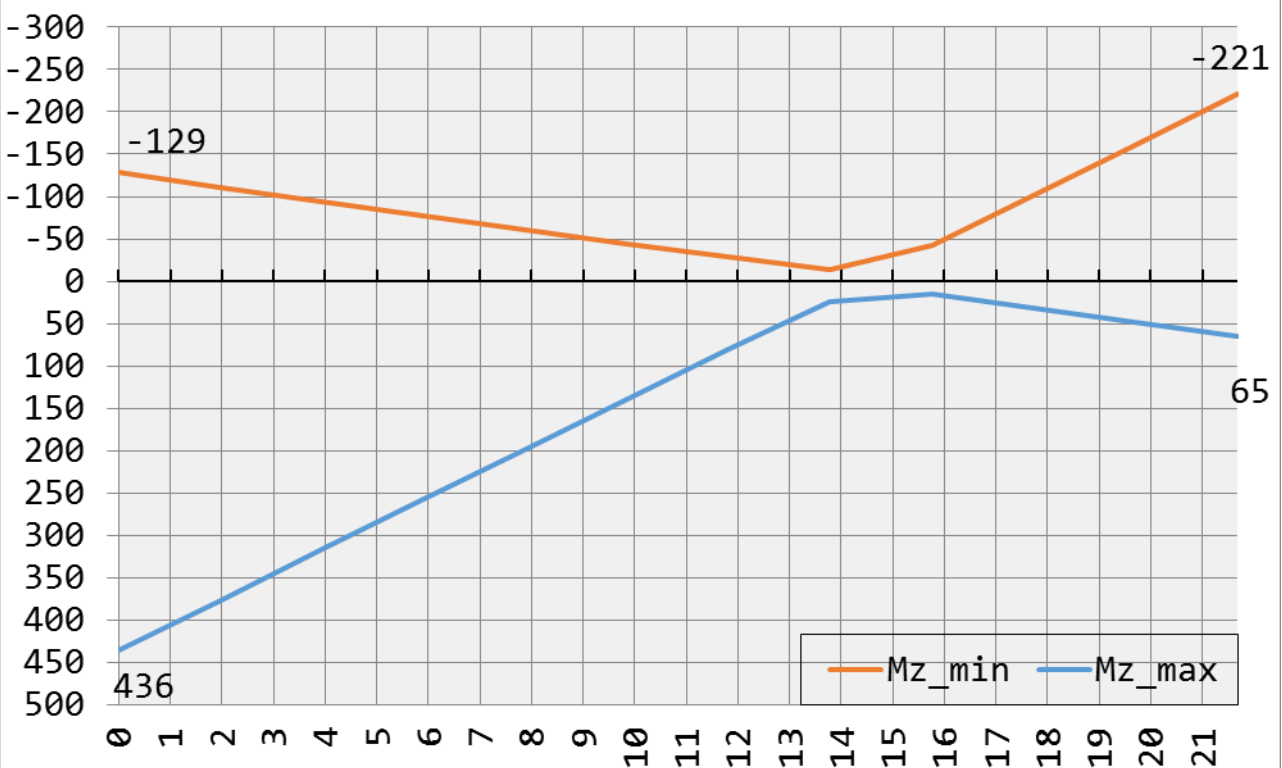
Эпюра (расчетных) поперечных сил Q_y от временной нагрузки LM1 нагрузка на площадь



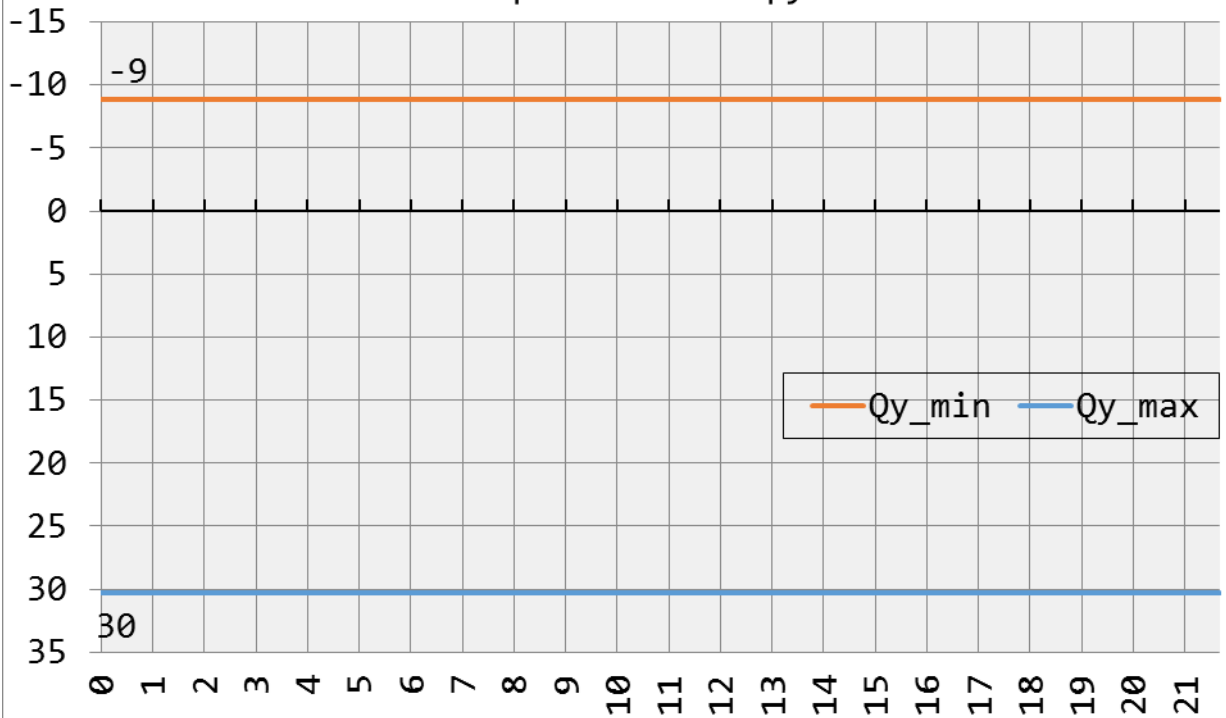
5.4.9 ეპურები ჯამური LM1



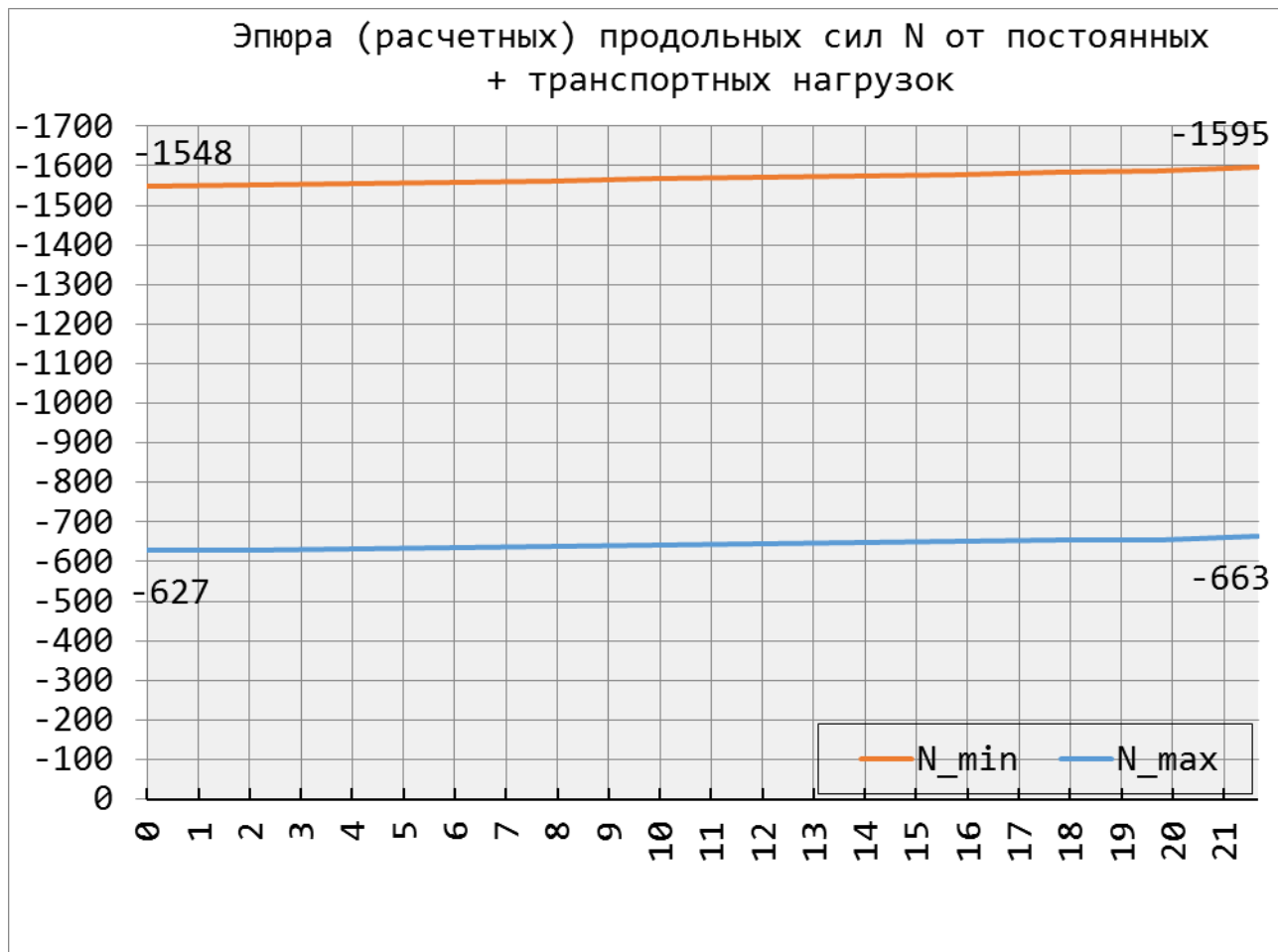
Эпюра (расчетных) изгибающих моментов M_z от всей временной нагрузки



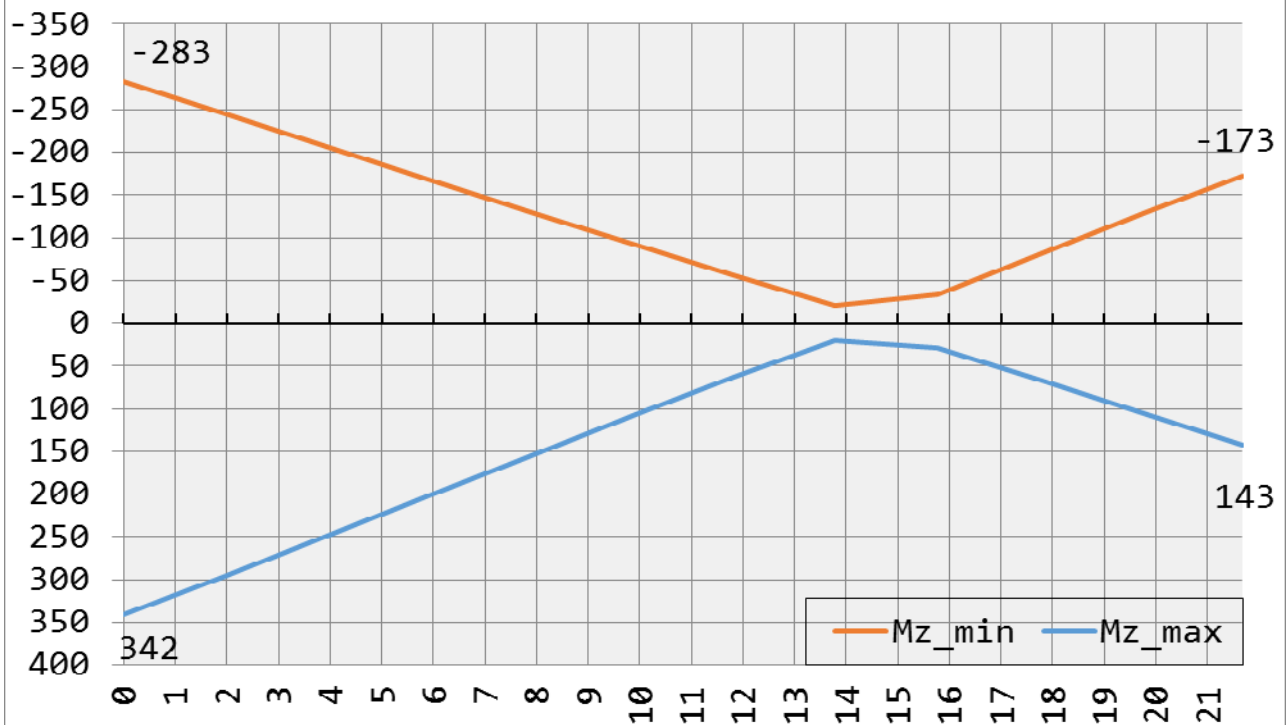
Эпюра (расчетных) поперечных сил Q_y от всей временной нагрузки



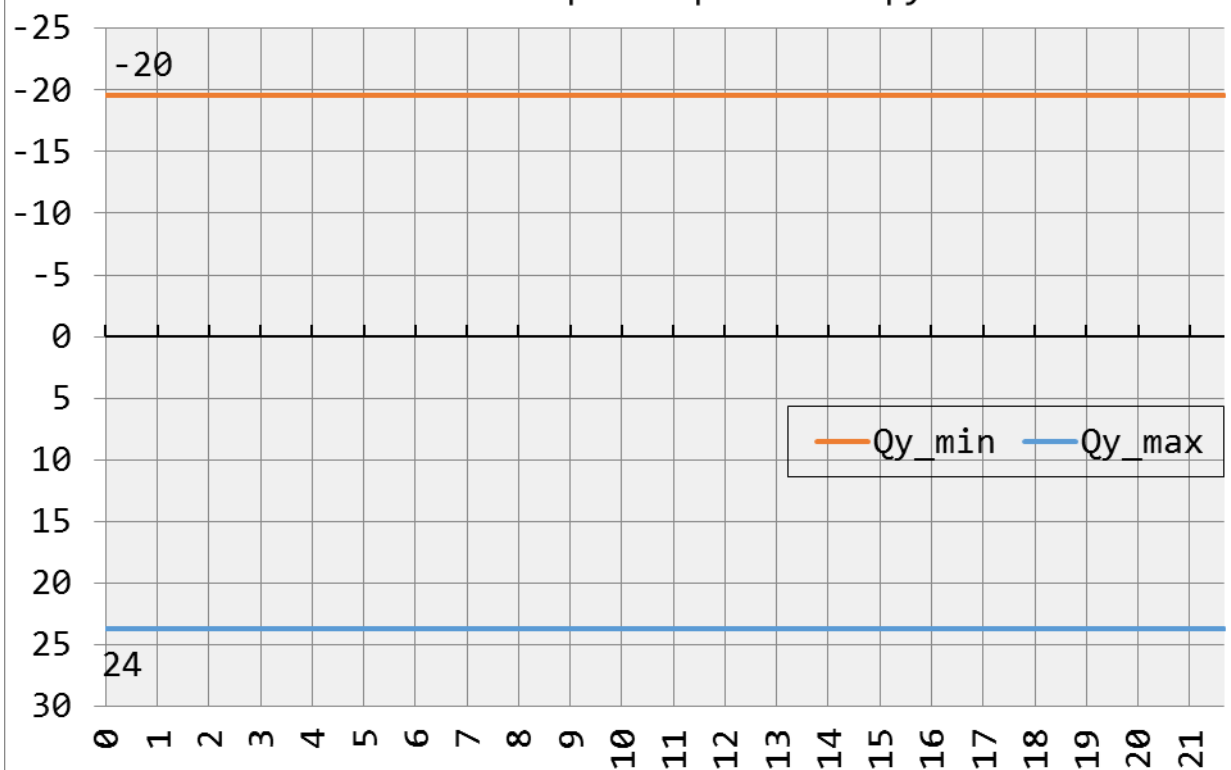
5.4.10 ეპიურები ყველა დატვირთვებისგან



Эпюра (расчетных) изгибающих моментов M_z от
постоянных + транспортных нагрузок

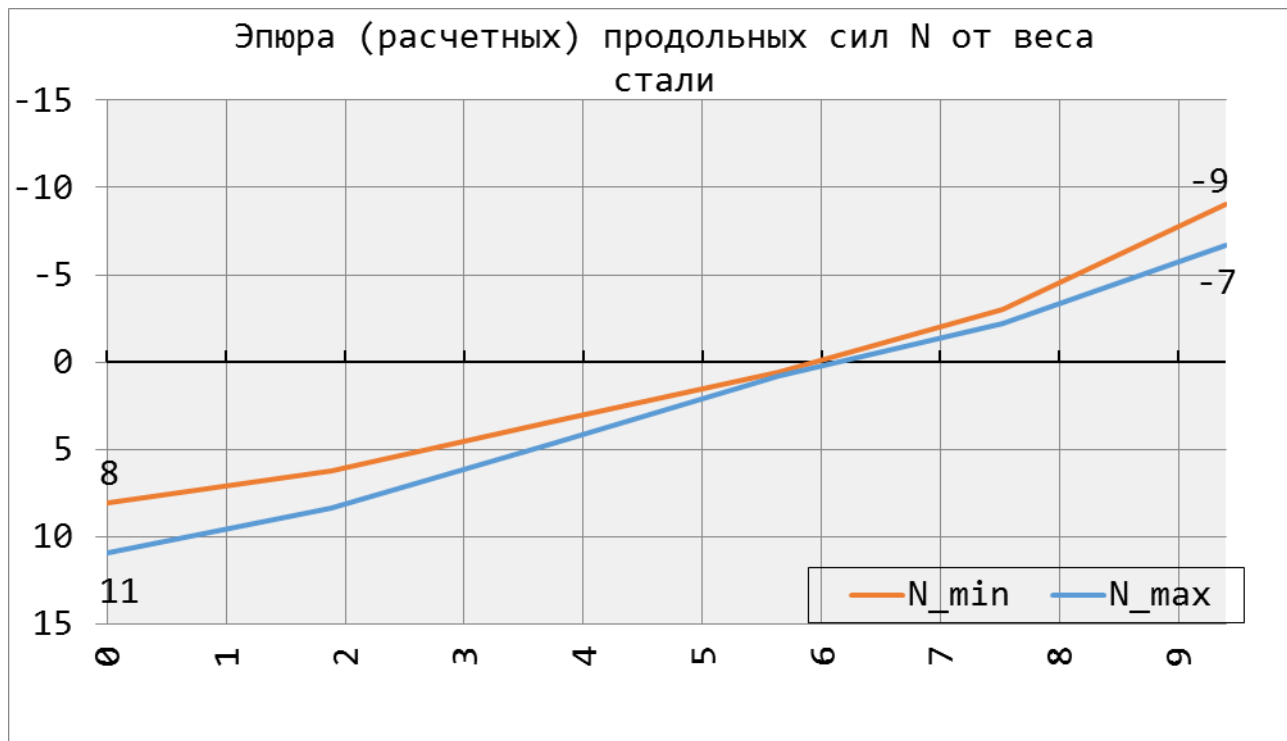


Эпюра (расчетных) поперечных сил Q_y от
постоянных + транспортных нагрузок

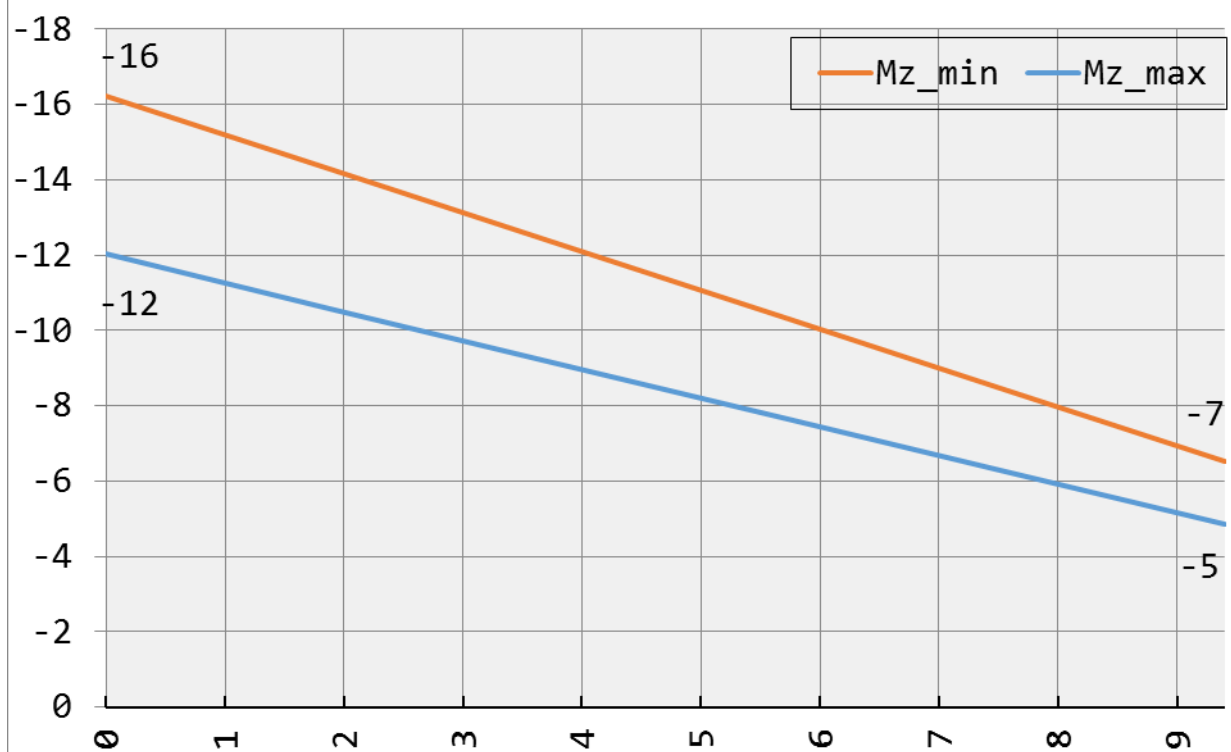


5.5 ძალების დგარი 2

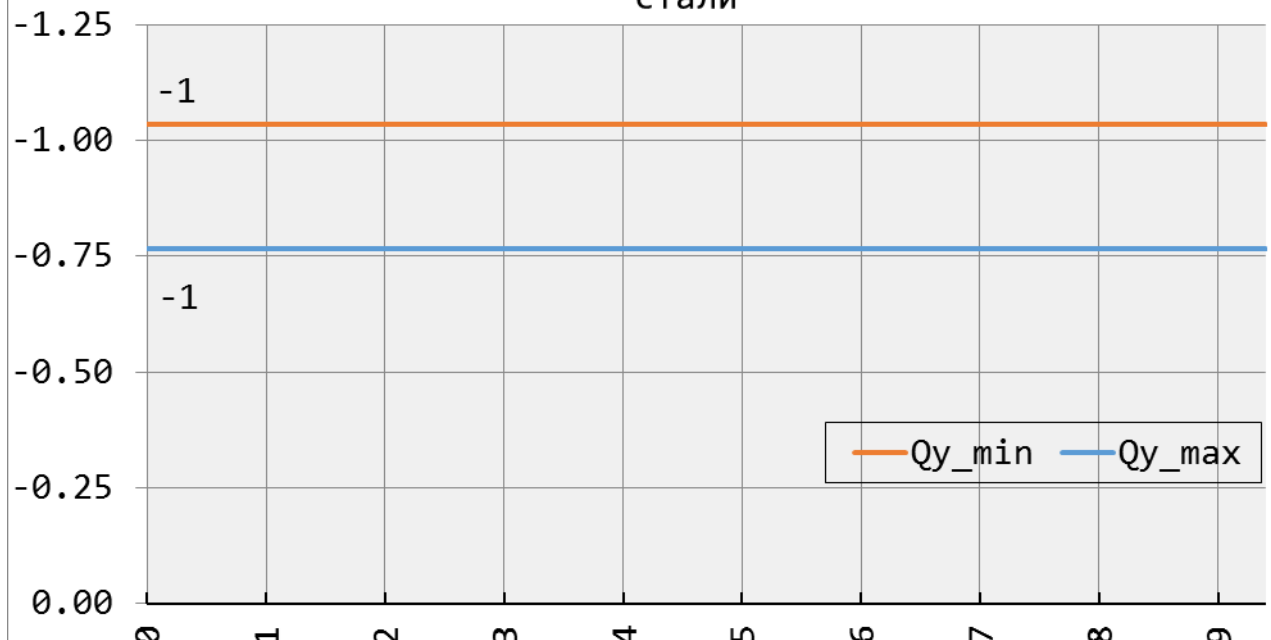
5.5.1 ეპიურები ფოლადის წონისაგან



Эпюра (расчетных) изгибающих моментов M_z от веса стали



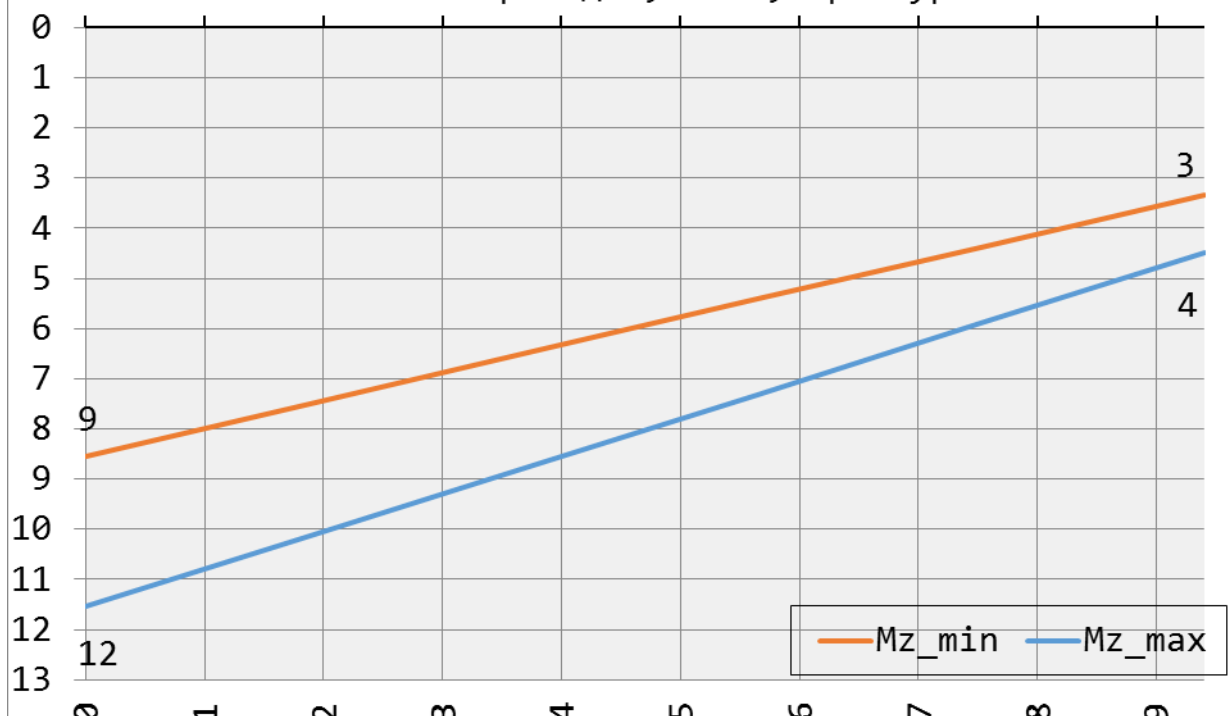
Эпюра (расчетных) поперечных сил Q_y от веса стали



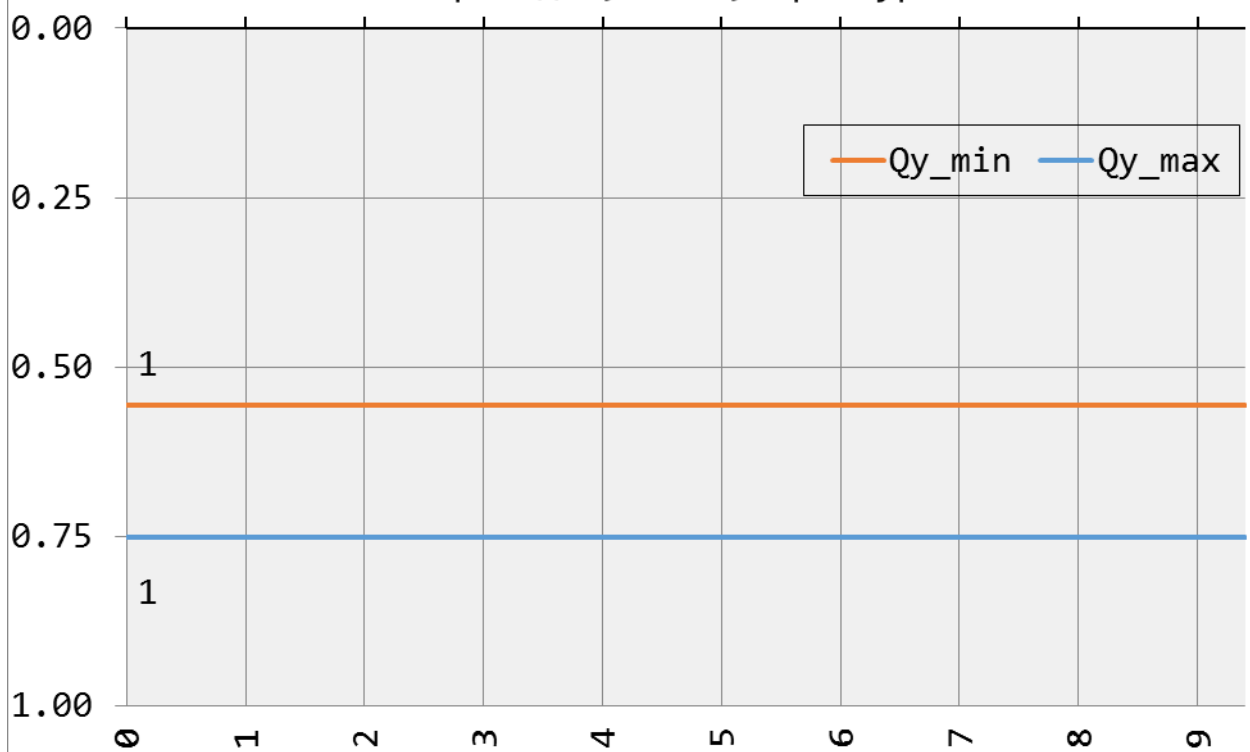
5.5.2 ეპიურები გასასვლელების, ანაკრები ფილების და არმატურის წონისაგან



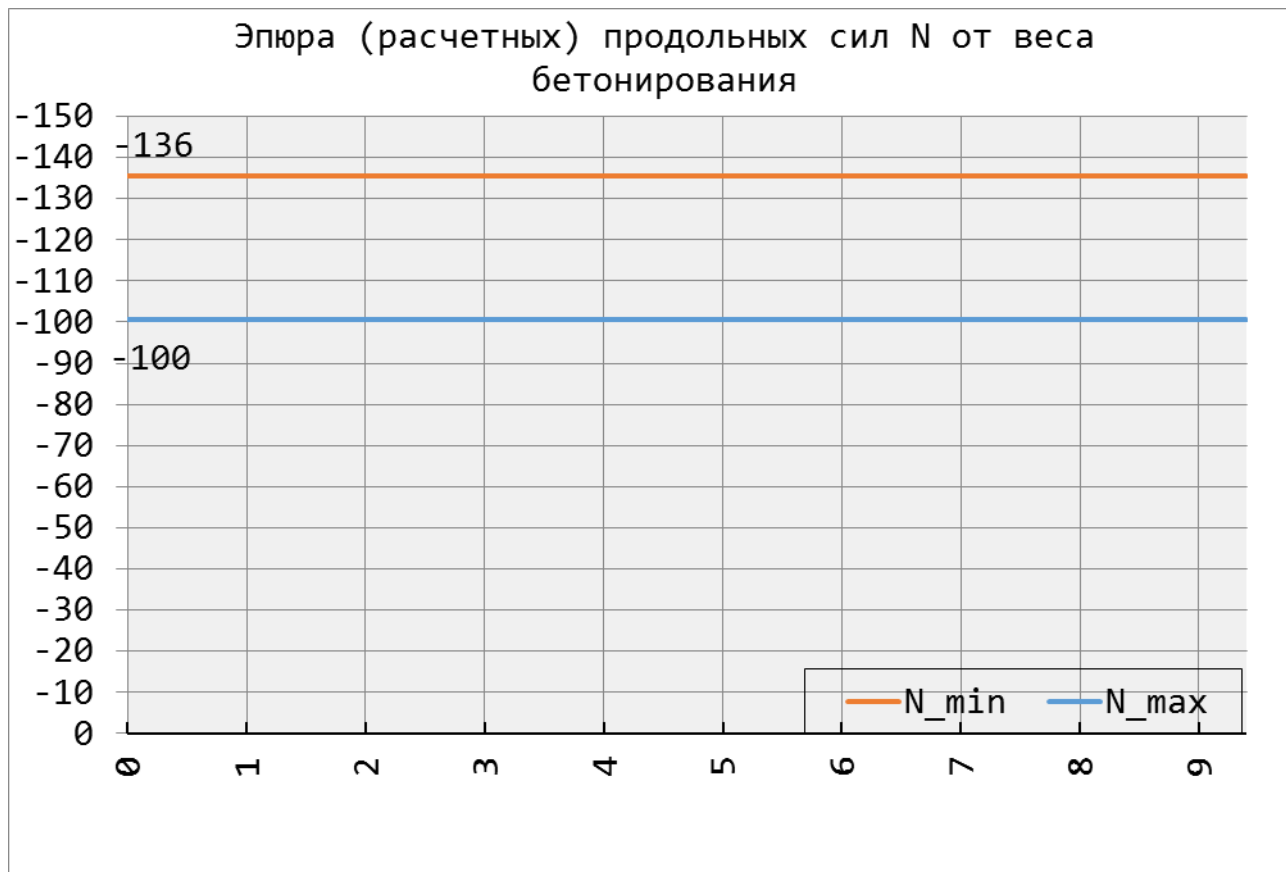
Эпюра (расчетных) изгибающих моментов M_z от веса проходов, плит, арматуры



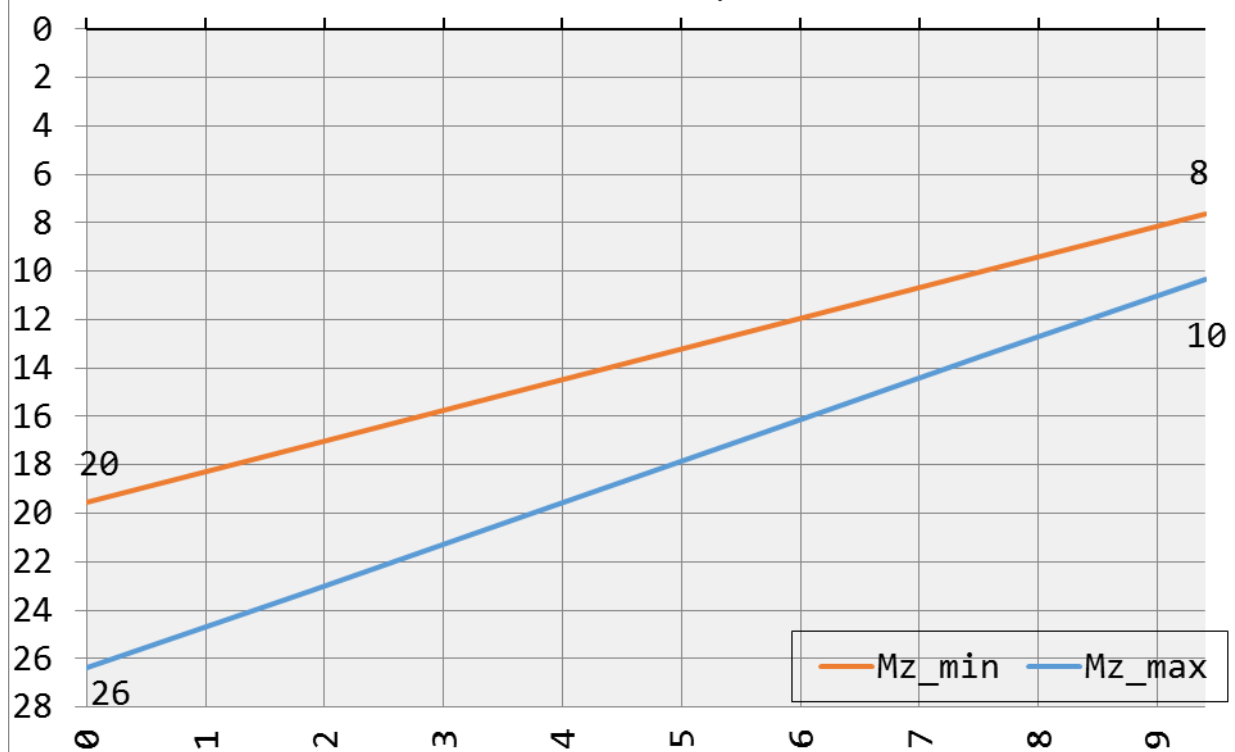
Эпюра (расчетных) поперечных сил Q_y от веса проходов, плит, арматуры



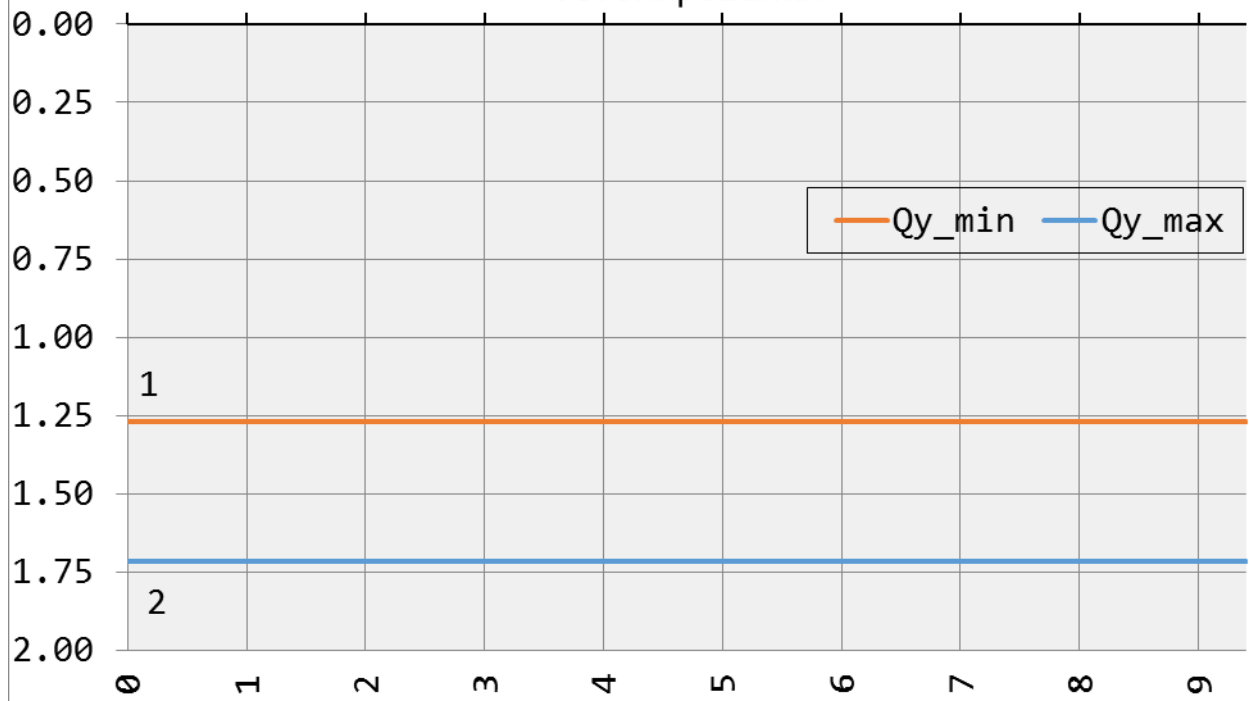
5.5.3 ეპურების ბეჭონის შობისაგან



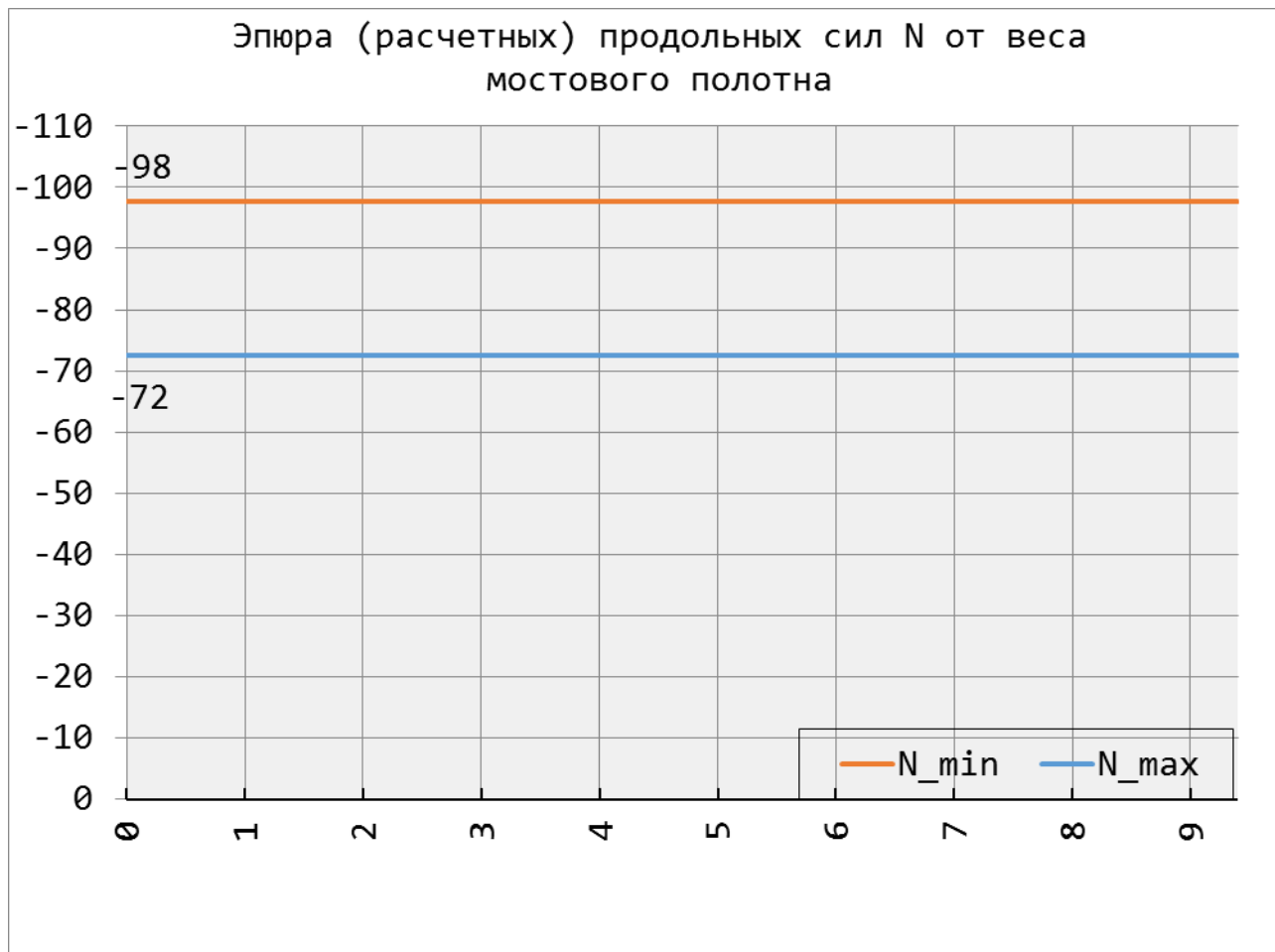
Эпюра (расчетных) изгибающих моментов M_z от веса бетонирования



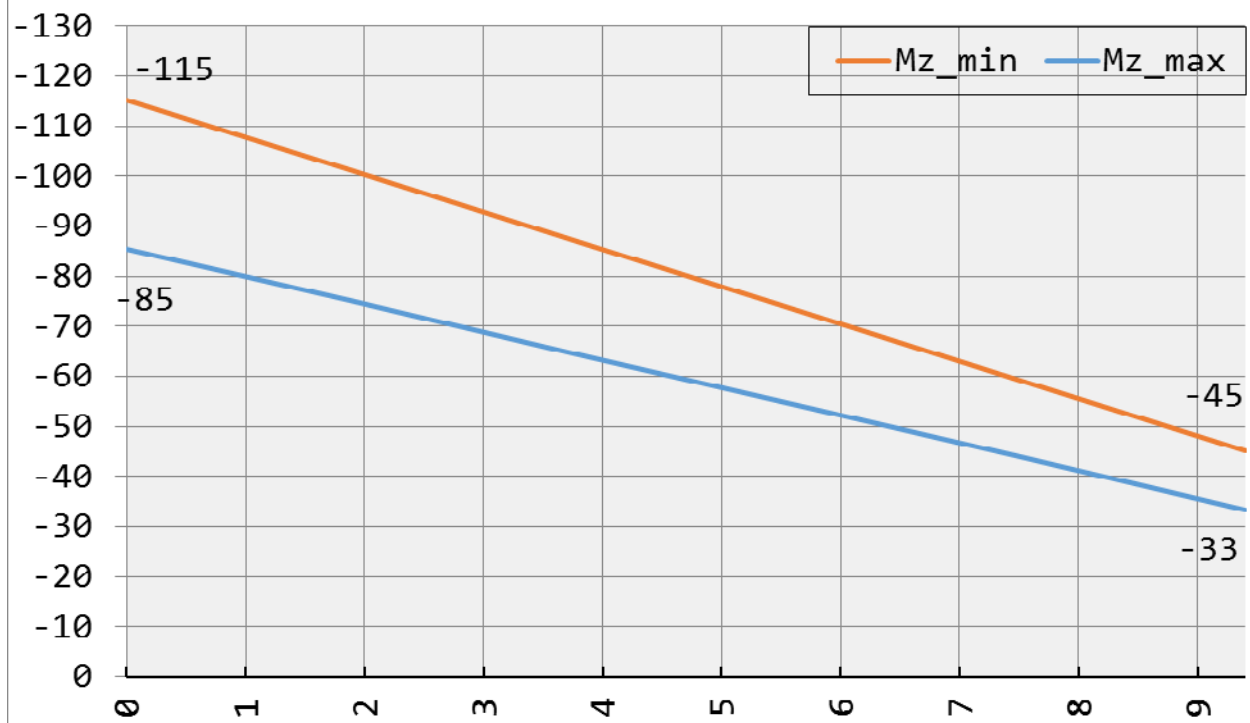
Эпюра (расчетных) поперечных сил Q_y от веса бетонирования



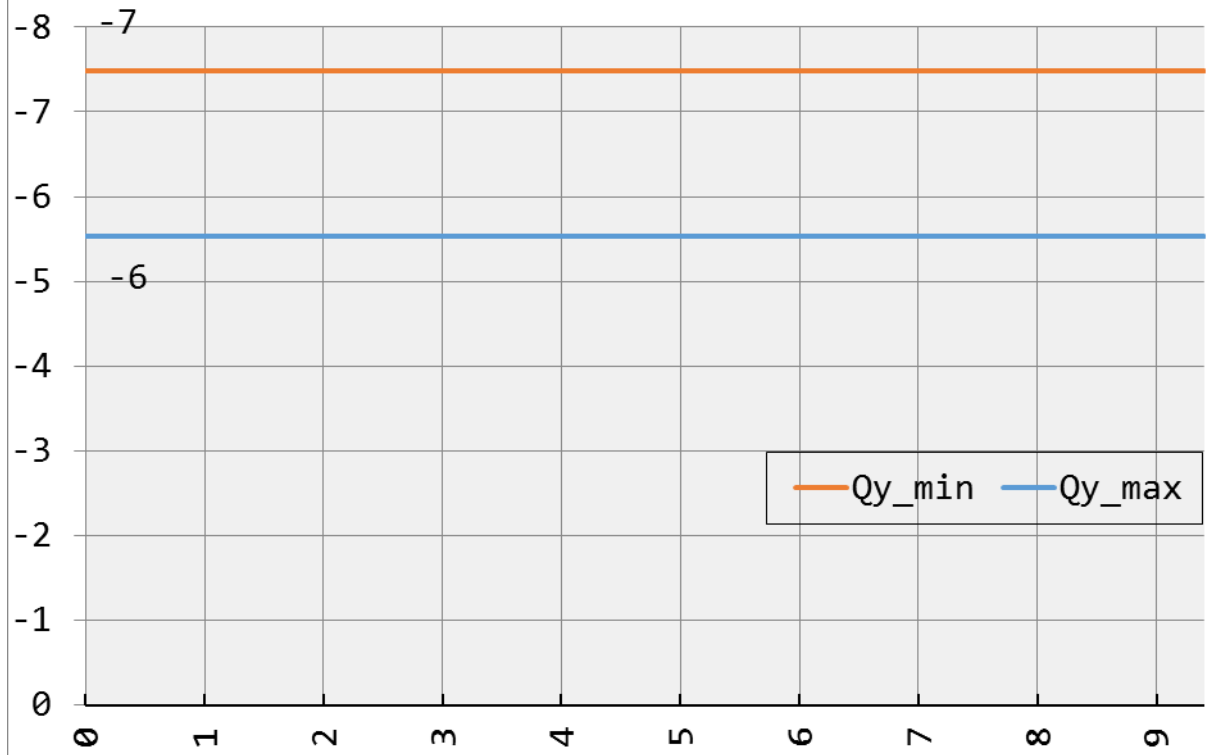
5.5.4 ებიურები ხიდის გაკისის წონისაგან



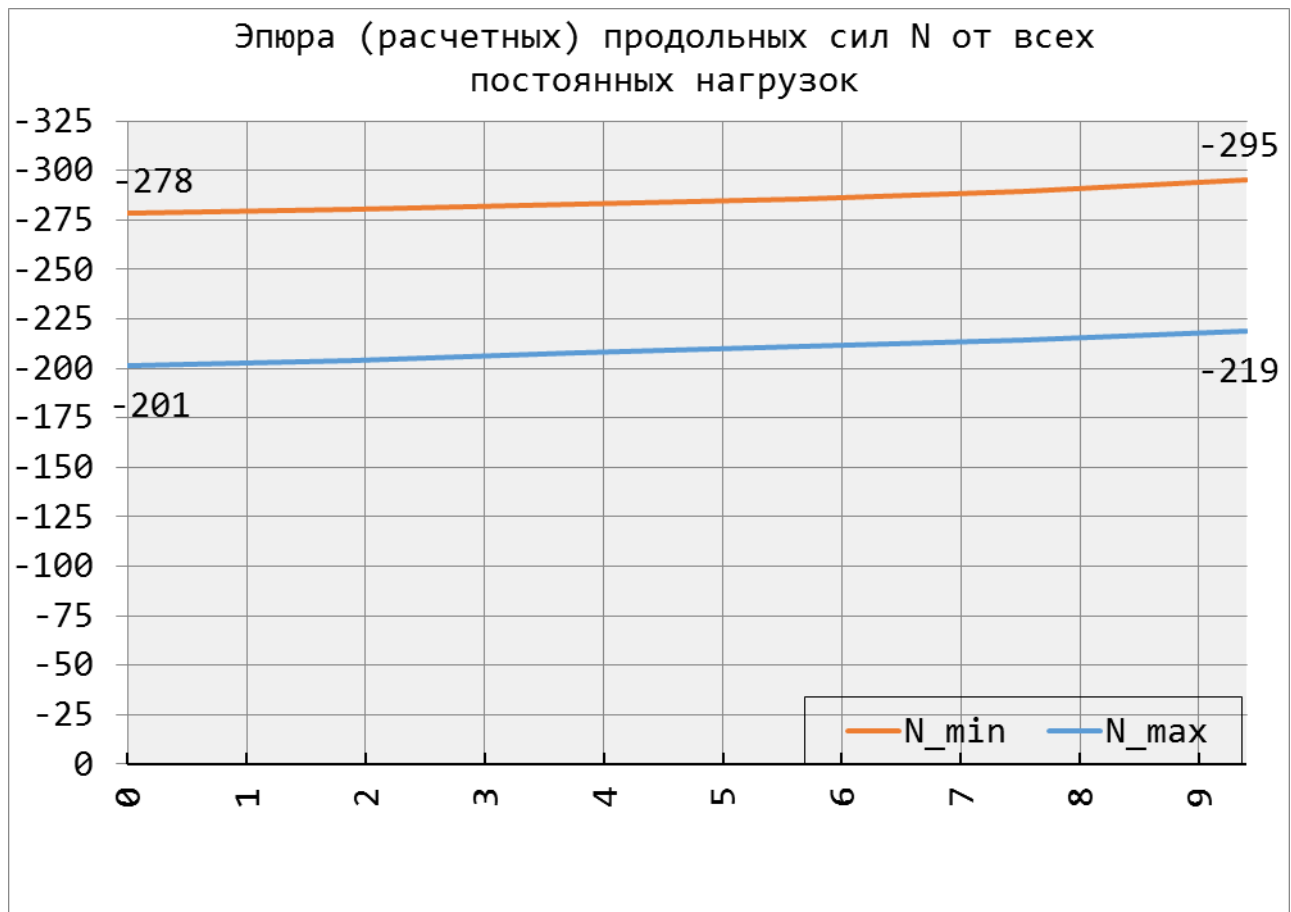
Эпюра (расчетных) изгибающих моментов M_z от веса мостового полотна



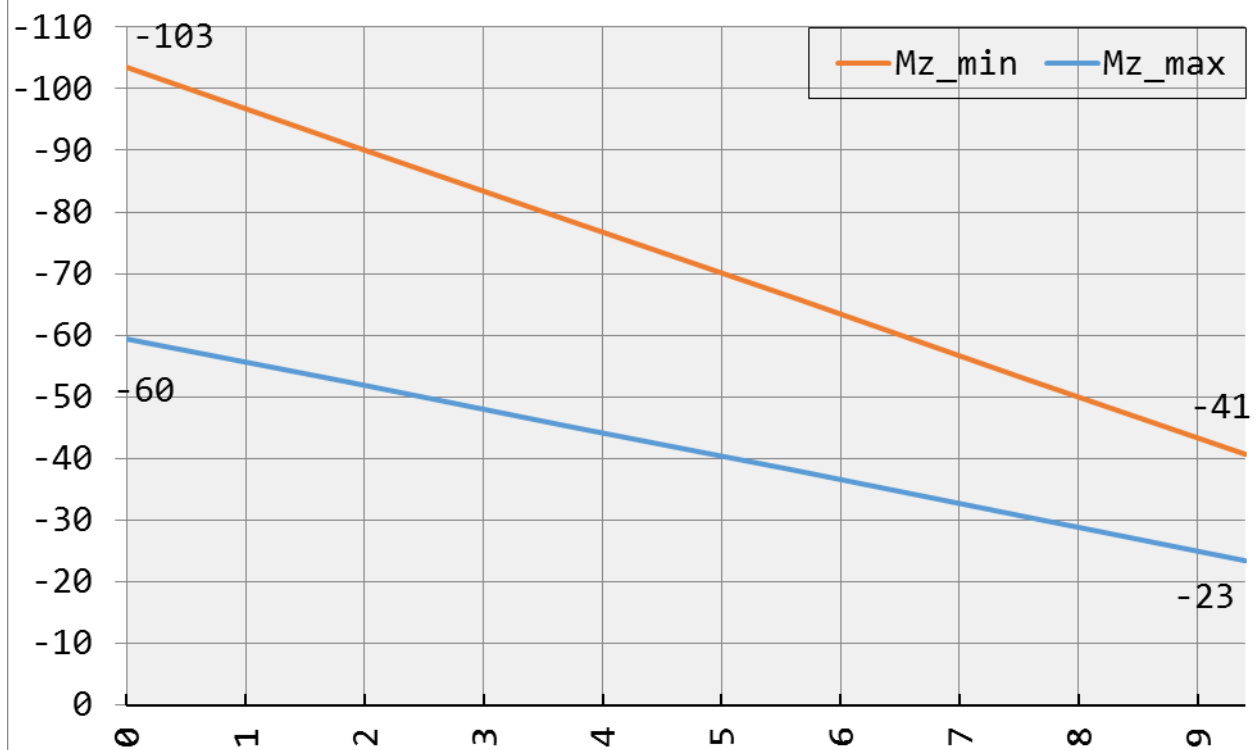
Эпюра (расчетных) поперечных сил Q_y от веса мостового полотна



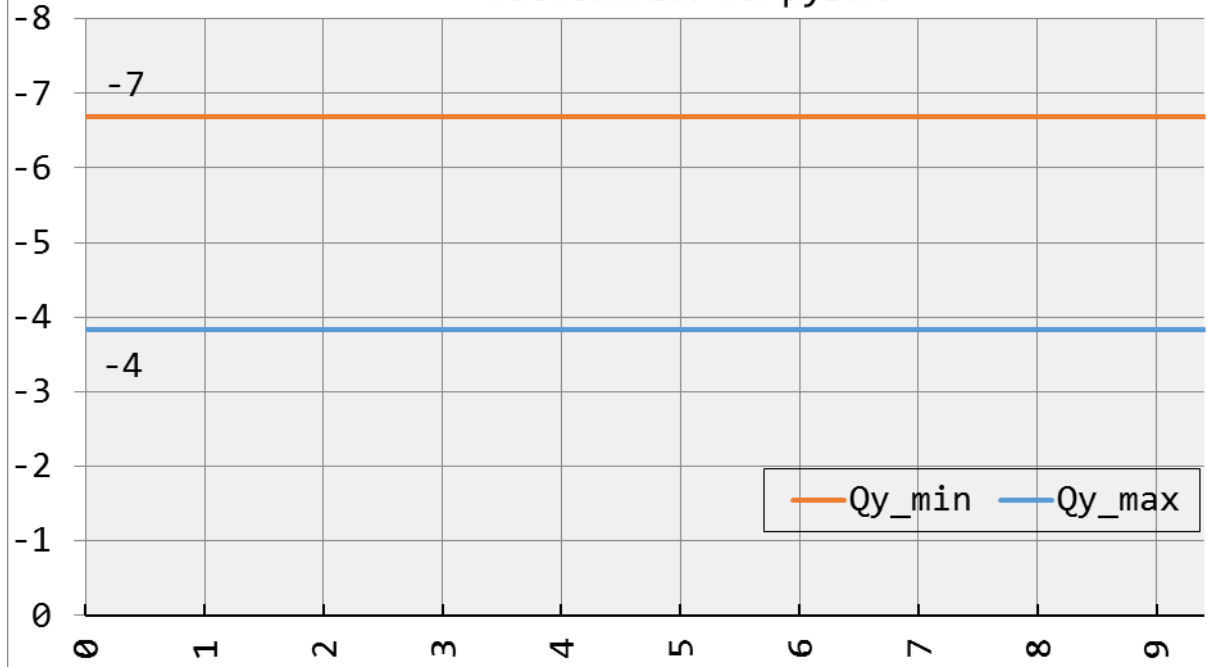
5.5.5 ეპურები ყველა მუდმივი დატვირთვებისგან



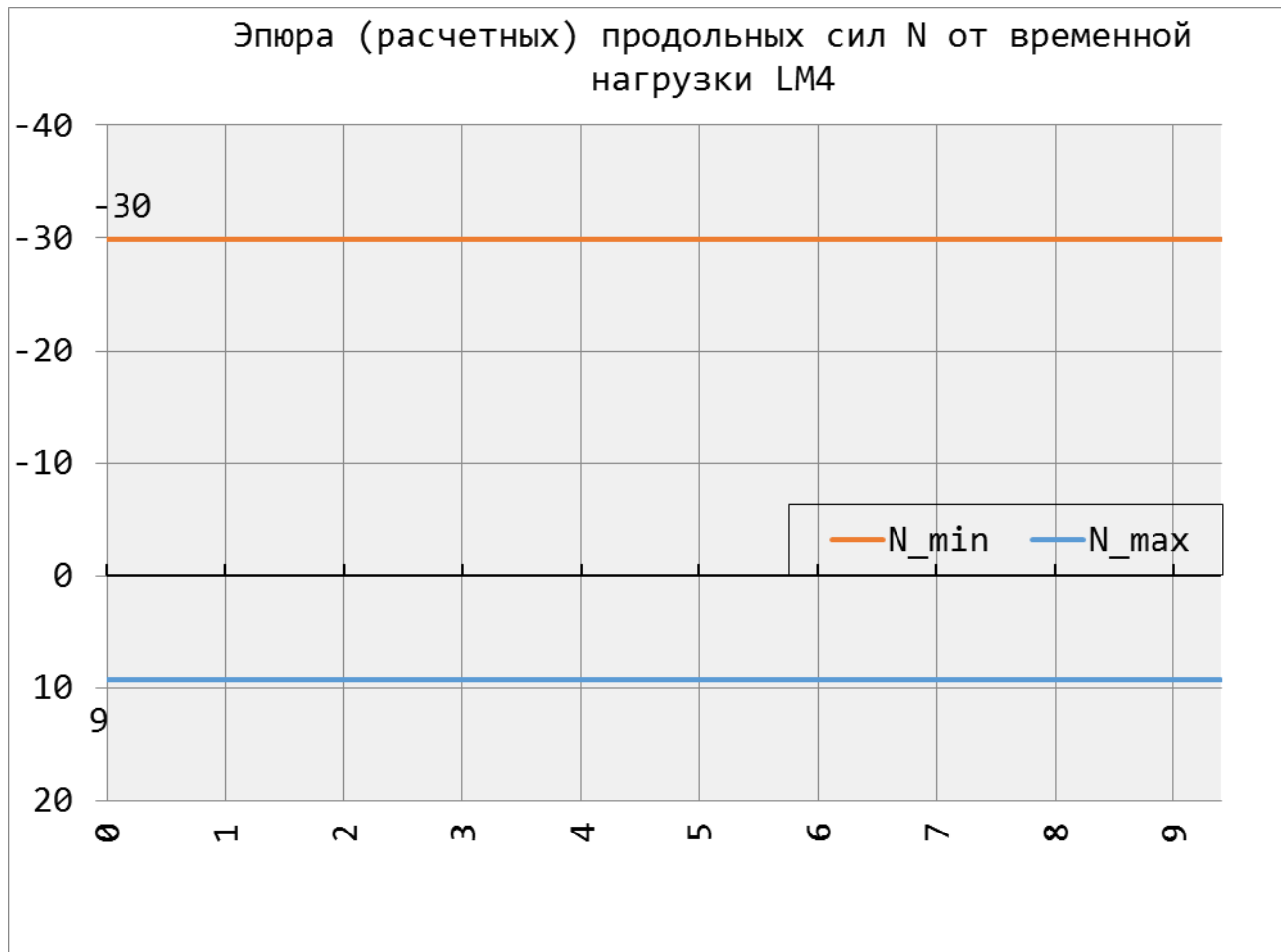
Эпюра (расчетных) изгибающих моментов M_z от веса
постоянных нагрузок



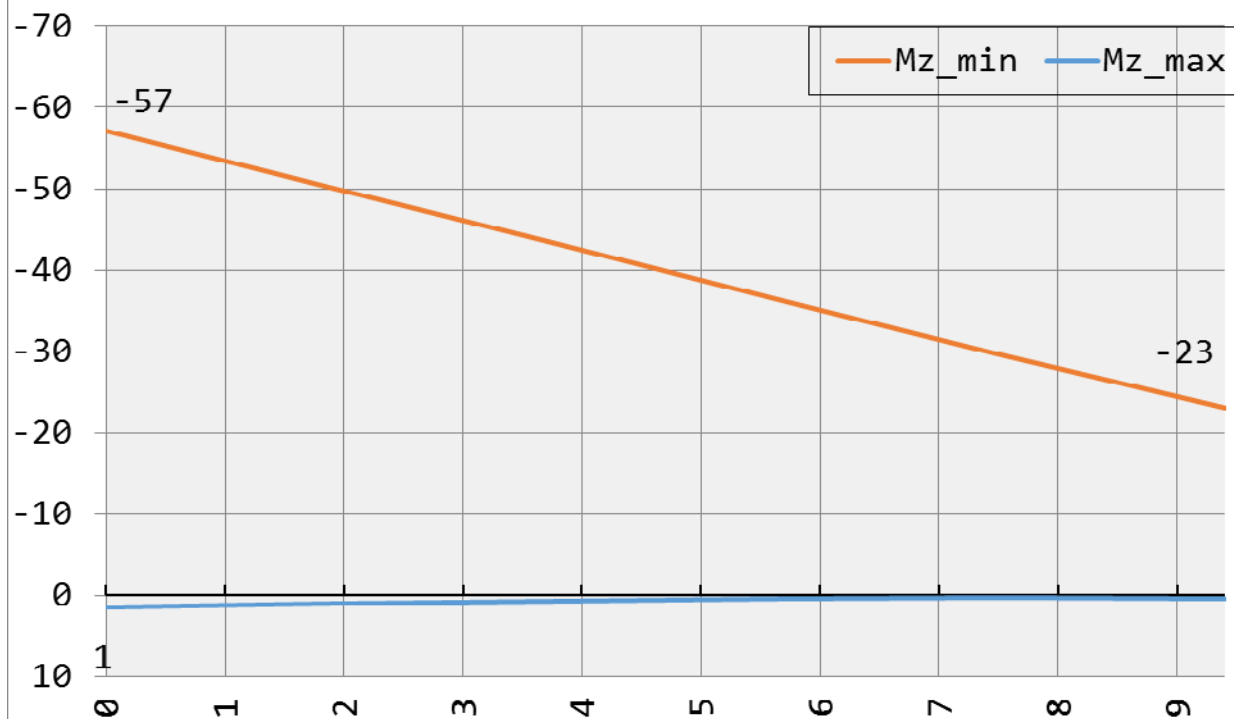
Эпюра (расчетных) поперечных сил Q_y от веса
постоянных нагрузок



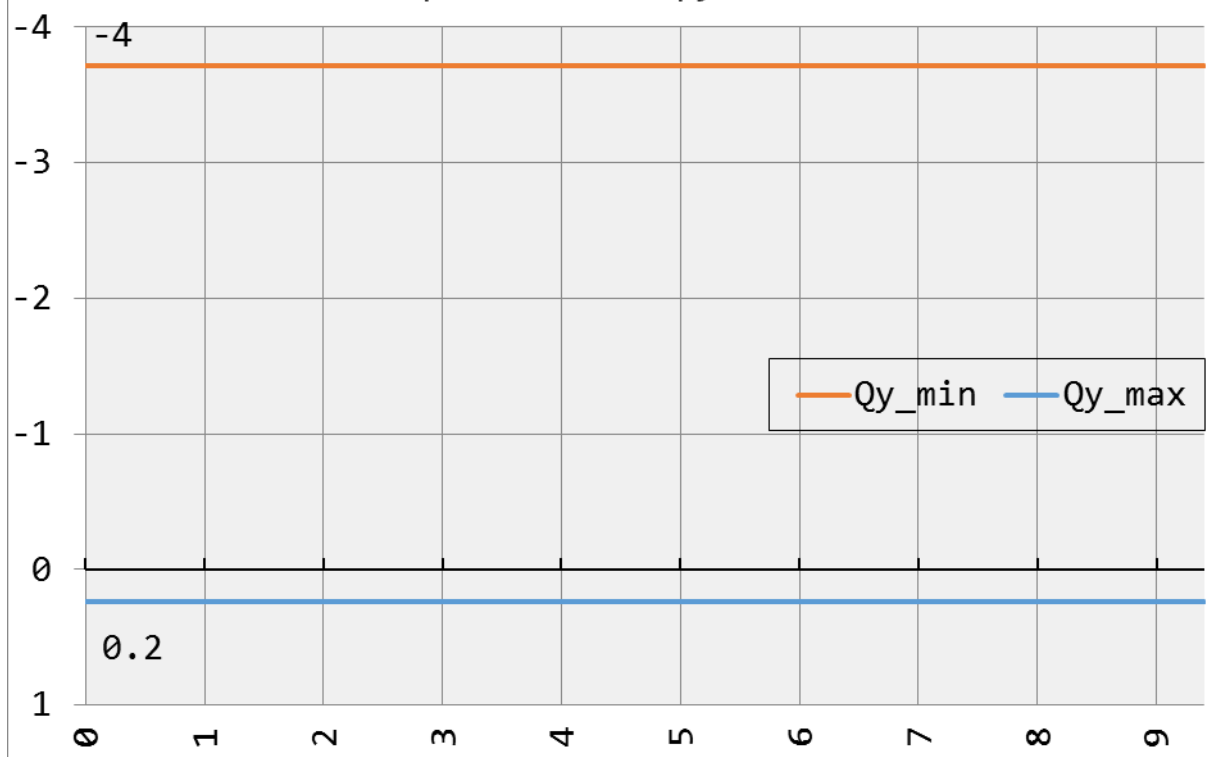
5.5.6 ეპურები ფეხით მოსიარულეთაგან LM4



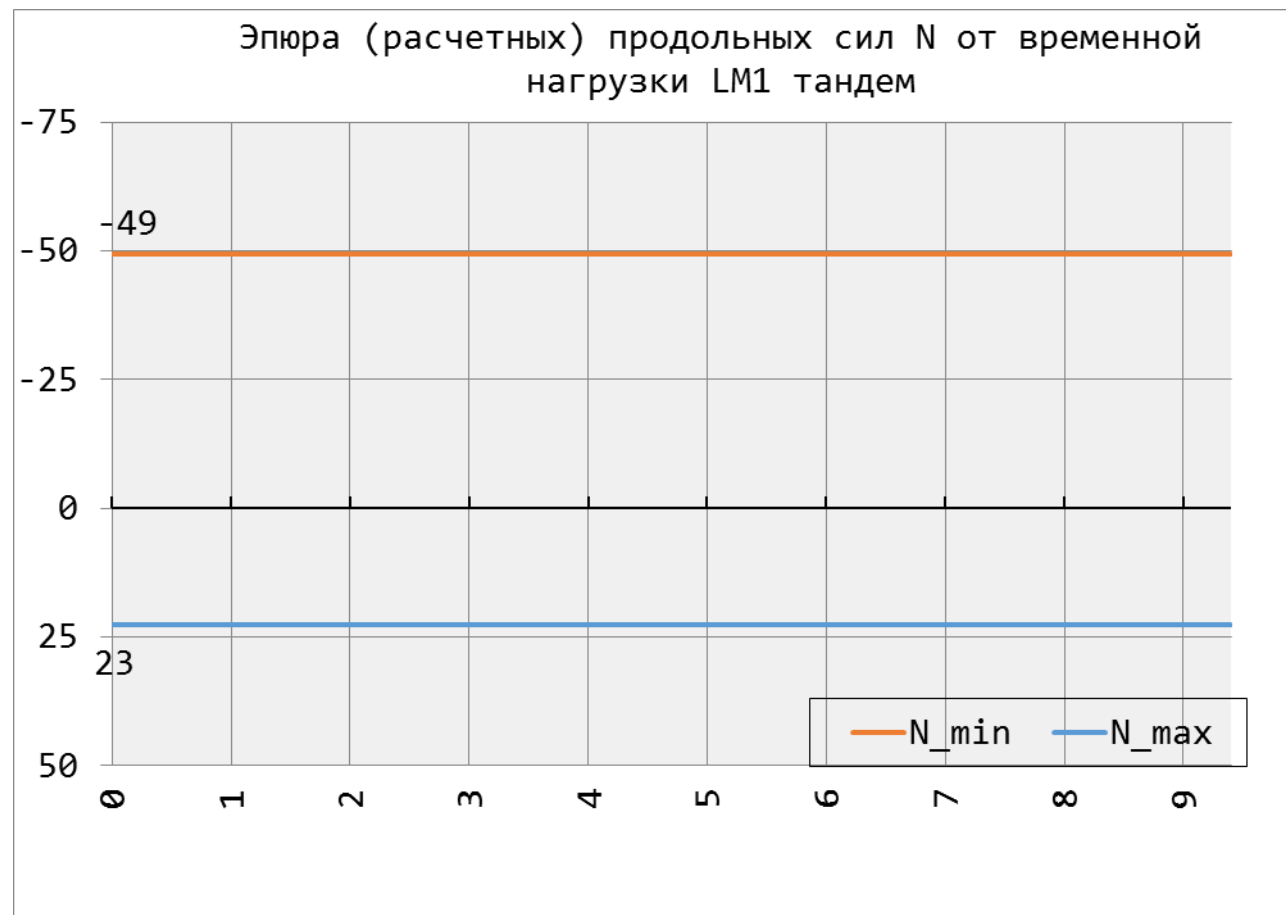
Эпюра (расчетных) изгибающих моментов M_z от временной нагрузки LM4



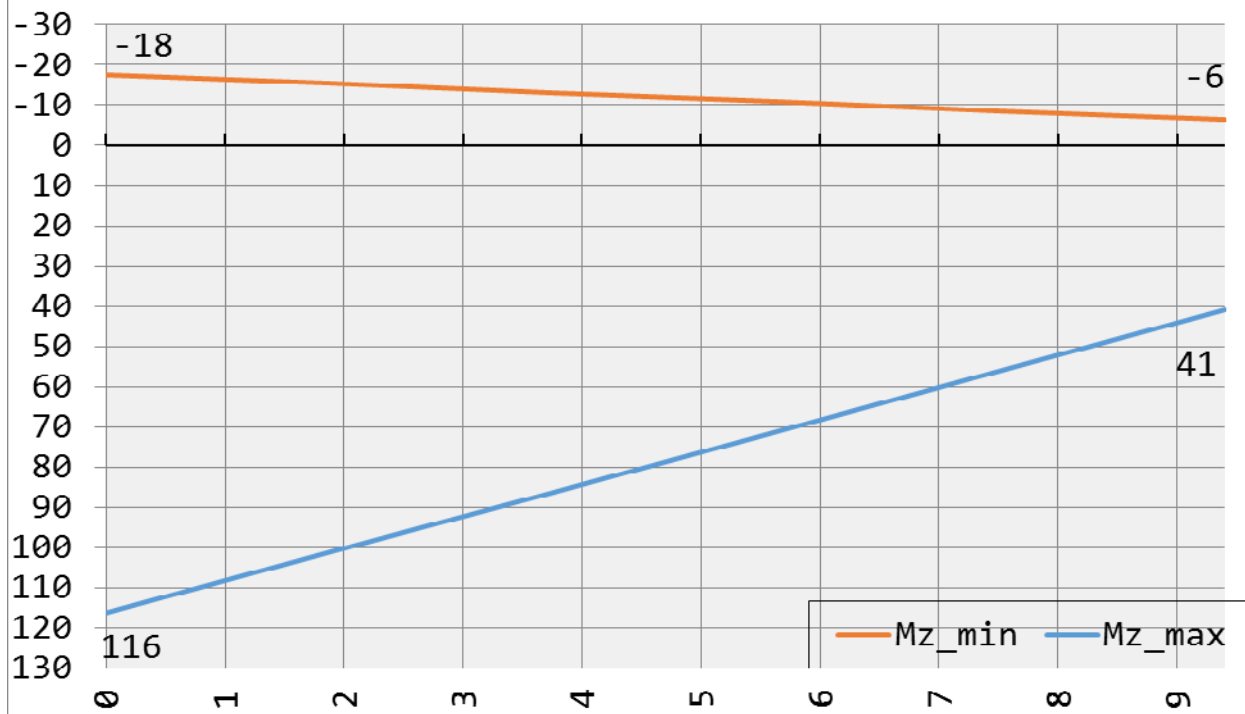
Эпюра (расчетных) поперечных сил Q_y от временной нагрузки LM4



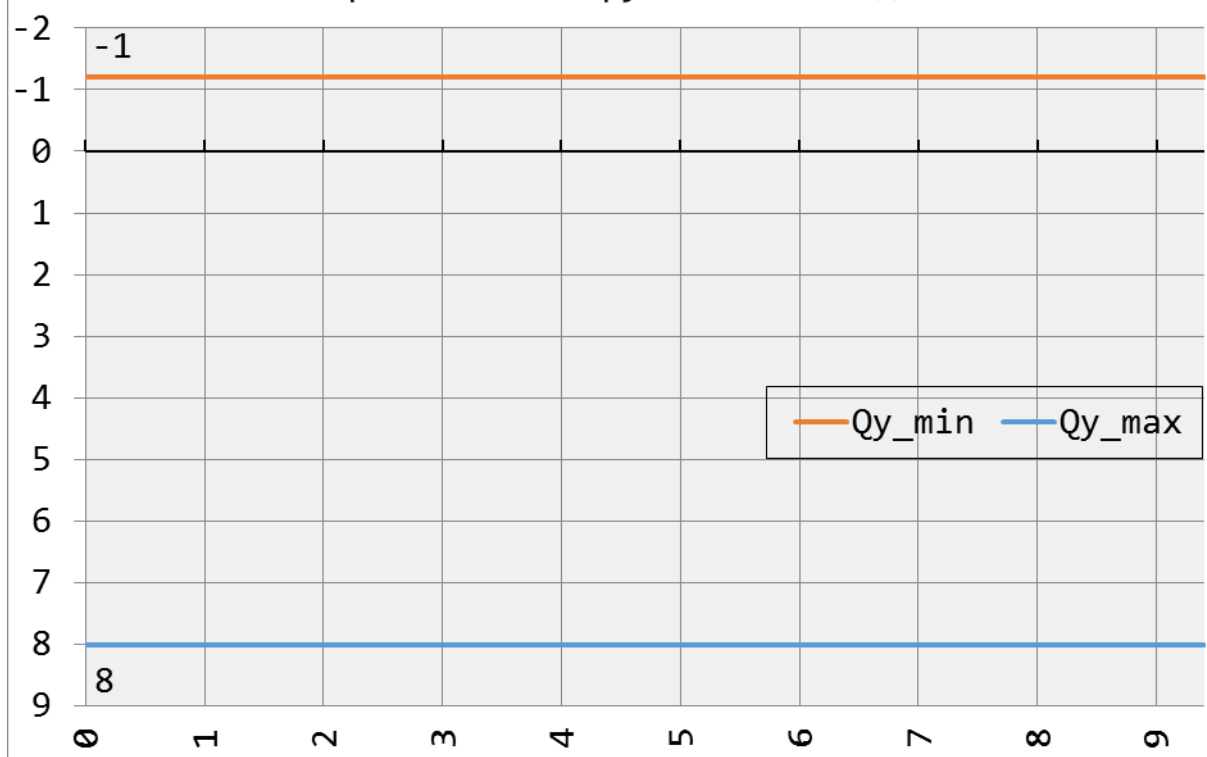
5.5.7 ეპურები ტანდემისაგან LM1



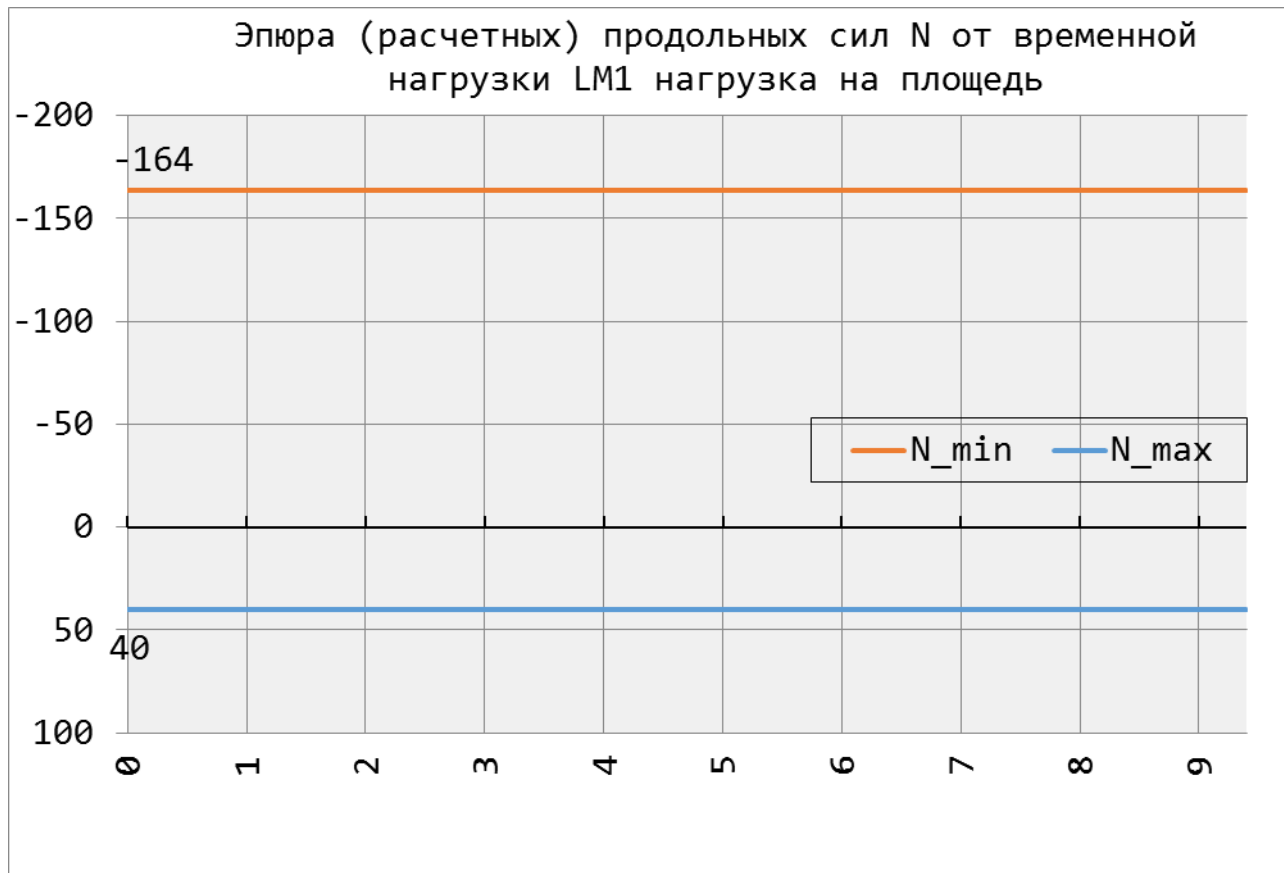
Эпюра (расчетных) изгибающих моментов M_z от временной нагрузки LM1 тандем



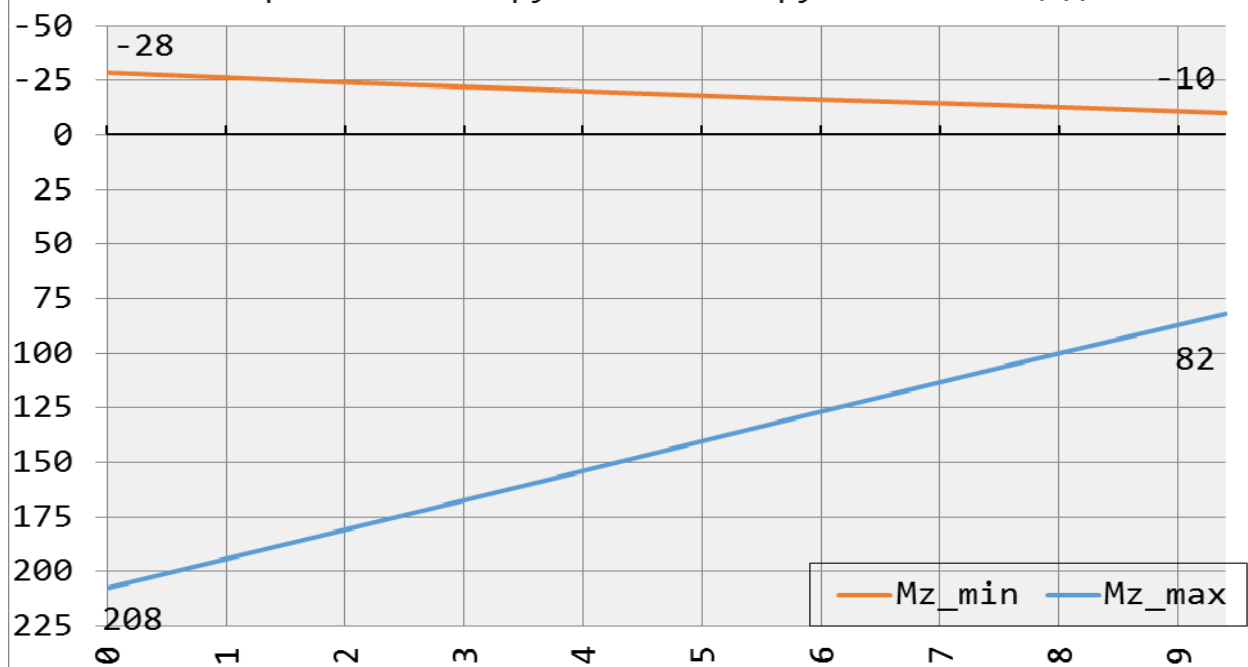
Эпюра (расчетных) поперечных сил Q_y от временной нагрузки LM1 тандем



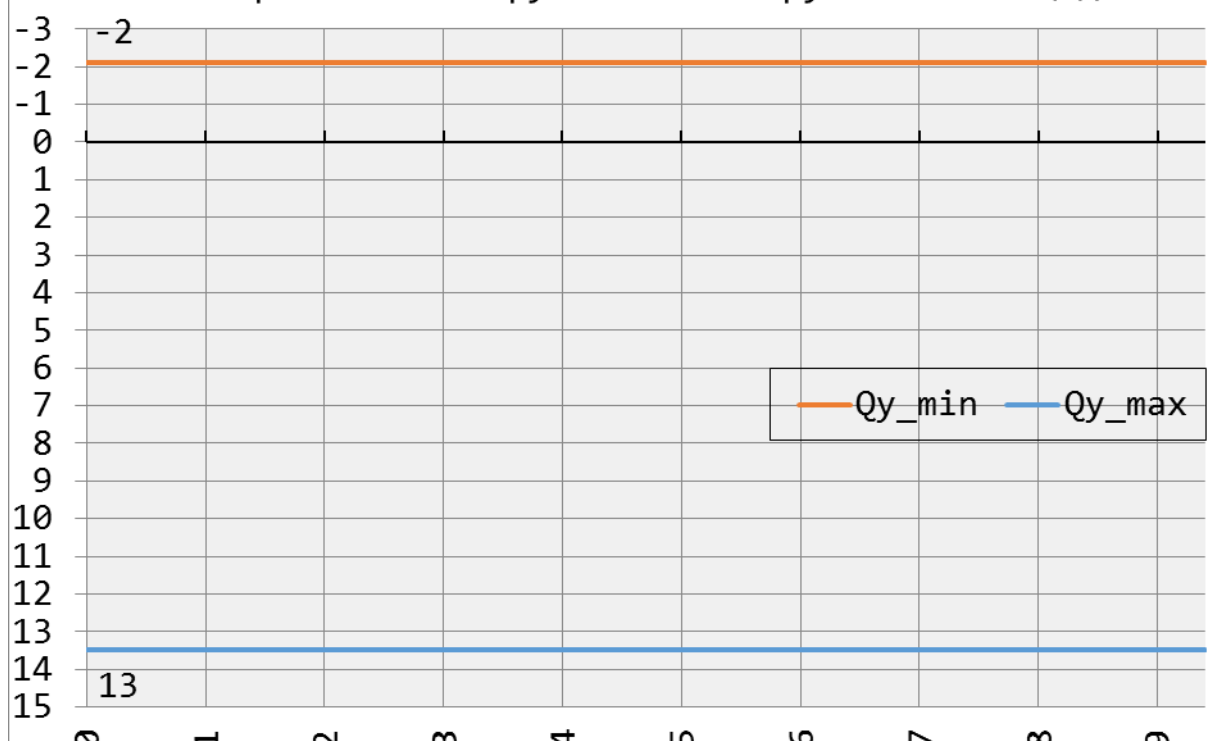
5.5.8 ეპურები განაწილებული LM1



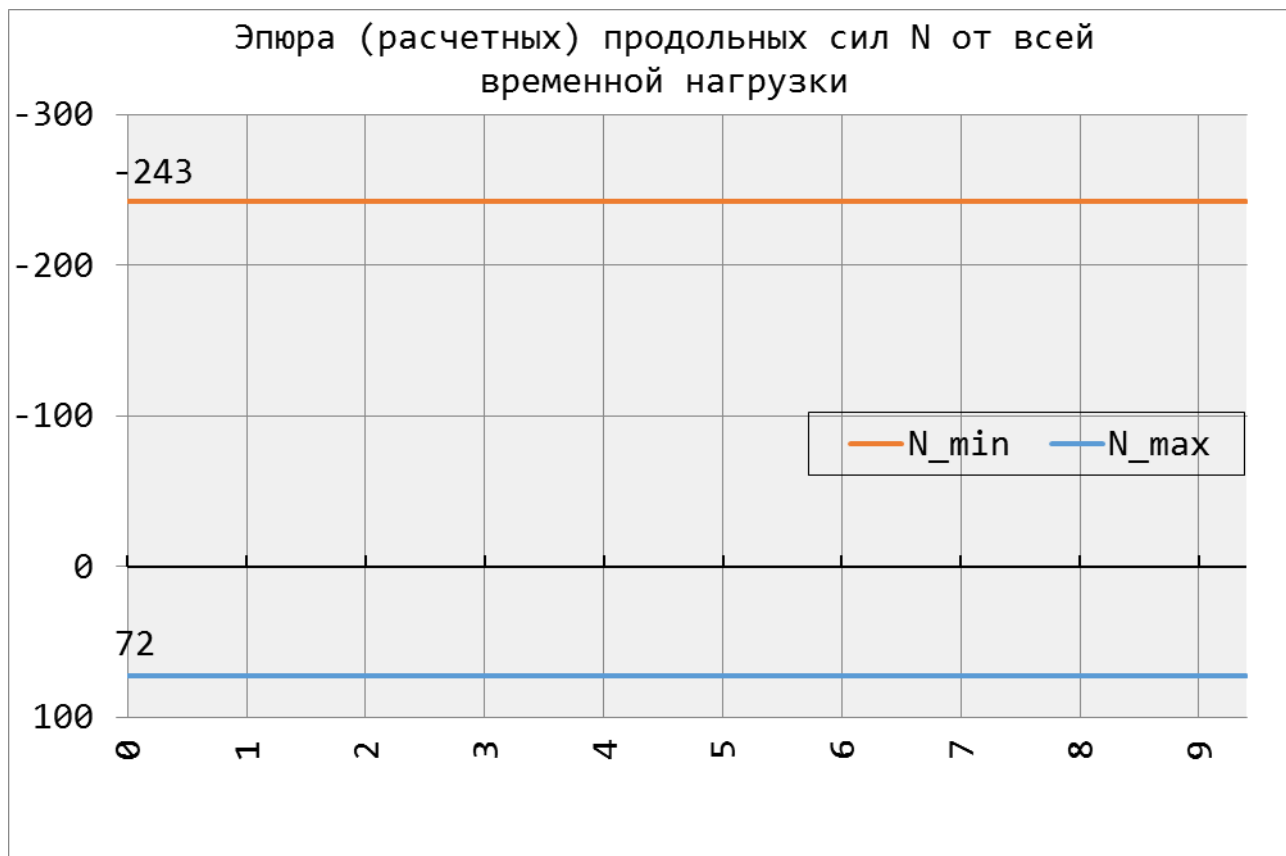
Эпюра (расчетных) изгибающих моментов M_z от временной нагрузки LM1 нагрузка на площадь



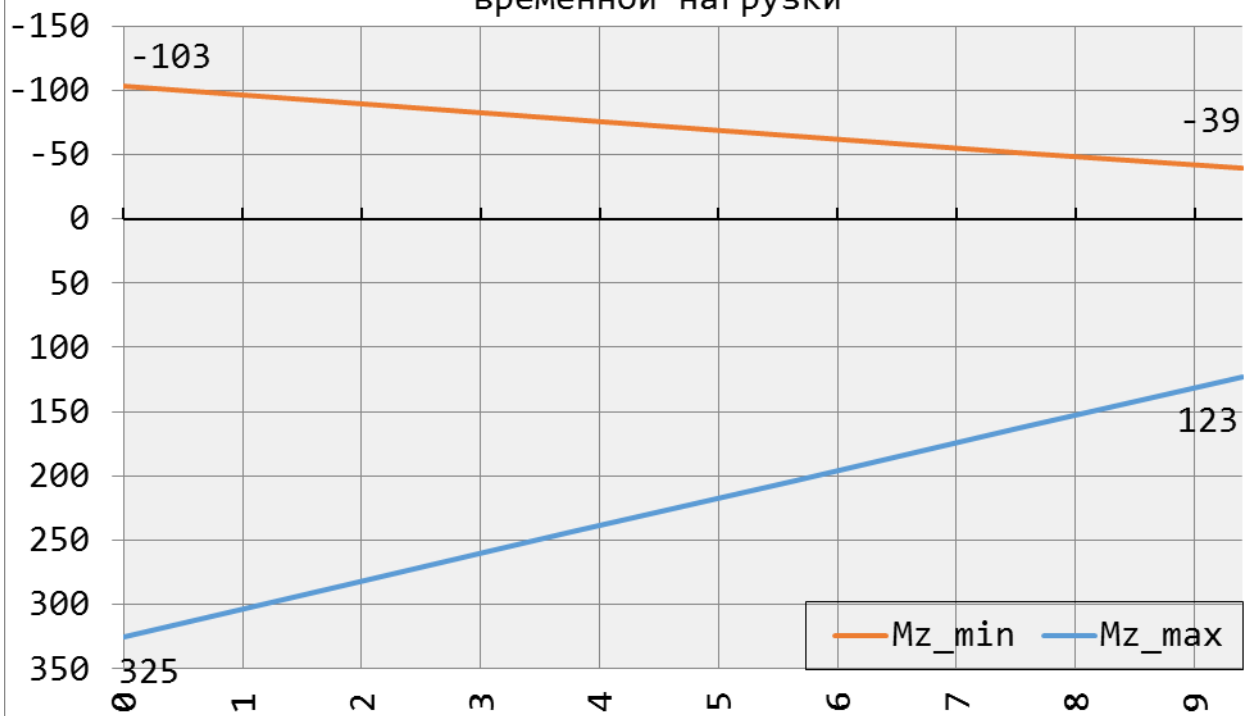
Эпюра (расчетных) поперечных сил Q_y от временной нагрузки LM1 нагрузка на площадь



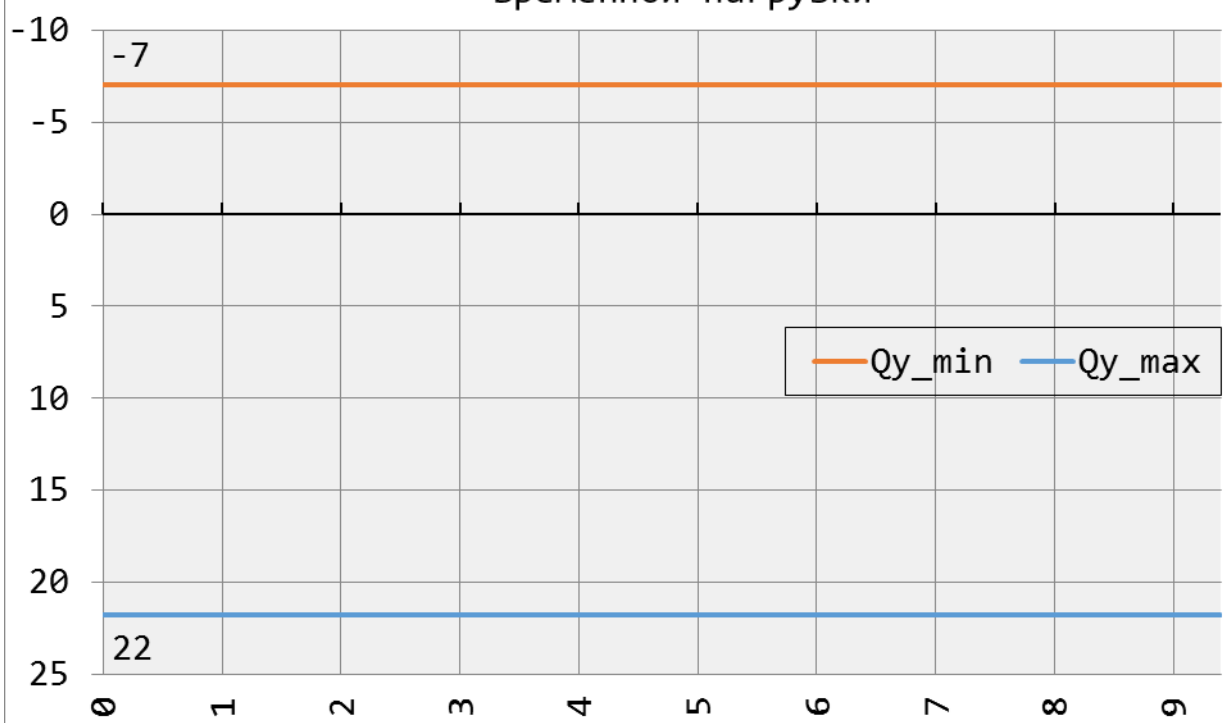
5.5.9 ဂေါ်ဂျာပြုခွဲ့ခွဲမှုအမျိုး LM1



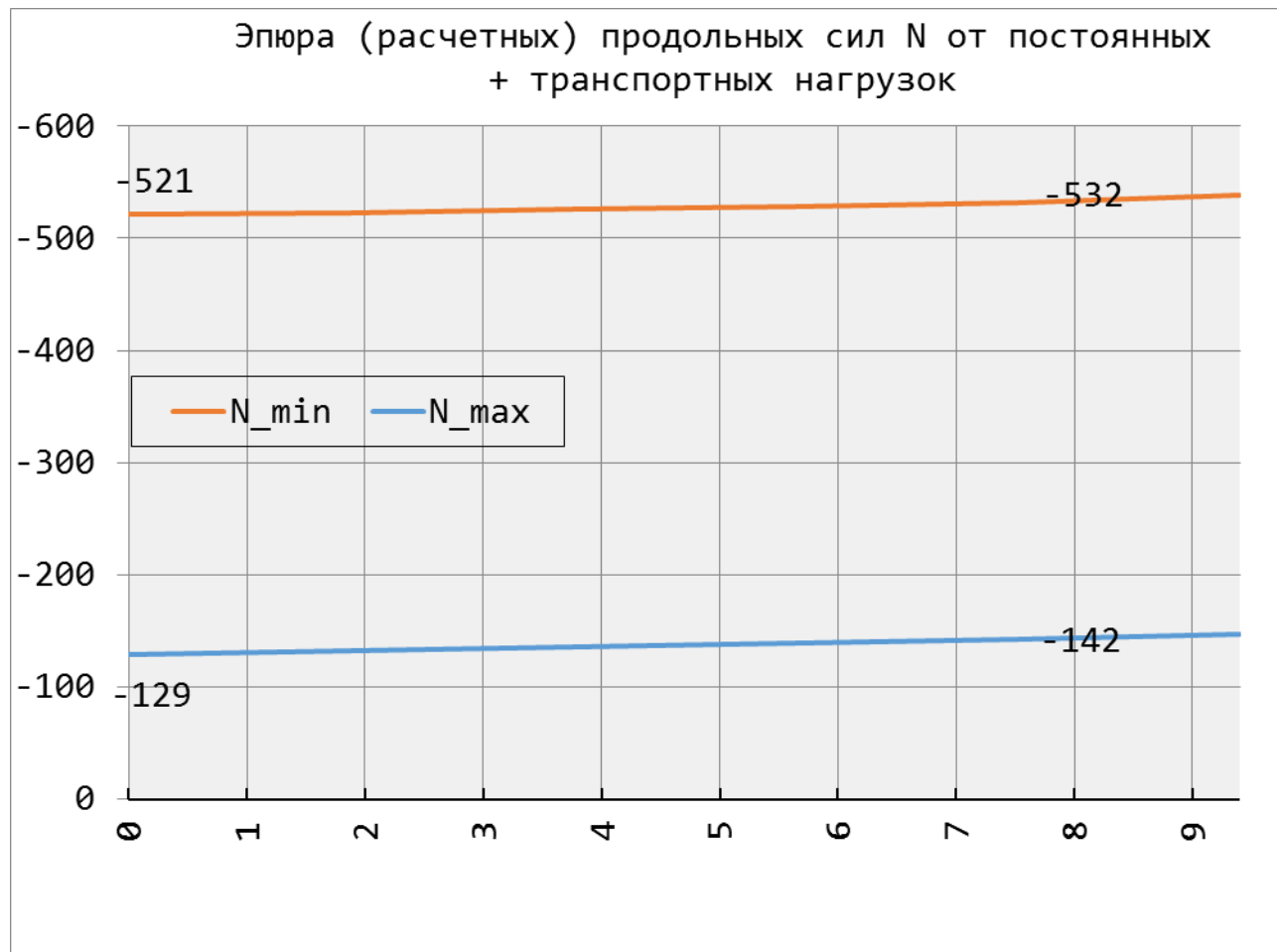
Эпюра (расчетных) изгибающих моментов M_z от всей временной нагрузки



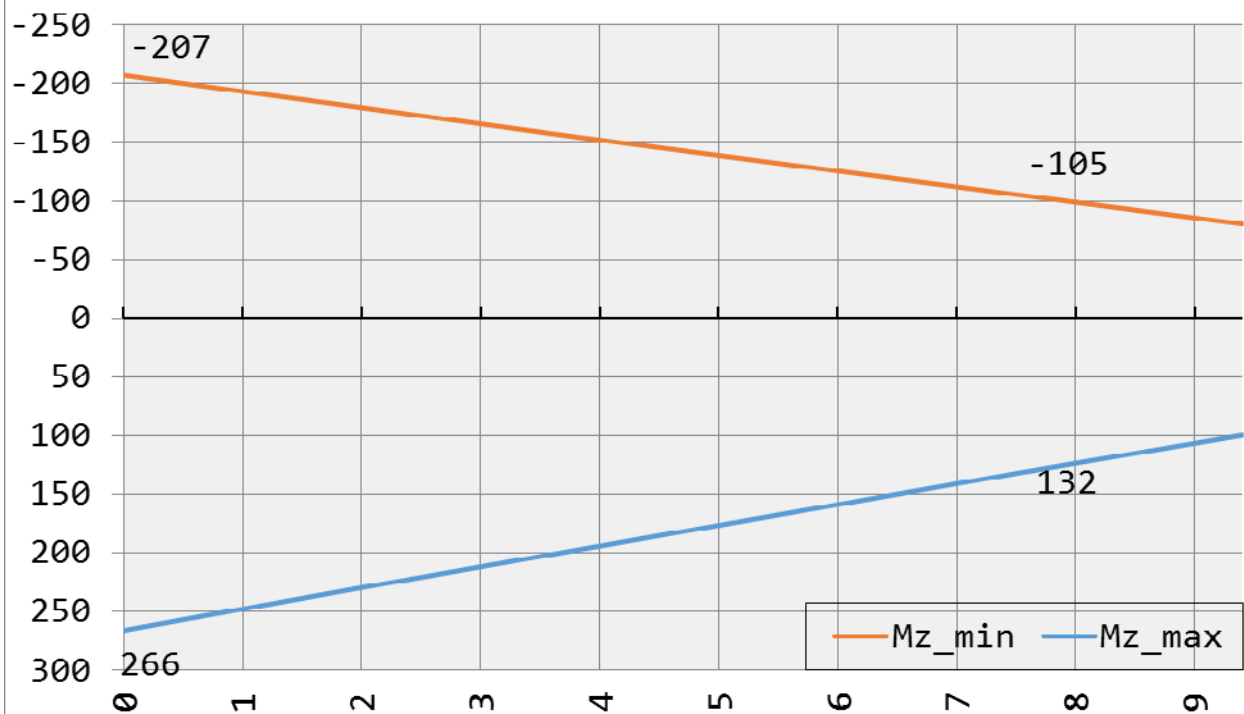
Эпюра (расчетных) поперечных сил Q_y от всей временной нагрузки



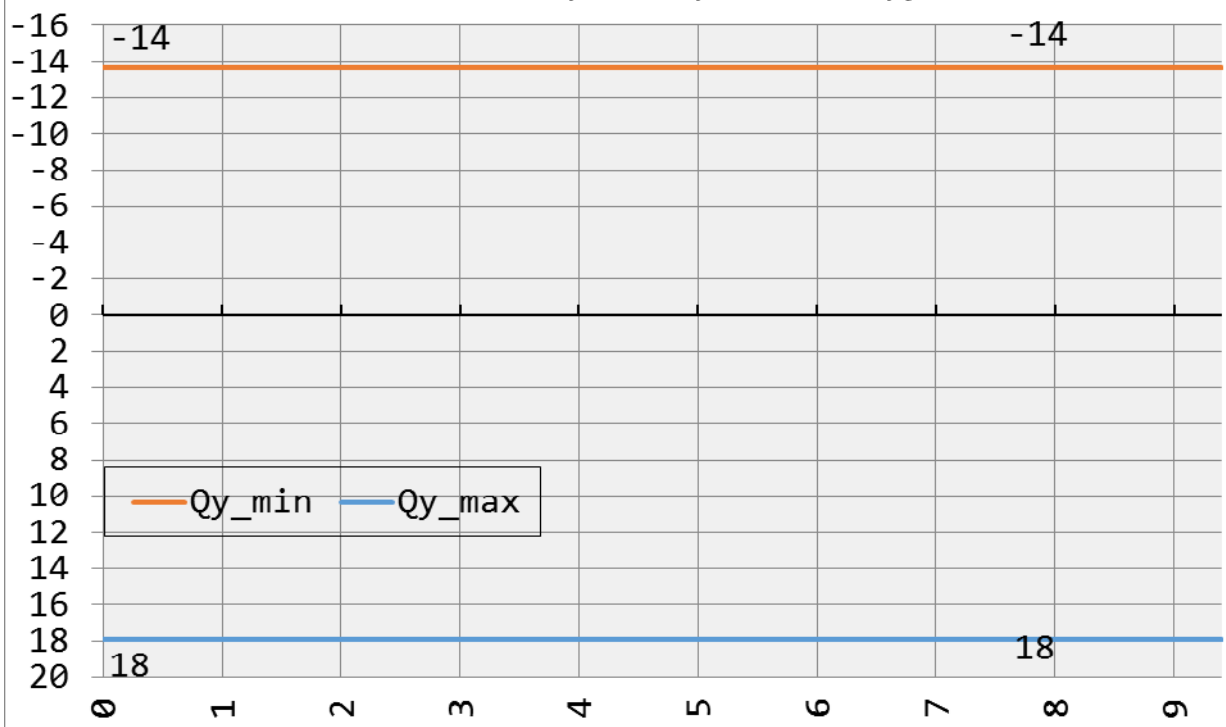
5.5.10 ეპურები ყველა დატვირთვებისგან



Эпюра (расчетных) изгибающих моментов M_z от
постоянных + транспортных нагрузок



Эпюра (расчетных) поперечных сил Q_y от
постоянных + транспортных нагрузок



5.6 რეაქციები ბურჯებზე თაღისა და კოჭის ქვეშ

5.6.1 რეაქციები ბურჯებზე თაღის ქვეშ

დატვირთვა	ძალვა, ტ					
	X გასწვრივ		Y გასწვრივ		Z გასწვრივ	
	E _k	E _d	E _k	E _d	E _k	E _d
ფოლადის წონა	250	337	-2	-3	371	501
ფილის და არმატურის წონა	183	247	1	2	231	312
ბეტონის წონა	431	582	3	4	536	724
ხიდის ვაკისის წონა	291	394	-13	-17	352	476
სულ მუდმივები	1155	1560	-11	-15	1491	2012
ფეხით მოსიარულები LM4	75	102	0	0	85	115
ტანდემი LM1	121	164	8	11	95	128
განაწილებული LM1	366	494	23	31	417	562
სულ LM1+LM4	562	759	32	43	597	806
სულ ჯამურები	1717	2319	20	28	2087	2818
სეისმიკა	501		95		367	
ქარი		34		25		35

5.6.2 რეაქციები ბურჯებზე კოჭის ქვეშ

დატვირთვა	ძალვა, ტ					
	X გასწვრივ		Y გასწვრივ		Z გასწვრივ	
	E _k	E _d	E _k	E _d	E _k	E _d
ფოლადის წონა	0	0	0	0	53	71
ფილის და არმატურის წონა	0	0	0	0	54	73
ბეტონის წონა	0	0	0	0	126	170
ხიდის ვაკისის წონა	0	0	0	0	82	111
სულ მუდმივები	0	0	0	0	315	425
ფეხით მოსიარულები LM4	0	0	0	0	21	29
ტანდემი LM1	0	0	0	0	95	129
განაწილებული LM1	0	0	0	0	113	153
სულ LM1+LM4	0	0	0	0	230	311
სულ ჯამურები	0	0	0	0	545	736
სეისმიკა	10	0	10	0	0	0
ქარი		0		10		0

6. სიმტკიცის შემოწმება

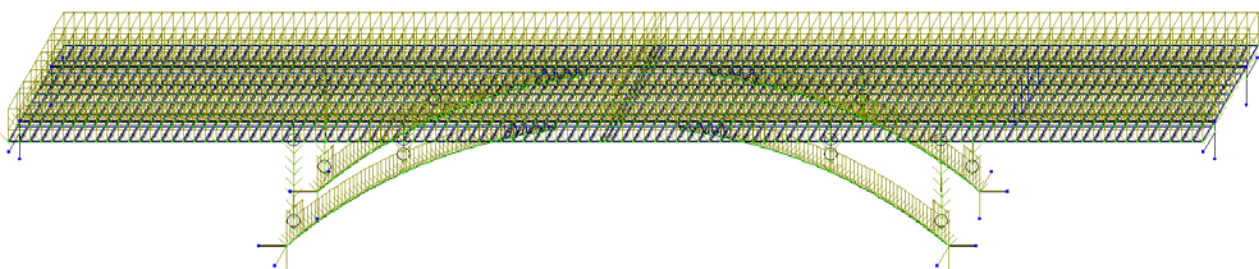
სიმტკიცის შემოწმებები მოცემულია ნახაზებზე KM1-35, KM1-36 და KM-37 გომი 1, ნაწილი 1.

7. მდგრადობის შემოწმება

7.1 რედუქციული კოეფიციენტების გამოთვლა

რედუქციული კოეფიციენტები თაღისა და ბურჯების გასაანგარიშებლად აღებულია ერთი მინიმალურით, მიღებული საერთო გაანგარიშებიდან.

საანგარიშო სქემა შესრულებულია წინასწარ განსაზღვრული სიხისტეების გათვალისწინებით. სქემაზე დატვირთვები შეესაბამება სრულ საანგარიშო დატვირთვას: სრული მუდმივი, მიღებული ერთ სტადიაში + სრულ საანგარიშო დატვირთვა LM1.



ნახ. 7.1 საანგარიშო სქემა მდგრადობის გასაანგარიშებლად
«Арка устойчивость 2019.lir»

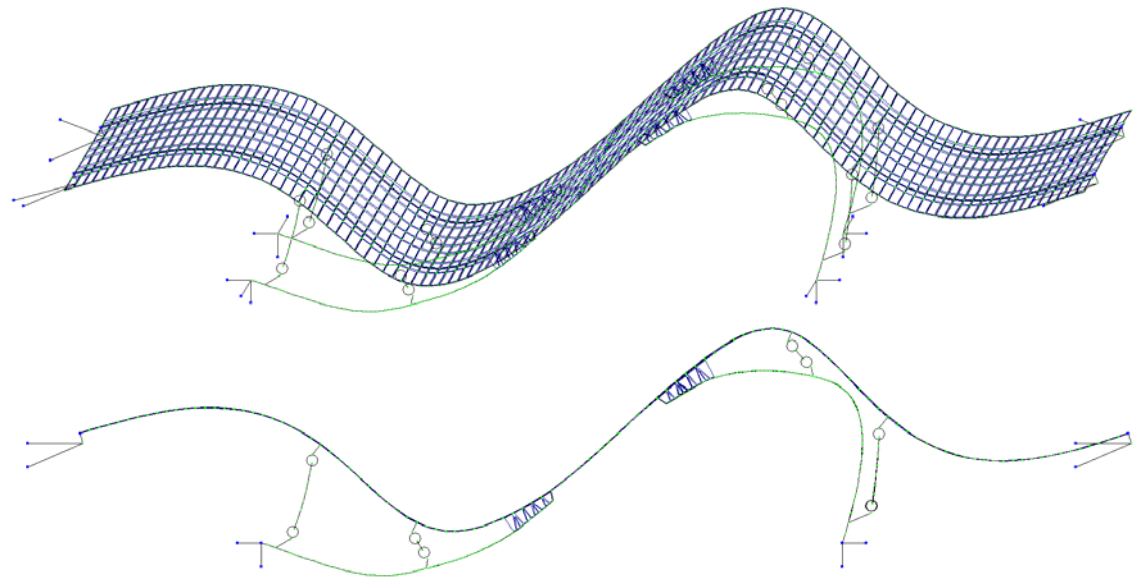
დატვირთვების კონტროლი შესრულებულია სახსარზევ რეაქციის მიხედვით. დატვირთვა სქემაში იძლევა ძალვას 3600 ტ.

გაანგარიშების შედეგი:

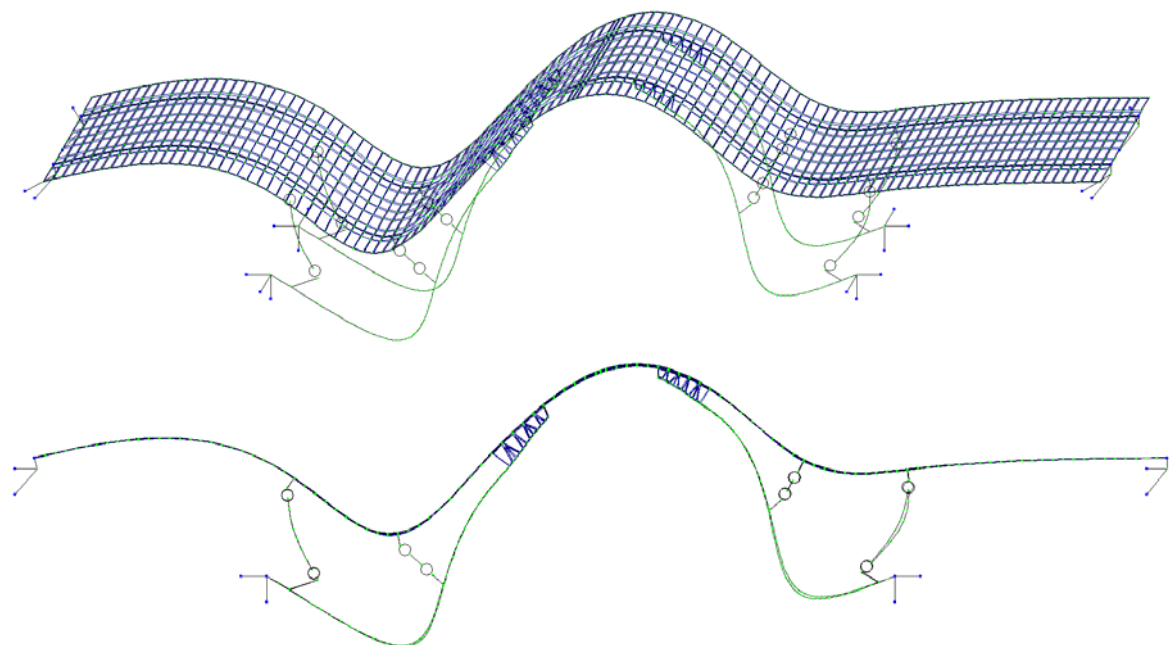
1-ი ფორმა ბრტყელი ჩაღუნვა. თაღების მდგრადობის დაკარგვა სიბრტყეში. ბურჯები არ კარგავს მდგრადობას ნახ. 7.2. მდგრადობის კარგვის კოეფიციენტი $\alpha_{cr,op}=9.65$.

მე-2-ე ფორმა ბრტყელი ჩაღუნვა. თაღების მდგრადობის დაკარგვა სიბრტყეში. ბურჯები კარგავს მდგრადობას ნახ. 4.3. მდგრადობის კარგვის კოეფიციენტი $\alpha_{cr,op}=12.2$.

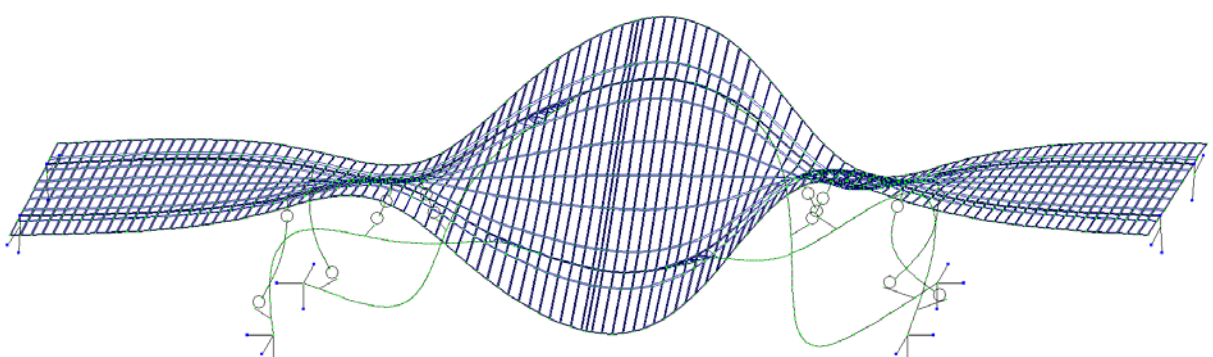
მე-3-ე ფორმა ირიბსიმეტრიული ფორმა. თაღების მდგრადობის დაკარგვა სიბრტყეში. ბურჯები კარგავს მდგრადობას ნახ. 7.4. მდგრადობის კარგვის კოეფიციენტი $\alpha_{cr,op}=13.2$.



ნახ. 7.2 1-ი ფორმა



ნახ. 7.3 მე-2-ე ფორმა



ნახ. 7.4 მე-3-ე ფორმა

Редукционные коэффициенты по результатам компьютерного расчета моста		
Коэффициент запаса по ЛИРе	α_{cr}	9.6
Гибкость EN 1993-1-1 ф.6.64	$\bar{\lambda} = \sqrt{1,375/\alpha_{cr}}$	0.378
Коэффициент несовершенства EN 1993-1-1 Таб.6.3	α	0.76
Коэффициент EN 1993-1-1 ф.6.57	$\phi = 0.5[1 + \alpha(\bar{\lambda} - 0.2) + \bar{\lambda}^2]$	0.639
Редукционный коэффициент (EN 1993-1-1 ф.6.49)	$\chi = 1/(\phi + \sqrt{\phi^2 - \bar{\lambda}^2})$	0.866
Коэффициент надежности по ответственности	γ_{M1}	1.1

7.2 თაღის მდგრადობის შემოწმება

გამოვლილი რედუქციული კოეფიციენტის საფუძველზე შესრულებულია თაღის ანგარიში.

თაღის მდგრადობის შემოწმების შედეგები EN 1993-2 მიხედვით, შესრულებულია როგორც მდგრადობის დანაკარგი ბრტყელი ფორმისთვის, შეჯერების კოეფიციენტი =0.9.

Расчетный момент Y, тм	$M_{Ed,y}$	1148
Расчетный момент X, тм	$M_{Ed,x}$	200
Расчетная нормальная сила, т	N_{Ed}	2680
Сопротивление текучести, т/м ²	f_y	39000
Площадь, м ²	A	0.221
Момент сопротивления Y, м ³	W_y	0.130
Момент сопротивления X, м ³	W_x	0.115
Сопротивление нормальной силе, т	$N_{Rd} = f_y \cdot A$	8619
Сопротивление моменту отн.горизонтали, тм	$M_{Rd,y} = f_y \cdot W_y$	5070
Сопротивление моменту отн.вертикали, тм	$M_{Rd,x} = f_y \cdot W_x$	4485
Редукционный коэффициент (EN 1993-1-1 ф.6.64)	$\chi_N = \chi_{op}$	0.866
Редукционный коэффициент (EN 1993-1-1 ф.6.64)	$\chi_M = \chi_{op}$	0.866
Проверка устойчивости (EN 1993-1-1 ф.6.9)	$\frac{N_{Ed}}{N_{Rk}} + C_{ml,0} \frac{M_{y,Ed}}{M_{y,Rk}} \leq 0.9.$ $\frac{N_{Ed}}{N_{Rk}} = \frac{1148}{1148} = 1.0$ $C_{ml,0} = 0.683$ $\frac{M_{y,Ed}}{M_{y,Rk}} = \frac{1148}{1148} = 1.0$	0.683
Коэффициент запаса по устойчивости		1.318

7.3 ბურჯის მდგრადობის შემოწმება

გამოთვლილი რედუქციული კოეფიციენტის საფუძველზე შესრულებულია ბურჯის მდგრადობის შემოწმება.

თაღის მდგრადობის შემოწმების შედეგები EN 1993-2 მიხედვით, შესრულებულია როგორც მდგრადობის დანაკარგი ბრტყელი ფორმისთვის, შეჯერების კოეფიციენტი =0.9.

ბურჯი 1

Расчетный момент Y, тм	$M_{Ed,y}$	0
Расчетный момент X, тм	$M_{Ed,x}$	342
Расчетная нормальная сила, т	N_{Ed}	1595
Сопротивление текучести, т/м ²	f_y	39000
Площадь, м ²	A	0.145
Момент сопротивления Y, м ³	W_y	0.056
Момент сопротивления X, м ³	W_x	0.073
Сопротивление нормальной силе, т	$N_{Rd} = f_y \cdot A$	5655
Сопротивление моменту отн.горизонтали, тм	$M_{Rd,y} = f_y \cdot W_y$	2184
Сопротивление моменту отн.вертикали, тм	$M_{Rd,x} = f_y \cdot W_x$	2847
Редукционный коэффициент (EN 1993-1-1 ф.6.64)	$\chi_N = \chi_{op}$	0.866
Редукционный коэффициент (EN 1993-1-1 ф.6.64)	$\chi_M = \chi_{op}$	0.866
Проверка устойчивости (EN 1993-1-1 ф.6.9)	$\frac{N_{Ed}}{\chi_y \frac{N_{Rk}}{\gamma_{M1}}} + C_{mi,0} \frac{M_{y,Ed}}{\gamma_{M1}} \leq 0.9.$	0.358
Коэффициент запаса по устойчивости		2.512

ბურჯი 2

Расчетный момент Y, тм	$M_{Ed,y}$	0
Расчетный момент X, тм	$M_{Ed,x}$	266
Расчетная нормальная сила, т	N_{Ed}	540
Сопротивление текучести, т/м ²	f_y	39000
Площадь, м ²	A	0.145
Момент сопротивления Y, м ³	W_y	0.056
Момент сопротивления X, м ³	W_x	0.073
Сопротивление нормальной силе, т	$N_{Rd} = f_y \cdot A$	5655
Сопротивление моменту отн.горизонтали, тм	$M_{Rd,y} = f_y \cdot W_y$	2184
Сопротивление моменту отн.вертикали, тм	$M_{Rd,x} = f_y \cdot W_x$	2847
Редукционный коэффициент (EN 1993-1-1 ф.6.64)	$\chi_N = \chi_{op}$	0.866
Редукционный коэффициент (EN 1993-1-1 ф.6.64)	$\chi_M = \chi_{op}$	0.866
Проверка устойчивости (EN 1993-1-1 ф.6.9)	$\frac{N_{Ed}}{N_{Rk}} + C_{ml,0} \frac{M_{y,Ed}}{M_{y,Rk}} \leq 0.9.$ $\frac{\chi_y}{\chi_y \gamma_{M1}} \frac{N_{Ed}}{N_{Rk}} + C_{ml,0} \frac{M_{y,Ed}}{\gamma_{M1}} \leq 0.9.$	0.121
Коэффициент запаса по устойчивости		7.419

7.4 ადგილობრივი მდგრადობის შემოწმება

ფირფიტების ადგილობრივი მდგრადობა, რომლებიც განიცდიან კუმშვის ნორმალურ გრძივ დაძაბულობას, კერძოდ დაყრდნობილს ერთ მხარეზე (ზოლოვანი გრძივი წახნაგები), ფირფიტები დაყრდნობილი ორ გვერდზე (ფურცელი წახნაგებს შორის) შესრულებულია EN 1993-1 საფუძველზე.

7.4.1 ფირფიტების ადგილობრივ მდგრადობაზე შემოწმება

$\varepsilon = \sqrt{235/f_y} =$			0.885	
f_y=300		$\frac{b}{t} = 38\varepsilon$	t (толщина листа, мм)	b (ширина между ребрами, мм)
38	0.885	33.6	12	404
38	0.885	33.6	14	471
38	0.885	33.6	16	538
38	0.885	33.6	20	673
38	0.885	33.6	25	841
38	0.885	33.6	32	1076
38	0.885	33.6	40	1345
38	0.885	33.6	50	1682

ნახ. 7.1 ფირფიტები დაყრდნობილი ორ გვერდზე

$\varepsilon = \sqrt{235/f_y} =$			0.885	
fy=300		$\frac{b}{t} = 38\varepsilon$	t (толщина листа, мм)	b (ширина между ребрами, мм)
38	0.885	33.6	12	404
38	0.885	33.6	14	471
38	0.885	33.6	16	538
38	0.885	33.6	20	673
38	0.885	33.6	25	841
38	0.885	33.6	32	1076
38	0.885	33.6	40	1345
38	0.885	33.6	50	1682

ნახ. 7.2 ფირფიტები დაყრდნობილი ერთ გვერდზე

ნაკვეთურების კედლების ადგილობრივი მდგრადობის შემოწმება, რომლებიც განიცდიან ორდერძიან დაბაბულ მდგომარეობას ნორმალური და მხებითი დაბაბულობის გათვალისწინებით, შესრულებულია СНиП 2.05.03-84* მეთოდიკით. მოცემული მეთოდიკა უფრო ზუსტია ვიდრე «დაგრძელებული ველის მეთოდი», მოცემული EN 1993-1-ში.

ამ შემოწმებების შედეგები მოცემულია თაღოვანი ხიდის ნახაზების «კომპლექტის საანგარიშო ფურცლებში».

7.4.2 გრძივი წახნაგების, როგორც შეკუმშული ღეროების მდგრადობა ფილების გამძლეობის შემოწმება როგორც ცალკეული შეკუმშული ღეროებისაგრძივი წახნაგების სახით გათვალისწინებულია EN 1993-1-5.

b _{ef}	Пояс ребра по 15 товщин поясу коробки, м	0.42	A _S	Площа , м ²	0.00868
t _w	Толщина поясу, м	0.014	Z _S	Центр тяжести балки (от низа), м	0.172484
h _{ws}	Высота ребра, м	0.2	I _S	Момент инерции балки, м ⁴	0.000031
t _{ws}	Товщина ребра, м	0.014	W _S ^t	Момент сопротивления верха, м ³	-0.000750
b _f	Ширина поясу ребра, м	0	W _S ^b	Момент сопротивления низа, м ³	0.000181
h _f	Товщина поясу ребра, м	0	S _S	Статический момент верха, м ³	0.000208
a	Довжина відсіку, м	2	i _S	Радиус инерции, м	0.059902
h _w	Ширина листа стенки (или пояса), м	1.6	1	Гнучкість	33.4
b ₁	Ширина відсіка відсіка	0.48	EI _S	Изгибная жесткость, тм ²	654.1

Устойчивость стержня

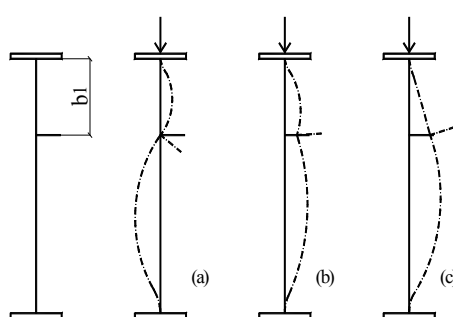
	Модуль упругости		E	21000000
	Сопротивление текучести		f _y	4200.0
	Условная гибкость		$\bar{\lambda} = \frac{\lambda}{\pi} \sqrt{f_y/E}$	0.150
	Коэффициент несовершенства		α	0.760
	Коэффициенты		$\phi = 0.5[1 + \alpha(\bar{\lambda} - 0.2) + \bar{\lambda}^2]$	0.492
	Редукционный коэффициент (Корнеев)		$\varphi_C = 0.9 / (\phi + \sqrt{\phi^2 - \bar{\lambda}^2})$	0.936
	Ред/ коэфф.(EN 1993-1-1 ф.6.49)		$\chi = 1 / (\phi + \sqrt{\phi^2 - \bar{\lambda}^2})$	1.040

ნახ. 7.7 მდგრადობის შემოწმება ცენტრალურად შეკუმშული ფილების როგორც წახნაგისა, კვეთით 200x14 ფილის მონაკვეთით

b_{ef}	Пояс ребра по 15 товщин поясу коробки, м	0.42	A_s	Площа , м ²	0.00988
t_w	Толщина поясу, м	0.014	Z_s	Центр тяжести балки (от низа), м	0.163680
h_{ws}	Высота ребра, м	0.2	I_s	Момент инерции балки, м ⁴	0.000041
t_{ws}	Толщина ребра, м	0.02	W_s^t	Момент сопротивления верха, м ³	-0.000809
b_f	Ширина поясу ребра, м	0	W_s^b	Момент сопротивления низа, м ³	0.000249
h_f	Толщина поясу ребра, м	0	S_s	Статический момент верха, м ³	0.000268
a	Довжина відсіку, м	2	i_s	Радиус инерции, м	0.064171
h_w	Ширина листа стенки (или пояса), м	1.6	1	Гнучкість	31.2
b_1	Ширина відсіка відсіка	0.48	EI_s	Изгибная жесткость, тм ²	854.4
Устойчивость стержня					
	Модуль упругости			E	21000000
	Сопротивление текучести			f_y	4200.0
	Условная гибкость			$\bar{\lambda} = \frac{\lambda}{\pi} \sqrt{f_y/E}$	0.140
	Коэффициент несовершенства			α	0.760
	Коэффициенты			$\phi = 0.5[1 + \alpha(\bar{\lambda} - 0.2) + \bar{\lambda}^2]$	0.487
	Редукционный коэффициент (Корнеев)			$\varphi_c = 0.9 / (\phi + \sqrt{\phi^2 - \bar{\lambda}^2})$	0.944
	Ред/ коэф. (EN 1993-1-1 ф.6.49)			$\chi = 1 / (\phi + \sqrt{\phi^2 - \bar{\lambda}^2})$	1.049

ნახ. 7.8 მდგრადობის შემოწმება ცენტრალურად შეკუმშული ფილისა
როგორც წახნაგისა, კვეთით 200x14 ფილის მონაკვეთით

7.4.3 გრძივი წახნაგების, როგორც ხისტი საყრდენების საკმარისობა გრძივი წახნაგების საკმარისობა ფირფიტების დასაჭერად



ნახ. 7.9 წახნაგების დეფორმაციის სქემა

სავარაუდო წახნაგმა უნდა დაიჭიროს კედელი სქემა a) მიხედვით.

b_{ef}	П'яс ребра по 15 товщин стінки, м	0.420	A_s	Площа , м ²	0.008680
t_w	Товщина стінки, м	0.014	Z_s	Центр тяжести балки (от низа), м	0.172484
h_{ws}	Висота ребра, м	0.200	I_s	Момент инерции балки, м ⁴	0.000031
t_{ws}	Товщина ребра, м	0.014	W_s^t	Момент сопротивления верха, м ³	-0.000750
b_t	Ширина поясу ребра, м	0.000	W_s^b	Момент сопротивления низа, м ³	0.000181
h_t	Товщина поясу ребра, м	0.000	S_s	Статичний момент верха, м ³	0.000208
a	Довжина відрізу, м	2	i_s	Радіус інерції, м	0.060
h_W	Висота стінки, м	16	λ	Гнучкість	33
b_1	Висота відрізу	0.48	E_s	Ізгибна жесткость, Тм ²	654
Проверка жесткости ребра ст. 123 книга "Устойчивость"		γ_s	Параметр ребра		77.3
		γ_s^*	Параметр стінки		14.6
Условие		$\gamma_s > \gamma_s^*$	ребро - как жесткая опора		ИСТИНА

Ба. 7.10 Задано юївінською 200x14 зважуючою, згрупованою 14 дій до багатогрупової членот 2 д

b_{ef}	П'яс ребра по 15 товщин стінки, м	0.960	A_s	Площа , м ²	0.034720
t_w	Товщина пояса, м	0.032	Z_s	Центр тяжести балки (от низа), м	0.202636
h_{ws}	Висота ребра, м	0.200	I_s	Момент инерции балки, м ⁴	0.000064
t_{ws}	Товщина ребра, м	0.020	W_s^t	Момент сопротивления верха, м ³	-0.002165
b_t	Ширина поясу ребра, м	0.000	W_s^b	Момент сопротивления низа, м ³	0.000314
h_t	Товщина поясу ребра, м	0.000	S_s	Статичний момент верха, м ³	0.000411
a	Довжина відрізу, м	2	i_s	Радіус інерції, м	0.043
h_W	Висота стінки, м	16	λ	Гнучкість	47
b_1	Висота відрізу	0.5	E_s	Ізгибна жесткость, Тм ²	1335
Проверка жесткости ребра ст. 123 книга "Устойчивость"		γ_s	Параметр ребра		13.2
		γ_s^*	Параметр стінки		12.5
Условие		$\gamma_s > \gamma_s^*$	ребро - как жесткая опора		ИСТИНА

Ба. 7.11 Задано юївінською 200x20 зважуючою, згрупованою 32 дій до багатогрупової членот 2 д

b_{ef}	Пвяс ребра по 15 товщин стінки, м	0.600	A_s	Площа , м ²	0.016000
t_w	Толщина пояса, м	0.020	Z_s	Центр тяжести балки (от низа), м	0.182500
h_{ws}	Высота ребра, м	0.200	I_s	Момент инерции балки, м ⁴	0.000050
t_{ws}	Товщина ребра, м	0.020	W_s^t	Момент сопротивления верха, м ³	-0.001334
b_t	Ширина поясу ребра, м	0.000	W_s^b	Момент сопротивления низа, м ³	0.000274
h_t	Товщина поясу ребра, м	0.000	S_s	Статический момент верха, м ³	0.000333
a	Довжина відрізу, м	2	i_s	Радиус инерции, м	0.056
h_w	Высота стінки, м	16	λ	Гнучкість	36
b_1	Высота відрізу	0.42	E_s	Изгибная жесткость, тм ²	1051
Проверка жесткости ребра ст. 123 книга "Устойчивость"		γ_s	Параметр ребра	426	
		γ_s^*	Параметр стінки	20.9	
Условие		$\gamma_s > \gamma_s^*$	ребро - как жесткая опора		ИСТИНА

б) б. 7.12 тафелюв зефлюв გრძივი წახნაგებიв საკმარისობა 200x20

20 მმ სისქისას და დიაფრაგმის ბიჯოთ 2.0 გ

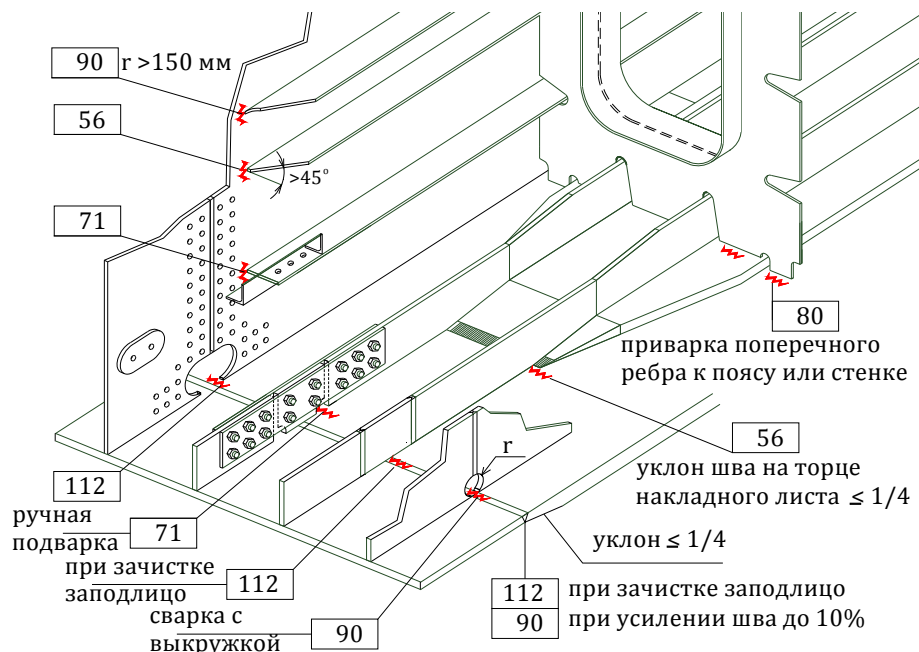
b_{ef}	Пвяс ребра по 15 товщин стінки, м	0.960	A_s	Площа , м ²	0.034720
t_w	Толщина пояса, м	0.032	Z_s	Центр тяжести балки (от низа), м	0.202636
h_{ws}	Высота ребра, м	0.200	I_s	Момент инерции балки, м ⁴	0.000064
t_{ws}	Товщина ребра, м	0.020	W_s^t	Момент сопротивления верха, м ³	-0.002165
b_t	Ширина поясу ребра, м	0.000	W_s^b	Момент сопротивления низа, м ³	0.000314
h_t	Товщина поясу ребра, м	0.000	S_s	Статический момент верха, м ³	0.000411
a	Довжина відрізу, м	16	i_s	Радиус инерции, м	0.043
h_w	Высота стінки, м	16	λ	Гнучкість	37
b_1	Высота відрізу	0.42	E_s	Изгибная жесткость, тм ²	1335
Проверка жесткости ребра ст. 123 книга "Устойчивость"		γ_s	Параметр ребра	13.2	
		γ_s^*	Параметр стінки	8.9	
Условие		$\gamma_s > \gamma_s^*$	ребро - как жесткая опора		ИСТИНА

б) б. 7.13 тафелюв სარტყელюв გრძივი წახნაგებიв საკმარისობა 200x20 მმ

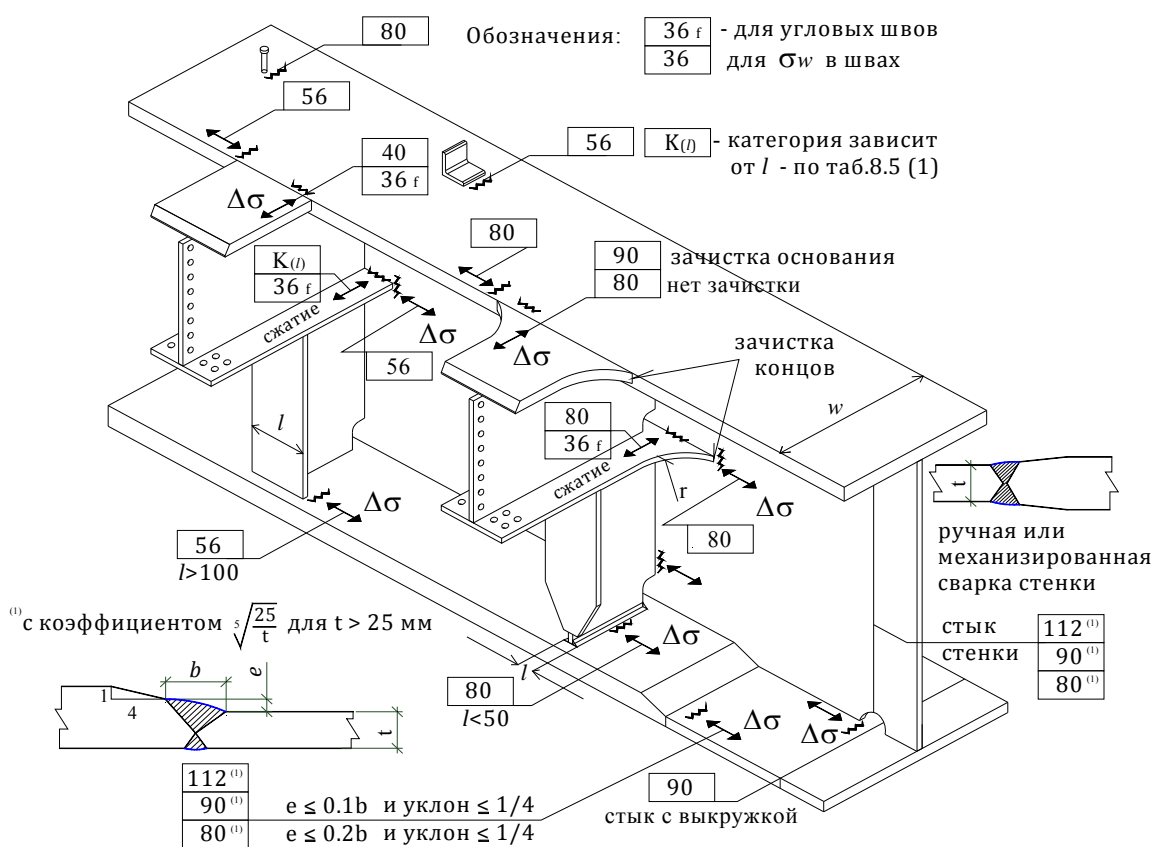
სარტყელюв სისქით 32 მმ და დიაფრაგმის ბიჯოთ 1.6 გ

8. გამძლეობის შემოწმებები

8.1 მთავარი კოჭების კვანძების გაანგარიშება



ნახ. 8.1 მთავარი კოჭის შეპირაპირების მახასიათებელი გატეგორიები



ნახ. 8.2 ფოლად-რკინაბეტონის მახასიათებელი კატეგორიები

მთავარ კოჭებში ყველაზე მოწყვლადი ადგილები, დაღლილობით ბზარების წარმოქმნის თვალსაზრისით, არიან კვანძები დაჭიმული საყრდენების და წახნაგების ზონებში. მაგალითად, მთავარი კოჭის კომბინირებული შეპირაპირება უნდა გაიყოს მინიმუმ 4 მონაკვეთად, რომელიც უნდა განვიხილოთ ცალცალკე: 1 - საგების ფურცლის შეპირაპირება; 2 - კედლის შეპირაპირება მაღალი სიმტკიცის ჭანჭიკებზე; 3 - კედლის ქვეშ გამოჭრის ზონა; 4 - რძივი წახნასების კედლებზე გაწყვეტილი ზონები.

მახასიათებელი ზონები კატეგორიების მითითებით (დაღლილობის ფარდობითი ზლურბლი 2×10^6 ციკლისას), რომელიც განსაზღვრავს ფოლადის კოჭის ფრაგმენტის გამდლეობას, ნაჩვენებია ნახ. 8.1, ხოლო ფოლად-რკინაბეტონის მთავარი კოჭისა ნახ. 8.2. მითითებული კატეგორიები დაფუძნებულია ცხრილებზე 8.1-8.9 EN 1993-1-9.

მახასიათებელი ზონები კატეგორიების მითითებით (დაღლილობის ფარდობითი ზლურბლი 2×10^6 ციკლისას), რომელიც განსაზღვრავს ფოლადის კოჭის ფრაგმენტის გამდლეობას, ნაჩვენებია ნახ. 8.1, ხოლო ფოლად-რკინაბეტონის მთავარი კოჭისა ნახ. 8.2. მითითებული კატეგორიები დაფუძნებულია ცხრილებზე 8.1-8.9 EN 1993-1-9.

ფოლადის კოჭის ფოლადის შედევებული კონსტრუქციების გამდლეობის გაანგარიშებების წესები EN 1993-2 და EN 1993-1-9 მიხედვით მოცემულია ცხრილში 8.1.

ცხრილი 8.1

	ფორმულები და მითითებები	შენიშვნა
1	დაბაბულობის მოქმედი განშლა LM1* განისაზღვრება ფორმულით: $\Delta\sigma_p = \sigma_{p,max} - \sigma_{p,min} $ $46.29 = -7.49 - 38.8 $	სამოძრაო ხიდზე, მოდელი LM1* იწვევს დაბაბულობას განსახილვები დეტალში $\sigma_{p,max} = 38.8 \text{ და } \sigma_{p,min} = -7.49$
2	დაბაბულობის გვივალენტური განშლა ციკლით $2 \cdot 10^6$ განისაზღვრება EN 1993-2 მიხედვით 3.9.4.1(4) ფორმულით (9.2): $\Delta\sigma_{E2} = \lambda \cdot \Phi_2 \cdot \Delta\sigma_p$ $75.6 = 1.63 \cdot 1.0 \cdot 46.29$	დაბაბულობის მოქმედი განშლა $\Delta\sigma_p$ კორექტირდება ორი კოეფიციენტით λ და დაბაბულობის ეკვივალენტური განშლის მისაღებად $\Delta\sigma_{E2}$.
3	საავტომობილო ხიდების დინამიკური კოეფიციენტი Φ_2 , თანახმად პ. 9.4.1(5) EN 1993-2 მიხედვით ჩართულია დატვირთვის სიდიდეში. სარკინიგზო ხიდებისთვის Φ_2 განისაზღვრება თანახმად EN 1991-2.	საავტომობილო ხიდების $\Phi_2 = 1.0$, თუ საფარის მდგომარეობა დამაკმაყოფილებელია

<p style="text-align: center;">Длина пролета для сечения в пролете, или средняя длина примыкающих к опоре пролетов, м</p>	<p>λ_1 - коэффициент для сечения в зоне 15% длины примыкающих к опоре пролетов</p> <p>$\lambda_1 = 1.9$ - для сечения в пролете</p> <p>$\lambda_1 = 2.3$ - для сечения в зоне 15% длины примыкающих к опоре пролетов</p> <p>$\lambda_1 = 1.9 + 0.7 = 2.6$</p> <p>$\lambda_1 = 2.3 + 0.3 = 2.6$</p> <p>$\lambda_1 = 2.6$</p>
---	---

* - для балок с пролетами длиной 50+20+78+20+50 м
 $\lambda_1 = 1.9$ - для сечения в пролете 50 м;
 $\lambda_1 = 2.3$ - для сечения в зоне 15% длины примыкающих к опоре пролетов, м

Гл. 8.1 (для балок)

<p>5. λ_2 - коэффициент для сечения в зоне 15% длины примыкающих к опоре пролетов, определенный по формуле:</p> $\lambda_2 = \frac{Q_{m1}}{Q_n} \sqrt{\frac{M_{Qm1}}{M_n}}$ $Q_{m1} = \sqrt{\sum n_i Q_i^2}$ <p>Q_i - сила, действующая на i-й участок пролета;</p> <p>n_i - коэффициент, характеризующий силу Q_i в i-м участке пролета;</p> <p>M_{Qm1} - изгибающий момент в сечении, соответствующем 15% длины пролета;</p> <p>M_n - изгибающий момент в сечении, соответствующем 15% длины пролета.</p>	<p>λ_2 - коэффициент для сечения в зоне 15% длины примыкающих к опоре пролетов, определенный по формуле:</p> $\lambda_2 = 0.833$
<p>6. λ_3 - коэффициент для сечения в зоне 15% длины примыкающих к опоре пролетов, определенный по формуле:</p> $\lambda_3 = \sqrt{T_{Ld}/100}$	<p>λ_3 - коэффициент для сечения в зоне 15% длины примыкающих к опоре пролетов, определенный по формуле:</p> $\lambda_3 = 1.0$

	<p>კოეფიციენტი λ_4 განისაზღვრება EN 1993-2 პ.9.5.2(6) по формуле (9.12):</p> $\lambda_4 = \left[1 + \frac{N_2}{N_1} \left(\frac{\eta_2 Q_{m2}}{\eta_1 Q_{m1}} \right)^5 + \frac{N_3}{N_1} \left(\frac{\eta_3 Q_{m3}}{\eta_1 Q_{m1}} \right)^5 + \dots + \frac{N_k}{N_1} \left(\frac{\eta_k Q_{mk}}{\eta_1 Q_{m1}} \right)^5 \right]^{1/5}$ <p>k ნელი მოძრაობის ზოლების რაოდენობა;</p> <p>N_j სატვირთოების რაოდენობა ზოლზე j ერთ წელში;</p> <p>Q_{mj} ავტომობილების საშუალო წონა ზოლზე j;</p> <p>η_j დატვირთვის გავლენის ხაზის ორდინატა Q_{mj} ზოლის შეაში j, პლიუსის ნიშით, დებალებში დატვირთვის განშლის შეფასებისთვის.</p> $\lambda_4 = \left[1 + 1 \left(\frac{0.64}{0.92} \right)^5 + 1 \left(\frac{0.36}{0.92} \right)^5 + 1 \left(\frac{0.08}{0.92} \right)^5 \right]^{1/5} \approx$	<p>λ_4- კოეფიციენტი, რომელიც ითვალისწინებს სხვა ზოლებზე სატვირთოების მოძრაობას.</p> <p>ხიდის სიგრძე 50+20+78+20+50: მოძრაობის ოთხი ზოლი შემსვედრი მიმართულებით: სატვირთოების წონა დარაოდენობა ზოლებზე ერთნაირია:</p> $Q_{m1} = Q_{m2} = Q_{m3} = Q_{m4}$ <p>ორდინატები მ.მ. (იხ. ნახ.):</p> <p>1 ზოლზე $\eta_1 = 0.92$;</p> <p>მე-2-ე ზოლზე $\eta_2 = 0.64$.</p> <p>მე-3-ე ზოლზე $\eta_3 = 0.36$.</p> <p>მე-4-ე ზოლზე $\eta_4 = 0.08$.</p>
7		ცხრილი 8.1 (გაგრძელება)

		ცხრილი 8.1 (გაგრძელება)
8		<p>კოეფიციენტი λ_{max} წარმოქმნა ფორმულით (9.9) EN 1993-2 ვერ გადაჭარბებს მნიშვნელობას λ_{max}:</p> <p>50 მ-იან მალები $\lambda_{max} = 2.0$</p> <p>საყრდენ კვეთში მალისთვის $(50+20)/2=35$ მ $\lambda_{max} = 1.9$.</p>
9	<p>კოეფიციენტი λ წარმოქმნა განისაზღვრება EN 1993-2 პ.9.5.2(1) ფორმულით (9.9):</p> $\lambda = \lambda_1 \cdot \lambda_2 \cdot \lambda_3 \cdot \lambda_4$	<p>პვეთისთვის მალები:</p> $\lambda = 1.9 \cdot 0.833 \cdot 1.0 \cdot 1.03 = 1.63$ <p>პვეთისთვის ბურჯის ქვეშ:</p> $\lambda = 2.3 \cdot 0.833 \cdot 1.0 \cdot 1.03 = 1.97$
10	<p>გამძლეობის შემოწმება ფორმულით:</p> $\gamma_{Ff} \Delta \sigma_{E2} \leq \Delta \sigma_c / \gamma_{Mf}$ $1.0 \cdot 75.6 \leq 80/1$ $75.6 \leq 80$	<p>საიმედოობის კოეფიციენტი:</p> $\gamma_{Ff} = 1.0; \gamma_{Mf} = 1.0$ <p>$\Delta \sigma_{E2}$ დაბაბულობის ეკვივალენტური განშლა;</p> <p>$\Delta \sigma_c$ დაღლილობის ზღურბლი ცხრილებით.</p>

მნიშვნელობა N_{obs} , ან სატვირთოების რაოდენობა, რომლებიც გაივლიან ერთი წლის მაძილზე დაბალსიჩქარიან ზოლებზე, აღებულია ცხრილიდან 4.5(n) EN 1991-2:2003 (E) 1: Actions on structures - Part 2: Traffic loads on bridges და მოცემულია ცხრილში 8.2.

ცხრილი 8.2

მოძრაობის კატეგორია	N_{obs} , რაოდენობა ავტომობილების რაოდენობა ერთ წელიწადში მარჯვენა ზოლზე	
1	გზები ორი და მეტი სამოძრაო ზოლით ორივე მიმართულებით სატვირთოების დიდი რაოდენობით	2.0×10^6
2	იგივე სატვირთოების საშუალო რაოდენობით	0.5×10^6
3	ძირითადი გზები სატვირთოების მცირე რაოდენობით	0.125×10^6
4	ადგილობრივი გზები სატვირთოების მცირე რაოდენობით	0.05×10^6

კომენტარები.

თუ 1 წლის მაძილზე ხიდზე გავლილი სატვირთო მანქანების რაოდენობა ტოლია 2.0×10^6 ცალის, ეს ნიშნავს, რომ ყოველ 15 წუთში 24 საათის განმავლობაში 365 დღის მანძილზე განსახილველ ზოლზე გაივლის მძიმეწონიანი სატვირთო მანქანა.

8.2 ფოლად-რკინაბეტონის ხიდების საბრჯენების

გამძლეობის გაანგარიშება

დრეკადი საბრჯენების გამძლეობის გაანგარიშება სრულდება

3.6.8 EN 1994-2 მითითებების თანახმად, ცხრილ 8.3-ში მოყვანილი სქემით.

ცხრილი 8.3

	ფორმულები და მითითებები	შენიშვნა
1	დაძაბულობის ეპივალენტური განშლა წაცურებისას $\Delta t_{E,2}$ 2 მილიონი ციკლისთვის გამოისახება ფორმულით: $\Delta t_{E,2} = \lambda_v \Delta t$ $25.5 = 1.33 \cdot 19.2$	λ_v - დაზიანების ეპივალენტური კოეფიციენტი Δt მხებითი დაძაბულობების განშლა საბრჯენში ხიდზე სამოძრაოდან, მოდელი LMI*.
2	დაზიანების კოეფიციენტი დრეკადი საბრჯენებისთვის წაცურებაზე განისაზღვრება ფორმულით $\lambda_v \lambda_v = \lambda_{v,1} \cdot \lambda_{v,2} \cdot \lambda_{v,3} \cdot \lambda_{v,4}$ $1.33 = 1.55 \cdot 0.833 \cdot 1.0 \cdot 1.03$	კოეფიციენტი გამოითვლება თანახმად EN 1994-2 II.6.8.6.2(3)
3	კოეფიციენტი $\lambda_{v,1} = 1.55$, საავტომობილო ხიდები მაღის სიგრძით 100 მ-მდე	$\lambda_{v,1}$ - კოეფიციენტი, ითვალისწინებს ხიდის მაღის სიგრძეს

4	<p>კოეფიციენტი $\lambda_{V,2} = \frac{Q_{m1}}{Q_0} \sqrt{\frac{N_{obs}}{N_0}}$, გде</p> $Q_{m1} = \sqrt{\frac{\sum n_i Q_i^2}{\sum n_i}}$ <p>სატვირთოების საშუალო წონა, კნ</p>	<p>$\lambda_{V,2}$- კოეფიციენტი, ითვალისწინებს მოძრაობის ინტენსივობას ხიდზე (სატვირთოების წონა და რაოდენობა ნაკადში)</p>
5	<p>კოეფიციენტი $\lambda_{V,3} = \sqrt{\frac{t_{Ld}}{100}}$,</p> <p>სადაც t_{Ld} - ხიდის ექსპლოატაციის დრო წლებში</p>	<p>$\lambda_{V,3}$- კოეფიციენტი, ითვალისწინებს მოძრაობის ინტენსივობას ხიდზე (სატვირთოების წონა და რაოდენობა ნაკადში) $\lambda_{V,3} = 1.0$.</p>
6	<p>კოეფიციენტი $\lambda_{V,4}$ შეიძლება გამოითვალოს ფორმულით:</p> $\lambda_{V,4} = \left[1 + \frac{N_2}{N_1} \left(\frac{n_2 Q_{m2}}{n_1 Q_{m1}} \right)^2 + \dots + \frac{N_k}{N_1} \left(\frac{n_k Q_{mk}}{n_1 Q_{m1}} \right)^2 \right]^{1/2}$	<p>$\lambda_{V,4}$ - კოეფიციენტი, ითვალისწინებს სხვა სამოძრაო ზოლების დატვირთვას სატვირთოებით</p>
7	<p>შეკუმშულ სარტყელებზე მიღუდებული დრეკადი საბრჯენებისთვის, გამძლეობის შეფასება სრულდება ფორმულით:</p> $\frac{Y_{Ff}}{Y_{Mf,s}} \Delta \tau_{E,2} \leq \Delta \tau_e / Y_{Mf,s}$ $1.0 \cdot 25.5 \leq 90 / 1.15$ $25.5 \leq 78.3$	<p>საიმედოობის კოეფიციენტები: $Y_{Ff} = 1.0$; $Y_{Mf,s} = 1.15$</p> <p>$\Delta \tau_{E,2}$ და $\Delta \sigma_{E,2}$ ეპივალენტური განშლები მხებითი დაძაბულობებისთვის საბრჯენებში და ნორმალურები სარტყელებში, შესაბამისად.</p> <p>$\Delta \tau_e$ და $\Delta \sigma_e$ ცხრილის ზღვრები საბრჯენის ანჭრელისთვის და საბრჯენის სარტყელთან</p>
8	<p>შეკუმშულ სარტყელებზე მიღუდებული დრეკადი საბრჯენებისთვის, უნდა შესრულდეს პირობა:</p> $\frac{Y_{Ff}}{Y_{Mf,s}} \Delta \sigma_{E,2} + \frac{Y_{Ff}}{Y_{Mf,s}} \Delta \tau_{E,2} \leq 1.3$; ამასთან ერთად: $\frac{Y_{Ff}}{Y_{Mf,s}} \Delta \sigma_{E,2} \leq 1.0 \quad \text{და} \quad \frac{Y_{Ff}}{Y_{Mf,s}} \Delta \tau_{E,2} \leq 1.0. \quad \frac{1.0 \cdot 25.5}{90 / 1.15} \leq 1.0 \quad \text{და} \quad \frac{1.0 \cdot 25.5}{78.3} \leq 1.0.$ <p>პირობები შესრულებულია!</p>	

8.3 ფოლად-რკინაბეტონის ხიდების ფილის დაჭიმული არმატურის გამძლეობის გაანგარიშება

გაანგარიშებები სრულდება ფოლად-რკინაბეტონის ხიდების ევროკოდების 3. 6.8 EN1992-2 და რკინაბეტონის ხიდების ევროკოდების EN1992-2 დანართი NN თანახმად. დაძაბულობის ეპივალენტური განშლის გაანგარიშება არმატურაში $\Delta \sigma_{s,Ec}$ საჭიროა განისაზღვროს მოდელით LM1* დერმული დაწოლების გაზრდის კოეფიციენტებით: 1.75 - შუალედურ ბურჯებზე კოჭის ზონებისთვის და 1.4 – სხვა მონაკვეთებისთვის.

დაძაბულობის განშლა მოდელი LM1^{*}-ის ზემოქმედებით (დატვირთვების კომბინაციის ბაზასთან ერთად) არმატურაში შედუღების გარეშე ნაკლებია **$\Delta\sigma_s \leq 70$** მპა, ხოლო შედუღებით **$\Delta\sigma_s \leq 35$** მპა, პ. 6.8.6 1992-1(1) შესაბამისად.

გამძლეობაზე გაანგარიშებები არაა საჭირო!

8.4 ფოლად-რკინაბეტონის ხიდების ფილის შეკუმშული ბეტონის გამძლეობის გაანგარიშება

შემოწმება უნდა შესრულდეს საგზაო მოძრაობის მონაცემების გამოყენებით, დაღლილობის მრუდების (დაძაბულობა – ციკლების რაოდენობა) და დატვირთვის ტიპების მიხედვით. ბეტონის შემოწმებისთვის გამოიყენება დაზიანებების შეჯამების ხაზოვანი კანონი – (პალმგრენ-მაინერი) წესი:

$$y \sum_{i=1}^m \frac{n_i}{N_i} \leq 1$$

სადაც

m - ინტერგალების რაოდენობა მუდმივი ამპლიტუდით;

n_i - მუდმივი ამპლიტუდის ციკლების რაოდენობა ინტერგალში;

N_i ინტერგალზე ციკლების ზღვრული რაოდენობა, შეიძლება გამოითვალოს ფორმულით

$$E_{cd,max,i} + \frac{\log N_i}{14} \sqrt{1 - R_i} \leq 1.0$$

$$N_i = 10 \exp \left(14 \left(1 - \frac{E_{cd,min,i}}{\sqrt{1 - R_i}} \right) \right)$$

$$R_i = \frac{E_{cd,min,i}}{E_{cd,max,i}} \quad E_{cd,min,i} = \frac{\sigma_{cd,min,i}}{f_{cd,fat}} \quad E_{cd,max,i} = \frac{\sigma_{cd,max,i}}{f_{cd,fat}}$$

R_i ციკლის ასიმეტრიის კოეფიციენტი;

$E_{cd,min,i}$ კუმულური მინიმალური დონე;

$E_{cd,max,i}$ კუმულური მაქსიმალური დონე;

$\sigma_{cd,max,i}$ ციკლში კუმულური მაქსიმალური დაძაბულობა;

$\sigma_{cd,min,i}$ ციკლში კუმულური მინიმალური დაძაბულობა;

$f_{cd,fat}$ ბეტონის საანგარიშო მედეგობა კუმულურაზე გამძლეობაზე გაანგარიშებისას

$$f_{cd,fat} = k_1 \beta_{cc}(t) \left(1 - \frac{f_{ck}}{250} \right) f_{cd}$$

$\beta_{cc}(t)$ კოეფიციენტი, დამოკიდებული ბეტონის დატვირთვების ასაკზე;

$\beta_{cc}(t) = \exp(s(1 - (26/t)^{0.5}))$, ბეტონის ასაკისას – 26 დღე, **$\beta_{cc}(t)=1.0$** ;

s ბეტონის ტიპის კოეფიციენტი=0.25;

t დატვირთვების ციკლური ზემოქმედებით დასაწყისი, დღე;

k_1 =0.85 – რეკომენდირებული მნიშვნელობა;

f_{ck} ცილინდრული სიმტკიცე კუმშვაზე;

$f_{cd} = f_{ck}/\gamma_c = f_{ck}/1.5$ კუმშვაზე საანგარიშო სიმტკიცე;

B37 კლასის ბეტონისთვის, ბეტონის კუმშვაზე საანგარიშო მედუგობა:

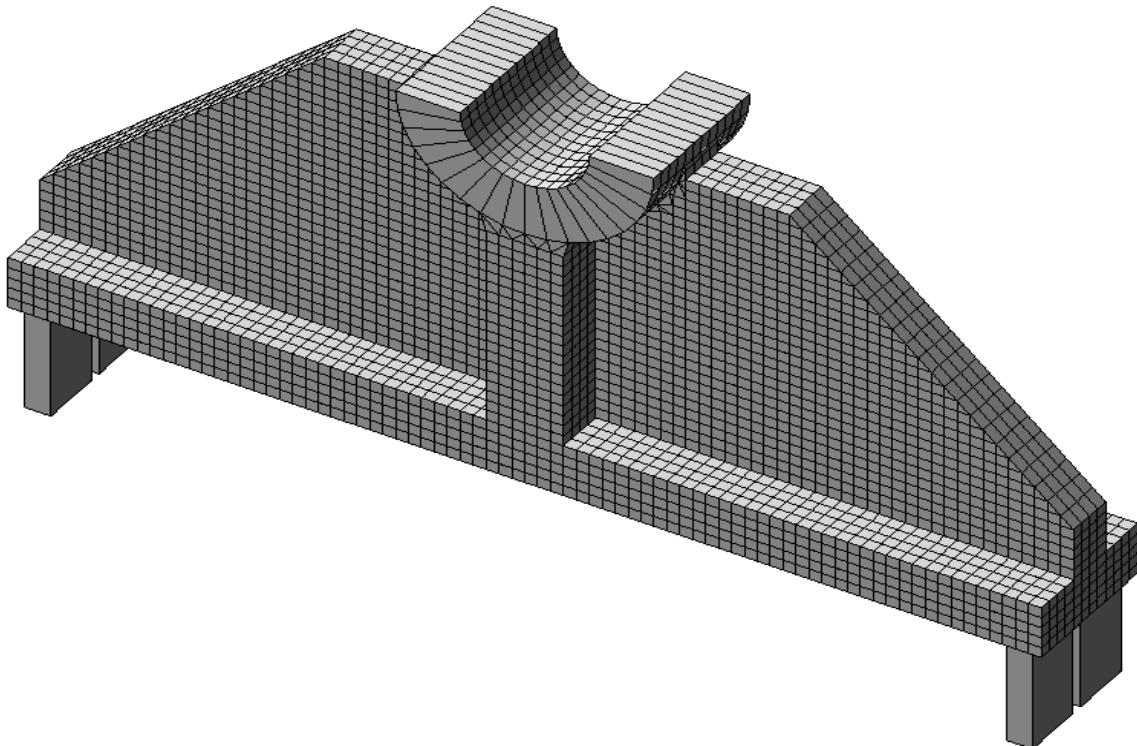
$$f_{cd,fat} = 0.85 \cdot 1 \cdot \left(1 - \frac{35}{250}\right) \cdot f_{cd} = 0.732 \cdot 20 = 14.6 \text{ მპა.}$$

მნიშველობებისას: $f_{ck} = 35$ მპა და $f_{cd} = 20$ მპა.

9. სახსარის გაანგარიშებები

სახსარის გაანგარიშებები შესრულებულია სივრცობრივ საანგარიშო სქემაში მოცულობითი საბოოლოო ელემენტების დანაწევრებული ბადით $2x2x2$ სმ. გაანგარიშების მიზანია მთავარი ექსტრემალური და უდიდესი ეკვივალენტური ძაბვების პოვნა.

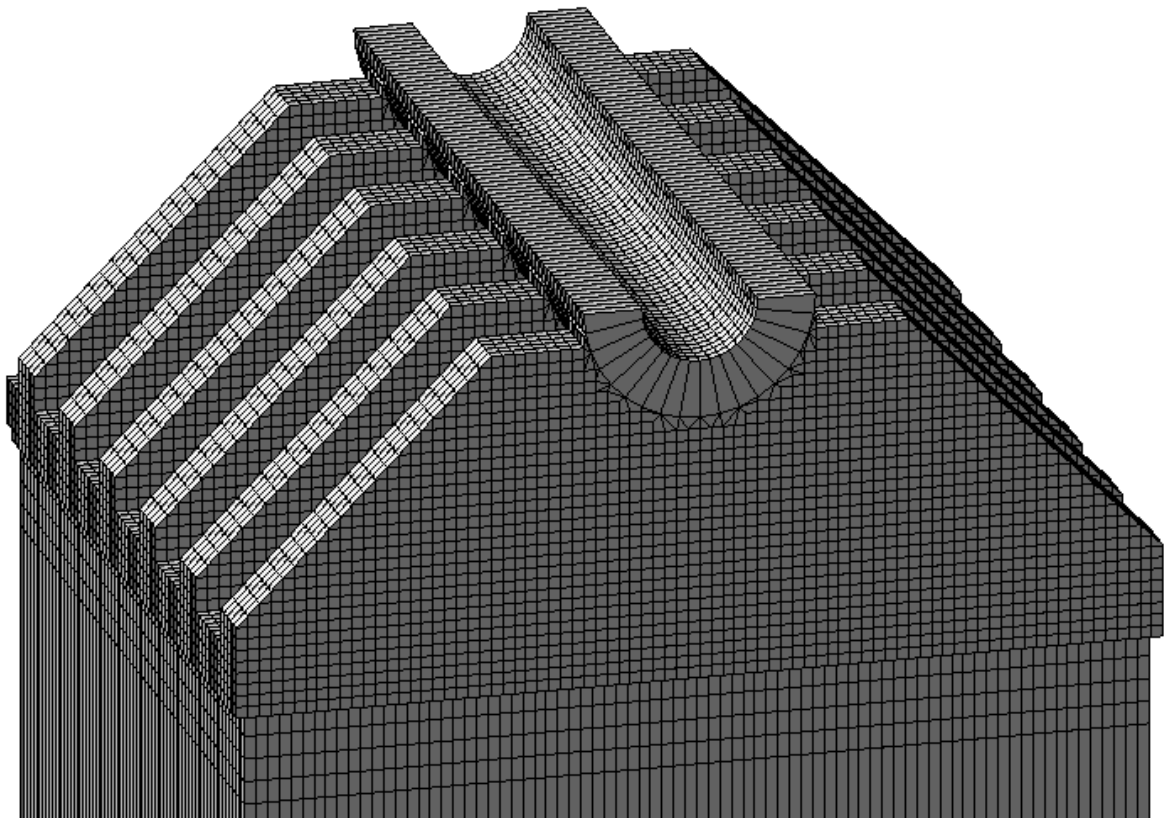
წინასწარი გაანგარიშებისთვის მიღებულია სახსარის მონაკვეთი საყრდენი წახნაგით სასრიალო დარის გასწვრივ 24 სმ, დატვირთვით 18.75 ტ/სმ სასრიალო დარზე. განსახილველ მონაკვეთზე მთლიანად დატვირთვა ტოლია $24 \times 18.75 = 450$ ტ, რაც შეესაბამება დატვირთვას სახსარის 160 სმ სიგრძეზე – 3000 ტ. ფრაგმენტი დაყრდნობილია ბოლოებით.



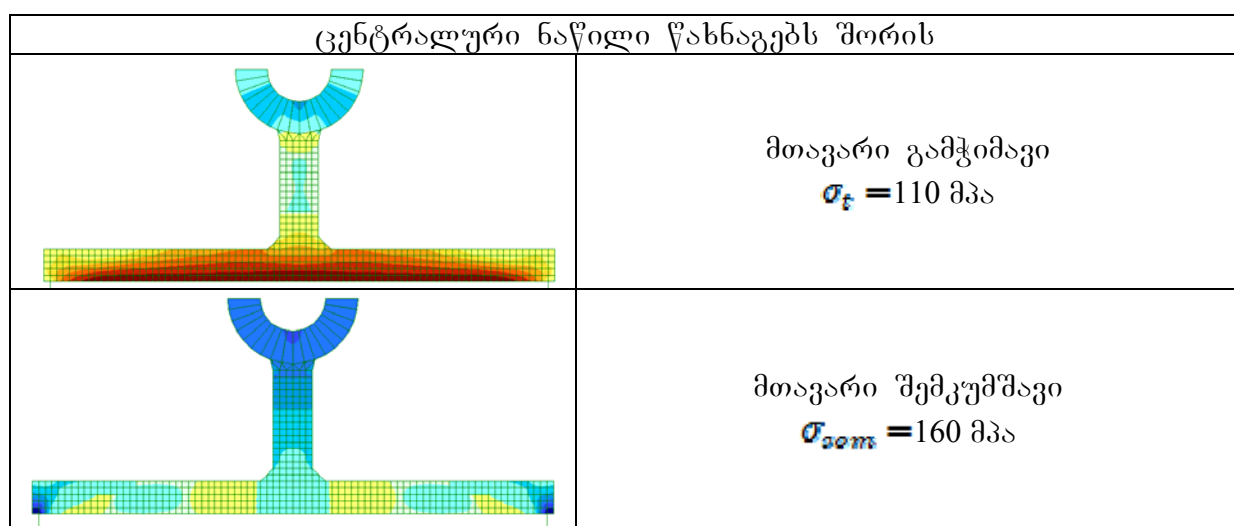
ნახ. 9.1 სახსარის საანგარიშო სქემა

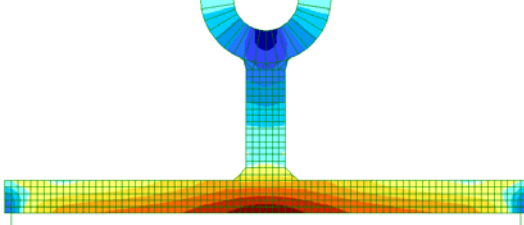
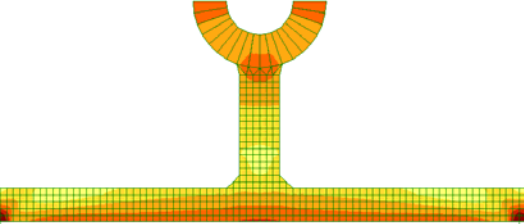
	მთავარი გამჭიმავი $\sigma_t = 168$ მპა
	მთავარი შემცუმშავი $\sigma_{com} = 240$ მპა
	სახსარის გასწვრივ (განივი კუმშვა) $\sigma_{covm} = 98$ მპა
	ეკვივალენტური ძაბვები (გუბერ – ჰენკი – მიზეს) ენერგეტიკული თეორიის საფუძველზე $\sigma_e = \sqrt{\frac{(\sigma_1 - \sigma_2)^2 + (\sigma_2 - \sigma_3)^2 + (\sigma_3 - \sigma_1)^2}{2}}$

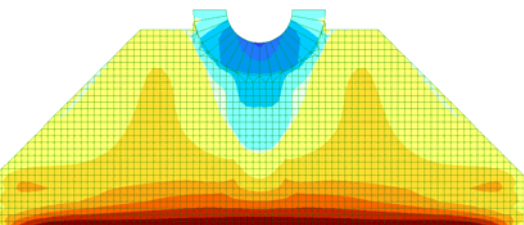
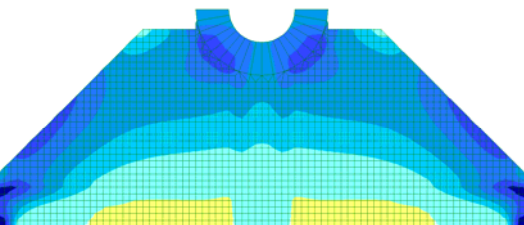
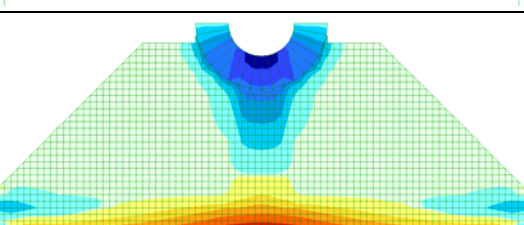
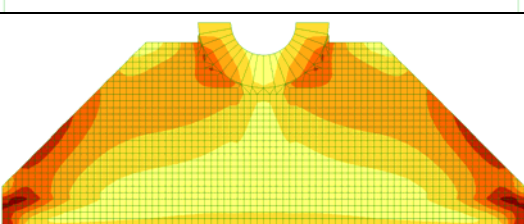
დაზუსტებული გაანგარიშებისთვის შეიქმნა სქემა სახსარის დაყრდნობით თაღის კოლოფის კონტურზე «სახსარი 4000 6.Lir.». დატვირთვა სასრიალო დარის გასწვრივ 23.75 ტ. სრული დატვირთვა სახსარზე 3600 ტ.

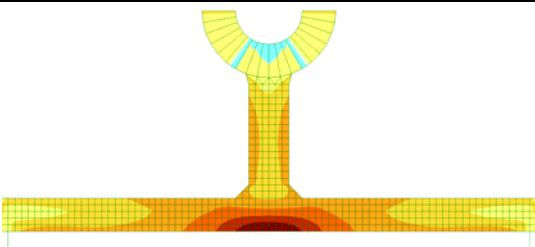
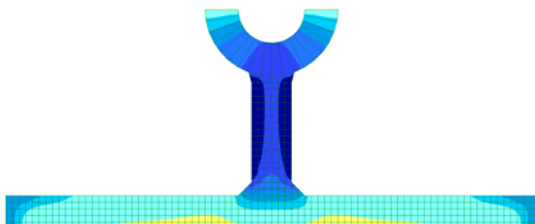
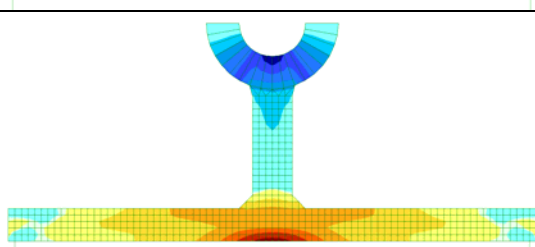
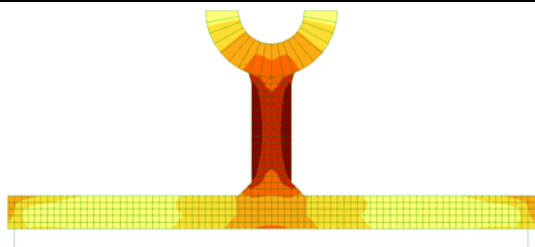


ნახ. 9.2 «სახსარი 4000 6.Lir.»



	სახსარის გასწვრივ (განივი კუმშვა) $\sigma_{com} = 100$ მპა
	ეგივალენტური ძაბვები (გუბერ – ჰენკი – მიზეს) ენერგეტიკული თეორიის საფუძველზე $\sigma_e = \sqrt{\frac{(\sigma_1 - \sigma_2)^2 + (\sigma_2 - \sigma_3)^2 + (\sigma_3 - \sigma_1)^2}{2}}$ $= 160 \text{ მპა}$

ცენტრალური ნაწილი. წახნაგი	
	მთავარი გამჭიმავი $\sigma_t = 110$ მპა
	მთავარი შემცუმშავი $\sigma_{com} = 227$ მპა
	სახსარის გასწვრივ (განივი კუმშვა) $\sigma_{com} = 100$ მპა
	ეგივალენტური ძაბვები (გუბერ – ჰენკი – მიზეს) ენერგეტიკული თეორიის საფუძველზე $\sigma_e = \sqrt{\frac{(\sigma_1 - \sigma_2)^2 + (\sigma_2 - \sigma_3)^2 + (\sigma_3 - \sigma_1)^2}{2}}$ $= 231 \text{ მპა}$

ტაღის კოლოფის ნაწილურზე. წახნაგებს შორის	
	მთავარი გამჭიმავი $\sigma_t = 146 \text{ მპა}$
	მთავარი შემცუმშავი $\sigma_{com} = 185 \text{ მპა}$
	სახსარის გასწვრივ (განივი კუმშვა) $\sigma_{com} = 100 \text{ მპა}$
	ეკვივალენტური ძაბვები (გუბერ - ჰენკი - მიზეს) ენერგეტიკული თეორიის საფუძველზე $\sigma_e = \sqrt{\frac{(\sigma_1 - \sigma_2)^2 + (\sigma_2 - \sigma_3)^2 + (\sigma_3 - \sigma_1)^2}{2}}$ $= 220 \text{ მპა}$

მიღებული ფოლადი 35L თერმოდამუშავებულია, (ნორმალიზება 860-880°C, გაშვება 600-630°) დენადობის ზღვარით 2800 კგ/სმ². ფოლადის სხმულის საიმედოობის კოეფიციენტი $\gamma_m = 1.35$. დენადობის საანგარიშო მედეგობა $R_y = R_{un}/\gamma_m = 2100 \text{ კგ/სმ}^2$. მთავარი დაძაბულობების მიმართ სიმტკიცე უზრუნველყოფილია!

ზღვრული ძაბვა ეკვივალენტური დაძაბულობების მიხედვით $R_y \cdot 1,1 = 2310 \text{ კგ/სმ}^2$. სიმტკიცე ეკვივალენტური დაძაბულობების მიხედვით უზრუნველყოფილია!

10. ხიდის ფილის გაანგარიშებები

10.1 დამცავი ფენის სისქის გაანგარიშება

EN 1992-1-1-ში მითითებულია პროექტირების თანმიმდევრობა

ხანგრძლივობის გათვალისწინებით:

- გარემოს შეფასება, რომელშიც ხდება ხიდის ელემენტის ექსპლუატაცია (შეფასება სრულდება ცხრილი 4.1-ში EN 1992-1-1 მიხედვით);

- დამცავი ფენის მინიმალური სისქის შერჩეულია ცხრილი 4.4 EN 1992-1-1 მიხედვით, დამოკიდებული ექსპლუატაციის გარემოზე, მუშაობის საპროექტო დროზე და ბეტონის სიმტკიცეზე.

ცხრილი 4.1 EN 1992-1-1, გარემოს ზემოქმედების კლასი EN 206-1 მიხედვით.

ცხრილი 10.1

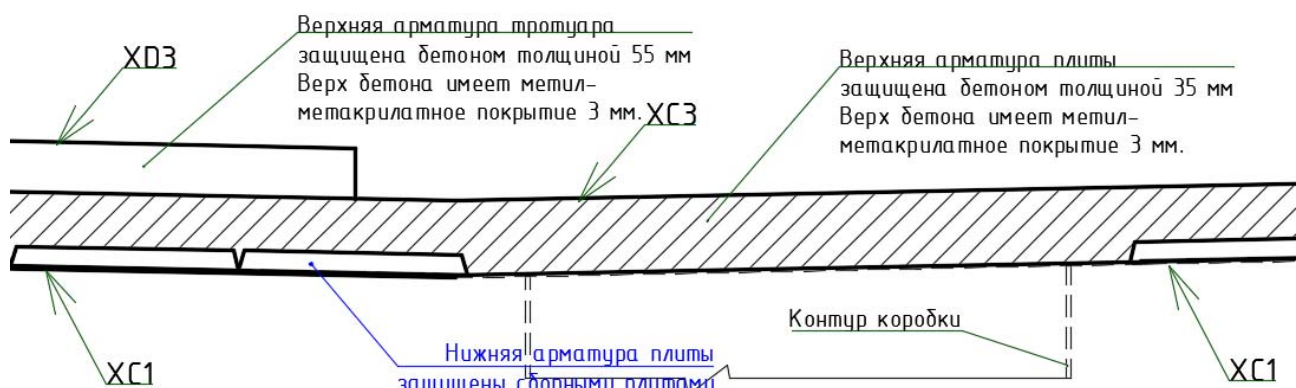
კლასი	გარემოს ხასიათი	ზემოქმედების ადგილების მაგალითები
კოროზიის რისკი არ არის		
X0	ბეტონისათვის ფოლადის ელემენტების გარეშე: ყველა ზემოქმედებისთვის გარდა გაყინვისა და გალვანიზისა, გახეხვისა ან ქიმიური კოროზისა	ბეტონი შენობის შიგნით ჰაერის დაბალი ტენიანობით
კოროზია, გამოწვეული კარბონიზაციით		
XC1	მშრალი ან მუდმივად სველი	ბეტონი მშრალ ჰაერზე ან მუდმივად წყალში
XC2	ჩვეულებრივად სველი	ფუნდამენტები მიწისქეშ
XC3	ზომიერად ტენიანი	ბეტონი დაცული წვიმისგან
XC4	ციკლურად სველი და მშრალი	ბეტონი წყალთან კონტაქტში
კოროზია, გამოწვეული ქლორიდებით		
XD1	ზომიერად ტენიანი	ზედაპირები, ჰაერის ქლორიდებით ზემოქმედებით
XD2	სველი, იშვიათად მშრალი	ბეტონი ქლორიდების შემცველი წყლის ზემოქმედებით
XD3	ციკლურად სველი და მშრალი	ხიდის ნაწილები ქლორიდების შემცველი წყლის შეცვების ზემოქმედებით
კოროზია, გამოწვეული ზღვის წყლის ქლორიდებით		
XS1	მარილით გაჯერებული ჰაერი	ზღვისპირა კონსტრუქციები
XS2	მუდმივად ჩაძირულები	საზღვაო ნაგებობები
XS3	ზეირთცემის ზონა და წყლის მტვერი	საზღვაო ნაგებობები
გაყინვისა და გალვანიზის ნებაზიური ზემოქმედება		

XF1	ზომიერად გაჯერებული წყლით ქიმიური დანამატების გარეშე	ვერტიკალური ბეტონის ზედაპირები, წვიმისა და ყინვის ზემოქმედებით
XF2	ზომიერად გაჯერებული წყლით ლიპინულის საწინააღმდეგო დანამატებით	ვერტიკალური ბეტონის ზედაპირები, ყინვის და ლიპინულის საწინააღმდეგო დანამატებითი აეროზოლების ზემოქმედებით

ცხრილში 4.4N EN1992-1-1 მოცემულია დამცავი ფენის მინიმალური სიდიდეები, რომელებიც დამოკიდებულია კონსტრუქციასა და გარემო სივრცის კლასებზე. კონსტრუქციის კლასიფიკაცია ევროკოდებში შესრულებულია თვალსაზრისით, რომ კლასი S4 მიეკუთვნება კონსტრუქციებს მუშაობის დროით 50 წელი. მუშაობის დროით 100 წელი, ე. ი. ხიდებისათვის, კლასი უნდა გაიზარდოს S6-მდე.

ამონაწერი ცხრილიდან ცხრილი 4.4N
ცხრილი 10.2

დამცავი ფენის მინიმალური სიდიდე $C_{min,dur}$ ჩვეულებრივი არმატურის, დამოკიდებული კონსტრუქციის და გარემო სივრცის კლასზე							
კონსტრუქციის კლასი	X0	XC1	XC2/XC3	XC4	XD1/XS1	XD2/XS2	XD3/XS3
S4	10	15	25	30	35	40	45
S5	15	20	30	35	40	45	50
S6	20	25	35	40	45	50	55



ნახ. 10.1 ხიდის ფილაზე გარემო სივრცის ზემოქმედების კლასები

საიმედო ჰიდროზოლიაციისას ფილის ზედაპირი საფარის ქვეშ არის უკეთეს პირობებში ფილის სხვა დაუფარავ ზედაპირებთან შედარებით. ჰიდროზოლიაცია იცავს ფილის ბეტონს ქლორიდების და ნახშირორჟანგი გაზების შეღწევისაგან. მაგრამ თანახმად პ. 4.2 (105) EN 1992-2 ხიდების ევროკოდისა ექსპლუატაციის პირობის კლასი ხიდის ფილებისთვის უნდა მივიღოთ როგორც ჰიდროზოლიაციით დაფარული ზედაპირისთვის, ასევე დაუფარავი

ზედაპირებისთვის. დამპროექტებელმა უნდა გაუწიოს ანგარიში, რომ თუ პიდროიზოლიაციის ხარისხი ან დატანის პირობები საჭიროა, მაშინ უნდა მიიღოს უფრო ხისტი XD3 კლასი.

ბორდიური, ბეტონის შემოფარგვადა და ტროტუარის ელემენტები მიეკუთვნებიან XD3/XF2 კლასს. ამ ნაწილებზე ხვდება სავალი ნაწილიდან ნაშენები ქლორიდიანი წყლები. ფილის გვერდითი გარეთა ზედაპირები მიეკუთვნებიან XF1/ XC3 კლასს. წვიმისგან დაცული ზედაპირები მიეკუთვნებიან XC3 ან XC4 კლასს. ესენი ფილის ქვედა ზედაპირებია, რომლებიც ღიაა CO₂-თვის.

ევროკოდის თანახმად, დამცავი ფენა – ეს არის მანძილი არმატურის ზედაპირიდან (ცალუდების ჩათვლით) და ბეტონის უახლოეს ზედაპირს შორის. დამცავი ფენის სისქე განისაზღვრება როგორც ჯამი დამცავი ფენის მინიმალური სისქისა c_{min} + დასაშვები გადახრა Δc_{dev} :

$$c_{nom} = c_{min} + \Delta c_{dev}$$

დამცავი ფენის მინიმალური სისქე c_{min} განისაზღვრება როგორც უდიდესი მნიშვნელობებიდან:

$$c_{min} = \max(c_{min,b} \text{ или } c_{min,dur} + \Delta c_{dur,y} - \Delta c_{dur,st} - \Delta c_{dur,add} \text{ или } 10 \text{ მმ})$$

$c_{min,b}$ დამცავი ფენის მინიმალური სისქე ბეტონთან შეკავშირების პირობით; ფენა განისაზღვრება ერთეული დეროს დიამეტრის ტოლად d ან $d\sqrt{n}$ დეროების ჯგუფისთვის, სადაც n - დეროების რაოდენობა ჯგუფში.

$c_{min,dur}$ დამცავი ფენის მინიმალური სისქე, კოროზიისგან დასაცავად; განისაზღვრება ცხრილით 4.4N EN 1992-1-1, კონსტრუქციის და გარემოს კლასის მიხედვით.

$\Delta c_{dur,y}$ დამატებითი სისქე საიმედოობის ასამაღლებლად; რეკომენდირებული მნიშვნელობა = 0;

$\Delta c_{dur,st}$ სისქის შემცირება, თუ არმატურა უჟანგავიო ფოლადისაა; ჩვენს შემთხვევაში = 0;

$\Delta c_{dur,add}$ სისქის შემცირება დამატებითი დაცვის არსებობისას; რეკომენდირებული მნიშვნელობა = 0.

Δc_{dev} დამცავი ფენის სისქეში გადახრა; განისაზღვრება ბეტონირების პირობებისა და კონტროლის ხარისხისგან; გადახრის რეკომენდირებული მნიშვნელობა $\Delta c_{dev} = 10 \text{ მმ}$.

ევროკოდების მითითებებით თუ ვისარგებლებთ, მაშინ ფილის ექსპლუატაციისას XC3 კლასის გარემოში 100 წლის განმავლობაში, მინიმალური

დამცავი ფენის სისქე უნდა შეადგენდეს $C_{min_dur}=35$ მმ-ს. დანადგარში შესაძლო შეცდომის დანამატის ჩათვლით $\Delta C_{dev}=10$ მმ ფილის დამცავი ფენის სიდიდე C_{nom} გაიზრდება 45 მმ-მდე. მშრალ პაერში მყოფი ანაკრები ფილების ძირისთვის მიღებულია XC1 კლასი. დამცავი ფენის სისქის შემცირება შეიძლება არმატურის მოწყობისას შესაძლო ცდომილების შემცირების ხარჯზე ΔC_{dev} , არანაკლებ 5 მმ-ისა.

ცხრილი 10.3

სამოძრაო ფილის არმატურა	პროექტირების ნორმები
	EN 1994-2; EN 1992-2; EN 1992-1-1
არმატურის დამცავი ფენის სისქე, ცალუდების ჩათვლით, მმ	
ზედა	45
ქვედა	(ანაკრები ფილებისთვის) XC1 25+5=30

10.2 არმირების სქემა

ფილაში არმატურის განლაგების პრინციპიალური სქემა მოცემულია ნახ. 10.2.

Рабочая сборная плита от местного изгиба	
сборная плита растянута	сборная плита сжата
Арматура вдоль моста в растянутой зоне плиты от глобальных усилий (зона 16 м: 4 м от крайней стойки в сторону крайней опоры и 12 м в сторону оси арки)	
<p>сборная плита растянута</p> <p>не учитывается 70 мм</p>	<p>сборная плита сжата</p> <p>не учитывается 35 мм</p>
Арматура вдоль моста между коробками	
<p>не учитывается 70 мм</p>	<p>не учитывается 35 мм</p>
Арматура вдоль моста на консолях	
<p>не учитывается 70 мм</p>	<p>не учитывается 35 мм</p>
Арматура поперек моста	
<p>не учитывается 70 мм</p>	<p>не учитывается 35 мм</p>

ნახ. 10.2 არმატურების განლაგება ხიდის გასწვრივ და განივალ

10.2.1 армобрюро с зонами прочности в сечении гаражного щита

армобрюро с зонами прочности в сечении гаражного щита

EN 1992-1-1:2009 ввода в действие зон прочности в сечении таврового щита.

армбрюро Ø14 для зон прочности в сечении таврового щита с учетом требований EN 1992-1-1:2009.

Задание 10.4

Наименование	Обозначение		Значение	Ссылка на EN1992-1
Приизменная прочности (аналог Rb,ser по СНиП)	f_{ck}	МПа	28	Табл. 3.1
Прочность на кубе (аналог класса бетона по СНиП)	$f_{ck,cube} = f_{ck}/0.8$	МПа	35.0	Табл. 3.1
Среднее значение прочности бетона на растяжение	$f_{ctm} = 0.3 \cdot f_{ck}^{0.66}$	МПа	2.77	
Характеристическая прочность бетона на растяжение	$f_{ctk} = 0.7 \cdot f_{ctm}$	МПа	1.9	Табл. 3.1
(Аналог Rb,mc2 по СНиП для продольных трещин)	$0.6f_{ck}$	МПа	16.8	Табл. 3.1
Коэффициент надежности для бетона	γ_c		1.5	Таблица 2.1N
Расчетное значение прочности бетона на растяжение	$f_{ctd} = f_{ctk}/\gamma_c$	МПа	1.29	
Расчетное значение напряжений сцепления	$f_{bd} = 2.25\eta_1\eta_2f_{ctd}$	МПа	2.9	формула 8.2
Коэффициент учитывающий условия сцепления	η_1		1	п.8.4.2
Коэффициент учитывающий диаметр стержня	η_2		1	п.8.4.2
Диаметр арматуры	\emptyset	см	1.4	
Расчетное напряжение в арматуре	σ_{sd}	МПа	350	
Базовая длина анкеровки	$l_{b,grd} = 0.25 \cdot \emptyset \cdot \sigma_{sd}/f_{bd}$	см	42	φ.8.3 п.8.4.3
Коэффициент формы стержня	α_1		1	Таблица 8.2
Коэффициент защитного слоя	$\alpha_2 = 1 - 0.15(C_b - \emptyset)/\emptyset$		0.7	Таблица 8.2
Толщина защитного слоя над арматурой	C_d	см	6	
Коэффициент поперечной арматуры	α_3		1	Таблица 8.2
Коэффициент приварки поперечной арматуры	α_4		1	Таблица 8.2
Коэффициент усиления поперечным давлением	α_5		1	Таблица 8.2
Коэффициент размещения стыков в одном сечении	α_6		1.5	Таблица 8.3
Расчетная длина нахлеста	$l_0 = \alpha_1\alpha_2\alpha_3\alpha_4\alpha_5\alpha_6 \cdot l_{b.rqd}$	см	44	φ.8.10 п.8.7.3

армбрюро Ø14 для зон прочности в сечении таврового щита с учетом требований EN 1992-1-1:2009.

1/4 Тавровый щит зон прочности.

Задание 10.5

Наименование	Обозначение		Значение	Ссылка на EN1992-1
Приизменная прочности (аналог Rb,ser по СНиП)	f_{ck}	МПа	28	Табл. 3.1
Прочность на кубе (аналог класса бетона по СНиП)	$f_{ck,cube} = f_{ck}/0.8$	МПа	35.0	Табл. 3.1
Среднее значение прочности бетона на растяжение	$f_{ctm} = 0.3 \cdot f_{ck}^{0.66}$	МПа	2.77	
Характеристическая прочность бетона на растяжение	$f_{ctk} = 0.7 \cdot f_{ctm}$	МПа	1.9	Табл. 3.1
(Аналог Rb,mc2 по СНиП для продольных трещин)	$0.6f_{ck}$	МПа	16.8	Табл. 3.1
Коэффициент надежности для бетона	γ_c		1.5	Таблица 2.1N
Расчетное значение прочности бетона на растяжение	$f_{ctd} = f_{ctk}/\gamma_c$	МПа	1.29	
Расчетное значение напряжений сцепления	$f_{bd} = 2.25\eta_1\eta_2f_{ctd}$	МПа	2.9	формула 8.2
Коэффициент учитывающий условия сцепления	η_1		1	п.8.4.2
Коэффициент учитывающий диаметр стержня	η_2		1	п.8.4.2
Диаметр арматуры	\emptyset	см	1.4	
Расчетное напряжение в арматуре	σ_{sd}	МПа	350	
Базовая длина анкеровки	$l_{b,grd} = 0.25 \cdot \emptyset \cdot \sigma_{sd}/f_{bd}$	см	42	φ.8.3 п.8.4.3
Коэффициент формы стержня	α_1		1	Таблица 8.2
Коэффициент защитного слоя	$\alpha_2 = 1 - 0.15(C_b - \emptyset)/\emptyset$		0.7	Таблица 8.2
Толщина защитного слоя над арматурой	C_d	см	6	
Коэффициент поперечной арматуры	α_3		1	Таблица 8.2
Коэффициент приварки поперечной арматуры	α_4		1	Таблица 8.2
Коэффициент усиления поперечным давлением	α_5		1	Таблица 8.2
Коэффициент размещения стыков в одном сечении	α_6		1	Таблица 8.3
Расчетная длина нахлеста	$l_0 = \alpha_1\alpha_2\alpha_3\alpha_4\alpha_5\alpha_6 \cdot l_{b.rqd}$	см	30	φ.8.10 п.8.7.3